

INSTITUTUL POLITEHNIC "TRAIAN VUIA" TIMIȘOARA  
FACULTATEA DE MECANICA

ing. Mendel Toma

CONTRIBUȚII LA MARIREA CAPACITATII DE PRODUCȚIE  
LA MASINILE DE FREZAT CU CONSOLA

Teză de doctorat

BIBLIOTECA CENTRALĂ  
UNIVERSITATEA "POLITEHNICA"  
TIMIȘOARA

Conducător științific:  
Profesor emerit dr. ing. SAVII GHEORGHE

SUPRINTENDENȚA UNIVERSITARĂ

344 818  
214 4

Cuprins.

	pagina
Prescurtările utilizate	4
1. Introducere	8
2. Probleme generale ale instabilității dinamice la MU	10
2.1 Vibrații forțate datorită unor forțe exterioare	10
2.2 Vibrații forțate datorită unor forțe interioare	11
2.3 Vibrații autoexcitate cauzate de caracteristica negativă a forței de așchiere în funcție de viteză	12
2.4 Vibrații autoexcitate cauzate de formarea și rupe- reala periodică a adausului pe tâis	13
2.5 Vibrații autoexcitate cauzate de mișcarea sacadată	15
2.6 Vibrații autoexcitate cauzate de efectul regene- rativ	17
2.6.1 Variația grosimii așchiei	17
2.6.2 Variația forței de așchiere	18
2.6.3 Comportarea structurii	20
2.6.4 Schema bloc a sistemului dinamic închis MUPDS	23
2.6.5 Stabilitatea sistemului MUPDS	24
2.7 Vibrații autoexcitate cauzate de cuplarea poziției	26
2.8 Concluzii parțiale	27
3. Factori, care influențează comportarea la vibrații	28
3.1 Influențele condiționate de mașină	29
3.1.1 Cedarea dinamică a mașinii	29
3.1.2 Fundația	31
3.1.3 Poziția ansamblelor MU	31
3.1.4 Turăția arborilor	32
3.1.5 Deplasarea sănilor și meselor	32
3.1.6 Jocuri, ajustaje ușoare, influențe de nelini- ritate	33
3.1.7 Temperatura de regim	33
3.1.8 Fixarea piesei	34
3.2 Influențe ale parametrilor piesei	34
3.2.1 Materialul piesei. Valoarea coeficientului $k_c$	34
3.2.2 Cedarea piesei	34
3.2.3 Masă piesei	35
3.3 Influențe condiționate de orientarea direcțională	36
3.3.1 Influența unghiului de atac	37
3.3.2 Poziția sculei față de piesă	38

<b>3.4</b>	<b>Influențe condiționate de PA și S</b>	<b>38</b>
<b>3.4.1</b>	<b>Influența PA asupra maririi rigidității sistemului</b>	<b>39</b>
<b>3.4.2</b>	<b>Influența avansului</b>	<b>40</b>
<b>3.4.3</b>	<b>Geometria sculei</b>	<b>40</b>
<b>3.4.4</b>	<b>Influența uzurii tăișului</b>	<b>41</b>
<b>3.4.5</b>	<b>Influența vitezei de aşchiere</b>	<b>42</b>
<b>3.5</b>	<b>Concluzii parțiale</b>	<b>42</b>
<b>4.</b>	<b>Cercetarea prin aşchiere a comportării dinamice a unei mașini de frezat verticale</b>	<b>43</b>
<b>4.1</b>	<b>Condițiile stabilite pentru efectuarea încercărilor</b>	<b>43</b>
<b>4.1.1</b>	<b>Materialul și forma piesei</b>	<b>43</b>
<b>4.1.2</b>	<b>Scula folosită</b>	<b>44</b>
<b>4.1.3</b>	<b>Fixarea piesei și sculei</b>	<b>45</b>
<b>4.1.4</b>	<b>Aparate de măsura și control</b>	<b>45</b>
<b>4.2</b>	<b>Metodica folosită la încercări</b>	<b>46</b>
<b>4.3</b>	<b>Analiza datelor obținute experimental</b>	<b>49</b>
<b>4.4</b>	<b>Evaluarea rezultatelor și unele constatări</b>	<b>54</b>
<b>4.5</b>	<b>Concluzii parțiale</b>	<b>62</b>
<b>5.</b>	<b>Cercetarea comportării dinamice a mașinilor de frezat cu consolă, prin măsurarea funcțiilor de transfer a cedării</b>	<b>64</b>
<b>5.1</b>	<b>Standul de încercări și cercetare</b>	<b>65</b>
<b>5.1.1</b>	<b>Unitatea de pompăre</b>	<b>68</b>
<b>5.1.2</b>	<b>Amplificatorul electrohidraulic</b>	<b>73</b>
<b>5.1.3</b>	<b>Unitatea de comandă a AEH</b>	<b>77</b>
<b>5.1.4</b>	<b>Generatorul de frecvență</b>	<b>78</b>
<b>5.1.5</b>	<b>Excitatorul</b>	<b>79</b>
<b>5.1.6</b>	<b>Înductorul de forță</b>	<b>82</b>
<b>5.1.7</b>	<b>Traductorii de deplasare</b>	<b>87</b>
<b>5.1.8</b>	<b>Punțile de măsurare</b>	<b>89</b>
<b>5.1.9</b>	<b>Oscilograful</b>	<b>90</b>
<b>5.1.10</b>	<b>Osciloscopul</b>	<b>90</b>
<b>5.2</b>	<b>Metodica folosita la încercări</b>	<b>93</b>
<b>5.3</b>	<b>Reprezentarea rezultatelor încercărilor</b>	<b>94</b>
<b>5.3.1</b>	<b>Curbele de rezonanță</b>	<b>94</b>
<b>5.3.2</b>	<b>Caracteristica frecvențială amplitudine-fază</b>	<b>99</b>
<b>5.4</b>	<b>Valori caracteristice dinamice ale structurii</b>	<b>104</b>

6.	Ridicarea modurilor de vibrații	107
6.1	Standul de probă pentru ridicarea deformatei	108
6.2	Metoda de lucru pentru ridicarea deformatei	109
6.3	Reprezentarea deformatei modurilor de vibrații	111
6.4	Reprezentarea amplitudinilor unor noduri importante	118
7.	Considerații privind construcția mașinii	123
7.1	Evaluarea rezultatelor cercetarilor	123
7.1.1	Analiza curbelor de rezonanță	123
7.1.2	Analiza caracteristicilor frecvențiale amplitudine-fază	125
7.1.3	Analiza valorilor caracteristice ale modurilor de vibrații	126
7.1.4	Analiza deformelor modurilor de vibrații	131
7.2	Concluzii privind construcția mașinilor analizate	140
8.	Considerații privind procesul tehnologic de frezare	144
8.1	Analiza dinamica a procesului tehnologic de frezare	144
8.2	Schema bloc a circuitului de reacție al PT de frezare	152
8.3	Analiza stabilității dinamice a sistemului MUPDS	154
8.4	Ridicarea diagramelor de stabilitate	158
8.4.1	Domeniul de lucru	158
8.4.2	Calculul și reprezentarea coeficienților direcționali	161
8.4.3	Calculul partii reale și imaginare a PT a cedarii dinamice directe și transversale	163
8.4.4	Calculul și reprezentarea grafica a PT a cedării dinamice orientate	168
8.4.5	Calculul sirului $w_z$ și $n_z$ și reprezentarea diagramelor de stabilitate	175
8.5	Concluzii privind procesul tehnologic, în lumina analizei stabilității dinamice la frezare	178
9.	Concluzii finale	184
	Bibliografie	190
	Anexe	I

Prescurtări folosite.Prescurtări de text.

AEH	amplificator electro-hidraulic
CFAF	caracteristica frecvențială amplitudine-fază
D	dispozitiv
DVP	direcția vibrației proprii
FT	funcție de transfer
GF	generator de frecvență
MU	mașină unealtă
MUPDS	mașină unealtă - piesă - dispozitiv - sculă
MV	mod de vibrație
P	piesă
PA	procesul de aschieri
PH	panou hidraulic
S	sculă
SE	sistem elastic
UC	unitatea de comandă

Indici.

din	dinamic
gl	grad de libertate
i	corespunzător tăisului al i-lea
im	imaginär
$\text{Im} \{ \}$	partea imaginäră a lui
instab	instabil
i, j, k,	indici generalizați
lim	limită
m	medie
max	maxim
min	minim
neg	negativ
r	real
$\text{Re} \{ \}$	partea reală a lui
stab	stabil
stat	static
x, y, z,	proiecții pe axe de coordonate x, y, z

Litere mari.

$A_o$	UFAF orientată a cedării dinamice	
$B$	lățimea semifabricatului	mm
$C_d$	lungimea de contact a așchiei cu depunerea pe tăis	mm
$C_l$	lungimea de contact a așchiei cu fața de degajare a cuțitului și depunerea pe tăis	mm
$D$	diametrul frezei	mm
$D, D_1, D_2$	raport de amortizare	
$F_o(i\omega)$	FT $G_{jk}$ deschisă	
$F_r$	forță desvoltată în sistemul elastic	kgf
$F_s$	forță de frecare statică	kgf
$G_{jk}$	FT a cedării dinamice a structurii	$\mu\text{m}/\text{kgf}$
$H$	lățimea cu care freza depășește semifabricatul pe partea de intrare	mm
$K$	constanta elastică	$\text{kgf}/\mu\text{m}$
$K$	constanta de proporționalitate a mărcii tensometrice	
$M$	masă / suplimentara /	$\text{kgf} \cdot \text{sec}^2/\text{m}$
$N$	forță normală / pe suprafața de frecare /	kgf
$N_{cs}$	grad de aconferire dinți freză în piesă	
$P$	forță	kgf
$P/t/$	forță de așchiere dinamică / rezultantă /	kgf
$P_k$	punct critic al locului de transfer	
$P_x, P_y, P_z$	proiecțiile pe axele de coordonate respective ale forței de așchiere / de excitație /	kgf
$R_1 \dots R_4$	Rezistențe electrice / mărci tensometrii /	ohm
$R_{kj}$	coeficienți direcționali	
$S$	îmaginea Laplace a lui s	
$T$	temp de întirziere / decalaj /, între două muchii de tăiere consecutive	sec
$U$	tensiunea sursei de alimentare	volt
$U$	amplitudinea pătrunderii cuțitului în piesă	mm
$U$	viteză de pătrundere a cuțitului în piesă	$\text{mm/sec}$
$V$	tensiunea între nodurile punții Wheatston	volt
$W_a$	FT a procesului de formare a așchiilor	
$W_h$	FT a procesului de formare a depunerii pe tăis	
$W_\mu$	FT a influenței termice în condițiile formării depunerii pe tăis	
$Y$	îmaginea Laplace a lui y	

Litere mici.

$a$	lungimea cursei de ieșire a frezei din piesă	mm
$a_1$	variația grosimii așchiei	mm
$a_d$	variația grosimii stratului de așchiat	mm
$c$	cedarea specifică / relativă /	$\mu/\text{kgf}$
$c, c_1, c_2, \dots$	coeficienți de amortizare ai MV al structurii	$\text{kgf.sec/cm}$
$d$	raport de amortizare	
$d_1, d_2$	diametre / piston, tijă excitator /	mm
$f_o$	frecvența proprie / critică /	Hz
$h$	înălțimea depunerii pe tâiș	mm
$i_1, i_2$	intensitate de curent	mA
$i, j,$	$\sqrt{-1}$	
$j, k,$	indice de număr curent	
$k, k_1, k_2, \dots$	constanta elastică a MV al structurii	$\text{kgf}/\mu$
$k_c$	coeficientul dinamic al forței de așchiere	$\text{kgf}/\text{cm}^2$
$k_{cw}$	coeficientul dinamic al forței de așchiere reportat la adâncimea de așchiere	$\text{kgf}/\text{cm}$
$m$	masa echivalentă a MV	$\text{kgf.sec}^2/\text{m}$
$n$	parametru / $m = 0, 1, \dots, 7, /$	
$n$	turația frezei	rot/min
$p$	presiune / hidraulică /	$\text{kgf}/\text{cm}^2$
$s$	operatorul Laplace	
$s$	grosimea instantanea a așchiei	mm
$s_0$	grosimea reglată a așchiei	mm
$s_z$	avansul pe un dintre al frezei	mm
$\Delta s$	element de arc al curbei CFAF	rad
$t$	temp	sec
$u_i/t/$ $i=x, y, z,$	proiecții ale variației grosimii de așchiere	mm
$v$	viteză / de așchiere, de alunecare, ... /	$\text{m/sec}$
$v_a$	viteză de alunecare constantă	$\text{mm/sec}$
$v_{ar}$	viteză de alunecare relativă	$\text{mm/sec}$
$v_{sl}$	viteză de alunecare / slip /	$\text{mm/sec}$
$w$	adâncimea de așchiere	mm
$x, y, z,$	direcții ale axelor de coordonate	
$x, y, z,$	deplasări relative între S-P, în direcția axelor de coordonate respective	mm
$x_q, v_q, z_q,$ $q=1\dots 50$	amplitudinile punctelor de măsurare la ridicarea deformelor MV a structurii	$\mu\text{m}$
$z$	numărul de dinți al frezei	

$z_c$	numărul de dinți în atac al frezei
$z_e$	mărime de ieșire
$z_i$	mărime de intrare

Litere grecești.

$\alpha$	unghiul dintre rezultanta forței de aşchierie și planul x y	grade
$\alpha$	unghiul de aşezare al cuțitului	grade
$\alpha_1, \alpha_2, \alpha_3, \dots$	unghiul ce determină direcția unui MV față de normala pe suprafața aşchiată	grade
$\beta$	unghiul dintre rezultanta forței de aşchierie și normala pe suprafața aşchiată	grade
$\beta$	unghiul de tăiere	grade
$\delta$	unghiul de degajare al cuțitului	grade
$\delta_1, \delta_2, \delta_3, \dots$	raporturile de amortizare a MV al structurii	
$\varepsilon$	pasul unghiular al normalei pe suprafața aşchiată	grade
$\varepsilon$	alungirea specifică	
$\gamma$	rândament	
$\theta$	temperatură	°C
$\theta_1, \theta_2,$	unghiuurile corespunzătoare elementelor de arc s al CFAF	grade
$\chi$	unghiul de atac al cuțitului	grade
$\chi'$	unghiul complimentar de atac al cuțitului	grade
$\mu$	factor de acoperire	
$\mu$	coeficient mediu de frecare	
$\mu_{as}$	coeficient de frecare static	
$\mu_{ak}$	coeficient de frecare cinetic	
$\xi_i$	unghiul ce determină direcția axei de cedare principală față de axele de coordonate	grade
$\sigma$	rezistență la întindere/compresiune	kgf/cm <sup>2</sup>
$\tau$	temp de decalaj între 2 muchii de tăiere	sec
$\phi$	defazaj între semnalul de intrare și ieșire	grade
$\varphi$	saltul geometric dintre turății / avansuri / poziția tășului cuțitului în planul x y	grade
$\psi_E$	unghiul sub care freza parăsește piesa	grade
$\psi_I$	unghiul sub care freza intră în piesă	grade
$\psi$	defazaj dintre forța de aşchierie și variația grosimii de aşchie	grade
$\psi$	direcția rezultantei medii a forței de aşchierie în planul x y	grade
$\omega$	pulsătie / frecvență circulară /	1/sec
$\omega_0$	pulsătie / frecvență circulară / proprie	1/sec

1. Introducere.

Evoluția ascendentă a productivității muncii în domeniul tehnologiei prelucrării prin așchiere, s-a produs sub forma unor salturi calitative, acestea fiind rezultatele unor acumulări cantitative lente, dar perseverente în domeniul practicii uzinale, îmbinată cu munca de concepție și cercetarea științifică.

Realizarea și extinderea sculelor armate cu carburi metalice, a permis creșterea vitezei de așchiere precum și a secțiunii așchiei de 3-5 ori. Aceasta a adus cu sine: motoare de antrenare mai puternice, lanțuri cinematice robuste, batiuri, carcase rigide. Ponderea timpului de bază scade. Urmează diminuarea ponderii timpului auxiliar prin: dispozitive de strîngere multiplă cu acționare rapidă pe cale mecanică, pneumatică, hidraulică, electrică, înzestrarea lanțului cinematic de avans cu ciclu mecanizat, semiautomat, automat.

Valorificarea rezervelor tehnologice continuă prin extinderea numărului sculelor, respectiv ai arborilor principali sau ai unităților de forță aflați simultan în lucru, scule cu mai multe târguri, scule combine, toate acestea contribuind la diminuarea în continuare a timpului de bază. În domeniul timpului auxiliar, folosirea comenziilor cu program, și mai recent a comenziilor numerice, iar la timpul de bază a comenzi adaptive, par a dovedi că creșterea productivității muncii s-ar apropiă de un plafon. Acest lucru pare verosimil, mai ales pentru faptul că ultimii pași enumerate prin cari se obțin în continuare creșteri de productivitate, sănt tot mai costisitoare, iar la actualul stadiu al tehnicii, numai creșterea productivității, nu justifică la majoritatea mașinilor unelte, aceste perfectionari costisitoare, ci alte considerente ca: precizia prelucrării, diversificarea produselor, lipsă de personal, operativitatea comercială față de beneficiari și.a.

Există un domeniu vast, prea puțin explorat, în care numai prin alegerea optimă a condițiilor tehnologice, sau prin realizarea unor modificări constructive relativ modeste a mașinii unelte, se pot obține creșteri însemnante a capacitatii de așchiere și deci a productivității muncii. Este vorba de comportarea dinamică a sistemului MUPDS.

Destul de frecvent apare starea de instabilitate dinamică a sistemului tehnologic MUPDS , care se manifestă prin apariția unor vibrații în timpul aşchierii. Datorită acestui fenomen, apare: suprasolicitarea și uzura prematură a MU; deteriorarea și anoi uzura prematură a tăișului sculei / Al /; rugozitatea necorespunzătoare a suprafeței prelucrate; influențarea negativă a preciziei de prelucrare; suprasolicitarea acustică a personalului de deservire; etc. Revenirea la o aşchiere fără vibrații, în majoritatea cazurilor se poate realiza prin schimbarea regimului de aşchiere sau a reglării MU, care actualmente duce de obicei la scăderea productivității de aşchiere. Acest efect are însemnătate deosebită la MU cu valoare ridicată, cum sunt MU mari, precum și cele cu comandă numerică.

Extinzînd printr-una sau mai multe metode domeniul stabil al sistemului MUPDS, se crează condiții favorabile creșterii capacitații de aşchiere și eliminării influențelor nefavorabile arătate mai sus.

In lucrarea de față se face un studiu al comportării dinamice a mașinilor de frezat cu consola și cu precădere a mașinilor de frezat vertical lucrînd cu freză cilindro-frontală. Acest sistem tehnologic MUPDS, ridică cele mai complexe probleme de comportare dinamică. Metoda de studiu și analiză folosită, are caracter general, astfel orice alt sistem tehnologic MUPDS se va putea analiza ca un caz particular al metodei generale folosite la mașinile de frezat vertical. In cursul lucrării s-au folosit aparate de cercetare științifică comună, aflate la dispoziția multor întreprinderi. In acest sens s-a amenajat un stand de cercetare la Intreprinderea "Unirea" Cluj-Napoca, unde s-au executat lucrările de cercetare a comportării dinamice a unei mașini de frezat vertical tip FV 32 x 132 , în continuare notată ca: FV 32-1 . Un alt doilea stand de cercetare s-a amenajat la Intreprinderea Mecanică Cugir, cu separația provenită parțial din standul anterior, parțial din dotarea I.M. Cugir, cu care stand s-au executat lucrările de cercetare necesare analizei comportării dinamice la o mașină de același tip ca mai sus, notată ca: FV 32-2 , o mașină de frezat verticală tip: FV 35 x 140 , notată ca: FV 35 , precum și o mașină de frezat universală tip: FU 35 x 140 , notată ca: FU 35. Ultimele două mașini au fost exemplare prototip, apartinătoare unei familii noi de mașini de frezat, toate concepute și realizate la Intreprinderea Mecanică Cugir.

Valorificarea rezultatelor analizei comportării dinamice a mașinilor de frezat cu consolă se face pe două căi: depistarea nodurilor slabă din punct de vedere dinamic a structurii MU și recomandarea unor modificări constructive care să contribue la creșterea rigidității dinamice în aceste noduri, precum și determinarea domeniilor tehnologice a structurii MU cu stabilitate dinamică ridicată spre a putea oferi tehnologului posibilitatea de a amplasa procesul tehnologic de așchiere, într-una din aceste domenii favorabile. Ambele aceste căi conduc către un prag de stabilitate dinamică mai ridicat și care se materializează prin creșterea grosimii așchiei posibil de detasat în regim stabil-deci fără vibrații, ceace duce în mod direct la creșterea capacitatei de producție la mașinile de frezat cu consolă.

## **2. Probleme generale ale instabilității dinamice la MU.**

Instabilitatea sistemului dinamic a MU se manifestă prin apariția în timpul PA a unor mișcări relative între P-S care se suprapun mișcărilor tehnologice reglate / mișcarea de avans, mișcarea de generare a așchiei /. natura excitației acestor vibrații este diversă. Astfel deosebim:

- Vibrații forțate, cauzate de:
  - forțe exterioare MU
  - Forțe interioare MU
- Vibrații autoexcitate, cauzate de:
  - Caracteristica negativă a  $P = f / v$  /
  - Depunerile pe tăș
  - Mișcarea sacadată / stick-slip /
  - Efectul regenerativ
  - Cuplarea poziției.

### **2.1 Vibrații forțate datorită unor forțe exterioare.**

Socuri sau vibrații periodice pot fi generate de utilaje învecinate, prin natura lor generând aceste perturbații, ca: prese, mașini de rabotat și de mortezat, pompe hidraulice etc. și care perturbații se transmit mașinii analizate, prin fundație, sau prin mediul hidraulic. Efectul acestora se poate diminua prin

realizarea unor fundații amortizante, la mașina generatoare sau la mașina receptoare dar se recomandă la ambele mașini. În circuitul hidraulic se recomandă legarea în paralel a unui acumulator cu pernă de gaz în vederea aplanării amplitudinilor pulsărilor pompei.

## 2.2 Vibrări forțate datorită unor forțe interioare.

ACESTE FORȚE DINAMICE SINT GENERATE DE ANSAMBLE SAU ORGANE ROTATIVE IMPRECIS EXECUTATE SAU MONTATE, DESECHILIBRATE, GREȘELI IN LAGĂRE, ȘOCURI LA ANGRENAREA ROTIILOR DINȚATE ETC. ACESTE SURSE PERTURBATOARE SE POT LOCALIZA RELATIV SIMPLU, PORNIND DE OBICEI DELA FRECVENTA VIBRATIEI PE CARE O GENEREAZĂ.

Importanță deosebită au forțele periodice care apar datorită șocurilor de intrare a dințiilor frezei în piesă unde deobicei raportul B/D este subunitar, precum și datorită variației numărului de dinți ai frezei care se află în contact cu piesa. După cum rezultă din analiza lui [38] Piekenbrink /fig. 2.1/ variația amplitudinii rezultantei forței de

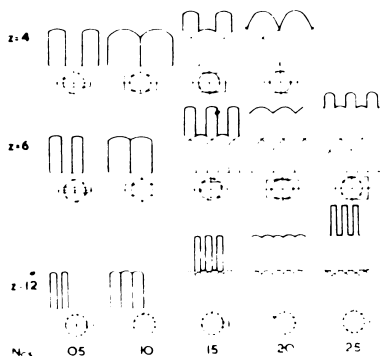


fig. 2.1 [38]

așchiere, este maximă atunci cind numărul de dinți ai frezei în contact cu piesă, este un multiplu impar de 0,5, și este neglijabilă cind este un multiplu par de 0,5. Dacă aceste forțe sunt suficient de mari, iar frecvența lor se suprapune peste una din frecvențele proprii a structurii, sistemul intra în rezonanță. Se poate evita acest neajuns prin: asigurarea unui număr întreg de dinți ai frezei în contact cu piesă, sau alegerea unei altături de lucru a frezei.

Caracteristica principală a vibrărilor forțate:

- Sistemul MUPDS vibrează cu frecvența forței de excitare
- Frecvența vibrărilor este relativ joasă / sub 50 Hz /

- Amplitudinea vibrației poate crește mult, dacă frecvența forței de excitație periodică este în apropierea unei frecvențe proprii a mașinei / rezonanță /.

### 2.3 Vibrații autoexcitate cauzate de caracteristica negativă a forței de aschieri în funcție de viteza.

In cazul vibrațiilor autoexcitate, sistemul tehnologic MUPDS vibreaza cu una sau mai multe frecvențe proprii, fără ca asupra sistemului să acioneze forțe perturbatoare din afară.

Una din cauzele care pot provoca vibrații autoexcitate, constituie caracteristica negativă a curbei de variație a forței de aschieri tangențială, în funcție de viteză.

Descreșterea forței de aschieri odată cu creșterea vitezei de aschieri, crează o forță de amortizare negativă, care poate cauza instabilitatea sistemului și deci apariția autovibrăriilor.

Acest efect poate avea totuși o pondere mai redusă. Dacă de exemplu o amplitudine a vibrației de 0,1 mm la o frecvență de 100 Hz, variația vitezei de aschieri va fi:

$$v = 2 \cdot 0,1/\text{mm} \cdot 100/\text{Hz} \cdot 2 = 126 \text{ mm/sec} = 7,5 \text{ m/min.}$$

Variația de viteză de această ordine de mărime, nu va putea cauza o variație a forței care să producă o deformare a structurii în zona de contact S-P. Rezultă că acest gen de vibrații autoexcitate, pot avea efect simțitor, numai în cazuri în care se fac antrenări cu rezistență torsională redusă, sau și păru rezistență de încovoiere reduse.

Din curbele ridicate de Arnold /fig. 2.2/ rezultă pantă pronunțată în domeniul  $v < 50 \text{ m/min}$ , ceace arată că la viteze-

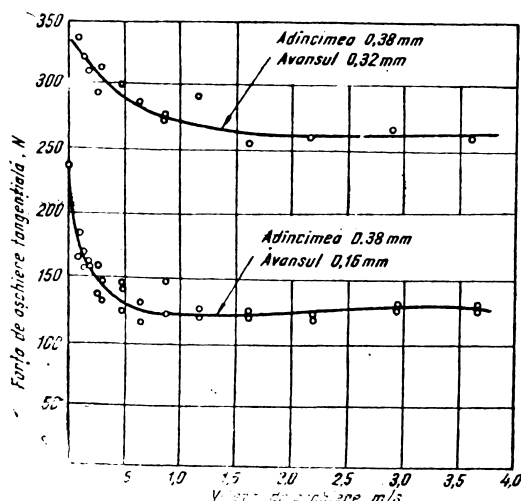


fig. 2.2 [1]

le de aşchieri practicate azi,/cu plăcuțe din carburi metalice/ acest domeniu este evitat, rămnind valabil pentru cazurile de prelucrare cu scule din oțel rapid.

#### 2.4 Vibratii autoexcitate cauzate de formarea și ruperea periodică a adausului pe tăis.

In anumite condiții, care depind de materialul semifabricatului, geometria sculei, regimul de aşchieri, etc., procesul de aşchieri devine instabil, datorită formării și ruperii depunerilor pe tăis. Acest fenomen cauzează o variație periodică a grosimii aşchiei și deci și a forței de aşchieri care va excita sistemul tehnologic MUPDS. Dacă frecvența periodicității acestui fenomen se situează în apropierea unei din frecvențele proprii a structurii, sistemul intră în rezonanță. Pe baza cercetărilor lui Steinberg, Zorev, și-a. precum și a cercetărilor proprii, Kudinov [20] emite o ipoteză bine argumentată, logică, fundamentală teoretic și verificată experimental, privitoare la mecanismul formării depunerii pe tăis./ fig. 2.3 /.

Variația grosimii  $a_1$  a stratului de aşchiat, provocată de partea proeminentă a depunerii, depinde de înălțimea  $h$  a depunerii, și atrage după sine variația grosimii  $a_1$  a aşchiei. Odată cu mărirea grosimii aşchiei, se mărește și depunerea pe tăis, adică lungimea de contact  $C_1$ , sau fața de degajare și înălțimea  $h$  a depunerii. Pe de altă parte, variază cîmpul de temperatură deoarece se schimbă atît condițiile de producere a căldurii, cît și cele de degajarea ei. Datorită variației temperaturii, se schimbă proprietățile materialului și caracterul interacțiunii dintre aşchie și sculă. Corespunzător vor suferi variații și parametrii depunerii  $C_1$  și  $h$ . Prin suprapunerea celor două cauză de influență, rezultă variația totală a înălțimii depunerii  $h$ , ca funcție de variația grosimii aşchiei. În acest fel, sistemul de deformare se compune din două circuite de legătură - unul de deformare și altul

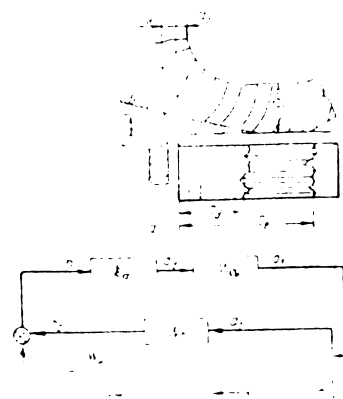


fig. 2.3 [20]

termic. În zona de contact a aşchiei cu faţa de degajare a cuşitului, se formează aşa numitul strat de curgere / fig 2.4 /. S-a constatat că datorita legilor de transmitere a căldurii, temperatura maximă va fi în interiorul aşchiei, la jumătatea grosimii stratului de curgere și nu pe suprafaţa de contact a aşchiei cu

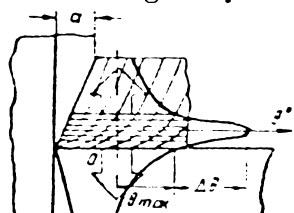


fig. 2.4 [63]

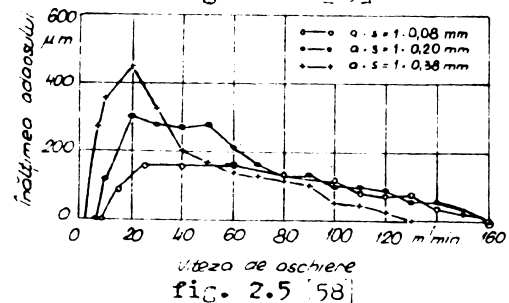


fig. 2.5 [58]

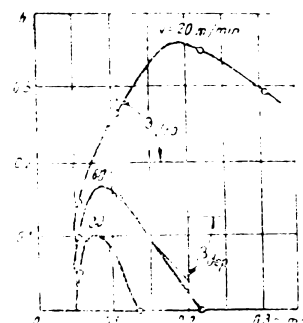


fig. 2.6 [11]

cuşitul. Diferenţa de temperatură dintre aceste două straturi, poate atinge valori mari / chiar și  $400^{\circ}\text{C}$ / temperatura din interior putind depăşi cea de recristalizare. În această zonă se produce o alunecare a materialului, iar la suprafaţa cuşitului materialul ecruisat adera de acesta formind depunerea.

Fenomenul se poate evita sau diminua prin:

- Schimbarea geometriei sculei / A †/.
- Variația regimului de aşchiere / v, s,/ / fig. 2.5;2.6/
- Utilizarea lichidelor de răcire și ungere
- Încălzirea artificială a sculei
- Vibrarea ultrasonoră artificială a sculei.

Din diagramele 2.5 și 2.6 rezultă variația înălțimii depunerii în funcție de viteză, precum și de grosimea aşchiei, mai pronunțată în domeniul vitezelor mici. Se pare că acest fenomen nu are caracter general, se limitează la regimurile de aşchiere proprii sculelor din oțel rapid.

## 2.5 Vibratii autoexcitate cauzate de miscare sacadata.

La viteze mici de alunecare, in conditiile frecarii uscate, mixte sau limita, miscarea poate fi insotita de anumite intermitente sau sacadari. Renomenul denumit si stick-slip, influenteaza negativ uniformitatea avansului, starea suprafetei ghidajelor, calitatea suprafeteilor prelucrate, precizia de lucru etc. Neuniformitatea avansului cauzeaza variația grosimii așchiei, si deci si a forței de așchieră care va excita structura MU cu frecvența mișcării sacadate. Dacă această frecvență este apropiată de una din frecvențele proprii a sistemului tehnologic MUDPS, acesta va intra în rezonanță.

Coulomb a sesizat că valoarea forței necesare pentru a provoca mișcarea, este superioară celei pentru a menține mișcarea. Tot de atunci se disting două feluri de coeficienți de fricare: static și kinetic. Parker a pus în evidență variația coeficientului de fricare static cu viteza de aplicare a forței tangențiale. Admitând un sistem mecanic elastic echivalent, ca în fig. 2.7

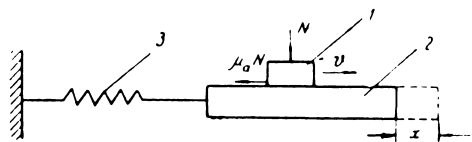


fig. 2.7

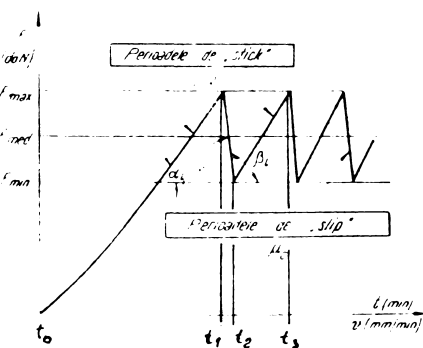


fig. 2.8

alunecarea epruvei mobile 1, cu o viteză constantă  $v_0$ , pe epruveta suport 2, initial în repaus, poate provoca o variație a forței de fricare / ca în fig. 2.8 / care produce intermitență alunecării denumită stick-slip / lipire-alunecare /.

La începutul mișcării /  $t=t_0$  și  $v_0=0$  / la interfața de contact a couplei de fricare, datorită sarcinii  $N$ , acionează forță de fricare statică:  $F_s = \mu_{as}N$  / 2.1 /

În prezența acestei forțe se constată ca în perioada  $t_0 - t_1$  ambele elemente 1 și 2 ale couplei de fricare, par lipite / stick /

și se deplasență împreună cu viteza  $v_a$  impusă de sistemul de antrenare, iar resortul 3, de rigiditate  $K$  este deformat în direcția mișcării, sageata sa fiind:

$$x_1 = \frac{N}{K} \mu_{as} \quad / 2.2 /$$

/ordonata punctului 1 /

In momentul  $t_1$  forța  $F_r$  desvoltată în sistemul elastic, depășește valoarea forței de frecare  $F_s$

$$F_r = k \cdot x > F_s \quad / 2.3 /$$

iar epruveta mobilă 2, de masă  $m$  se desprinde, deplasându-se în sens contrar vectorului  $v$ . In perioada de alunecare  $t_1 - t_2$  / slip /, viteza medie de slip depășește cu mult viteza de antrenare /  $v_{sl} \gg v$  / și valoarea medie a coeficientului de frecare cinetic  $\mu_{ak} > \mu_{as}$ . In momentul  $t_2$  în care viteza relativă de alunecare dintre cele două suprafete devine  $v_{ar} = 0$ , cupla de frecare execută o nouă perioadă de lipire /stick/  $t_2 - t_3$  și procesul continuă. Coeficientul static de frecare corespunde perioadei de lipire, iar cel cinetic perioadei de alunecare /fig. 2.8/

Stick-slipul se explică în general prin fenomene de aderență, prin formarea unor punți de sudură. Apare la viteze mici  $v_a = 0,18 - 180 \text{ mm/min}$ . deoarece punțile de sudură pot rezista numai la o disipare rapidă a energiei calorice, corespunzătoare unor tempi de răcire de ordinul  $10^{-7} - 10^{-4} \text{ s}$ .

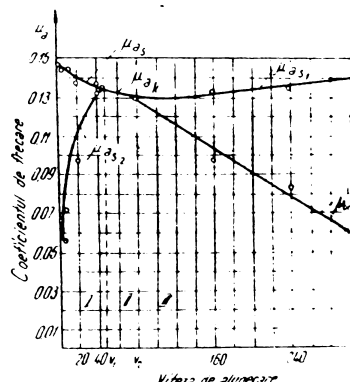
Raportul între coeficientul de frecare static și cinetic denumit coeficientul de stick-slip, semnalizează apariția sau nu a fenomenului. Astfel pentru:

$\frac{\mu_{as}}{\mu_{ak}} \geq 1$  se consideră că alunecarea va fi însoțită de intermitență, iar pentru

$\frac{\mu_{as}}{\mu_{ak}} < 1$  stick-slipul se consideră practic amortizat.

Cercetările experimentale au stabilit, că dacă se depășește viteza relativă de alunecare la care se poate produce stick-slipul, urmează o zonă de viteze de alunecare fără sacădări /zonă II/. Cu viteza de alunecare crescândă și răsărită, alunecarea devine intermitentă pe

zonă III / fig. 2.9 / fenomenul fiind fig. 2.9



denumit : alunecare cu autovibrării. Aci condițiilor de stick-slip l-i se asociază o anumită valoare a coeficientului de rigiditate. Acest fenomen vibratoriu poate fi amortizat, caca curba de variație a coeficientului de frecare în funcție de viteză este ascendentă și autoexcitat pe porțiunea descendentă a curbei / amortizare negativă /. și apar autovibrării.

Domeniul vitezelor de alunecare fără mișcare sacadată, se poate extinde prin: modificarea calității lubrefiantului / viscozitate , onctuozitate /, rigiditatei, rugozității. Efectul negativ produs prin apariția mișcării sacadate se mai poate evita prin unele măsuri tehnologice, cum ar fi: Tipul și direcția prelucrării ghidajelor, utilizarea unor lubrefianți cu bisulfură de molibden, placarea cu placi de politetrafluoretilen a suprafetei de ghidare a saniei, etc. [34]

## 2.6 Vibrări autoexcitate cauzate de efectul regenerativ.

O variație a forței de așchiere, sau vibrația fundației, poate cauza o mișcare vibratorie proprie descrescindă și care are ca efect, o suprafață așchiată armonică. La trecerea următoare, tâișul va detașa de pe această suprafață sinusoidală, o grosime a așchiei cu o modulație avind frecvența egală cu frecvența proprie a sistemului MUDPS. Variațiile forței de așchiere ce rezultă, excită din nou mașina la frecvența proprie, care va avea iarăși ca urmare, ondulații sinusoidale ale suprafetei așchiate.

In cazul ca amortizarea sistemului este suficientă, fenomenul se stinge - PA va fi stabil. Dacă amortizarea sistemului este insuficientă și nu poate stinge acest proces, oscilațiile cresc - PA va fi instabil. Defazajul dintre ondulația nou creată și cea precedentă are rol hotăritor. Deoarece detașarea nouă de așchie, de pe suprafața anterior produsă, menține procesul de vibrație, fenomenul se numește vibrație regenerativă.

Sunt importante din acest punct de vedere, deplasările care generează variația grosimii așchiei, deci cele perpendiculare pe suprafață așchiată. / Deplasările în direcția vitezei au influență neînsemnată asupra comportării la stabilitate, precum rezultă din subcapitolul 2.3 /.

### 2.5.1 Variația grosimii așchiei.



fig. 2.10

Pentru cazul, cind factorul de acoperire  $\mu \neq 0$  și avansul de bază  $s_0$  - datorita uzurii sculei - este o funcție de timp, adică  $s_0/t$ , valoarea instantanee a grosimii așchiei se poate exprima / fig. 2.10 / :

$$s/t = s_0/t - y/t + \mu.y/t - \zeta / \quad 2.4 /$$

iar transformata Laplace a acesteia este

$$s/s = S_0/s - Y/s + \mu.e^{-\zeta s}.Y/s / \quad 2.5 /$$

/ aici  $s$  este deja operatorul Laplace /, sau scriind

$$S_0/s - S/s = Y/s ./ 1 - \mu.e^{-\zeta s} / \quad 2.6 /$$

funcția de transfer a variației grosimii așchiei va avea forma:

$$\frac{Y/s}{S_0/s - S/s} = \frac{1}{1 - \mu.e^{-\zeta s}} \quad 2.7 /$$

#### 2.6.2 variația forței de așchiere.

forța de așchiere rezultantă  $P/t$ , / desigur și componentele ei / depinde de grosimea instantanee a așchiei în condițiile caracterului dinamic a procesului de așchiere. Ecuațiile diferențiale care ar putea descrie comportarea dinamică a PA n-au fost încă elucidate în suficientă măsură de către fizica tăierii metalelor. Deși s-au desfășurat numeroase și ample cercetări în URSS, CSSR, Anglia, SUA, RFG, încă nu a fost publicat un rezultat

experimental definitiv. Din considerante practice, s-a convenit exprimarea forței de așchieri prin relații de forma:

$$P/t = k_c \cdot s/t \quad / 2.8 /$$

unde  $k_c$  = rigiditate de tăiere, care cuprinde influențele medii ale celorlalți parametri, în afara grosimii așchierii.

Merchant [28] neglijînd partea dinamică, consideră "rigiditatea orientată statică a așchierii" ceace ar corespunde coeficientului  $k_g$  și lui Tobias [54]. Tobias se dovedește a fi foarte realist, exprimînd variația forței de așchieri cumeticulitate sub forma:

$$dP_x = z_c \cdot k_1^x x/t - \mu \cdot x/t - \frac{T}{z} + z_c \frac{K_n}{R} - K^x \frac{2\pi}{z\Omega} \frac{dx}{dt} \quad / 2.9 /$$

luînd în considerație caracterul dinamic a PA prin :

$k_1^x$  = coeficientul dinamic de proporționalitate a forței de așchieri, față de variația grosimii așchiei.

$K^x$  = coeficient proporțional cu efectul de pătrundere a S în P și care are efect amortizator, sau invers / luînd în considerație factorii cari pot concura la acesta / turătie, avans, geometria sculei, corelația S-P etc. / și

$K_n$  = coeficient funcție de viteza care determină natura PA / așchie de forfecare, de curgere, adaus pe tăis /.

Relația lui Tobias este totuși greoaie, determinarea coeficienților fiind laborioasă.

Polacek și Slavicek [39] în CSSR, Peters, Vanherck și Van Brussel [36] în Olanda, Werntze [62] în RFG, și.a. au elaborat metode și standuri, pentru determinarea experimentală a coeficientului dinamic de așchieri / rigiditatea dinamică de așchieri/ asigurînd de data asta în mod fidel relația / 2.8 /. Aceste cercetări au stabilit că relația pînă atunci folosită:

$$k_c = \frac{P/t}{s/t} \quad / 2.10 /$$

în care  $k_c$  este determinat ca un simplu factor de proporționalitate dintre variația forței de așchieri și variația grosimii așchiei, este valabilă numai în anumite condiții, îndesosesebi la frecvențe relativ scăzute. În domeniul frecvențelor mai ridicate, s-a constatat dependența lui  $k_c$  de frecvență atât ca mărime cît și ca fază și astfel relația lui  $k_c$  se va putea exprima prin:

$$k_c/i\omega = \frac{P}{s} / i\omega = \frac{P}{s} / .e^{i\gamma/\omega} \quad / 2.11 /$$

Se ia în considerare adâncimea aşchiei în care a stat la baza determinării experimentale și se obține coeficientul dinamic de aşchiere relativ, sub forma:

$$k_{cw}/i\omega = \frac{k}{w} /i\omega/ = \frac{P}{w.s} /i\omega/ \quad / 2.12 /$$

ceace este o constantă a materialului semifabricatului în condițiile FA alese. Aceasta se poate reprezenta sub forma unei CFAP a vectorului  $\frac{P}{w.s}$  cu unghiul de defazaj  $\psi$  avind ca parametru, frecvența  $\omega$ . Acest defazaj se menține la o valoare de cca.  $10^{\circ}$  într-un domeniu larg / 70 - 400 Hz / ceace permite să se considere constantă și chiar să se negligeze îndeosebi sub 100 Hz. Cu atât mai mult, cu cît Blankenstein [4] a constatat, că odată cu variația vitezei de aşchiere, componentele statice a forței de aşchiere rămân aproape neschimbate, pînă cînd forțele dinamice variază pronunțat. Ele scad cu creșterea vitezei, astfel la viteze de peste 100 m/min ponderea forței de aşchiere dinamice este doar de  $5\%$  față de forță de aşchiere statică, în schimb cu scăderea vitezei, ponderea forței de aşchiere dinamice poate atinge 50% din ponderea forței statice./ fig.2.11/.

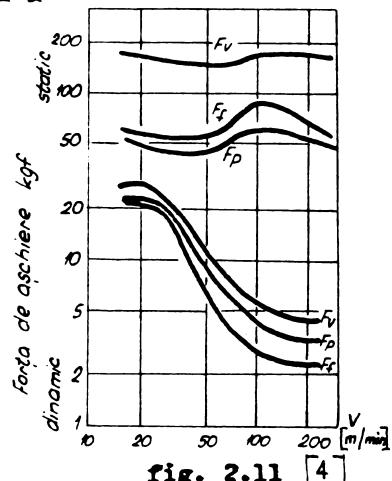


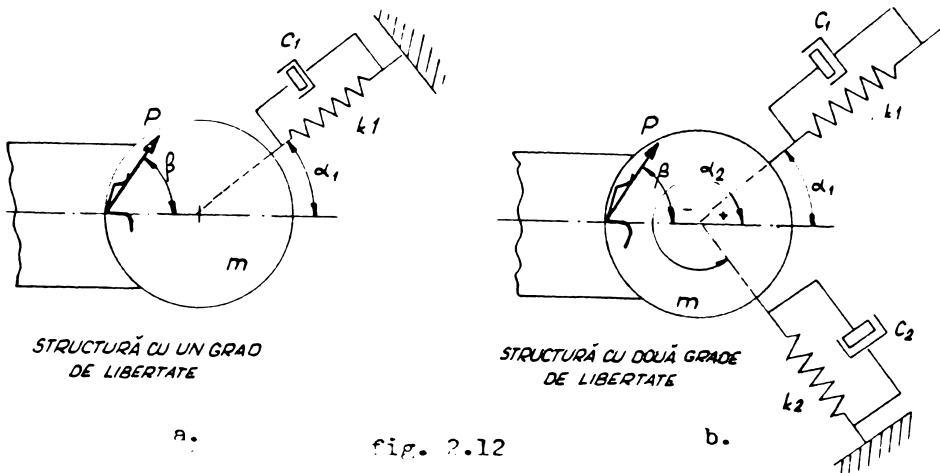
fig. 2.11 [4]

### 2.6.3. Comportarea structurii.

Variata forței de aşchiere - cauzată de aceea a grosimii aşchiei - va aciona asupra structurii MU /SE/, provocînd deplasări reciproce într S-P. Caracteristica cedării dinamice a structurii este importantă în cercetarea vibrațiilor.

Structurile MU sunt sisteme continue a căror comportare este descrisă prin ecuații diferențiale parțiale. Aceste ecuații sunt complicate, avînd condiții limită precum și restricții complexe. În majoritatea cazurilor însă, cedarea dinamica poate fi aproximată corespunzător, prin folosirea unei analize cu parametri concentrați. Folosind legea de mișcare, dedusă din legea II-a a lui Newton, pentru o structură cu un singur grad de libertate, /fig. 2.12a/ avem :

## COMPORTAREA STRUCTURII



$$\frac{P/t}{\cos/\alpha_1 - \beta} = m \frac{d^2}{dt^2} \left[ \frac{y/t}{\cos \alpha_1} \right] + c_1 \frac{d}{dt} \left[ \frac{y/t}{\cos \alpha_1} \right] + k_1 \left[ \frac{y/t}{\cos \alpha_1} \right] / 2.13 /$$

Folosind transformata Laplace, rezultă :

$$\frac{P/s}{\cos/\alpha_1 - \beta} = \frac{Y/s}{\cos \alpha_1} / ms^2 + c_1 s + k_1 / 2.14 /$$

De unde rezultă funcția de transfer a cedării dinamice :

$$\frac{Y/s}{P/s} = \frac{\cos/\alpha_1 - \beta / \cos \alpha_1}{m \cdot s^2 + c_1 s + k_1} / 2.15 /$$

Inlocuind:  $\xi_1 = \cos/\alpha_1 - \beta / \cos \alpha_1$ ;  $\omega_1^2 = \frac{k_1}{m}$ ;

$$\zeta_1 = \frac{c_1}{2 \sqrt{k_1 \cdot m}}; \quad \frac{1}{\omega_1} = \frac{\xi_1}{\omega_1}; \quad \text{se obține :}$$

$$\frac{Y/s}{P/s} = \frac{1}{k_m \left[ \frac{s^2}{\omega_1^2} + 2 \frac{\xi_1 \cdot s}{\omega_1} + 1 \right]} / 2.16 /$$

Cedarea dinamică a structurii cu două grade de libertate / fig. 2.12.b / reprezentată similar printr-un model cu parametri concentrați, va avea forma :

$$\frac{Y/s}{P/s} = \frac{\xi_1}{k_1 \left[ \frac{s^2}{\omega_1^2} + 2 \frac{\zeta_1 \cdot s}{\omega_1} + 1 \right]} + \frac{\xi_2}{k_2 \left[ \frac{s^2}{\omega_2^2} + 2 \frac{\zeta_2 \cdot s}{\omega_2} + 1 \right]} / 2.17 /$$

unde :

$$\begin{aligned}\varepsilon_1 &= \cos/\alpha_1 - \beta/. \cos \varphi_1 ; \omega_1^2 = k_1 m ; \delta_1 = \frac{c_1}{2\sqrt{k_1 m}} ; \\ \varepsilon_2 &= \cos/\alpha_2 - \beta/. \cos \varphi_2 ; \omega_2^2 = k_2 m ; \delta_2 = \frac{c_2}{2\sqrt{k_2 m}} ;\end{aligned}$$

Partea dreaptă a ecuației / 2.17 / se poate scrie cu numitor comun, pentru a obține forma convențională a funcției de transfer constant în timp. [29], [48]. Prin urmare

$$\frac{Y/a}{P/a} = \frac{\frac{s^2}{\omega_a^2} + \frac{2\delta_a}{\omega_a} s + 1}{k_m \left[ \frac{s^2}{\omega_1^2} + \frac{2\delta_1}{\omega_1} s + 1 \right] \left[ \frac{s^2}{\omega_2^2} + \frac{2\delta_2}{\omega_2} s + 1 \right]} \quad / 2.18 /$$

unde:

$$\begin{aligned}\frac{1}{k_m} &= \frac{\varepsilon_1}{k_1} + \frac{\varepsilon_2}{k_2} ; \omega_a^2 = \frac{\varepsilon_1 \cdot \omega_2^2 + \varepsilon_2 \cdot \omega_1^2}{\varepsilon_1 + \varepsilon_2} \quad \text{și} \\ s &= \frac{\varepsilon_1 \omega_2 \delta_2 + \varepsilon_2 \omega_1 \delta_1}{\varepsilon_1 + \varepsilon_2 / \omega_a}\end{aligned}$$

In general răspunsul unei structuri cu  $n$  grade de libertate - în cazul că sistemul e liniar - se poate scrie :

$$\frac{Y/a}{P/a} = \frac{\left[ \frac{s^2}{\omega_a^2} + \frac{2\delta_a}{\omega_a} s + 1 \right] \left[ \frac{s^2}{\omega_b^2} + \frac{2\delta_b}{\omega_b} s + 1 \right] \dots \dots}{k_m \left[ \frac{s^2}{\omega_1^2} + \frac{2\delta_1}{\omega_1} s + 1 \right] \left[ \frac{s^2}{\omega_2^2} + \frac{2\delta_2}{\omega_2} s + 1 \right] \left[ \frac{s^2}{\omega_3^2} + \frac{2\delta_3}{\omega_3} s + 1 \right] \dots} \quad / 2.19 /$$

unde :

$k_m$  = rigiditatea statică orientată

$\omega_1, \omega_2, \dots$  = frecvențele proprii neamortizate ale modurilor de vibrații

$\omega_a, \omega_b, \dots$  = frecvențele proprii neamortizate ale factorilor pătratici din numărător

Numărul factorilor pătratici ai numitorului, corespunde cu numărul gradelor de libertate, iar cel al numărătorului, sunt cel mult cu unul mai puțin ca primii. Excitând structura la frecvențele corespunzătoare frecvențelor proprii neamortizate ale

numitorului respectiv numărătorului, se obțin punctele de rigiditate minimă respectiv maximă.

Este convenabil, ca cedarea dinamică - în mod simbolic - să se scrie cu ajutorul expresiei :

$$\frac{Y/s}{P/s} = \frac{1}{k_m} G_m/s/$$

/ 2.2o /

unde  $G_m/s/$  este cedarea dinamică orientată a structurii

Rezultanta forțelor de așchiere - care este forța de excitare în timpul vibrației - este un vector spațial, motiv pentru care în cazul fiecarei orientări posibile ale forței de așchiere, precum și pentru fiecare poziție a ansamblelor deplasabile a MU, se va obține un răspuns dinamic diferit. Astfel este imposibil din punct de vedere teoretic, să se descrie o structură cu un răspuns dinamic unic. La fel nu este posibil în prezent, calcularea tuturor valorilor necesare a defini un mod de vibrație. Cedarea dinamică a structurii trebuie determinat pe cale experimentală, pentru toate operațiile de prelucrare posibile. [29]

#### 2.6.4 Schema bloc a sistemului dinamic inchis MUPDS.

Relația variației grosimii așchiei / 2.5 /, a variației forței de așchiere / 2.8 /, precum și a comportării structurii / 2.2o / constituie cele trei ecuații de bază, care definesc sistemul MUPDS în cazul vibrațiilor autoexcitate cauzate de efectul regenerativ. Inter-

dependența acestor ecuații rezultă clar din schema bloc de pe fig. 2.13, unde PA este legat direct de structura MU, iar FT a variației grosimii așchiei constituie bucla de reacție necesară apariției vibrației. De observat că

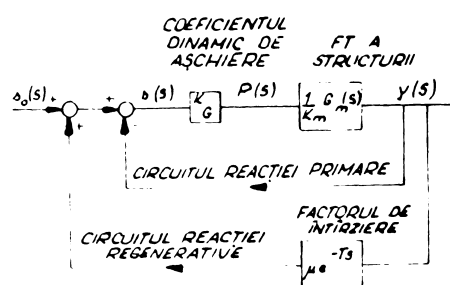


fig. 2.13 după Merritt [29]

circuitul de reacție primar / negativ / este totdeauna prezent, iar circuitul de reacție a întăririi / regenerativ / este prezent numai cind  $\mu \neq 0$

adică avem așchieire pe urma sculei / trecerii / anterioare. Cind  $m = 0$ , avem vibrație primară.

Semnalul de intrare este adâncimea reglată a așchiei  $S_0/s$ . Grosimea instantanee a așchiei  $s/s$ , este semnalul de ieșire. PT se obține, prin rezolvarea simultană a celor trei ecuații susmenționate, sau a schemei bloc, cu ajutorul algebrei schemelor bloc, rezultând:

$$\frac{s/s}{S_0/s} = \frac{1}{1 + / 1 - \mu \cdot e^{-\zeta s} \cdot \frac{k_c}{k_m} \cdot G_m/s /} \quad / 2.21 /$$

Rezultă că dacă cedarea dinamica a structurii:  $G_m/s = 0$ , sau rigiditatea de așchieire:  $k_c = 0$ , atunci grosimea instantanee a așchiei este egală cu cea reglată, ceace înseamnă că condiția necesară apariției vibratiei prin efect regenerativ, lipsește, deci din acest punct de vedere avem un regim stabil.

APLICIND teoria reglării automate, la acest fenomen, se poate beneficia de legile acesteia în vederea determinării a o serie de indicatori caracteristici. În cazul vibratiilor la MU se aplică la analiza stabilității sistemului MUPDS.

#### 2.6.5 Stabilitatea sistemului MUPDS.

Prin definiție, un sistem liniar este stabil, dacă răspunsurile lui la un impuls, scad în funcție de timp. Aceasta se exprimă prin următoarea condiție matematică:

- Un sistem cu parametrii concentrați este stabil, numai dacă toate rădacinile ecuației lui caracteristice, au părți reale negative.

- Sistemul este instabil, dacă cîteva sau toate rădăcinile, au părți reale pozitive.

- Același sistem este la limita de stabilitate, dacă cîteva rădăcini nu au părți reale, iar restul radăcinilor au părți reale negative, și soluțiile ecuației caracteristice sunt armonice.

Din funcția de transfer a variației grosimii așchiei /2.21/, se poate deduce ecuația caracteristică:

$$1 + / 1 - \mu \cdot e^{-\zeta s} \cdot \frac{k_c}{k_m} \cdot G_m/s / = 0 \quad / 2.22 /$$

Condiția de stabilitate fiind prezența rădăcinilor în partea stîngă a semiplanului  $s$ , și nici una pe axa imaginară, sau în partea dreaptă. Din considerente aplicative, este mai utilă aflarea limitei de stabilitate, decit rădăcinile ecuației caracteristice. În vederea aflării limitei de stabilitate, trebuie să găsim soluțiile armonice cu rădăcini pe axa imaginară, având forma:  $s = j\omega$ , ceea ce este o problemă ceva mai simplă, dar în prezent încă imposibil de soluționat pe cale analitică, dat fiind complexitatea ridicată a sistemelor MUPDS. Este suficient să primim doar ecuația / 2.19 / care exprimă funcția de transfer a comportării structurii MU, prezentă în ecuația caracteristică / 2.22 / sub forma termenilor :

$$\frac{1}{k_m} \cdot G_m/s / \quad / 2.23 /$$

ca să ne convingem de realitatea celor menționate mai sus.

Problema analizei stabilității este mai complexă și datează faptului, că pentru o MU dată, nu există numai o singură limită respectiv diagramă de stabilitate, deoarece nici cedarea dinamică a structurii / gradul de libertate / nu este unică. Mai deosebit, cu cât MU este mai universală, cu atât mai mare este numărul variantelor tehnologice posibile de realizat, deci și a datelor de bază necesare calculului limitei de stabilitate.

Având în vedere cele de mai sus, ridicarea diagramele de stabilitate se poate face pe două căi principale: lucrări prin aşchieri sau prin calcule analitice, pe baza comportării dinamice a MU determinată pe cale experimentală și a parametrilor de aşchiere, precum și a variantelor tehnologice. Reprezentarea limitei de stabilitate se face după diferenți parametri, în funcție de scopul urmărit, uneori și tridimensional [54]. Cea mai uzuală reprezentare, pentru un anunit PA, este după lățimea sau adâncimea limită a aşchiei, în funcție de turăția piesei sau a sculei, precum și direcția normalei pe suprafața aşchiată a semifabricatului. Se compară curba limită de stabilitate, cu curba limită de putere a motorului de antrenare. Tendința ideală ar fi a se extinde curba de stabilitate, la curba puterii limită a motorului. În acest domeniu, majoritatea preocupărilor converg către acest scop.

### 2.7 vibrații autoexcitate cauzate de cuplarea poziției.

Instabilitatea în PA nu este cauzat neapărat de efectul regenerativ. Vibrații pot apărea și la strungirea filetului, resp. la operații de strungire, rabotare, rectificare, unde există un grad de acoperire u mic resp. avans mare. Această stare se instalează totuși numai atunci, cind în procesul de vibrație participă mai multe frecvențe proprii, adică sistemul are două sau mai multe grade de libertate.

Sistemul vibrator este reprezentat prin modelul din fig. 2.14 și constă dintr-o masă  $m$  care este suportată de către două arcuri cu caracteristici elastice  $k_1$  și  $k_2$  diferite și care acționează în două direcții  $x_1$  și  $x_2$  diferite având în cazul cel mai simplu, poziție reciprocă perpendiculară.

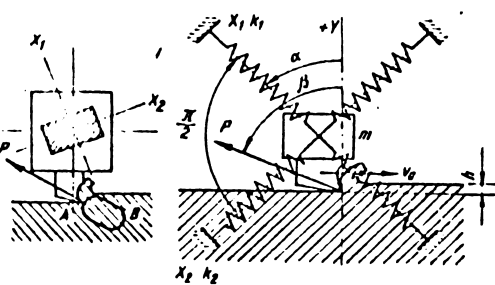


fig. 2.14 [9]

În cazul reprezentat pe fig. 2.14 vibrația apare cu frecvența  $\omega$ , masa  $m$  vibrează simultan în ambele direcții  $x_1$  și  $x_2$  cu amplitudini diferite și cu diferență în defazaj. Rezultă astfel o mișcare eliptică a vîrfului cușitului pe durata unui ciclu. Presupunând cazul cind mișcarea se face în sensul săgețiilor, ca în fig. 2.14, atunci în semiperioada mișcării dela A la B, forța de așchiere acționează în sensul opus mișcării, din care motiv sistemul disipa energie. În semiperioada a doua a mișcării dela B la A, forța de așchiere acționează în consens cu viteza. Intrucât semiperioada secundă este parcursă cu o grosime medie de așchieie mai mare decât în semiperioada primă, forța de așchiere rezultată, va fi mai mare decât în prima semiperioadă. Aceast fapt face ca în decursul unui ciclu, energia furnizată sistemului să fie mai mare dacă cea disipată de sistem. Surplusul de energie poate acoperi pierderile datorită amortizării și în consecință sporește vibrația autoexcitată.

Prin rezolvarea ecuațiilor de mișcare a sistemului, rezulta că : grosimea limită a așchiei, la care apare instabilitatea, este direct proporțională cu diferența dintre constantele elastice ale arcurilor, iar în cazul unui sistem dinamic general, este direct proporțională cu diferența patratelor frecvențelor proprii. Instabilitatea poate apărea numai dacă următoarele condiții sunt simultan indeplinite :

$$0 < \alpha < \beta \text{ și } k_2 > k_1$$

/ 2.24 /

Rezultă că pe lîngă modificarea condițiilor de așchiere, a masei, a amortizării, apariția vibrațiilor autoexcitate poate fi influențată / în mod simțitor / de modificarea directiei de acționare a forței de așchiere față de direcțiile principale de cedare a sistemului, precum și de modificarea valorilor constantelor elastice.

In cazul ca vreuna dintre relațiile / 2.24 / nu este satisfăcută, lucrind cu orice regim de așchiere ales, nu poate apărea vibrație autoexcitată datorită cuplării de poziție. Este însă posibilă apariția vibrației în aceste cazuri, datorită efectului regenerativ. [9]

Modelarea fenomenului cu ajutorul schemei bloc se face similar ca și în cazul efectului regenerativ, deosebirea față de schema bloc a acestuia din urmă este doar absența circuitului de reacție a membrului de întărziere, în cazul vibrației autoexcitate datorită cuplării de poziție.

## 2.8 Concluzii parțiale.

Datorită naturii procesului de frezare, precum și a auto-vibrațiilor datorită diverselor cauze și a ponderii efectului lor se vor luna în considerare numai :

- vibrațiile pe bază de efect regenerativ și
- vibrațiile pe baza de cuplare de poziție.

Celelalte vibrații autoexcitate, nu influențează sau influențează numai în mică măsură exploatarea intensivă a MU.

In ce privește vibrațiile forțate, acestea nu se vor trata, deoarece cauzele lor pot fi ușor identificate, iar măsurile de eliminare a acestora devine evidentă.

In general la o MU sint susceptibile a fi răspunzătoare, deci

luate în considerare pentru comportarea la vibrații, datorită comportării lor elastice și a distribuției masei, următoarele părți :

- Sistemul de antrenare principală pentru generarea mișcării de așchiere, în cazul existenței unui element foarte elastic / curea, cuplaj elastic /, în lanțul cinematic / cap. 2.3 /.

- Sistemul de antrenare pentru mișcarea de avans și reglare. Cedarea dinamica a acestui sistem poate influența comportarea dinamică a MU în deosebi în corelație cu componenta forței de așchiere în direcția avansului. Ex.: cedare pronunțată în direcția avansului longitudinal la mașini de frezat [60] sistemul având cuplaje cu rigiditate scăzuta ce apare în evidență în deosebi la frezarea în sensul avansului. Uneori mai apar și fenomene de mișcare sacadată, acolo unde se confruntă condițiile de frecare ale ghidajelor, cu rigiditatea antrenării avansului.

- Batiul cu subansamblele aferente ca: sănii, traverse, console, arbori etc. precum și dispozitivul de fixare a semifabricatului. Cedările de translație a batiului cu subansamblele lui duc la deplasări relative în punctul de contact S-P, perpendicular pe suprafața de așchiat și constituie cauza principală a comportării la vibrație a MU. I se acorda atenția maximă.

- Semifabricatul poate contribui prin cedare<sup>a</sup> lui, dar care se poate elimina prin fixarea intr-un dispozitiv corespunzător, care îi completează rigiditatea insuficientă. Masa semifabricatului poate modifica comportarea sistemului MUDPS uneori în mod defavorabil, dar care la fel se poate contrabalanșa prin măsuri tehnologice.

### **3. Factori, care influențează comportarea la vibrații.**

Aprecierea obiectivă a comportării la vibrații a unei MU presupune posibilitatea reproducării valorilor odată determinate. Aceasta însă este condiționată de posibilitatea reproducării acelorași condiții limită. Cercetările în acest domeniu au demonstrat multitudinea factorilor de influență asupra comportării la vibrații, unele din ele fiind doar teoretic cunoscute, dar greu sau deloc măsurabile.

In vederea stabilirii metodelor de analiză corespunzătoare a comportării dinamice, în cazul unui sistem dat, trebuie să

se cunoască cei mai importanți parametri de influență, după care se va putea aprecia, acei cu un rol preponderent și de cări va trebui să se țină seama.

Analiza factorilor de influență, se face ținând seama de sistemul MUPDS și părțile componente ca : mașina, piesa, orientarea direcțională, regimul de aşchiere și scula, etc.

### 3.1 Influențele condiționate de mașină.

Aceste influențe în fond au la bază comportarea cedării dinamice, care la rîndul ei, este funcție de o serie de alți factori.

#### 3.1.1 Cedarea dinamică a mașinii.

Acest factor <sup>t</sup> influențează comportarea la vibrații după cum urmează :

$$\omega_{\text{lim}} = \frac{-1}{2 \cdot z_{\text{cw}} \cdot \left\{ \sum_{j=1}^{g_1} \left[ \sum_{k=1}^{g_1} \left( R_{kj} \cdot \text{Re} \left\{ G_{jk} / i\omega \right\} \right) \text{neg} \right] \right\} \text{max}} \quad / 3.1 /$$

Rezultă ca adâncimea limită de aşchie ce se poate detăsa încă în condiții stabile, este invers proporțională cu dublul produs a coeficientului dinamic de aşchiere cu suma părților reale negative maxime a celor 9 FZ / 3 directe și 6 transversale / a cedării dinamice ale MU, ponderate desigur cu factorii de orientare direcțională.

Reprezentările frecvențiale a valorilor caracteristice a cedării dinamice a structurii / fig. 3.1 / permit analiza situației precum și compararea cu rezultatul unei măsuri de îmbunătățire, care poate apartine uneia din următoarele categorii / fig. 3.2 / :

1. Mărirea rigidității statice a sistemului care în multe cazuri duce la

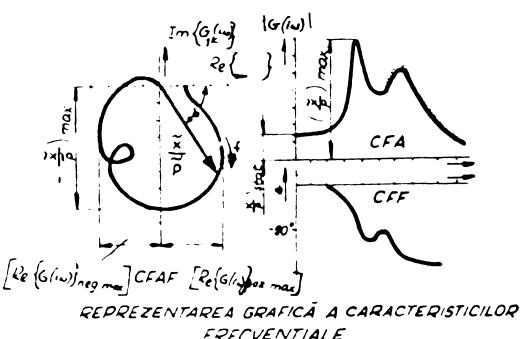


fig. 3.1

o diminuare a cedării de rezonanță  $B$  și deci și a părții reale negative a ET a cedării  $C$ .

2. Creșterea amortizării sistemului, care cauzează o reducere a lui  $B$  resp.  $C$  în condițiile cedării statice neschimbăte.

3. Diminuarea valorii  $C$  a CFAF prin intercalarea în sistemul MUPDS a unui element cu cedare statică pronunțată, având frecvență proprie și amortizare mare. / Ex.: cuțit tip "git de lebădă". / În acest caz diminuarea valorii  $C$  rezultă din deplasarea CFAF spre domeniul pozitiv real. Dacă însă coeficientul de orientare direcțională  $R_{kj}$  aferent are valoare negativă, efectul devine contrar celui dorit.

Fig. 3.2 poz. 1,2,3

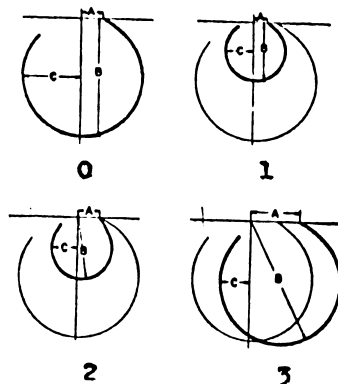


fig. 3.2 [33]

ilustrează cele tratate în aliniările 1,2,3 de mai sus, iar poz. 0 reprezintă sistemul dat înaintea intervenției. Notațiile folosite:

$$\mathbf{A} = \left( \frac{\mathbf{x}}{P} \right)_{\text{stat.}} \quad B = \left( \frac{\dot{\mathbf{x}}}{P} \right)_{\text{max.}} \quad C = \operatorname{Re} \left[ G_{jk} / i\omega \right]_{\text{neg. max}} / 3.2 /$$

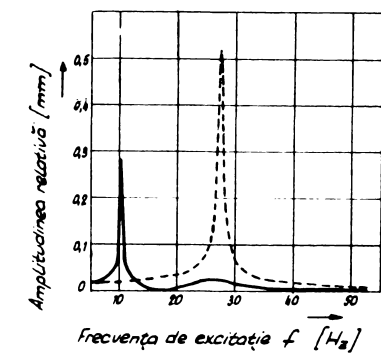
Pentru a îmbunătăți comportarea la cedare dinamica, resp. a se diminua amplitudinile de rezonanță, se pot lua o serie de măsuri în vederea măririi amortizării întregului sistem. Aceasta se va face atât în faza de proiectare resp. prototip, cât și în decursul fabricației de serie, pe baza încercărilor făcute, fără ca acestea să fie considerate ca remanieri / soluții de necesitate /. Intre acestea se amintesc :

- Lagăre amortizoare Peters [35] / A 6 /
- Lagăre hidrostatiche, cu efect ridicat de amortizare Böttcher [5], Upitz [33] / A 7 /.
- Sisteme cu mase suplimentare Peters [35] / A 8 /, Koenigsberger și Tlustý [18] / A 9, A 10 /
- Amortizoare pasive [33] / A 11 <sup>a</sup>, b, c, d /
- Amortizoare active Idem + Beckenbauer [2] / A 12, A 13 /
- Amortizoare cu impact Rijkov [46] / A 14 / Kearney / A 15 /

### 3.1.2 Fundația.

La mașini mijlocii și mari, fundația - dacă este bine rigidizată cu batiul - participă la preluarea fluxului de forțe, mărint rigiditatea mașinii. În acest sens se necesită o calculare și execuție îngrijită și trebuie asigurată izolarea pasivă sau activă față de exterior.

In fig. 3.3 la 27 Hz este dovada celor de mai sus. Tobias și Fishwick [12]. Aceeași autori demonstrează efectul opus în cazul mașinilor mici, sau de o construcție deosebită, ca mașina de găurit cu coloană la care placa de bază fiind foarte mică, față de coloană, rigidizarea cu fundația nu poate avea loc decât în măsură insuficientă. / A 16 /



INFLUENȚA FUNDĂȚIEI ASUPRA AMORTIZĂRII MODULUI DE VIBRAȚIE TIP FURCĂ A UNEI MAȘINI DE GĂURIT RADIALE.

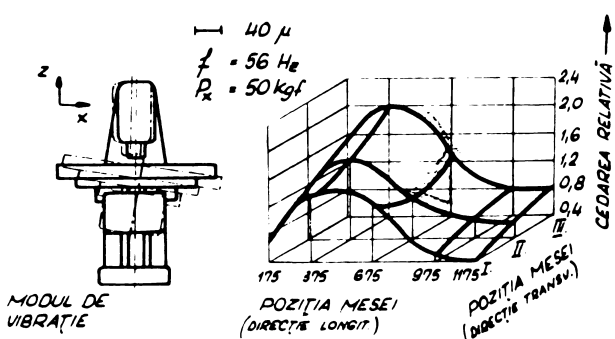
— mașina direct pe fundație  
--- mașina pe izolatori

fig. 3.3 [12]

### 3.1.3 Pozitia ansamblurilor MU.

Modificarea poziției relative a unor ansamble ca : sănii, mese, suporti, pinole, montanți, capete de lucru, cerute de procesul tehnologic, vor cauza modificări în : repartizarea maselor, în fluxul de forțe, în comportarea privind rigiditatea statică în zona de așchiere.

O experiență făcută de Bernardi [3] fig. 3.4 asupra unei mașini de frezat verticale, la care s-au deplasat doar masa longitudinală și cea transversală, arată o variație maximă a cedării dinamice de 500 % / amplitudine de rezonan-



Influența poziției ansamblului mesei asupra amplitudinii maxime de rezonanță.

fig. 3.4 [3]

ță / care conform relației / 3.1 / și / 3.3 /

$$\left[ \operatorname{Re} \left\{ \frac{x}{p} \right\}_{\text{poz.}} \right]_{\text{max.}} \approx \frac{1}{2} \left\{ \frac{\tilde{x}}{\tilde{p}} \right\}_{\text{max.}} \quad / 3.3 /$$

va modifica  $w_{\lim}$  aproksimativ în aceeași ordine de mărime.

Din cele de mai sus rezultă ca necesare, studii pentru a găsi pozițiile concludente în vederea analizei comportării dinamice a fiecărui tip de MU. La verificarea în serie / recepție /, măsurătorile se vor face în poziții ale ansamblurilor riguros identice. Pentru procesul de prelucrare, trebuie făcute cercetări de optimizare a domeniului de lucru, pentru fiecare categorie de MU.

#### 3.1.4. Turăția arborilor.

Datorită vitezei de alunecare crescîndă în lazăre și ghidaje, se modifică starea de ungere între suprafețele de alunecare, care cauzează o mărire a amortizării și implicit o modificare în comportarea cedării dinamice. Din fig. 3.5 [37] rezultă creșterea rigidității statice și dinamice a unui sistem arbore-lagăr de alunecare, odată cu creșterea turăției.

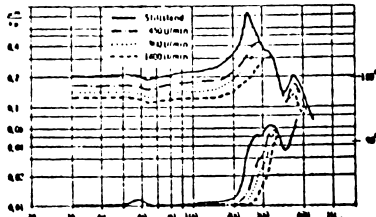


fig. 3.5 [37]

#### 3.1.5 Deplasarea sănilor și maselor.

In cazul cînd datorită vibrațiilor proprii excitate, apar deplasări relative între ghidaje, perpendiculare pe direcția de avans, / ca în fig. 3.6 / apare o mărire a amortizării, datorită frecării viscoase a lubrefiantului expulsat. Iar pentru că filmul de ulei crește cu mărirea vitezei elementului mobil / ca și la capitolul 3.1.4 / amortizarea se mai mărește și cu creșterea vitezei de avans [33] / A 17 /.

Dimpotrivă, dacă deplasările relative dintre ghidaje datorită vibrațiilor proprii excitate, acționează în aceeași direcție

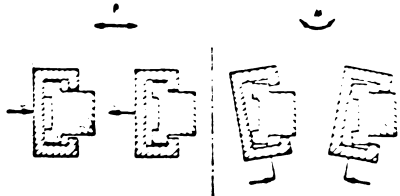


fig. 3.6

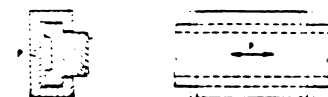


fig. 3.7

cu aceea și avansului / ca în fig. 3.7 /, comportarea dinamică a sistemului se înrăutățește. De asemenea, efectul de ungere hidrodinamică a filmului de ulei, crescut datorită vitezei mai mari de avans, are efect de diminuare asupra amortizării [60] [61] / A 18 %.

### 3.1.6 Jocuri, ajustaje usoare, influențe de neliniaritate.

Teoria pentru calculul adâncimii limită de așchiez  $w_{lim}$  presupune o comportare liniară a sistemului și a tuturor membrilor acestuia / fig. 2.13 /, ceea ce datorită jocurilor funcționale ale ajustajelor alunecătoare în lagare și ghidaje, de multe ori nu e posibila. Fig. 3.8 de ex. reprezintă caracteristica de rigiditate statică a unui arbore, lărgăruit pe rulmenți nepretensionați.

Datorită rigidității reduse  $k_1$  în domeniul forțelor mici / finisare /, aici tendința spre vibrații este mai pronunțată, decât în domeniul forțelor mai mari  $k_2$  / elogare /.

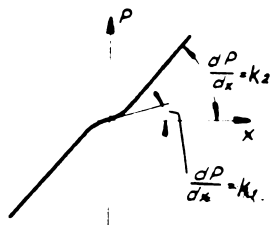


fig. 3.8

In alte condiții, jocul sau ajustajul ușor în lagăre sau ghidaje, poate contribui la mărirea amortizării sistemului. De ex.: Im bunătățirea comportării dinamice prin slabirea blocajelor ghidajelor, metodă binecunoscută în practică.

### 3.1.7 Temperatura de regim.

Factorii termici influențează în afara performanțelor de precizie, și relațiile de strîngere / frecare / și alunecare ale cuplajelor, care determină astfel comportarea dinamică a MU și

funcție de temperatură.

### 3.1.8 Fixarea piesei.

La fixarea piesei în MU sau D, este important ca suprafața de contact, fie între D - MU și P - D, fie între P - MU, să fie corectă. Dacă această condiție nu se realizează, sistemul prezintă locuri slabe atât static cît și dinamic; se înlesnește tendința sistemului MUPDS în timpul PA către vibrație.

### 3.2 Influențe ale parametrilor piesei.

#### 3.2.1 Materialul piesei. Valoarea coeficientului $k_c$ .

Coeficientul dinamic al forței de așchiere :

$$k_c = \frac{dv}{ds}$$

/ 3.4 /

depinde de variația forței de așchiere, datorită variației grosimii așchiei, perpendicular pe suprafața așchiată. Aceasta este unul din elementele cele mai importante, necesară a fi cunoscut la calculul adâncimii limită de așchie / relația 3.1 / și comportă influența următorilor factori : materialul piesei; tratamentul termic; geometria sculei; viteza de așchiere; mărimea / viteza / de avans.

Intrucit acest coeficient se află la numitorul relației / 3.1 /, e firesc ca la materialele cu rezistență mai ridicată, deci  $k_c$  mai mare, ca  $w_{lim}$  să fie mai mică. El trebuie stabilit pentru fiecare sort de materiale și condiții de regim de așchiere. Chiar în condiții nominale identice, la șarje diferite de materiale, se obțin alte valori  $k_c$ , ceea ce încă nu ne permite folosirea lor în limite suficient de strânse de toleranță.

Determinarea experimentală e greoaie și necesită aparataj complex. De acest aspect se ocupă în special Institutele Politehnice din Louvain [7][36], Eindhoven [15] , Manchester și Aachen[56],[62], precum și Institutul de Cercetări pentru Mașini Unelte VUOSO din Praga [39] .

#### 3.2.2 Cedarea piesei.

Acest factor are aceeași influență ca și cedarea MU

asupra comportării dinamice a unui proces de prelucrare / rel. 3.1 /, deoarece tendința de apariție a vibrațiilor este determinată de cedarea dintre S - P.

Piese mari svelte, au deobicei cedare mai pronunțată decit MU, deci la analiza comportării dinamice a unui sistem MUPDS, trebuie avut în vedere rigiditatea piesei și unghiul de atac a muchiilor de tăiere a sculei, pentru a putea exclude influența cedării piesei.

### 3.2.3 Masa piesei.

Considerind ansamblul port-piesă a MU un sistem dinamic cu un singur grad de libertate cu masa  $m$ , în exemplul din fig. 3.9 papușa fixă a strungului / /, adăugând masa  $M$  a piesei, va rezulta schimbarea frecvenței proprii, a amortizării și deci a amplitudinii de rezonanță a sistemului, după cum urmează:

$$\begin{aligned} x_{\text{din}} &= \frac{x_{\text{stat}}}{2D} = \frac{x_{\text{stat}}}{2} \cdot \frac{2 \cdot m \cdot \omega_0}{c} = \frac{P_{\text{din}}}{k} \cdot \sqrt{\frac{1}{k \cdot m} \frac{1}{c}} = \\ &= \frac{P_{\text{din}}}{c \sqrt{k}} \cdot \sqrt{\frac{m}{k}} = \frac{P_{\text{din}}}{c \cdot \omega_0} \end{aligned} \quad / 3.5 /$$

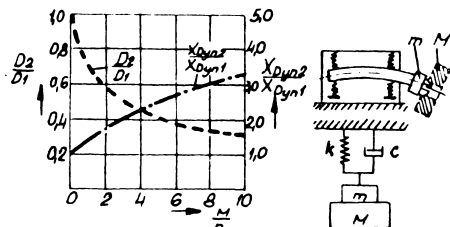


fig. 3.9

Introducind suplimentar masa  $M$  a piesei, rezultă :

$$\frac{x_{\text{din}2}}{x_{\text{din}1}} = \sqrt{\frac{M+m}{m}} = \sqrt{1 + \frac{M}{m}} \quad / 3.6 /$$

deci conduce la o amplitudine de rezonanță mai mare, iar

$$\frac{D_2}{D_1} = \sqrt{\frac{1}{1 + \frac{M}{m}}} \quad / 3.7 /$$

conduce la o amortizare mai mică / fig. 3.9 /.

### 3.3. Influență condiționate de orientarea direcțională.

Cedarea dinamica în funcție de frecvență, rezulta din moduri de vibrații proprii, care sunt excitate cu frecvențele corespunzătoare lor. În cazul structurilor sub formă de : bâțiuri, montanți, traverse, aceste moduri de vibrații proprii, sunt legate de direcții concrete, determinate de configurația geometrică și repartizarea maselor sistemului. În cazul organelor sub formă de piese de revoluție / ex.: arbori /, în planul perpendicular pe axa de rotație obținem - dacă avem în vedere vibrația de încovoiere - o infinitate de moduri de vibrații identice.

Totuși arborii în stare montată, au numai cîteva moduri discrete de vibrații, datorită cedării diferite a lagăuririi arborului în direcții diferite, determinată de comportarea dinamica diferită a păpușilor fixe / cutii de viteze /, cauzate de forme constructive nesimetrice ale acestora.

Rezultă deci că la orice mașină sunt direcții cu rigiditate dinamică deosebit de mare, și cu cedare dinamică deosebit de mare. De aici se deduce că, comportarea dinamică a unei MU se poate îmbunătăți, dacă / fig. 3.10/ :

- Suprafața de așchiat se așează paralel cu direcția amplitudinii de rezonanță maximă DVP, vibrația proprie neputind provoca o variație a grosimii așchiei / fiind dirijată în direcția vitezei /, deci nu poate avea loc efectul regenerativ. / fig. stg. sus /.

- Rezultanta forței de așchierare este dirijată perpendicular pe DVP și în acest caz componenta de excitație în această direcție lipsește / fig. 3.10 dr. sus /.

La cercetari, precum și la recepția MU, alegind poziționarea / aranjamentul / S - P conform principiilor susmenționate, se poate obține o comportare stabilă sau instabilă a MU, totodată se

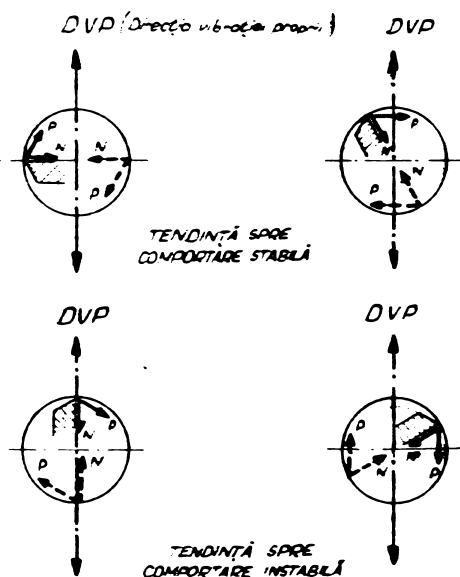


fig. 3.10

pot depista zonele cu rigiditate dinamica slabă.

### 3.3.1 Influenta unghiului de atac $\chi'$ .

In scopul de a asigura determinarea univocă a muchiei tăișului sculei se definește unghiul  $\chi'$ , care este cuprins între perpendiculara pe axa de rotație / a sculei sau a piesei / și tăișul principal. Acest unghi este cuprins între  $0^\circ < \chi' < 90^\circ$  și în majoritatea cazurilor este identic cu unghiul complementar al unghiului de atac  $\chi$ .

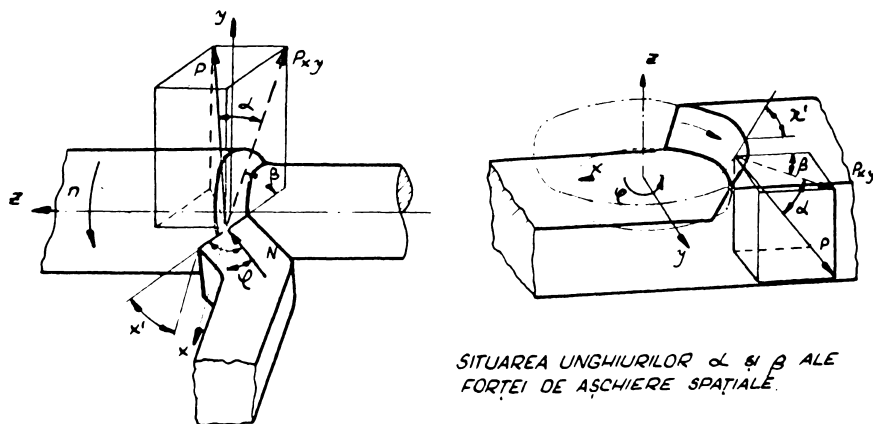


fig. 3.11

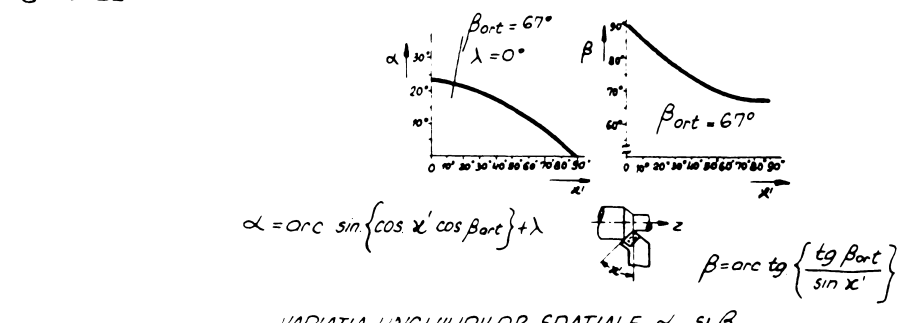


fig. 3.12

În fig. 3.11 rezulta în mod evident că odată cu variația  $\chi'$  dela  $90^\circ$  spre  $0^\circ$ , componenta după axa  $z$  a rezultantei forței de aschiere crește. Acest lucru este reprezentat în fig. 3.12 unde se arată variația unghiului dintre rezultanta forței de aschiere și planul  $x-y$   $\alpha$ , precum și variația unghiului dintre  $P_y$

și rezultanta forței de așchieri în planul x-y  $\beta$ , ambele unghiuri variind în funcție de  $\lambda'$ , și deci și rezultanta forței de așchieri va fi redirecționată în mod favorabil sau defavorabil din punctul de vedere a comportării dinamice.

### 3.3.2 Poziția sculei față de piesă.

Posibilitățile tehnologice normale a majorității MU permit așezarea diferită a sculei față de piesă, prin care forța de așchieri va acționa din diferite direcții asupra sistemului MUPDS, putând alcătui una sau mai multe dintre cazurile de comportare dinamica conf. fig. 3.10. Variația direcției forței de așchieri este totală în cazul mașinii de frezat verticală, / fig. 3.13 /. Cu ajutorul celor 12 poziții reciproce diferențiale S - P, sau stabilită dinamicile limită de așchie, iar forma diagramei de stabilitate necondiționată indică pregnant direcția de rigiditate precum și cea de cedare maximă a sistemului MUPDS.

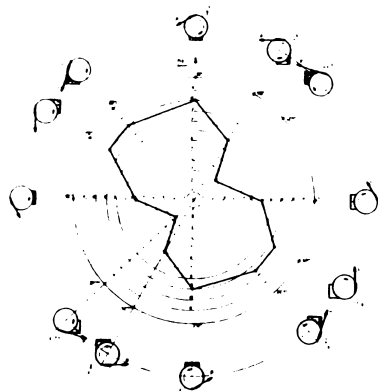


fig. 3.13 [52]

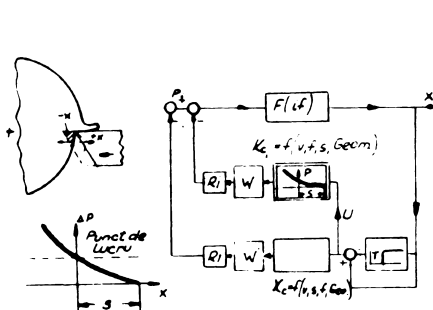
### 3.4 Influențe condiționate de PA și S.

Cercetările în această direcție s-au efectuat pe scară largă, îndeosebi privind: procesul de formare a așchiei, fenomenul patrunderii sculei în piesă, forțele de așchieri tangențiale și normale, fenomenul de uzură.

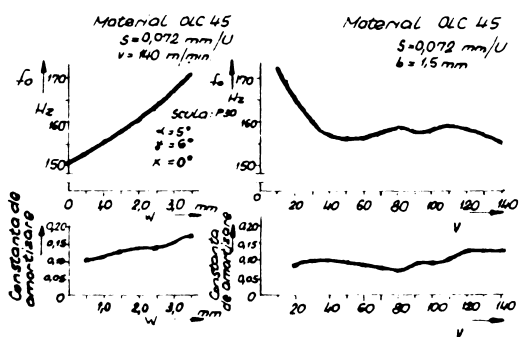
O mulțime de influențe sunt încă neclarificate, din care cauză relațiile acestora apar sub formă statistică, în loc de dependență funcțională. Acest fapt are o importanță deosebită la cercetarea și încercarea MU, deoarece rezultatele încercărilor prin așchieri, în multe cazuri nu sunt suficient reproductibile.

### 3.4.1 Influența PA asupra măririi rigidității sistemului.

Prin compararea rezultatelor încercarilor prin aşchierare, cu aceea prin excitare, rezulta valori mai ridicate ale  $w_{lim}$  în primul caz. Motivul acestuia este ne luarea în considerare în schema bloc a sistemului MUPDS, a rezistenței împotriva pătrunderii S în P, cauzată de PA și care aduce o mare a rigidității și a amortizării sistemului. În schema bloc, aceasta rezistență împotriva pătrunderii, se reprezintă ca un sistem elastic, cuplat paralel cu mașina, fig. 3.14.



INFLUENȚA DE RIGIDIZARE A PA ASUPRA CEDĂRII TOTALE



COPORTAREA DE AMORTIZARE ȘI DE AUTOVIBRATIE ÎN FUNCȚIE DE ADÂNCIMEA ȘI VITEZA DE ASCHIERARE.

fig. 3.14

fig. 3.15 [15]

Odată cu marirea cursei de pătrundere, forța de pătrundere crește progresiv, acest membru neliniar depinzând mult de s .

Acest fenomen de stabilizare are efect mai ales în domeniul vitezelor de aşchierare mici, unde S nu poate pătrunde atât de ușor în material ca la viteze mari [54] . Probabil acesta este cauza creșterii  $w_{lim}$  în domeniul vitezelor mici / low speed stability /. Tobias și Fishwick[56], menținînd schema bloc simplă, iau în considerație acest efect, prin completarea relației forței dinamice de aşchierare, cu încă un membru / cu semn negativ / care e funcție de turăție și viteza de vibrație / pătrundere /.

$$P_{din} = K_{cl} \cdot U - K_{c2} \cdot \frac{\dot{U}}{n}$$

/ 3.8 /

care diminuează valoarea lui  $P_{din}$ , și care se va oglindî prin diminuarea cedării MU.

Efectul pozitiv a creșterii adincimii de așchiere, asupra măririi frecvenței proprii și a constantei de amortizare, rezultă din diagramele din stînga fig. 3.15, iar influența vitezei de așchiere rezulta din diagramele din dreapta fig. 3.15. Se observă efectul de rigidizare / frecvență mare / la viteze mici.

#### 3.4.2 influența avansului.

Mărirea avansului aduce o creștere a tensionării organelor din fluxul de forță, reducind astfel din efectul neliniarității, iar pe baza celor din cap. 3.1.6 va influența favorabil compoziția dinamică a sistemului. Ex. O pinolă în consolă, prin creșterea forței de prestrîngere, / datorită măririi avansului / prezintă o rigiditate crescîndă.

Efectul de rigidizare a creșterii avansului mai este datorită și creșterii forței de pătrundere / cap. 3.4.1 / Tlusty [9] a demonstrat prin experiență aceasta legitate /fig. 3.16 /

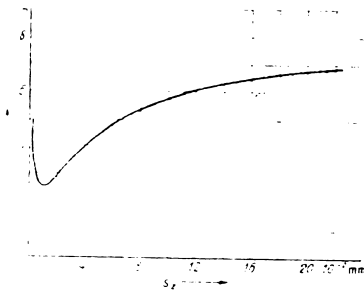


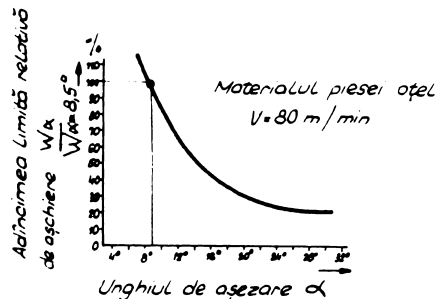
fig. 3.16

#### 3.4.3 Geometria sculei.

Influența geometriei sculei este importantă în ce privește comportarea sistemului MUPDS din punct de vedere dinamic. Elementele ei sunt alese în prealabil, avîndu-se în vedere : criteriile duratei tășăului, materialul sculei și piesei, precum și geometria piesei / raza de racordare a sculei /.

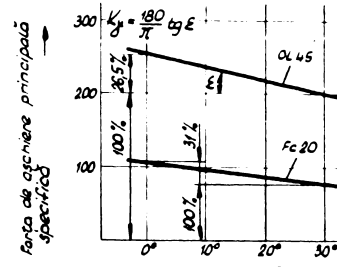
Unghiul de așezare  $\alpha$  prin diminuare duce la creșterea limită de stabilitate datorită tendinței de rigidizare a efectului de pătrundere / cap. 3.4.1 /. Long, Hohn și Kegg [60] au determinat această legitate pe cale experimentală / fig. 3.17 /.

Unghiul de degajare  $\beta$  are efect direct proporțional asupra creșterii adincimii limită de așchie. Prin creșterea lui  $\beta$  crește limita de stabilitate, datorită micșorării variației dinamice a forței de așchiere, cauzată de o variație a grosimii așchiei / fig. 3.18 /.



INFLUENȚA UNGHILULUI DE AȘEZARE ASUPRA ADÎNCIMII LIMITĂ DE AŞCHIERE.

fig. 3.17



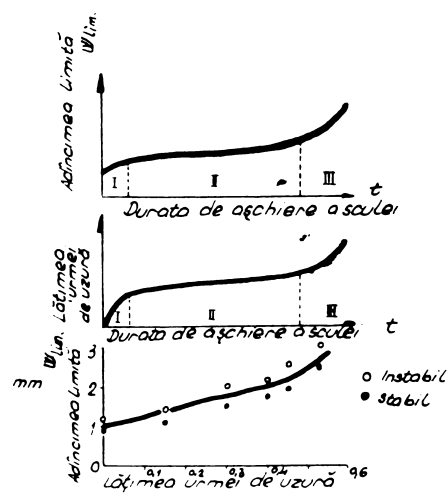
VARIATIA FORTEI DE AŞCHIERE PRINCIPALE IN FUNCȚIE DE UNGHILUL DE DEGAJARE  $\varepsilon$

fig. 3.18

Mai presus de acesta, prin geometria sculei se determină direcția variației dinamice a forței de așchiere, prin intermediul caruia geometria sculei va influența orientarea direcțională și deci comportarea la stabilitate. Nu există rețete dinainte stabilită, însă prin alegerea corespunzătoare / optimizarea / a geometriei sculei, se poate dirija forța de așchiere principală în direcția perpendiculară direcției dominante a vibrației, astfel mărintind limita de stabilitate.

#### 3.4.4 Influența uzurii tăisului.

Se consideră uzura tăisului proporțională cu lungimea de avans parcurs de sculă. Se deosebesc 3 zone / fig. 3.19 / : imediat după ascuțire,  $w_{lim}$  este foarte scăzută, deci există o tendință pronunțată la instabilitate. După o creștere relativ rapidă a lui  $w_{lim}$  avem zona de exploatare normală, care se remarcă printr-o creștere constantă relativ lentă a uzurii, dar și a adâncimii limită  $w_{lim}$ , ca după cca. 10-12 m. de cursă de avans, să se obțină zona de uzură pronunțată și deci și de  $w_{lim}$  rapid crescîndă care totodată scoate cuîntul din uz.



INFLUENȚA UZURII SCULEI ASUPRA ADÎNCIMII DE AŞCHIERE LIMITE

fig. 3.19

Puterea absorbită a motorului de acționare, crește lent odată cu avansarea uzurii.

### 3.4.5 Influența vitezei de așchiere.

La viteze de așchiere joase limita de stabilitate este relativ ridicată / low speed stability /, ca odată cu creșterea vitezei să scadă brusc, atingând un minim. / fig. 3.20 /. Cauza acestui fenomen, Kudinov [20] îl explică prin apariția adausului la tăiș. Vela acest minim înainte, apare un efect stabilizator al creșterii vitezei. Până în prezent nu s-a găsit o explicație categorică acestui fenomen.

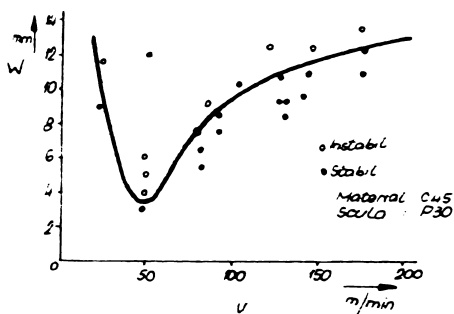


fig. 3.20 / Werntze [62] /

### 3.5 Concluzii parțiale.

In practica cotidiană a prelucrării prin așchiere, se ridică în mod frecvent necesitatea eliminării vibrațiilor ce pot apărea. Diferiți factori care influențează comportarea la vibrații a sistemului MUPDS - tratate mai sus - oferă o gamă destul de largă de măsuri în vederea măririi stabilității sistemului. Iabelul A 19 cuprinde - aranjate pe cele 4 domenii - factorii care influențează comportarea la vibrații, precum și măsurile corespunzătoare ce se recomandă în consecință pentru îmbunătățirea comportării la vibrații.

Măsurile cele mai operative / imediate / se oferă din domeniul orientării direcționale precum și de PA și S. Cele legate de piesă se limitează la rigidizarea piesei prin dispozitive, piesa în sine fiind scopul activității de așchiere în rare cazuri poate suferi modificare. Mașinii unele însă și se pot aduce o gamă largă de modificări constructive / mărirea rigidității, sporirea amortizării / atât în exploatare cât și în timpul fabricației ei, prin care se poată mări simțitor domeniul în care PA decurge în condiții stable.

4. Cercetarea prin aşchiere a comportării dinamice a unei maşini de frezat verticale.

Cercetarea prin aşchiere are urmatoarele avantaje :

- Prin determinarea adincimii limită de aşchiere  $w_{lim}$ , se obține capacitatea de aşchiere maximă a mașinii, ceea ce reprezintă performanța principală de productie.

- Variația lui  $w_{lim}$ , furnizează în mod indirect, informații despre comportarea dinamică a mașinii.

- Necesită aparataj de cercetare relativ puțin, ceea ce permite aplicarea ei în fabricația de serie a mașinilor unelte.

Ce dezavantaje ale metodei de cercetare prin aşchiere se amintesc :

- Nesiguranța rezultatelor obținute, în cazul nerespectării condițiilor limită ale procedeului de încercare, adică a reproductibilității acestora.

- În cazul mașinilor unelte universale, cum este și mașina de frezat verticală, problema orientării direcționale, care determină variația valorii de rigiditate a MU în funcție de aşezarea reciproca între S-P în timpul încercărilor, face ca volumul încercărilor să fie foarte mare, datorita varietății mari a acestor aranjamente.

În cadrul încercărilor efectuate, în vederea obținerii unor rezultate cât mai concludente, s-a cautat diminuarea efectelor acestor dezavantaje : în primul rînd prin asigurarea căt mai constantă a condițiilor limită a procedeului de încercare ; și apoi prin efectuarea sistematică a unui număr suficient de determinări reprezentative, în vederea acoperirii căt mai complete a domeniului de variație a orientării direcționale.

4.1 Condițiile stabilite pentru efectuarea încercărilor.

4.1.1 Materialul și forma piesei.

- Calitatea materialului : OLC 45 STAS 880-66.
- Dimensiunea semifabricatului : 140 x 140 x 300 mm.
- Forma și dimensiunea de pornire au fost urmatoarele :
  - Pentru frezare cu avans longitudinal / fig. 4.1.a /
  - Pentru frezare cu avans transversal / fig. 4.1.b /.

- Constanța condițiilor limite s-a asigurat prin debita-rea de semifabricate din aceeași bara, selectată într-un numar a-coperitor de eșantioane.

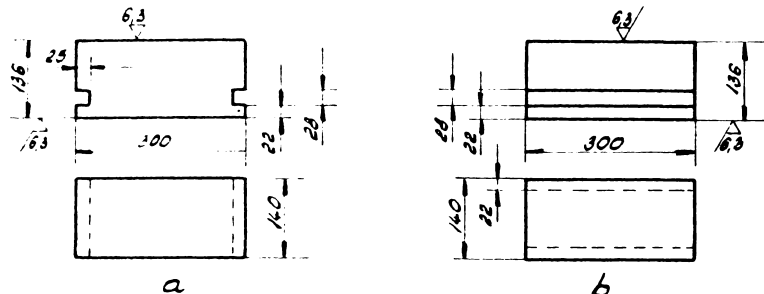


fig. 4.1

#### 4.1.2 Scula folosită

- Freză frontală
  - Dimensiuni :
  - Diametrul de lucru :  $\phi 250$  mm avind  $z = 12$ .
  - Plăcuțe din carburi metalice  $r = 20$ ;  $12 \times 12 \times 4$  mm;  $R = 1$  mm  
 $\alpha = 80^\circ$ ;  $90^\circ - \beta^\circ = 11^\circ$
  - Constanța condițiilor limite s-a asigurat prin alegerea construcției capului de frezat cu :
  - Plăcuțele fixate mecanic, având cîte 4 muchii active.
- / fig. 4.2 /. Prin această formă de fixare s-a asigurat bătăia radială și frontală a freezei de max. 0,020 mm.

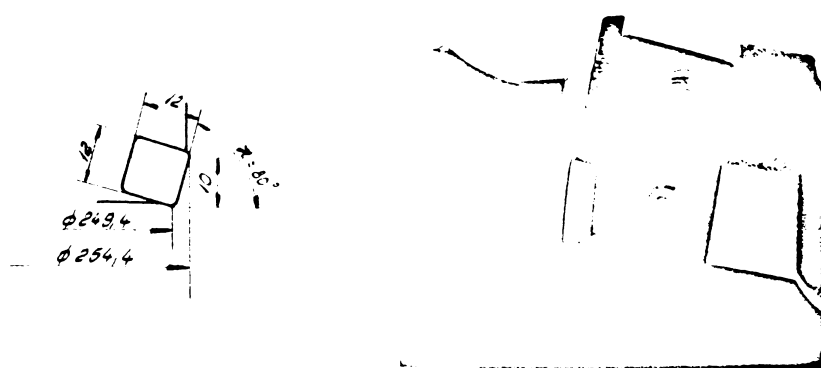


fig. 4.2

Schimbarea muchiilor s-a facut la aparitia unei urme de uzura de 0,2 mm, sau la prima stirbire, ce a aparut la intrarea sistemului in domeniul instabil. Pentru cele cca. 800 de treceri realizate in cadrul acestor incercari, freza a fost innoita completa de 20 de ori.

#### 4.1.3 Fixarea piesei si a sculei.

Piesa a fost fixata prin intermediul a 4 bride, direct pe masa masinii, cu ajutorul a 4 suruburi M 16.

Freza a fost fixata direct pe umarul exterior de  $\phi$  128,57 mm al capatului arborelui principal a masinii, cu ajutorul a 4 suruburi M 16 si cele 2 pene. / fig. 4.3 /

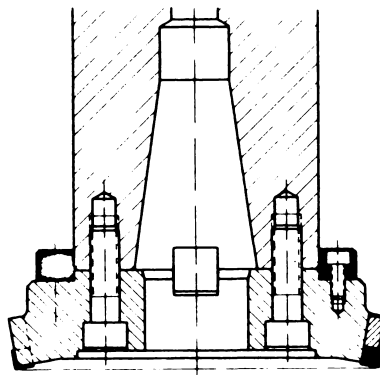


fig. 4.3

#### 4.1.4 Aparate de masura si control.

- Subler 1/10, pentru reglarea corelatiei S-P si pentru controlul adincimii de aschiere.

- Traductor inductiv DGA 401 si vibrometru VP 102 fabricate de VEB Schwingungstechnik und Akustik Dresden RDG. Primul lucreaza pe principiul inductiv, tensiunea transmisa fiind proportionala cu viteza de vibratie, care apoi este integrata si amplificata in vibrometru. Pentru incercari s-au folosit cate 2 exemplare, unul pentru inregistrarea amplitudinilor de deplasare longitudinala, iar cel de al doilea, pentru cea transversala. Fixarea intr-o pozitie reciproca de  $90^\circ$ , s-a facut pe un bloc de fonta, care la rindul sau a fost fixat pe capatul mesei longitudinale a masinii de frezat.

- Transformator de masură pentru furnizarea semnalului, necesar inregistrarii puterii consumate.

- Ampermetru cleste, pentru controlul si etalonarea inregistrarii primului.

- Inregistrator cu 4 canale Oscilloscript PT 5104 B fabricat de Philips.

In figura 4.4 se prezinta schema de lucru.

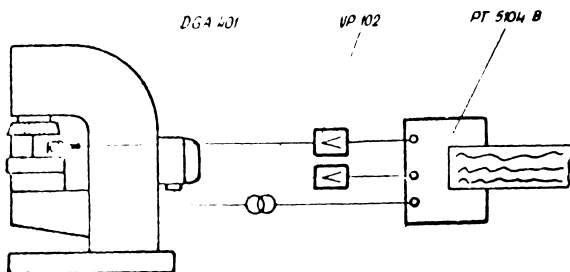


fig. 4.4

#### 4.2 Metodica folosită la încercări.

Scopul cercetării a fost testarea în condiții reale a performanțelor de producție a mașinii de frezat verticale FV 32x132, iar pentru a putea obține rezultate cît mai obiective, s-a căutat ca domeniul de investigații să acopere într-o măsură cît mai mare domeniul tehnologic pe care mașina le posedă prin construcție. În consecință s-au considerat ca parametrii :

- Treptele de rotații ale arborelui principal,
- Treptele de avans ale mesei,
- Mărimea forței de așchiere care solicită sistemul MUPDS,
- Direcția de acționare a forței de așchiere.

In ceea ce privește regimul de așchiere, s-a putut acoperi un domeniu suficient de mare. Astfel, s-a putut varia viteza de așchiere între 23,6 și 236 m/min. prin 11 trepte de turătii / din cele 18 existente / între  $n = 30 - 300$  rot/min. Avansul pe dintre s-a menținut constant la valoarea de  $s_z = 0,053$  mm/dinte, ceea ce s-a realizat prin cuplarea avansului la o valoare cu 2 trepte inferioare față de valoarea treptei de turătire. Atât în cazul treptelor de rotații, cît și a avansurilor, se utilizează același sir de valori /. Astfel :

$$s_z = \frac{s}{n.z} \quad / 4.1 /$$

$$\text{dar dacă s-a luat } s = \frac{n}{\varphi^2} \quad / 4.2 /$$

$$\text{atunci } s_z = \frac{1}{\varphi^2 \cdot z} = \frac{1}{1,58 \times 12} = 0,053 \text{ mm/dinte} \quad / 4.3 /$$

Variatia marimii forței de așchiere s-a asigurat prin variera adâncimii de așchiere. S-a lucrat în trepte crescînd din mm. în mm. iar uneori în trepte de cîte 0,5 mm. / domeniu puțin stabil / sau trepte de cîte 1,5 sau 2 mm / domenii foarte stabile /.

Influență hotărîtoare are variația direcției de acționare a forței de așchiere / orientarea direcțională /, la analiza comportării dinamice a mașinii de frezat verticale. Aceasta variație rezultă prin modificarea poziției reciproce dintre scula și piesa. / aranjament /. În planul orizontal / x - y /, direcția de acționare a forței de așchiere este nelimitată. S-au ales 12 aranjamente S-P prin cari se poate acoperi cele  $360^{\circ}$  în trepte de cca.  $30^{\circ}$ . Aceste trepte de direcții rezulta din următoarele poziții reciproce S-P :

- Pentru cele două sensuri ale avansului longitudinal / +x și -x / s-au prevăzut cîte 3 aranjamente S-P :
  - cu piesa deplasată spre coloană față de centrul frezei
  - cu axa piesei în centrul frezei
  - cu piesa deplasată spre exterior față de centrul frezei
- Pentru cele două sensuri ale avansului transversal / +y și -y / s-au prevăzut deasemenea cîte 3 aranjamente S-P :
  - cu piesa deplasată spre dreapta față de centrul frezei
  - cu axa piesei în centrul frezei
  - cu piesa deplasată spre stînga față de centrul frezei

Avînd în vedere cele de mai sus, ar fi fost ideal ca pasul unghiular  $\varepsilon$ , și normalei pe suprafața de așchiere, să fie de  $30^{\circ}$ . Pentru a nu distrugă în mod inutil / din cauze secundare / tăișul frezei la intrarea în piesă sub un unghi prea ascuțit, s-a lăsat o fîșie de cca. 5-7 mm nefrezată în piesă și astfel la 4 dintre aranjamente, pasul unghiular  $\varepsilon^0$ , s-a deplasat în față cu cîte  $12,5^{\circ}$  / la aranjamentele corespunzătoare lui  $\varepsilon$  de  $30^{\circ}$ ,  $120^{\circ}$ ,  $210^{\circ}$ ,  $300^{\circ}$  /. Așa cum reiese din diagrama polară a rezultatelor încercărilor / fig. 4.9 /, acest artificiu nu a distorsionat sensibil curba de stabilitate.

Elementele geometrice cari intervin în orientarea direcțională sunt cuprinse în tabelul din fig. 4.10. Tot în acest tabel mai este cuprinsă și valoarea obținută a grosimii limită a așchiei  $w_{lim}$  în urma încercărilor făcute pentru cele 12 aranjamente S-P.

Efectul variației poziției relative a ansamblelor mobile, nu a fost testat sistematic, din cauza imposibilității practice ale

realizarii variației propriu zise. Spre exemplificarea celor sus-amintite avem :

$$L_{\text{piesă}} + \delta_{\text{freza}} + 2 \cdot a = 300 + 250 + 2 \cdot 10 = 570 \text{ mm}$$

dar cursa longitudinală maximă a mesei este de numai 700 mm. iar cea transversală este doar de 250 mm. Însăși aranjamentul de bază cu piesa în centrul mesei, în cazul avansului transversal s-a putut realiza doar prin translatăția piesei. Efectul similar în planul vertical nu s-a testat, pentru că mașina nu are pinolă, este cu arborele principal fix.

Lucrările de încercare s-au realizat în modul următor :

- s-a reglat poziția mesei față de freză corespunzător primului aranjament "S", d.e. ex.:  $\varepsilon = 0^\circ$

- s-a reglat adâncimea de aşchiere la valoarea minimă, de ex.:  $w = 2 \text{ mm}$ .

- S-a reglat turatația frezei și mărimea avansului la valoarea lor minimă, de ex.:  $n = 30 \text{ rot/min.}$  și  $s = 19 \text{ mm/min.}$

- S-a trecut la aşchiere timp de cca. 0,5 - 1 minut, în care timp oscilograful înregistra : amplitudinea în direcția longitudinală / x /, amplitudinea în direcția transversală / y /, precum și curentul /  $I_f$  /.

- Aşchierea s-a continuat succesiv cu treptele următoare ale turatației și avansului în mod similar, pînă la treptele maxime utilizate, adică  $n = 300 \text{ rot/min}$  și  $s = 190 \text{ mm/min.}$

- S-a continuat apoi cu adâncimea de aşchiere de  $w = 3 \text{ mm}$ . parcurgîndu-se gama de turatații și avansuri ca și mai sus, apoi s-a trecut la adâncimea de 4 mm și așa mai departe.

Adâncimea de aşchiere s-a marit pînă la apariția instabilității, care s-a observat prin sgomotul specific de huruit, trepidații simîitoare ale mașinii și bineînțeles amplitudini înregistrate caracteristice fenomenului de instabilitate.

Dupa examinarea cuștelor frezei și eventuala schimbare a celor știrbite, precum și redresarea suprafeței prelucrate a piesei, s-a continuat pe cît posibil, pentru a avea gama de turatații în întregime încercata la adâncimea de aşchiere respectivă. Deobicei s-a încercat și adâncimea de aşchiere imediat următoare, pentru a putea contura cît mai concret limita de stabilitate, bineînțeles cu sacrificii de timp și de cușit.

- S-a reglat apoi poziția mesei față de freză, corespunzător următorului aranjament S-R adică :  $\varepsilon = 30^\circ$ . S-a continuat

apoi în mod similar parcurgerea și a tuturor aranjamentelor S-P, pînă la realizarea încercărilor și pentru aranjamentul S-P corespunzător lui  $\epsilon = 330^\circ$ .

Rezulta deci, ca pentru cercetarea prin aşchiere a unei mașini de frezat verticale în mod aproape integral, sunt necesare aproximativ :

$11 \text{ turăii} \times 6 \text{ adîncimi} \times 12 \text{ aranjamente} = 800$  treceri de frezare ceea ce după cum rezultă din diagramele de stabilitate a aranjamentelor S-P / A 2u - A 3l / s-au și realizat.

#### 4.3 Analiza datelor obținute experimental.

Pe banda oscilografului s-au înregistrat amplitudinile mesei longitudinale a mașinii de frezat, în direcția longitudinală, în direcția transversală, precum și intensitatea curentului absorbit de la rețea. S-a lucrat cu viteza benzii de 5 cm/sec și cu 10 cm/sec. S-au decupat două exemple caracteristice din banda de înregistrare, care reprezintă :

- Pierderea stabilității sistemului în ambele direcții de măsurare / x și y / fig. 4.5
- Un regim de aşchiere relativ liniștit fig. 4.6

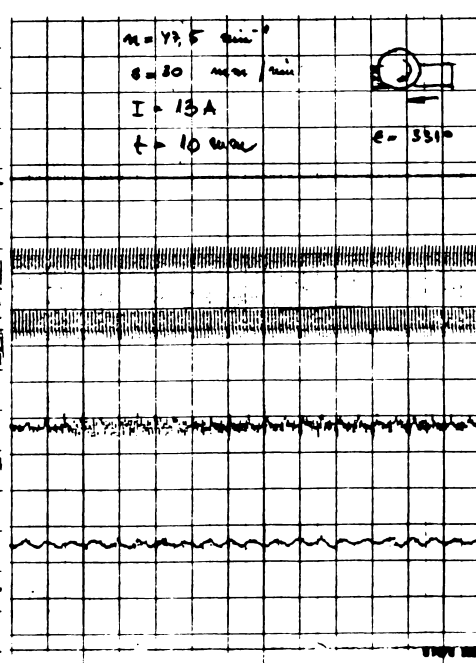
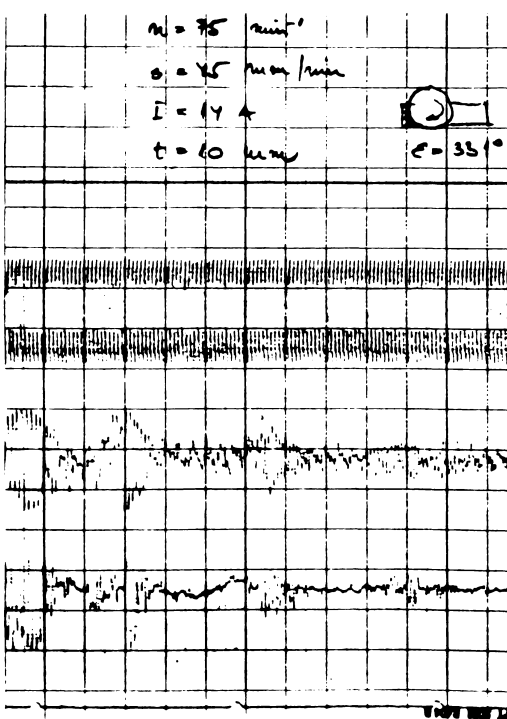


fig. 4.5

fig. 4.6

In cadrul acestui regim staționar se observă însă / fig. 4.6 o vibrație forțată, cauzată de o forță de excitație interioara mașinii. Valoarea frecvenței semnalului permite să presupunem, că este o masă incorrect echilibrată pe cea de a 3-a axă din cutia de viteze a antrenării principale / probabil cama de antrenare a pompei de ungere /.

Prelucrarea datelor se face relativ ușor. Amplitudinea apare evident pe banda milimetru, iar frecvența se citește tot de pe bandă, de data asta în direcția orizontală. Valorile citite se trec într-un tabel cu coloane corespunzătoare turărilor, rândurile corespunzînd adâncimilor de așchiere. În dreptul amplitudinilor se trec și frecvențele măsurate care vor fi comparate cu frecvențele corespunzătoare șocului de atac ai dinților frezei, trecute pe tabel în capul coloanei corespunzătoare turării respective.

Din aceste date se poate deduce, dacă este vorba de o vibrație forțată și în acest caz frecvența măsurată coincide cu cea corespunzătoare șocului de atac ai dinților frezei, sau de una autoexcitată, în caz de necoincidență. Alte cauze au frecvențe mult prea joase / În cazul susamintit cu cama pompei  $f = 8 \text{ Hz}$  /. Frecvența șocului de atac pentru cazul nostru a fost cuprins între 6 - 60 Hz.

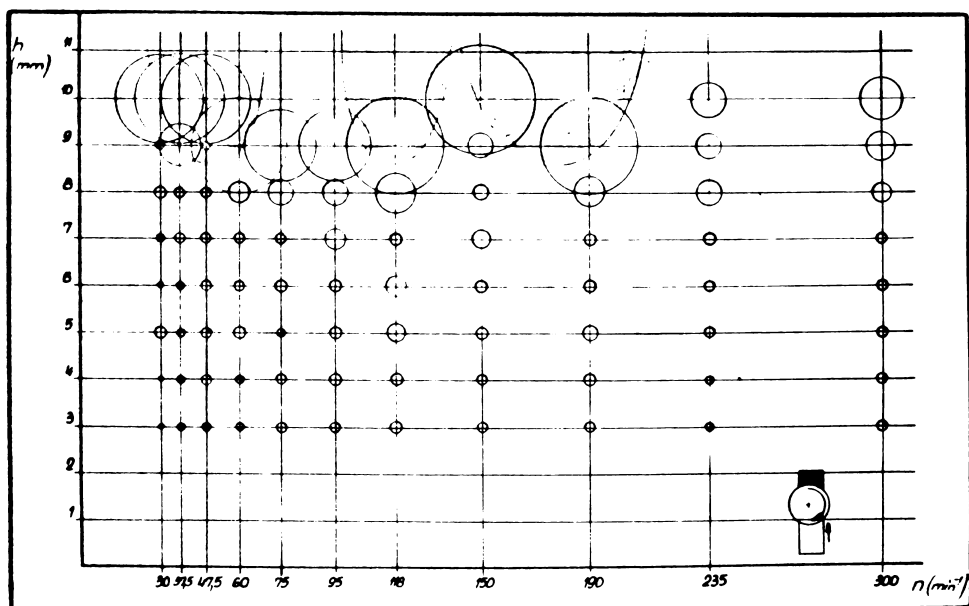


fig. 4.7

Pentru fiecare aranjament S-P se ridică cîte o diagramă de stabilitate , A 20... A 31 / în care pe abscisa s-au trecut turările frezei, iar pe ordonată valoarea adîncimii de aşchiere. La intersecţia acestora se reprezentă amplitudinea mai mare / dintre cea longitudinală și cea transversală / printr-un cerc avînd diametrul proporțional cu valoarea amplitudinii corespunzatoare coordonatelor punctului de intersecție respectiv./ fig. 4.7 /. Dacă se ia în considerare valorile frecvențelor punctelor învecinate, se pot trasa și curbele de stabilitate bucate, cunoscind că în cadrul unei bucle, valoarea frecvențelor punctelor învecinate este crescătoare, iar cînd aceasta scade brusc, este un indiciu că se începe o altă buclă.

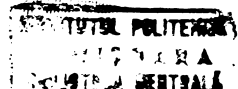
Tangenta trăsată la aceste bucle, delimită zona stabilă de cea instabilă, iar orizontală la acestea, care multe ori coincide cu prima, adică adîncimea de aşchiere minimă la care apare pentru prima dată fenomenul instabilității, este limita asimptotica de stabilitate, sau limita domeniului permanent stabile.

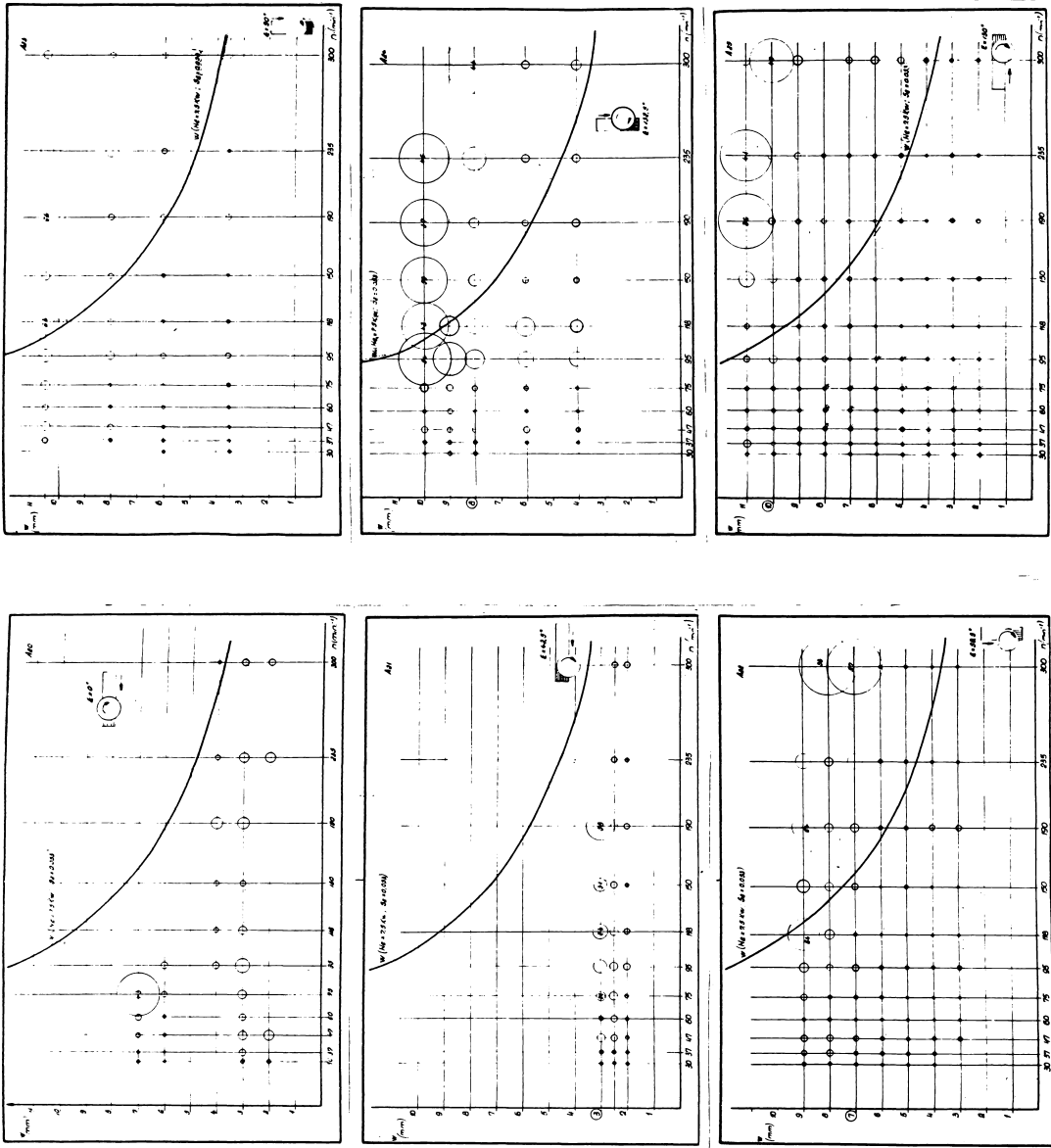
Stabilind aceasta ultima valoare în diagramele tuturor celor 12 aranjamente S-P, s-a putut trăsa diagrama polară a zonei permanent stabile, care evidențiază totodată și aranjamentul la care se referă valoarea limitei de stabilitate. Sub forma aceasta ea poate servi chiar și muncitorului frezor, pentru alegerea unui aranjament S-P optim. / fig. 4.8 și fig. 4.9 /

Pentru a se putea alinia ideile menționate în cap. 1, este necesar să se cunoască domeniul în care comportarea dinamică a mașinii este deficitară. Această zonă este delimitată în partea sa inferioară de limita de stabilitate dinamica, iar în partea sa superioară de limita puterii de antrenare a motorului. Celul ideal a acestor preocupări este împingerea limitei de stabilitate dinamică peste limita puterii motorului de antrenare la acele aranjamente S-P la cari există un domeniu instabil înaintea epuizării puterii motorului, pentru ca limita capacitatea de aşchiere a MU să nu fie decât puterea motorului de acționare.

In acest scop pe fiecare din cele 12 diagrame de stabilitate a aranjamentelor S-P se va trăsa suplimentar curba de variație a adîncimii de aşchiere în funcție de puterea motorului de antrenare, pe baza următoarei relații : [59]

$$w = \frac{M_e \cdot k \cdot \sin \alpha \cdot 6,12 \times 10^6}{z_c \cdot h_m^{1-\alpha} \cdot k_{sl} \cdot l \cdot \alpha \cdot D \cdot n} \text{ mm} \quad / 4.4 /$$





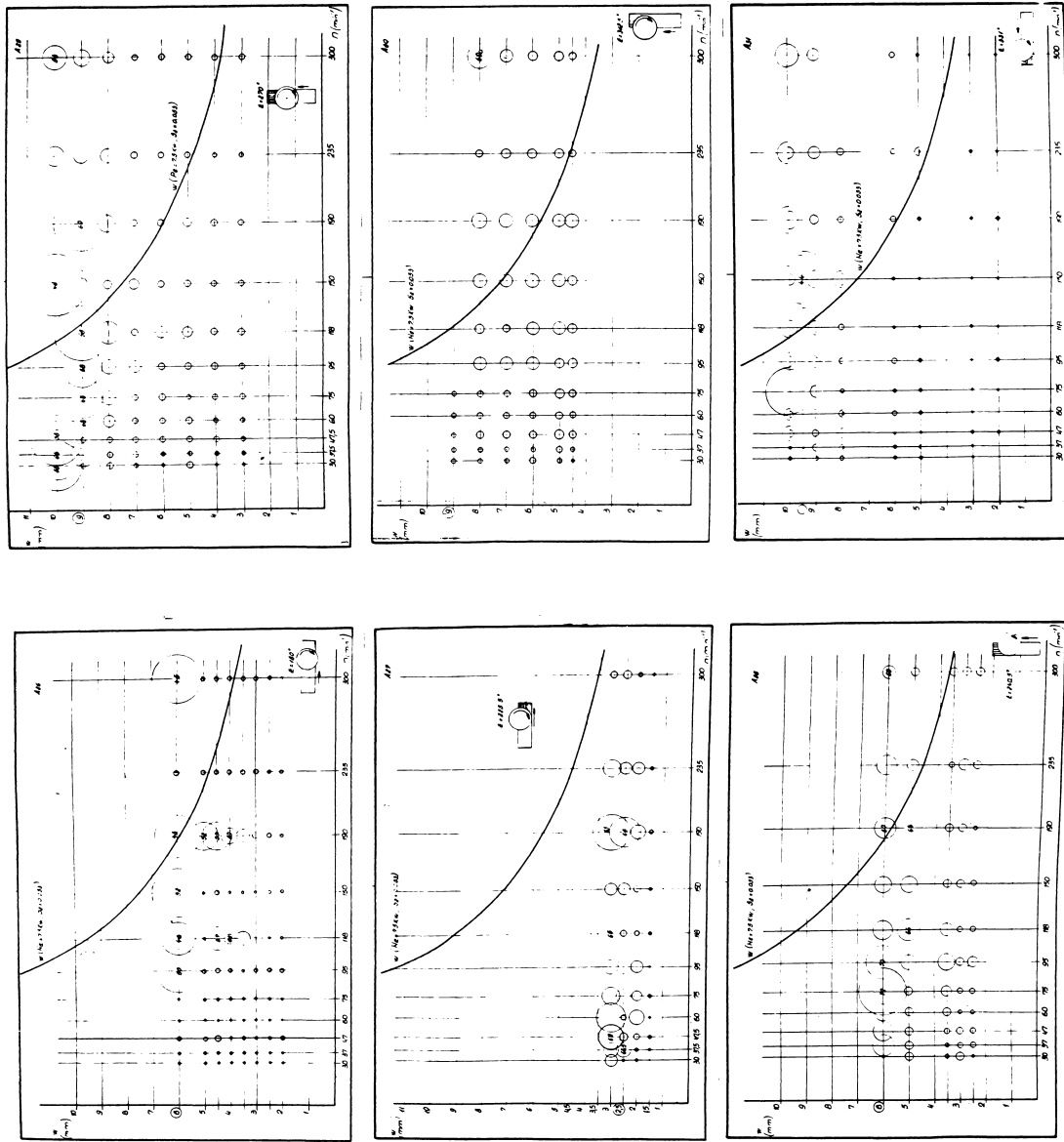


fig. 4.8

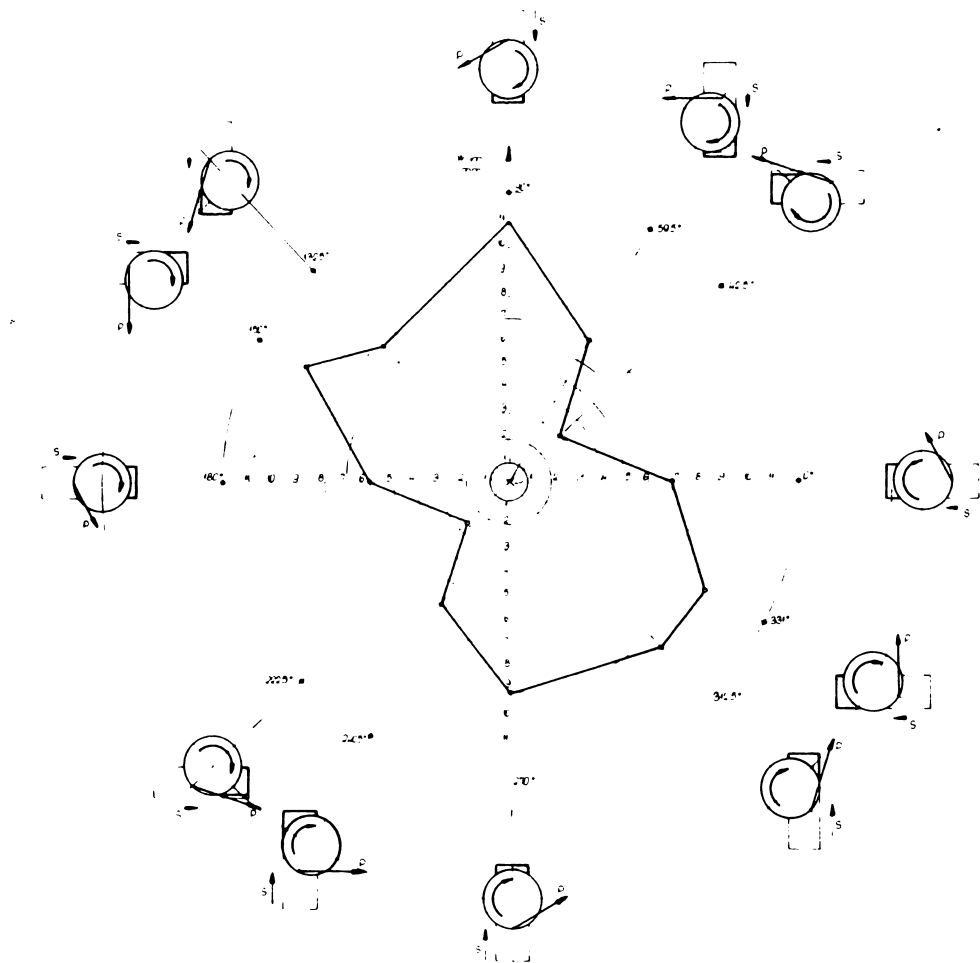


fig. 4.9

$\varepsilon^\circ$	$\varphi^\circ$	$\varphi_e^\circ$	$\varphi^\circ - \varphi_e^\circ$	$z_{\text{ref.}}$	$\psi^\circ$	$\psi_{\text{lim}}^\circ$
0	34	326	68	2,27	112	7
42,5	90	355,5	94,5	3,15	154,5	3
59,5	101	20,5	80,5	2,68	171,5	7
90	124	56	68	2,27	202	11
132,5	180	85,5	94,5	3,15	244,5	8
150	191	109,5	81,5	2,72	262	10
180	214	146	68	2,27	292	6
222,5	270	175,5	94,5	3,15	334,5	2,5
240,5	281	200	81	2,72	352,5	6
270	304	216	68	2,27	22	9
312,5	0	265,5	94,5	3,15	64,5	9,5
331	11	292	79	2,64	83	9,5

fig. 4.10

$N_s$  = puterea nominală a electromotorului de acționare a arborelui principal  $N_e = 7,5 \text{ Kw}$

$\gamma_m$  = rendimentul mecanic al antrenării  $\gamma_m = 0,58$

$$\gamma_a = \frac{I_f - I_E}{I_f} \quad / 4.5 /$$

$$I_f = \frac{\gamma}{3 \cdot U_f \cdot \gamma \cdot \cos \gamma} \quad / 4.6 /$$

$$I_f = \frac{7,5 \cdot 1000}{3 \cdot 220 \cdot 0,855 \cdot 0,85} = 15,45 \text{ A} \quad \text{datele din catalog}$$

$I_g$  = Curentul măsurat pe o fază la mersul în gol a arborelui principal  $I_g = 6,5 \text{ A}$

$z_c$  = numărul de dinți ai frezei în stație

$$z_c = \frac{z \cdot |\varphi_e - \varphi_i|}{360^\circ} \quad / 4.7 /$$

$h_m$  = grosimea medie a așchiei

$$h_m = \frac{360^\circ \cdot B \cdot s_z \cdot \sin \chi}{\pi \cdot D \cdot |\varphi_e - \varphi_i|} \quad / 4.8 /$$

$l-z$  = exponentul forței de așchiere  $l-z = 0,88$

$k_{sl.1}$  = forță de așchiere specifică  $k_{sl.1} = 185 \text{ kgf/cm}^2$

După trăsarea pe cele 12 diagrame de stabilitate a aranjamentelor S-P / A 20... A 31 / a curbei de variație a adâncimii de așchiere pe baza relației 4.4 se constată că s-au făcut determinări și în domeniul unde  $N_e = 7,5 \text{ kw}$  a fost depășit. Acest lucru s-a făcut în mod premeditat, în cazuri extreme ajungind chiar la un consum de  $I_f = 30 - 35 \text{ A}$  ceace corespunde la dublarea puterii absorbite. Timpul de suprasolicitare fiind scurt, motorul nu a rezisțit acesta. Scopul acestui regim forțat a fost sătisfacerea dezideratului privind obiectivitatea și caracterul concludent a determinărilor. Din aceeași cauză s-a lucrat cu  $s_z$  având o valoare aşa de redusa. În acest fel domeniul investigațiilor s-a putut extinde mult peste un regim de exploatare normală.

#### 4.4 Evaluarea rezultatelor și unele constatări.

Considerind intervalul optim a vitezei de așchiere de 80... ~ 150 m/min, [30] rezultă o viteză medie de așchiere de 115 m/min.

pentru care corespunde adîncimea de aşchiere limitată de puterea motorului de antrenare și avansul pe dintă ales de :

$$w \left[ N_e = 7,5 \text{ Kw} ; s_z = 0,053 \text{ mm} \right] = 7,5 \text{ mm}$$

Desigur aceasta este o valoare medie destul de generală, deoarece la viteze mai mici de aşchiere adîncimea de aşchiere limitată de puterea motorului este mai ridicată, iar la viteze de aşchiere mai mari este mult mai joasă, dar aşa cum se va vedea mai jos, acest criteriu este suficient de real și obiectiv.

Dacă pe diagrama de stabilitate polară se trasează cercul cu raza de 7,5 mm adîncime de aşchiere, se constată că în zonele cuprinse între unghiiurile :

$$350^\circ \text{ și } 70^\circ \text{ adică } 30^\circ \text{ precum și}$$

$$165^\circ \text{ și } 260^\circ \text{ adică } 95^\circ \text{ deci într-un domeniu de total } 175^\circ = \varepsilon_{instab.}$$

adîncimea maximă de aşchie posibil de detașat, este limitată de pragul de stabilitate dinamică al sistemului MUPDS, care în fond putem substitui cu MU, datorită masurilor multiple luate în vede-re respectării condițiilor limită a încercărilor.

Rezultă deci, că puterea motorului de acționare nu poate fi exploatață într-un domeniu al posibilităților tehnologice a MU de :  $\frac{175}{360} \cdot 100 = 48,6\%$

datorită comportării dinamice nesatisfăcătoare. Această constatare bazată pe valori medii, este confirmată de faptul că în 5 dintre cele 12 diagrame de stabilitate ale aranjamentelor S-P, anume : A 20; A 21; A 26; A 27; A 28; respectiv  $\varepsilon = 0^\circ; 42,5^\circ; 180^\circ; 225,5^\circ; 240^\circ$ ; instabilitatea dinamică apare la  $w \leq 7 \text{ mm}$ , în domeniul în care puterea motorului are rezerve, iar dacă se ia  $w \leq 9 \text{ mm}$ , numărul diagramelor se ridică la 7, după ce s-au adăugat : A 22 și A 24; respectiv  $\varepsilon = 59,5^\circ$  și  $132,5^\circ$ , în aceleasi condiții.

Din analiza în continuare a diagramei de stabilitate polară / fig. 4.9 / rezultă că cercul avind raza  $w = 7,5 \text{ mm}$  mai intersectează zonele cuprinse între unghiiurile :

$$70^\circ \text{ și } 165^\circ \text{ adică } 95^\circ \text{ precum și}$$

$$260^\circ \text{ și } 350^\circ \text{ adică } 90^\circ \text{ deci într-un domeniu de total } 185^\circ = \varepsilon_{stab.}$$

în care adîncimea maximă de aşchie posibil de detașat, în condiții de stabilitate dinamică, este mai mare decât adîncimea de aş-

chiere  $w = 7,5 \text{ mm}$  limitată de puterea motorului. Așa cum s-a menționat la pag. 47, la o serie de aranjamente S-P ca cele avind  $\epsilon = 59,5^\circ / A 22 /; 90^\circ / A 23 /; 150^\circ / A 25 /; 270^\circ / A 29 /; 312,5^\circ / A 30 /; 331^\circ / A 31 /$  s-a putut așchia în condiții de stabilitate dinamică bună, deși puterea nominală a motorului a fost suprasolicitată cu 50 % și chiar cu 100 %. uneori.

Deci mai rezultă încă, că într-un domeniu al posibilităților tehnologice de :  $\frac{185^\circ}{360^\circ} \cdot 100 = 51,4\%$

capacitatea de așchierare a MU nu este limitată de comportarea dinamică a mașinii, ci doar de puterea motorului de acționare, ceea ce este foarte normal.

Preocupările prezentei lucrări sunt însă îndreptate spre acel domeniu în care capacitatea de așchierare a mașinii este limitată de comportarea dinamică nesatisfăcătoare a acesteia, vizând diminuarea ponderii de 48,6 % în care acest fenomen predomină. Această expresie, totuși, nu este chiar impropriu folosit, deși matematic nu este valabil, dar preponderența constă în dominarea aranjamentelor S-P cu avansul și axa piesei longitudinală, aranjamentele S-P cele mai uzuale. Dintre aceste aranjamente S-P doar cele cu  $\epsilon = 150^\circ$  și  $331^\circ$  sunt foarte stabile, deci recomandate necondiționat / frezare în sensul avansului /.

Din cele de mai sus rezultă că mașina are o direcție principală de cedare maximă care se presupune că coincide cu bisectoarea unghiurilor ce cuprind zonele cu comportare dinamică nesatisfăcătoare / pag. 48 /, și anume :

$$\frac{350^\circ + 70^\circ - 360^\circ}{2} = 30^\circ \text{ precum și } \frac{165^\circ + 260^\circ}{2} = 212,5^\circ$$

ceea ce se identifică cu direcția lui  $\epsilon = 30^\circ$  resp.  $210^\circ$ . Această lucru se confirmă și din diagrama de stabilitate polară / fig. 4.9 / în care  $w_{\min}$ , corespunzător stabilității dinamice minime, se găsește în direcția lui  $\epsilon = 42,5^\circ$  resp.  $222,5^\circ$  ceea ce de fapt, pe baza considerentelor tratate la pag. 40, înlocuiesc valorile lui  $\epsilon = 30^\circ$  resp.  $210^\circ$ .

Procedind în mod similar și în cazul zonelor cu comportare dinamică bună, rezultă că :

$$\frac{70^\circ + 165^\circ}{2} = 117,5^\circ \text{ precum și } \frac{260^\circ + 350^\circ}{2} = 305^\circ$$

ceea ce arată un decalaj de cca.  $90^\circ$  față de direcția precedentă, lucru ce se confirmă și din diagrama polară de stabilitate / fig.

#### 4.9 / În mod asemănător.

In lucrările de analiză a comportării dinamice a mașinii de frezat se folosește  $\xi^\circ$  ca unul dintre parametrii principali. Aceasta reprezintă direcția normalei dusă din centrul frezei sau a mașinei la mijlocul suprafetei de aşchieri, de unde rezultă rolul preponderent convențional al său. Majoritatea multiplelor avantaje pe care le prezintă, se folosește și în calculele teoretice. In unele interpretari fizice trebuie folosite și alte elemente. Analizând apariția fizică pe mașina de frezat a direcției de cedare maximă, trebuie presupus că rezultanta în planul orizontal al forței de aşchieri este în corelație strinsă cu direcția cedării maxime, deoarece rezonanța, acest indicu al instabilității, apare între altele, la coincidența direcției modului de vibrații - în cazul de față a direcției cedării maxime - cu direcția forței excitatoare - în cazul de față a forței de aşchieri -. Menținind deci ca parametru de baza  $\xi$  se va complecta cu  $\beta$  care este elementul de corelație constant între forța de aşchieri și normala pe suprafața de aşchieri. Din fig. 8.1 rezultă că :

$$\psi = 180^\circ + \varphi_i - \beta = 180^\circ + \xi - \beta \quad / 4.9 /$$

$$\text{deoarece } \varphi_i = \xi \quad / 4.10 /$$

iar  $\beta = 68^\circ$  din teoria aşchierii

In coloana a 6-a a tabelului din fig. 4.10 sunt cuprinse valorile unghiului  $\psi$  corespunzători celor 12 aranjamente S-P caracterizate prin unghiul  $\xi$ . Unghiul  $\psi$  reprezintă direcția rezultantei medii a forțelor de aşchieri în planul orizontal / x - y / față de cercul trigonometric.

Presupunând că direcția cedării maxime coincide cu una din rezultantele medii a forțelor de aşchieri în planul orizontal, putem admite că, această direcție coincide cu direcția forței de aşchieri care corespunde aranjamentului S-P la care adincimea limită de aşchieri  $w_{lim}$  este minim. In cazul de față este vorba de  $\xi = 42,5^\circ$  precum și  $\xi = 222,5^\circ$ , cărora corespund unghiurile  $\psi = 154,5^\circ$  respectiv  $\psi = 334,5^\circ$  / fig. 4.9 și 4.10 /

Din cele de mai sus rezultă că direcția cedării maxime în planul orizontal este situată la :

$$154,5^\circ - 180^\circ = 334,5^\circ - 360^\circ = - 25,5^\circ$$

de axa longitudinală / x - x / a mașinii de frezat. Dacă luăm în considerare faptul că unghiurile  $\xi = 42,5^\circ$  și  $222,5^\circ$  înlocuiesc

de fapt unghiurile  $\zeta = 30^\circ$  și  $210^\circ$ , pe baza considerentelor arătate la pag. 40, direcția rezultantei medii a forțelor de așchiere care solicită structura în aranjamentul S-P la care rezultă cedarea maximă ar putea fi - conform relației 4.9 - deasemenea și :

$$\psi = 142^\circ \text{ respectiv } \psi = 322^\circ$$

iar direcția cedării maxime în planul orizontal va putea fi și la :

$$142^\circ - 180^\circ = 322^\circ - 360^\circ = -38^\circ$$

dе axa longitudinală / x - x / a mașinii de frezat. Luând în considerare că probabilitatea acestei prezumții este egală cu cea determinată prin măsurători, vom lucra în continuare cu valoarea medie a acestor două direcții, și anume :

$$\frac{-25,5^\circ + / - 38^\circ}{2} / = -32^\circ$$

Intrucât mașina de frezat verticală, atât constructiv, cât și funcțional se încadrează în sistemul trirectangular, rezultă că direcția cedării maxime situată la  $-32^\circ$  de axa longitudinală x - x, indică două direcții de cedare pronunțată, perpendiculare între ele și care se însumează vectorial. Folosind relația :

$$\sin^2 \psi + \cos^2 \psi = 1 \quad / 4.11 /$$

se poate calcula ponderea cu care cedările structurii după axe de coordonate x și y contribue la cedarea maximă, care la rîndul ei a determinat direcția cedării maxime respectiv a rigidității minime. Vom avea deci :

$$\text{ponderea după axa } x : \cos^2 32^\circ \times 100\% = 72\%$$

$$\text{ponderea după axa } y : \sin^2 32^\circ \times 100\% = 28\%$$

de unde reiese preponderența axei longitudinale x - x a mașinei care prin rigiditatea dinamică mai slabă, poate fi considerată ca principala zonă de comportare dinamică slabă.

Din punct de vedere constructiv se poate considera ca una din cauze, cedarea dinamică a mecanismului de deplasare a mesei longitudinale. Acest ansamblu este puternic solicitat în timpul frezării, îndeosebi atunci, cind componenta pe axa x a rezultantei medii a forței de așchiere, este mare. O ameliorare a situației se poate obține prin pretensionarea organelor în contact mobil, astfel ca la acționarea forțelor de excitație, forțele de pretensionare să nu fie încă anihilate, deci să nu poată lua naștere joc între ele. Este vorba de rulmenții axiali la capetele arborelui filetat și cari trebuie montați cu o pretensionare bine dimensionată și controlată, precum și cuplul surub - piu-

liță, la care mecanismul de compensare a jocului nu este suficient de eficace. Efectul acestei neajuns s-a putut observa în timpul probelor de aşchiere, cind s-a constatat că deplasarea manu-ală a devenit extrem de ușoară, după intrarea frezei în material, în cazul aranjamentelor S-P corespunzînd unghiului  $\xi = 42,5^\circ$  și  $222,5^\circ$ , deci avînd rezultanta forței medii de aşchiere aproape paralelă cu arborele filetat. Trebuie menționat însă că înaintea aşchierii, piulița de compensare a fost reglată la limita posibilității de acționare a motorului de avans.

Pentru a sublinia cele de mai sus se citeaza cazul aranjamentului avînd  $\xi = 59,5^\circ$  precum și  $240,5^\circ$ , la cari direcția rezultantei forțelor de aşchiere este mai aproape de direcția axei longitudinale, totuși  $w_{lim}$  este de peste două ori mai ridicată. În aceste aranjamente însă deplasarea de avans nu se mai execută cu masa longitudinală, ci cu cea transversală, față de care forța de excitație nu mai este paralelă ci perpendiculară.

S-ar putea însă ridica problema aranjamentului avînd  $\xi = 132,5^\circ$  precum și  $312,5^\circ$ , la cari rezultanta medie a forțelor de aşchiere este aproape paralelă cu arborele filetat a saniei transversale, deci o situație similară cu acela a aranjamentului avînd  $\xi = 42,5^\circ$  și  $222,5^\circ$  în cazul mesei longitudinale, totuși  $w_{lim}$  este foarte ridicat, deci o comportare dinamică bună.

Explicația - valabilă de altfel pentru toate cele 6 aranjamente S-P avînd avansul / și piesa / transversal - constă în faptul că, între forța de excitație a aşchierii și cuplul surub-piuliță de deplasării saniei transversale care preia solicitarea dinamica, sunt interpuse amortizoare Lanchester / A llb / și amortizoare cu masa auxiliară amortizată / A llc / constînd din : corpul saniei transversale cu ansamblele și piesele montate pe ea printr-o serie de legături amortizoare și elastice producînd o amortizare simțitoare și deci ridicarea pragului de stabilitate.

O explicație suplimentara - valabilă pentru aranjamentele avînd  $\xi = 132,5^\circ$  și  $312,5^\circ$  - elucidează limita de stabilitate sensibil mai ridicată decît la aranjamentele avînd  $\xi = 59,5^\circ$  și  $240,5^\circ$ , avînd  $w_{lim} = 7$  resp.  $6$  mm. În cazul primelor două aranjamente rezultanta medie a forțelor de aşchiere acționează aproape perpendicular pe partea laterală a ghidajulu' mesei longitudinale care pe o lungime așa de mare constituie împreună cu stratul de lubrifiant de pe el - un amortizor excelent, ceea ce

nu se realizeaza în cazul aranjamentelor amintite la urmă.

O situație similară are loc la aranjamentele cu avans longitudinal  $\varepsilon = 150^\circ$  și  $331^\circ$  avindu-se la bază efectul descris în subcapitolul 3.1.5 și fig. 3.6 care concura la asigurarea limitei ridicate a stabilității.

U altă cauză pentru apariția cedării în direcția axei x - x este gradul de libertate destul de mare între ghidajul vertical al consolei și a montantului. Aici ghidajul sub forma de coadă de rîndunică permite o mișcare de rotire a consolei și împreună cu ea și a mesei în jurul unui centru imaginar care se află aproximativ în apropierea unuia dintre ghidajele verticale, atunci cînd forța de excitație are o poziție favorabilă creeri unui moment de rotire susamintit, cum este cazul la aranjamentele avînd  $\varepsilon = 180^\circ$  și  $222,5^\circ$ , precum și  $0^\circ$  și  $42,5^\circ$ . La toate aceste aranjamente direcția forței de excitație este apropiată de direcția uneia din fețele ghidajului cu coadă de rîndunică care în aceste cazuri permite o mișcare de quasi-translație. Desigur cele de mai sus au efect și asupra cedării în direcția axei y - y, ceea ce rezultă ca componentă corespunzătoare axei y - y din mișcarea de rotire susamintită a consolei.

La aranjamentele S-P avînd  $\varepsilon = 42,5^\circ; 132,5^\circ; 222,5^\circ$  și  $312,5^\circ$  / fig. 4.9 /, tangenta la dintele frezei ce intră în piesă, este paralelă cu avansul și de sens contrar cu aceasta. Binecunoscută formă de "lună nouă" a așchiei din acest punct de intrare începe să-și crească grosimea dela valoarea zero, pînă la valoarea ei maxime după  $90^\circ$  de rotire. Începînd din locul intrării frezei în piesă, teoretic așchia crește progresiv, practic însă pe o anumită porțiune de arc, freza nu pătrunde încă în material ci îl deformează doar. Forța aceasta de deformare crește și ea proporțional cu grosimea teoretică a așchiei pînă la o valoare limită cînd cuțitul pătrunde brusc în material, de data asta mai adinc decît valoarea teoretică datorită tensiunilor accumulate atât în ramura dinspre piesă cît și în ramura dinspre freză a sistemului MUPDS. Astfel are loc o excitație permanentă suplimentară a procesului de frezare la fiecare intrare a unui alt dintă al frezei în piesă. Această solicitare dinamică suplimentară contribuie și ea la coborîrea limitei de stabilitate la aranjamentele susmenționate.

Tabelul din fig. 4.11 este o încercare de recapitulare a cauzelor mai sus tratate, folosind un punctaj aproximativ.

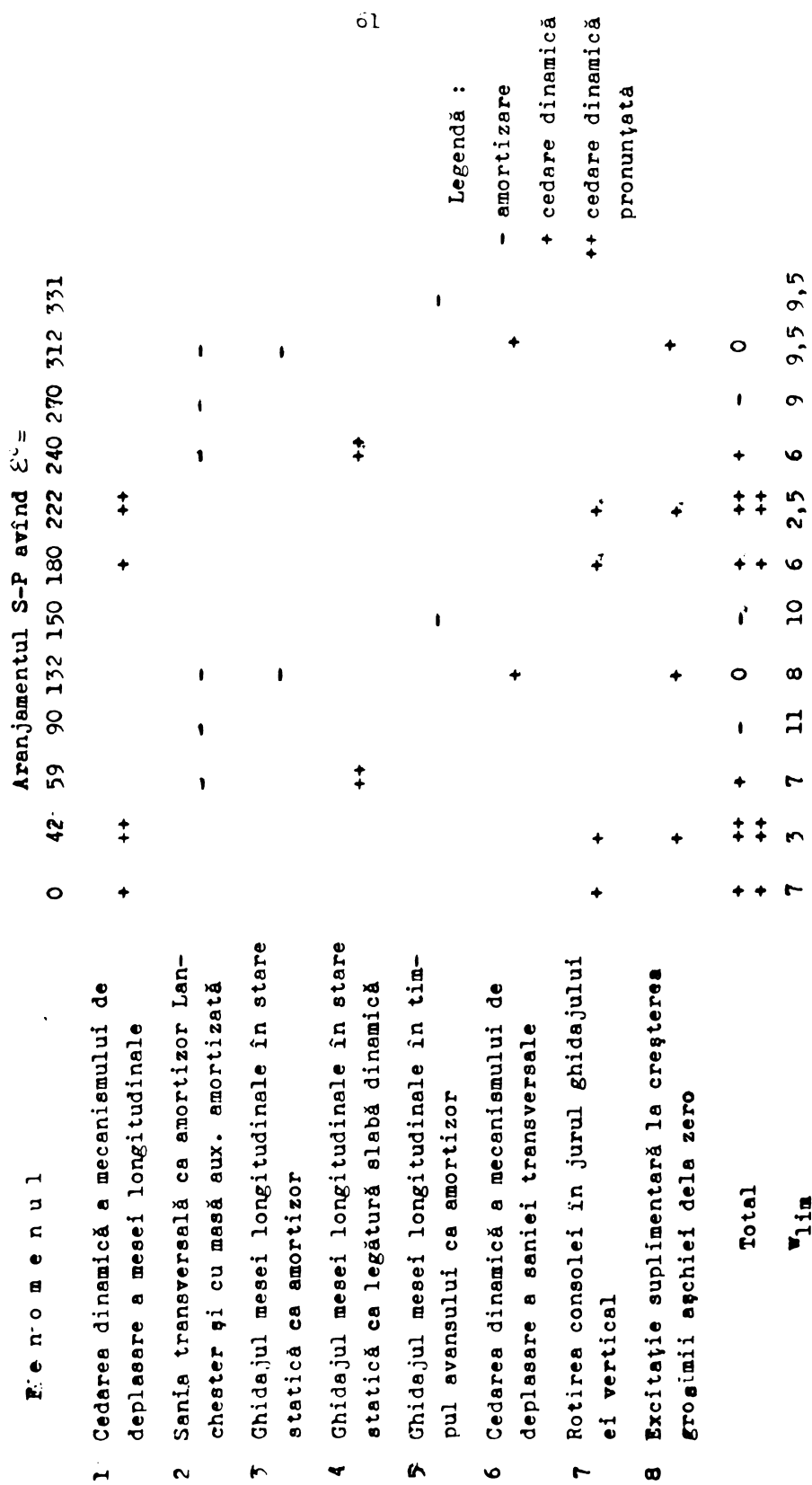


Fig. 4.11

Prin însumarea algebrică a punctajului pe cauze / unde este cazul /, în cadrul fiecarui aranjament S-P, se obține totalul punctajului ne aranjamente, cari comparate cu adâncimile de aşchiere limită respective  $w_{lim}$ , / fig. 4.9 și 4.10 / prezintă proporționalități inverse suficiente de logice, pentru a demonstra realitatea analizelor cauzale ale comportării structurii.

In afară de aceleas emintite mai sus, în timpul efectuării cercetărilor, s-au mai putut constata următoarele :

- Efectul distrugător a vibrațiilor asupra sculei, întrece orice închiduire. In fotografiile prezentate / A 1; A 2; A 3; A 4; A 5; /, se observă stirbirea tăișului sculei, în primele trei cazuri chiar fără urme de uzură. Ele s-au produs în intervale de cca. 0,3 - 2 sec. Orice efort, în vederea extinderii domeniului stabil, merită osteneala.

- La folosirea sculelor noi, sau reascuțite, este imperios necesară rodarea cuștelor, fără de care  $w_{lim}$  se reduce chiar pînă la 5 ori. Această operație se poate realiza și printr-un proces de aşchiere treptat, metodă de aplicat la cuștele cu plăcuțe amovibile. Rodarea prelungeste durata tăișului la uzură.

- Intrarea frezei în piesă, expune cuștele la șocuri puternice, cari cauzează adesea stirbirea lor. Sînt aranjamente S-P optime în cari unghiul de intrare  $\varphi_i$  este mai avantajos. La nevoie, se poate intra treptat. Socul puternic este periculos, atunci cînd  $z$  are valoare subunitara:  $z_{act} = 0,5$  sau  $1 \leq z_{act} \leq 2$  s.a.m.d. In aceste cazuri, variația forței de aşchiere este mare.

- Numărul de dinți activi ai frezei, se poate influența atât prin alegerea diametrului și a numărului de dinți ai frezei, cât și prin aranjamentul S-P.  $z_{act}$  sau  $z_c$  este optim, la număr de dinți intregi /  $z = 1, 2, 3, \dots, n$  /, sub optim la  $z = n^+$  / / 0,1 - 0,2 /, iar cel mai defavorabil la  $z = n^- 0,5$  pentru  $n = 1, 2, 3, \dots$

#### **4.5 Concluzii parțiale.**

Încercarea prin aşchiere este utilă și necesară, dar la frezare în general și la mașini de frezat verticale în special, aceasta solicită un volum enorm de lucrări, care nu poate fi realizat integral, decît la unele cercetări de premieră.

Încercarea permite obținerea de rezultate calitative reale ale analizei dinamice, iar în caz de respectare a condițiilor

limita a regimului de lucru, și rezultatele cantitative sunt suficient de reale. Deși rezultatele încercărilor sunt indirecte, cumulate dă date utile asupra :

- comportării dinamice a structurii ;
- performanțelor tehnologice ale mașinii ;
- depistării defectelor de fabricație și montaj ;
- depistării primare a domeniilor dinamic slabă ;
- valorilor de control, în vederea comparării cu rezultatele încercărilor prin excitație a structurii, precum și cu calculul limitelor de stabilitate ;
- valorilor limită pentru recepție finală .

Având la dispoziție datele cercetării prin aşchiere, rezultă necesitatea :

- măririi domeniului permanent stabil al mașinii, prin depistarea legăturilor, nodurilor și construcțiilor dinamic slabă și adoptarea soluțiilor constructive corespunzătoare, pentru îmbunătățirea lor,
- folosirea selectivă a aranjamentelor S-P, astfel ca să se evite acelea care sunt în zona direcției de cedare maximă a structurii,
- includerea în fazele de receptie finală a mașinilor, un test de aşchiere, constând din 3 aranjamente S-P :  $\xi = 331^\circ$  ;  $0^\circ$  ;  $42,5^\circ$  ; la adâncimea de aşchiere de  $w = 9$  ;  $7$  ;  $3$  mm corespunzătoare aranjamentelor alese, la turăriile de  $n = 118$  ;  $150$  ;  $190$  rot/min, dintre care cele 3 trece prin una din aranjamente, cu înregistrare pe oscilograf. În caz că nu apare auto-vibrăție, mașina din punct de vedere dinamic este corectă. În cazul apariției autovibrățiilor, se repetă trecerea, însă cu adâncimea diminuată cu 1 mm. Dacă nu apar vibrății, mașina din punct de vedere dinamic corespunde. Dacă apar vibrății, mașina se respinge și se va localiza nodul dinamic slab. În acest scop se verifică banda înregistrată de oscilograf, care totodată va indica și defectele de desechilibru care nu au cauzat pierderea stabilității dar trebuie eliminate. Aceste probe ar necesita 0,5 - 1 ore/ mașină. După o experimentare de 1 - 2 ani ar putea deveni prescripție de standard. În cazul că îmbunătățirile constructive susamintite dă rezultate favorabile, adâncimile de aşchiere pentru testare se pot mări corespunzător în cazul aranjamentelor S-P având  $\xi = 0^\circ$  și  $42,5^\circ$ .

5. Cercetarea comportării dinamice a mașinilor de frezat cu consolă, prin măsurarea funcțiilor de transfer a cedării.

Precum rezultă din cap. 2.8 ; apariția vibrației în PA, este cauzată în principal de efectul regenerativ și de efectul cuplării de poziție. În aceste situații, sistemul MUPDS este definit de relația variației grosimii așchiei / 2.5 /, relația variației forței de așchiere / 2.8 /, precum și de relația comportării structurii / 2.20 /. Interdependența acestor relații rezultă clar din schema bloc din fig. 2.13. Analiza comportării la vibrații a sistemului MUPDS se reduce în final, la analiza stabilității acestei scheme bloc, folosind criteriile de stabilitate din teoria reglării automate. Forma în care va fi posibilă descrierea fiecărui element, va determina criteriul de stabilitate care va putea fi întrebuită.

În fond, schema bloc se compune din două elemente principale : mașina și procesul de așchiere. În acest capitol se propune descrierea mașinii, în legătură cu care concluzia subcapitolului 2.6.3 arată motivele pentru care în prezent structura unei MU nu se poate descrie pe cale analitică, ci numai pe cale experimentală. La acestea trebuie adăugat ca atât cedarea dinamică cît și defazajul dintre forță și deformăție depind în mare măsură de proprietățile nodurilor de legătură între organe și ansamblu, îndeosebi de calitatea și rugozitatea suprafețelor de contact, în cazul ghidajelor de valoarea presiunii de contact, a ungerii etc. Deoarece în prezent neexistând încă cunoștințe în destulătoare referitoare la acestea, nu se pot obține pe cale analitică valori ale rigidităților și amortizărilor din aceste noduri, care să satisfacă condițiile de precizie necesare calculării caracteristicilor frecvențiale amplitudine-fază.

Intrucit prin metode analitice nu se pot determina CFAF, acestea trebuie măsurate direct pe MU. În acest scop MU este suspă - fără să funcționeze - unei cercetări de excitație în care între S și P se aplică forțe de excitație statice și dinamice. Aceste forțe, având ordinea de mărime a forțelor de așchiere, pot fi produse de un excitator electro-hidraulic. Amplitudinile de deplasare ce iau astfel naștere, sunt raportate la forțele de excitație și cu ajutorul defazajului, sunt reprezentate ca CFAF, unde frecvența forței de excitație este luat ca parametru.

În cazul cel mai general - cum este și cazul mașinii de frezat verticală - rezultanta forțelor care acționează între S-P, este un vector în spațiu, care poate fi determinat prin proiecțiile sale :  $P_x$ ,  $P_y$ ,  $P_z$ , pe cele trei axe de coordonate trirectangulare a sistemului cartezian, în care se înscrie și MU. În mod similar, deplasarea relativă între S-P este un vector directat tot în spațiu, care poate fi determinată prin proiecțiile ei:  $x$ ,  $y$ ,  $z$ , pe același sistem de coordonate.

Urmează ca comportarea dinamică a structurii în zona de aşchieri, să fie descrisă de nouă funcții de transfer, reprezentate prin tot atâtea CFAF'.

$$\begin{aligned} G_{xx}(i\omega) &= \frac{x(i\omega)}{P_x(i\omega)} ; \quad G_{xy}(i\omega) = \frac{x(i\omega)}{P_y(i\omega)} ; \quad G_{xz}(i\omega) = \frac{x(i\omega)}{P_z(i\omega)} ; \\ G_{yx}(i\omega) &= \frac{y(i\omega)}{P_x(i\omega)} ; \quad G_{yy}(i\omega) = \frac{y(i\omega)}{P_y(i\omega)} ; \quad G_{yz}(i\omega) = \frac{y(i\omega)}{P_z(i\omega)} ; \\ G_{zx}(i\omega) &= \frac{z(i\omega)}{P_x(i\omega)} ; \quad G_{zy}(i\omega) = \frac{z(i\omega)}{P_y(i\omega)} ; \quad G_{zz}(i\omega) = \frac{z(i\omega)}{P_z(i\omega)} ; \end{aligned}$$

/ 5.1 /

In acest scop s-a excitat structura în mod succesiv în direcția celor trei axe de coordonate, simulând astfel cele trei componente  $P_x$ ,  $P_y$ ,  $P_z$ , ale forței de aşchieri, măsurindu-se în fiecare caz răspunsul structurii / amplitudinea de deplasare / în direcția acelorași trei axe de coordonate  $x$ ,  $y$ ,  $z$ , totodată și unghiul de defazaj  $\phi$  între forță și deplasare.

### **5.1 Standul de încercări și cercetare.**

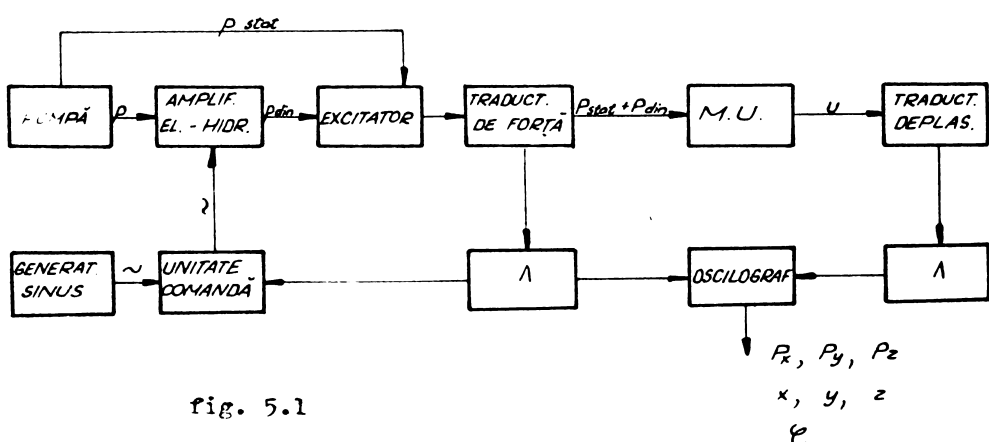
Așa cum s-a descris în cap. 1, s-a constituit un stand la Intreprinderea Unirea din Cluj-Napoca, la care s-a realizat cercetarea integrală a mașinii FV 32-1, iar acest stand s-a reconstituit la Intreprinderea Mecanică Jusir, cu anumite complectări din dotarea acestei întreprinderi. La acest stand, s-a realizat cercetarea prin excitație a mașinilor de frezat verticale : FV 32-2 și FV 35, precum și a mașinei de frezat universală : FU 35.

Obiectul cercetării : MU, a fost așezată pe pardoseala de

beton armat a standului de probă, prin intermediul unor plăci de cauciuc cu inserție de pînză de cca. 30 mm grosime însumată, fără ancorare. Panoul hidraulic a fost amplasat la distanță de cca. 2 m. de mașina cercetată, pe un covor din PVC pe suport textil. Pe același planșeu, dar în altă încăpere, la distanță de min. 8 m. erau în funcțiune MU de așchiat metale. În aceste condiții, nu s-a constatat prezența unor forțe de excitație exterioare MU.

In etapa de cercetare dela Cugir, condițiile erau mai puțin izolante; FV-35 și FU-35 fiind în exploatare, au fost amplasate printre alte MU, prima în secția sculărie, cea de a doua în secția de uzinaj MU, ambele așezate pe plăci de cauciuc de cca. 15 mm. grosime, fără ancorare, iar FV-32-2 s-a amplasat în sculărie pe dispozitive vibroizolante cu tampon de cauciuc, fabricate de Electrotimiș, la fel neancorată. La toate cele trei MU, panoul hidraulic se afla la 0,6 m. de mașină, fără izolare față de sol. Nici în aceste condiții nu s-au constatat forțe de excitație exterioare, care să influențeze sensibil răspunsul la excitația direjată a MU cercetată.

Schema bloc al standului pentru cercetarea comportării dinamice a mașinii FV-32-1 este prezentată pe fig. 5.1 ;



Pe schemă distingem de fapt două sisteme :

- Sistemul de excitație / intrare / format din :

- Unitate de pompă cu două ieșiri de alimentare ;

- prima alimentează etajul de producere a forței statice în excitor,

- cea de a doua alimentează etajul de producere a forței dinamice a excitorului, prin intermediul:

- Amplificator electro-hidraulic / AEH / , care transformă presiunea constantă furnizată de pompă, în presiune alternativă de frecvență variabilă, prin intermediul tensiunii alternative produse de un :

- Generator de frecvență sinusoidală / GF / , care transmite semnalul produs, la AEH , prin :

- Unitatea de comandă / UC / , care corectează variațiile curbei caracteristice a AEH și compensează parțial diminuarea, funcție de frecvență, a forței de excitație dinamică, primind semnalul prin bucla de reacție, dela traductorul de forță, care este montat pe :

- Excitatorul hidraulic. Acesta în cele două etaje susmenionate, produce și suprapune forță statică de pretenzionare, menită să liniarizeze procesele dinamice cari apar în structură și forță dinamică de excitație propriu zisă, care simulează componenta dinamică a forței de aschieri.

- Sistemul de măsurare format din :

- Traductorul de forță - intercalat nemijlocit între excitator și structura de excitat - care transmite semnalul de intrare /  $F_{stat} + P_{din}$  / - prin puntea de măsurare și amplificator - unui oscilograf, precum și la unitatea de comandă UC pentru compensarea forței.

- Traductorul de deplasare, montat axial / FT directe /, sau perpendicular / FT transversale / , față de tija excitatorului, care măsoară deplasarea relativă între S-P și transmite acest semnal de răspuns al structurii - prin intermediul unei punți de măsurare și amplificator - aceluiași oscilograf.

- Oscilograful înregistrează semnalele susamintite pe o bandă, care devine purtătorul de informații, necesare evaluărilor și calculelor asupra comportării dinamice a structurii.

In fig. 5.2 se prezintă aspectul general al stâncului, unde conform amplasării fizice a obiectelor, se distinge :

1. Structura cercetată : FY 32-1 .

2. Elementele pe mașină, constând din :

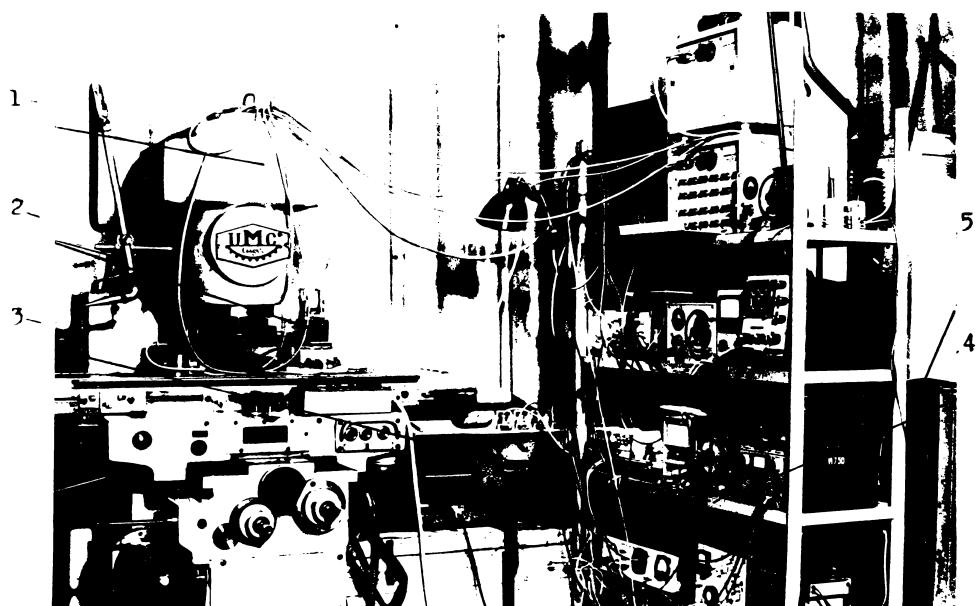
- Excitatorul cu suportul său și traductorul de forță ;

- Traductorii de deplasare : longitudinal, transversal, vertical ;

- Punctul de comandă a acționării manoului hidraulic, mobil într-o rază de 3 m.

3. Oscilograful  
 4. Stativul cu aparate  
 5. Panoul hidraulic

fig. 5.2



#### 5.1.1 Unitatea de pompă.

In schema bloc din fig. 5.1 apare și sub denumirea compactă : "pompă" prin care aci se înțelege un ansamblu compus dintr-un:

- Panou hidraulic, în continuare notat ca: PH
- Tabloul de comandă electrică al panoului
- Pupitrul de comandă a acestuia.

Panoul hidraulic a fost împrumutat dela un strung frontal tip Mafumat DF 315 fabricat în RDG fiind destinat acțiunării unor accesorii ale strungului, ca: dispozitiv de copiat, cap revolver port scule etc.

Acest PH este constituit din două circuite hidraulice independente / fig. 5.3 / fiecare dintre ele fiind alimentat de către o pompă cu roți dințate și ambele acționate de un același electromotor de 0,8 Kw. Pompa  $P_1$  are un debit de 1,6 l/min , iar pompa  $P_2$  având debitul de 6,5 l/min., ambele având presiunea maximă de regim de  $63 \text{ kgf/cm}^2$ .

In conducta de aspirație a pompelor, este intercalat microfiltrul  $F_1$  , cu capacitatea de reținere de  $10 \mu$ , ceea ce este

imperios necesară la alimentarea amplificatorului electrohidraulic. Rezervorul PH avind o capacitate de 40 l. este prevăzut cu un filtru fin la alimentarea cu ulei, precum și o baterie de magneți permanenti, pentru reținerea impuritaților feroase. Aerisirea rezervorului se face deasemenea printr-un filtru fin. Toate aceste masuri pentru asigurarea acurateței, au permis o funcționare ireproșabilă a amplificatorului electrohidraulic și a excitatorului, chiar în regim fortuit de 16 ore pe zi. Uleiul pentru turbine 5003 folosit ca mediu hidraulic, s-a comportat deasemeni ireproșabil.

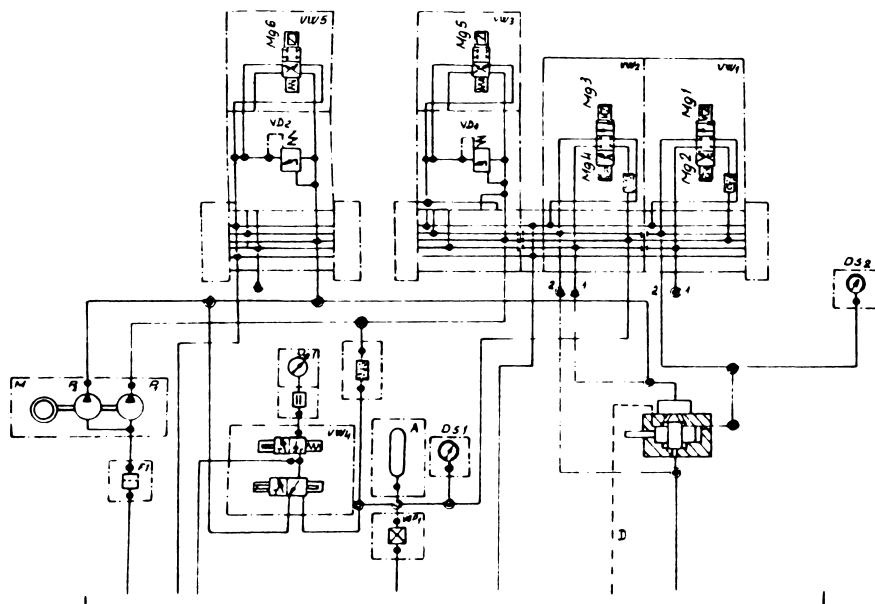


fig. 5.3

Circuitul pompei  $P_2$  a alimentat AEM cu presiunea necesară creșterii forței dinamice. Uleiul refuzat de pompa  $P_2$ , intră într-un bloc fix de distribuție, la care este racordată o supapa de deschidere reglabilă, cu care se poate regla presiunea de alimentare pentru forță dinamica, în acest caz la  $56 \text{ kgf/cm}^2$ . În paralel cu aceasta, uleiul intră într-un distribuitor electromagnetic 4/2 normal deschis, notat cu  $VV\ 5$ , fiind acționat de electromagnetul  $Mg\ 6$ . În poziția normală a distribuitorului, uleiul refuzat de pompa  $P_2$ , se retrage în rezervor, circuitul ne fiind

pus sub presiune. Acționind electromagnetul Mg 2 , distribuitorul VW 5 se inchide și circuitul se găseste instantaneu la presiunea limitată de supapa de descărcare reglabilă VD 2 , fiind legat prin corpul excitatorului, de orificiul de presiune P a AEH .

Pompa P<sub>1</sub> alimentează deasemenea un bloc fix de distribuție, la care este racordată supapa de descărcare reglabilă VD 1 cu care s-a limitat presiunea pentru crearea forței statice, în acest caz de 35 kgf/cm<sup>2</sup>. În paralel este alimentat și distribuitorul VW 3 de tip 4/2 normal deschis, fiind acționat de electromagnetul Mg 5. În poziția normală a distribuitorului, uleiul refuzat de pompa P<sub>2</sub> se retrimită în rezervor. Acționind Mg 5 , se inchide VW 3 , presiunea crește lent, pompa P<sub>1</sub> începând să încarce - printr-o supapă de sens - acumulatorul pneumohidraulic A legat în derivărie cu VW 3 și VD 1 . La atingerea presiunii regulate, supapa de descărcare VW 1 intră în funcțiune, menținând presiunea reglată în limite de cca. 1 kgf/cm<sup>2</sup>. După opriri scurte, presiunea reglată se instalează în timp scurt.

Presiunea din circuitul pompei P<sub>1</sub> , amortizată și aplanată, de acumulatorul A încărcat cu azot, alimentează prin blocul fix de distribuție, două distribuitoare electromagnetice 4/3 normal închise : VW 1 și VW 2 , cari comandă alimentarea consumatorilor, fiind acționate de electromagnete : Mg 1 și Mg 2 resp. Mg 3 și Mg 4 . La încercările mașinii PV 32-1 la Cluj, s-a folosit doar poziția inversă dela VW 1 , prin Mg 2 , prin care s-a alimentat camera de producere al forței statice a excitatorului. Conducta transparentă de drenaj / fig. 5.10 /, este legată prin racordul de drenaj a acestui circuit, la rezervor.

La Cugir, s-a lucrat cu un panou hidraulic imprumutat de la un strung frontal tip Wafumat WF 200. Acest PH s-a deosebit de cel din Cluj, prin absența circuitului pompei P<sub>2</sub> , singura pompă P<sub>1</sub> era acționată de un motor electric de 0,4 Kw. În acest caz, supapa de descărcare reglabilă VD 1 , s-a reglat la 48 kgf/cm<sup>2</sup>. Distribuitorul VW 1 a lucrat în poziția inversă prin Mg 2 ca și la Cluj, conducta 1 fiind obturată, deservind camera de presiune statică a excitatorului. Distribuitorul VW 2 a lucrat în poziția directă prin Mg 3 , prin ieșirea 1 alimentând racordul de presiune dinamică de pe excitator, ieșirea 2 fiind legată de racordul de return de pe corpul excitatorului. A-

ceste două legături sunt trecute cu linii punctate pe schema hidraulica din fig. 5.3 și în acest caz trebuie considerat că înexistent circuitul pompei  $P_1$ . Conducta de drenaj dela excavator este legată și de data acesta la rezervor, prin raccordul de drenaj.

Datorită solicitării la limita, electromotorul de acționare a pompei s-a încalzit pronunțat, o parte din energia calorifică suplimentară s-a transmis și corpului pompei, care încălzindu-se, s-a dilatat, ceea ce a avut ca urmare scăderea presiunii regulate, și deci sistarea încercărilor în mod periodic. Introducând răcirea electromotorului cu aer comprimat, panoul DF 200 a funcționat în continuare satisfăcător. Acest fenomen nu s-a produs în cazul PH tip DF 315 la Cluj, datorita capacitatii îndestulătoare asigurate de cele două pompe și motor electric corespunzător.

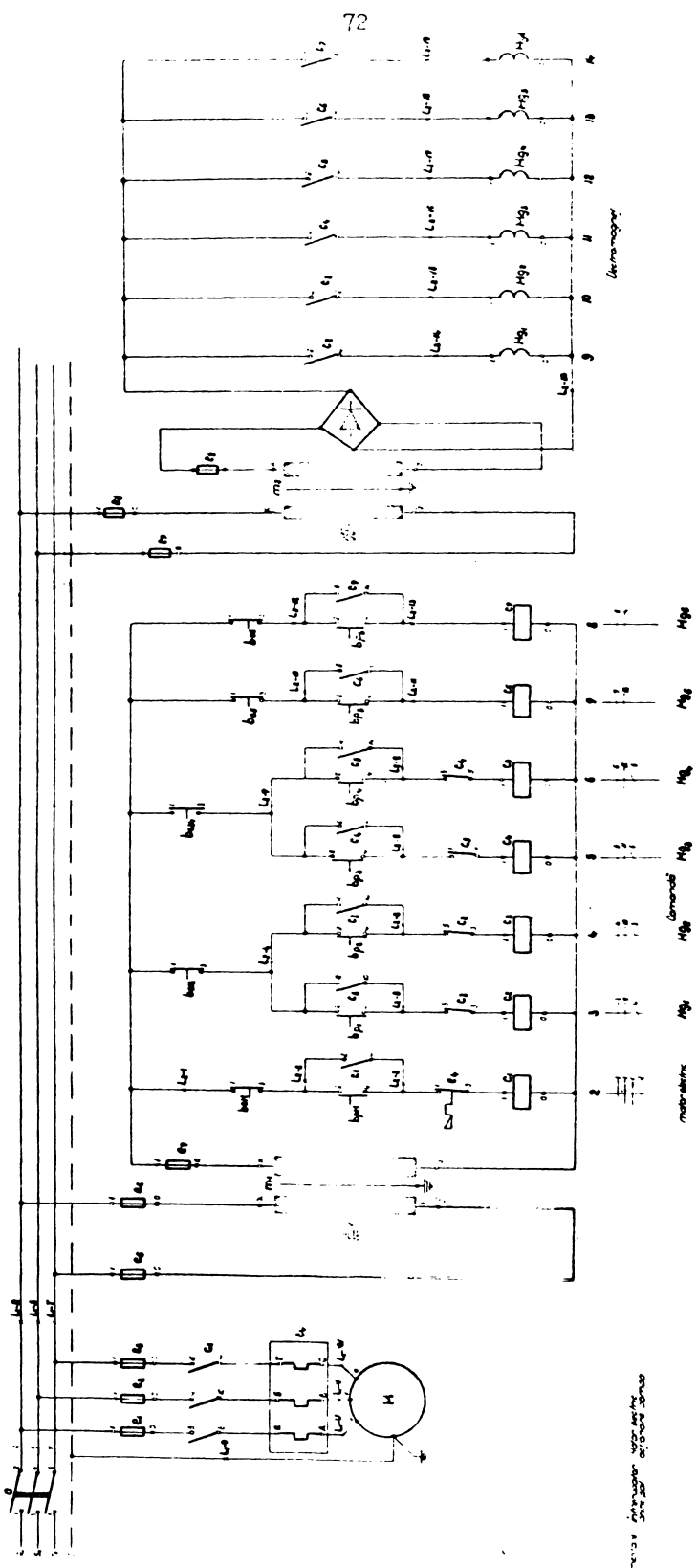
PH mai este prevăzut cu un manometru de reglare și control care deservește ambele circuite, acestea fiind selectate printr-un distribuitor rotativ și pus sub presiune printr-un distribuitor 3/2, ambele acționate manual printr-un singur buton. Presostatele  $uS\ 1$  și  $DS\ 2$  deservesc PH în cazul regimului intermittent, ceea ce nu era cazul la lucrările tratate, deci semnalele acestora nu s-au luat în considerație. Supapa de descărcare VSP 1 deservește circuitul lui  $P_1$  care rămîne sub presiune, datorită acumulatorului, și după oprirea pompei  $P_1$ .

In mod normal cele două PH sunt comandate de instalația electrică a strungurilor Mafunat DF 315 resp. DF 200 cărora le aparțin. În cazurile descrise, a fost necesară realizarea unui tablou de comandă și a unui pupitru de comanda corespunzători / fig. 5.4 și 5.5 /.

Motorul pompelor se alimentează dela rețea, prin contactorul  $c_1$  care este comandat de butoanele  $b_{pm}$  și  $b_{om}$ . Electromagnetii de comandă  $Mg\ 1 \dots Mg\ 6$  a distribuitoarelor hidraulice, sunt alimentați cu curent continuu de 24 v printr-un transformator și redresor, și sunt comandate de butoanele  $b_{p1} \dots b_{p6}$  / bornire / precum și  $b_{o12}; b_{o34}; b_{o5}; b_{o6}$  / oprire / prin contactorii  $c_2 \dots c_6$ . Întrucît magnetii  $Mg\ 1$  cu  $Mg\ 2$  resp.  $Mg\ 3$  cu  $Mg\ 4$  acționează asupra acelaiași distribuitor, comanda lor electrică a fost interblocață.

Pe fig. 5.5 în partea stînga, se reprezinta perechea cup-

Fig. 5.4



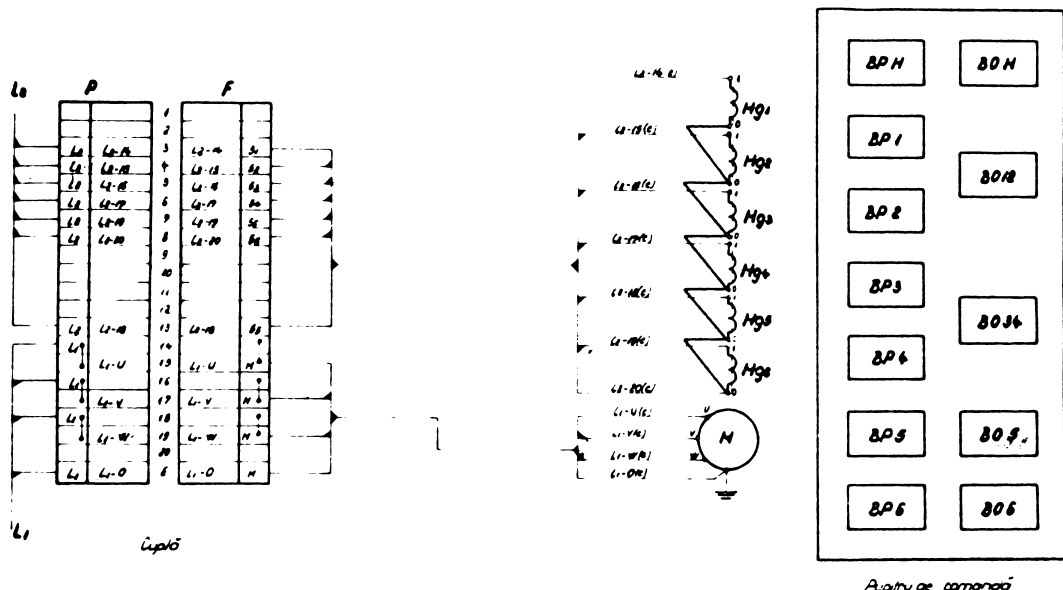


fig. 5.5

lei de legătura, unde cea notată cu  $P$  existentă pe panourile hidraulice, iar cea notată cu  $F$  s-a confectionat împreună cu tabloul de comandă / fig. 5.4 /. În partea din dreapta a fig. 5.5, este placă frontală a punitrului de comandă, cu ajutorul căruia s-a putut comanda orice varianta de funcționare a  $M_1$  descris mai sus, dela o distanță de 3 m. Din schema hidraulică și electrică, mai rezultă și posibilitatea realizării independente a forței statice, a forței dinamice, variante necesare pentru etalonări.

#### 5.1.2 Amplificatorul electrohidraulic.

AEH din fig. 5.6, este compus dintr-un transformator electro-mecanic și două trepte de amplificare hidraulică. Fluxul magnetic polarizat, este generat de 2 magneți permanenți 1, dispusi între piesa polară superioară 7 și cea inferioară 9. Arnăatura 3 a transformatorului electro-mecanic, se extinde în intrefierul

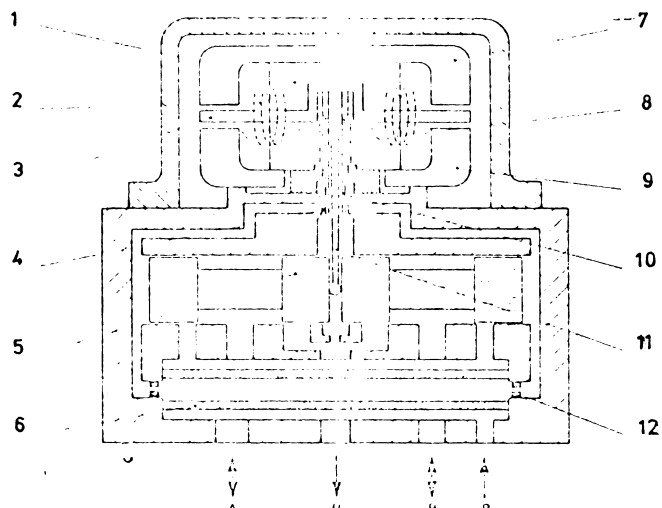


fig. 5.6

fluxului magnetic și este susținută în această poziție, de o pieșă tubulară de încovoiere 8. Acest tub de încovoiere, mai are și funcția de etansare între compartimentul electromagnetic și cel hidraulic. Armătura este îmbrăcată de două bobine de magnet 2 cîte unul pe fiecare parte a tubului de încovoiere 8.

Clapeta 10 a primei trepte de amplificare hidraulică, este fixată rigid de partea de mijloc a armăturii 3. Clapeta depășește tubul de încovoiere 8 și pătrunde între cele două ajutajele 4, creind două interstiții variabile între capetele ajutajelor 4 și clapeta 10. Uleiul sub presiune - filtrat de filtrul sinterizat 6 - furnizat de circuitul dinamic al PH, după ce trece prin două drosele fixe 12, alimentează cele două drosele variabile ce s-au creat între 4 și 10. Presiunile ce se desvoltă în camerele intermediare dintre droselele fixe și cele variabile, acționează totodată și asupra capetelor sertărașului 5 și celei de al doilea trepte de amplificare hidraulică.

Trăpta a două, este o construcție convențională de distribuitor cu sertar, cu 4 căi, la care debitul de ieșire, la o cădere de presiune constantă, este proporțională cu deplasarea dela poziția zero a sertărașului. O tijă arc de reacție 11, fixată în consolă de armătură, trece prin clapeta în interior găurită și se sprijină în crestătura din mijlocul sertărașului. Sertărașul deplasându-se, deformează arcul de reacție 11 care crează un moment în ansamblul armătură-clapetă.

Dacă se aplică un semnal asupra bobinelor, în armătură ia naștere o forță, care tinde să încovoie tubul 8 și acesta va cauza deplasarea clapetei 10 și deci mărirea interstițiului dintre acesta și unul din ajutaje și micșorarea la ajutajul opus. Acest desechilibru între droselele variabile, va cauza diferență de presiune în cele două ramuri, în urma căruia sertarul se va deplasa în sensul opus deplasării clapetei 10. Tija arc de reacție transmite armăturii, un moment invers proporțional cu deplasarea sertărașului. Acest moment se opune momentului creat de magnet, iar cînd ele devin egale, se instalează condiția de echilibru.

Dacă semnalul aplicat asupra bobinelor este sinusoidal, sertărasul de comandă execuță deplasări alternative de frecvență corespunzătoare semnalului de intrare. Prin deschiderea și închiderea muchiilor de comandă a sertărașului, uleiul sub presiune sosit prin orificiul P dela treapta dinamică a PH, este dirijat alternativ în spatele sau față pistonului excitatorului, prin orificiile B sau A producind forță alternativă / dinamică / de excitație. În fiecare semiperioadă, camera opusă presiunii, este legată de conductă de return prin orificiul X.

AEH în funcție de construcția și tipodimensiunea lor, au diferite caracteristici frecvențiale, precum rezultă din fig. 5.7 extrasă din catalogul firmei Moog, actualmente realizând AEH cu performanțele cele mai bune.

Dacă seria 35 atinge un decrement de 2 dB la 135 Hz, seria 30 abia la 300 Hz și mai departe, dacă seria 35 atinge defazajul de  $90^\circ$  la 120 Hz, AEH din seria 30 abia la 230 Hz, toate acestea la presiunea de  $200 \text{ kgf/cm}^2$ .

Caracteristica frecvențială a AEH poate fi extinsă dincolo de caracteristica reprezentată, prin mărirea scur-

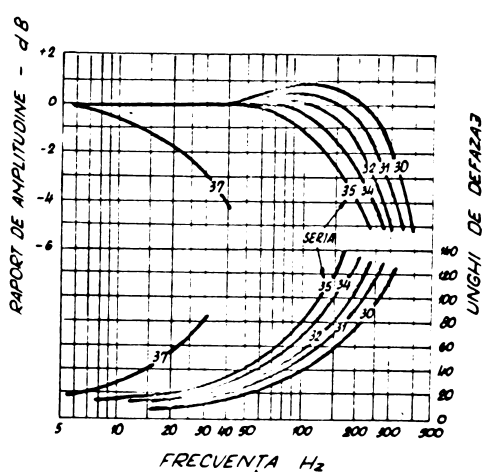


fig. 5.7 [31]

gerii la prima treaptă, precum și prin reducerea cursei maxime a sertărașului 5 . Pe această cale, unghiul de defazaj de  $90^{\circ}$  , se atinge la seriile 30 și 31 , abia în jurul frecvenței de 300 Hz. Frecvența proprie a AEH scade însă cu 25 % sub cea nominală, odată cu presiunea de alimentare, dacă aceasta scade dela 200 kgf/cm<sup>2</sup> la 70 kgf/cm<sup>2</sup>. Tot în acest sens influențează și amplitudinea semnalului de comandă, precum și temperatura uleiului.

In standurile de cercetare realizate la Cluj și Cugir, s-a folosit AEH seria 30 fabricație Moog.

In fig. 5.8 este prezentată schema bloc a AEH : [31]

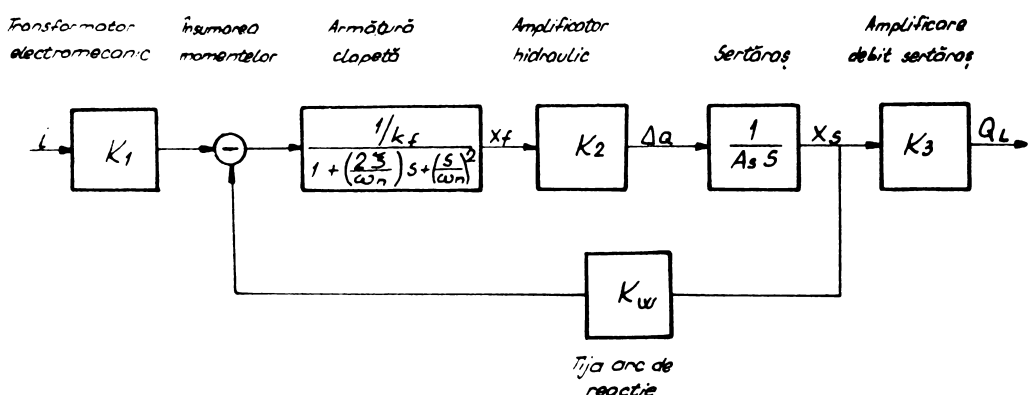


fig. 5.8

$i$  = semnalul de comandă

$x_f$  = deplasarea clapetei spre ajutajă

$x_s$  = deplasarea sertărașului

$\Delta Q$  = diferența de debit a amplificatorului

$Q_L$  = debitul AEH

$K_1$  = funcția de transfer al transformatorului electromecanic

$K_2$  = funcția de transfer a amplificatorului hidraulic

$K_3$  = funcția de transfer al sertărașului de comandă

$A_s$  = aria fundului sertărașului de comandă

$k_f$  = rigiditatea netă a sistemului armătură - clapetă

$k_w$  = rigiditatea tijei arc de reacție

$b_f$  = amortizarea sistemului armătură - clapetă

$l_f$  = masa de rotație a sistemului armătură - clapetă

$$\omega_n = \sqrt{\frac{k_f}{l_f}} \quad \text{frecvența proprie a primei trepte} \quad / 5.2 /$$

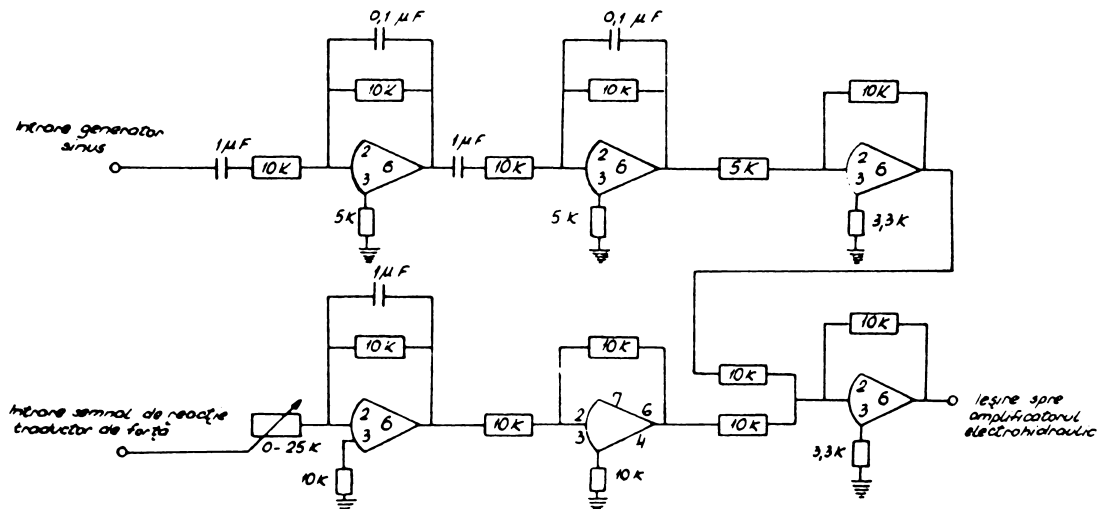
$$\xi = \frac{1}{2} \cdot \frac{b_f}{k_f} \cdot \omega_n \text{ raportul de amortizare al primei trepte / 5.3/}$$

$$K_v = \frac{K_2}{k_f} \cdot \frac{k_w}{A_s} \quad \text{funcția de transfer a AEH} \quad / 5.4 /$$

Cele de mai sus sunt valabile și în cazul standurilor susmenționate, la cari semnalul de comandă e funcție de tensiune, iar semnalul de ieșire este funcție de presiune. AEH reproduce la ieșire legea de variație a semnalului de intrare. In cazul tratat, legea de variație a forței dinamice era sinusoidală, lege căreia s-a conformat și forța dinamică realizată de excitator pe cale hidraulică.

#### 5.1.3 Unitatea de comandă a AEH.

fig. 5.9



Aceasta realizează între anumite limite, corecția curbei caracteristice a raportului de amplitudine în funcție de frecvență și asigură protecția AEH. Are 2 intrări, aşa cum se vede pe schema bloc / fig 5.9 /, prima fiind intrarea semnalului dela generatorul de frecvență, iar cea de a doua fiind semnalul circuitului de reacție, primit dela traductorul de forță, și care pe măsură diminuării forței de excitație, odată cu creșterea frecvenței, va conține între anumite limite această diminuare, prin mărirea semnalului de comandă / tensiune / al AEH care comandă excitatorul.

Ambele ramuri ale unității de comandă, / fig. 5.9 / sunt construite pe baza unor amplificatoare operaționale, care în final se întâlnesc într-un însumator, de unde pleacă spre AEH. Amplificatoarele operaționale sunt alimentate de o sursă de curent continuu, având la borne tensiunile de + 15 V și - 15 V. Semnalele de intrare – pentru cele două ramuri – variază între 2 - 5 V, semnalele de ieșire între 8 - 12 V / peak a peak / resp. 8 V / RMS /, curentul fiind sub 10 mA.

#### 5.1.4 Generatorul de frecvență.

Aparatul folosit era de tipul GBT 971 / Franța /, având gradatăia scălei centrale între 10 - 100 Hz cu posibilitatea de amplificare de : 10 ;  $10^2$ ;  $10^3$ ;  $10^4$  ori, resp. diminuare de  $10^{-1}$ ;  $10^{-2}$  ori. Astfel, s-au putut asigura semnale sinusoidale pentru unitatea de comandă a AEH între 8 - 100 Hz în prima treaptă, iar apoi dela 85 - 1000 Hz în treapta cu amplificare de 10 x , dar această treaptă s-a sondat în general pînă la cca. 150 Hz , deoarece peste această frecvență nu s-au mai obținut semnale de răspuns suficient de interesante.

Prin demontarea butonului de acord fin a generatorului de frecvență GBT 971 , s-a putut cupla arborele acestuia cu mecanismul de antrenare a unui programator cu came,fabricație Schleicher / RFG /,care are turăție variabilă fără trepte în ambele sensuri, prin intermediul unui arbore cardanic corespunzător și o cuplă de antrenare din cauciuc. În acest mod, s-a putut realiza o baleiere corespunzătoare a domeniului de frecvență analizat, ceea ce a permis o înregistrare rapidă - domeniul de 8 - 100 Hz în 40 secunde, iar cel între 85 - 150 Hz, în cca. 25 sec.- uniformă, lină, ceea ce a contribuit la ușurarea, accelerarea și mărirea preciziei prelucrării datelor înregistrate.

La cercetările dela Cugir, s-a folosit generatorul de frecvență a uzinei,de tip BM - 344 fabricat Tesla CSSR , deosebind doar gradatăia scălei centrale, care a avut domeniul de 20 - 200 Hz. bineînteleas cu trăptele de multiplicare și demultiplicare similare cu GBT 971. În vederea baleierii domeniului de frecvență, s-a folosit același mecanism de antrenare Schleicher, cu ajutorul căruia domeniul de 20 - 140 Hz s-a baleiat în cca. 22 - 25 sec, avînduse totodată și avantajul cuprinderii întregului domeniu susmenționat, într-o singură treaptă a generatorului de frecvență.

### 5.1.5 Excitatorul.

Excitatorul / fig.

5.10 / este montat cu 4 șuruburi de M 8, de un suport de construcție sudată, care la rîndul lui se fixează cu 2 șuruburi de M 16 prin canalele T, de masa longitudinală a mașinii de frezat. Pe trei, din fețele excitatorului, se găsesc cîte 4 găuri filetate M 8, cari fac posibilă fixarea lui în cele 3 poziții corespunzătoare axelor de coordonate.

Excitatorul propriu zis, din exterior apare ca o prismă dreptunghiulară, avînd dimensiunile laturilor de 64 x 64 x 80 mm. În partea lui superioară, este montat AEH tip Moog seria 30 / tratat în cap. 5.1.2 /, la care printr-o cuplă tri-polară, se racordează cablul ecranat, ce transmite semnalele de comandă dela unitatea de comandă / cap. 5.1.3 / a AEH. Pe fața superioară mai este racordată conducta transparentă a dreajului.

Pe față verticală din dos, sint racordate : furtunul de înaltă presiune ce alimentează camera de producere a forței statice / dreapta /, furtunul similar pentru alimentarea circuitului forței dinamice, / stînga /, iar între ele în poziție inclinată în sus, conducta de return a circuitului dinamic.

Din față frontală a excitatorului / stînga fig. 5.10 sau fig. 5.13 / apare proeminent traductorul de forță, care este montat pe tija pistonului excitatorului, iar cablul ecranat ce părăsește suportul excitatorului în partea de jos din stînga fig. 5.10

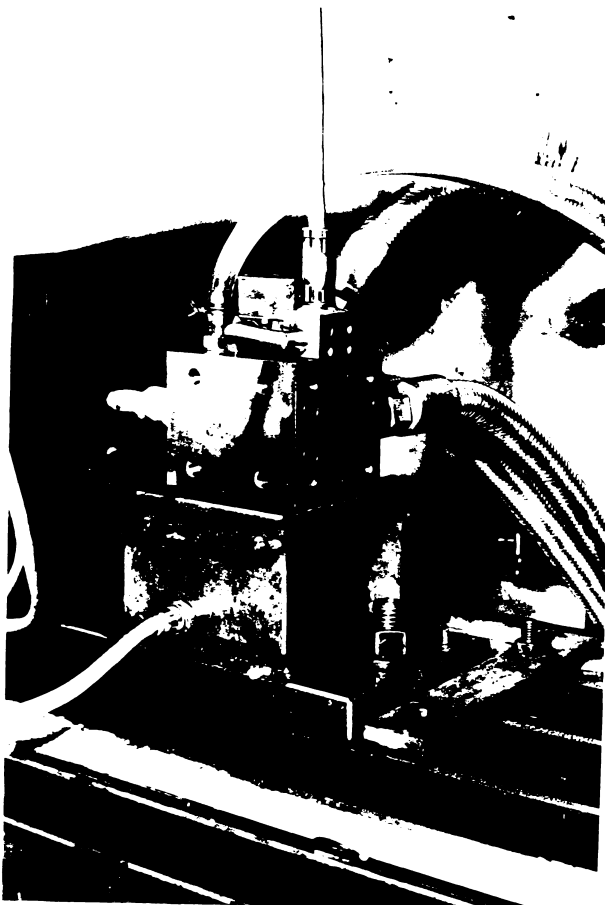


fig. 5.10

transmite semnalele acestuia, spre punțile de măsurare.

Pe fig. 5.11 este reprezentat excitatorul în secțiune. Carcasa în exterior prismatică, astfel cum rezultă pe fotografie din fig. 5.10, în interior este un cilindru lis, în care este introdus cămașa cilindru lui hidraulic, compusă din trei inele :

Inelul din mijloc, cu diametrul interior mai mare /  $\phi$  24 mm. /, constituie de fapt, cilindrul de ghidare al pistonului, iar canalul de pe cămașa exterioară a lui, unește orificiul de return al AEH, cu conductă flexibilă de return spre panoul hidraulic.

Inelul din dreapta, are diametrul interior mai mic /  $\phi$  20 mm. /, și ghidează tija din dreapta al pistonului de același diametru. Acest ajustaj are o funcție de etanșare, închizînd camera de creere a forței dinamice  $P_B$  din., totodată constituie pistonul camerei de realizare a forței statice  $P_{stat}$ . Acest inel, are în exterior două canale : cel din dreapta, leagă conductă flexibilă a presiunii statice dinspre panoul hidraulic, cu camera lui  $P_{stat}$ , prin 6 găuri radiale de  $\phi$  2 mm. Canalul din stînga, este ch. r la marginea acestui inel și prin intermediul a 6 canale radiale de secțiune  $2 \times 2$  mm., face legătura între camera de creere a lui  $P_B$  din. din dreapta pistonului principal, și orificiul B a AEH.

Inelul din stînga, avind diametrul interior tot de  $\phi$  20 mm. etanșează camera de creere a forței dinamice  $P_A$  din., făcind legătura acestei camere în mod identic ca și inelul din dreapta, însă cu orificiul A a AEH. Canalul exterior din mijlocul acestui inel, are funcție de etanșare, iar canalul mai redus în secțiune, pe partea exterioară stînga a inelului, colectează scăparele de ulei, atât prin ajustajul dintre corpul excitatorului și diametrul exterior al inelului din stînga, cît și dintre aleza-

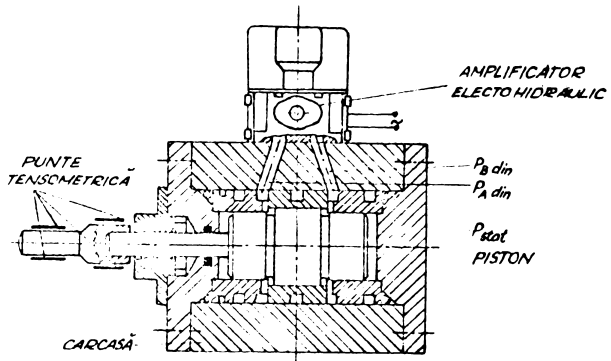


fig. 5.11

Jul acestuia din urmă și tija din stînga pistonului, făcind legătura cu raccordul conductei transparente de drenaj.

Aceasta din urmă parte al tijei pistonului, se prelungescă cu o portiune, avînd diametrul de  $\varnothing 8$  mm. și care ieșe prominent din excitator, transmițînd forță însumată de excitație, prin intermediul traductorului de forță, structurii cercetate. Această tijă trece prin capacul frontal al excitatorului, fiind etanșată cu inele O. Tot cu inele O sunt etanșate și cele două capace frontale față de corpul excitatorului, precum și AEH față de acesta din urmă.

Forță de excitație rezultată, este deci însumarea forței statice cu cea dinamică. La analiza comportării dinamice a mașinii FV 32-1 la Cluj, panoul hidraulic folosit, avînd două circuite hidraulice independente / cap. 5.1.1./, s-a putut regla separat  $P_{stat}$  și  $P_{din..}$ . S-a lucrat cu presiunile de mai jos, considerate ca optime pentru cazul menționat :

$$P_{stat} = 35 \text{ kgf/cm}^2 ; \quad P_{din} = 56 \text{ kgf/cm}^2$$

cari au putut produce următoarele forțe de excitație :

$$P_{stat} = p_{stat} \cdot \frac{\pi d_2^2}{4} = \frac{35 \cdot 3,14 \cdot 20^2}{4 \cdot 10^2} = 110 \text{ kgf} \quad / 5.5 /$$

$$P_{din} = p_{din} \cdot \frac{\pi}{4} (d_1^2 - d_2^2) = \frac{56 \cdot 3,14}{4 \cdot 10^2} (24^2 - 20^2) = 77 \text{ kgf} \quad / 5.6 /$$

Analizele făcute la Cugir, s-au realizat cu un panou similar, dar care a avut un singur circuit hidraulic primar / cap. 5.1.1./, deci forță statică precum și forță dinamică a fost generată pe baza aceluiasi presiuni, cari au fost alese pe considerantele identice ca și la Cluj și anume :

- simularea ordinei de mărime al forței de aschieri la frezare,

- asigurarea unui regim de cercetare constant, prin posibilitatea menținerii uniforme a regimului termic și deci și de presiune hidraulică, între limite înguste, timp îndelungat.

S-a lucrat deci la Cugir cu :

$$P_{stat} = P_{din} = 48 \text{ kgf/cm}^2 ; \text{ de unde conform } / 5.5 / \text{ și } / 5.6 /$$

$$P_{stat} = 150 \text{ kgf} ; \text{ iar } P_{din} = 66 \text{ kgf} ; \text{ / fig. 5.12 /}$$

Folosind indicele 1 pentru standul din Cluj și indicele 2 pentru standul dela Cugir, pe figura 5.12 s-au reprezentat curbele variației forțelor de excitație. Rezultă că :

$$\begin{aligned} P_{\max 1} &= P_{\text{stat } 1} + \\ &+ P_{\text{din } 1} = 110 + 77 = \\ &= 187 \text{ kgf. / 5.7 /} \\ P_{\max 2} &= P_{\text{stat } 2} + \\ &+ P_{\text{din } 2} = 150 + 66 = \\ &= 216 \text{ kgf. / 5.8 /} \end{aligned}$$

Diferența dintre cele două valori maxime este neînsemnată, fapt ce s-a constatat la semnalele

de intrare și de ieșire deasemenea și care în ambele situații au fost foarte asemănătoare.

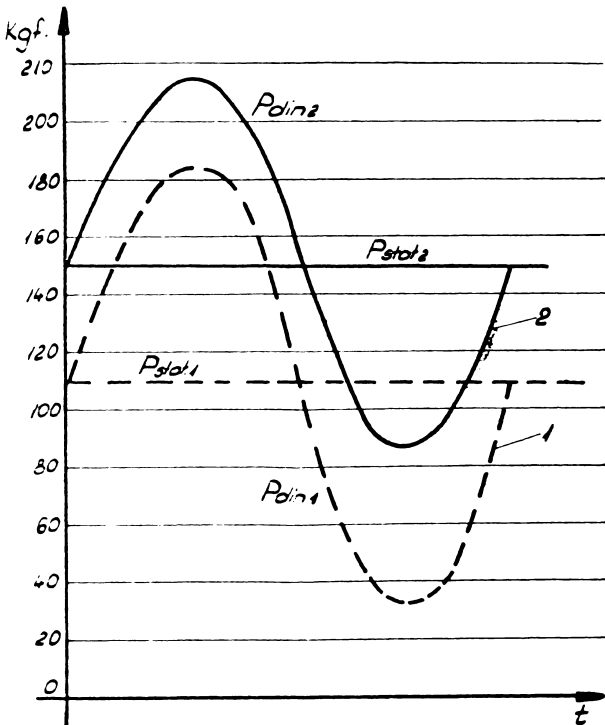


fig. 5.12

#### 5.1.6 Traductorul de forță.

Porțiunea deformabilă a traductorului constituie o tijă de  $\varnothing 8$  mm. lungă de 25 mm. În continuare traductorul se îngroașe, în interior având un alezaj de  $\varnothing 8$  mm, care se imbină cu tija de același diametru a excitatorului, acesta apasind pe fundul alezajului traductorului, solicitând la compresiune tija traductorului. Capătul opus al tijei, transmite forță de excitație corpului frezei, montat pe arborele principal al mașinii./ fig. 5.13 /

Pe zona deformabilă a traductorului, sunt lipite - cu rășină poliesterică cu doi componente, produs de firma Hottinger-Baldwin - două mărci tensometrice marca Philips PR 9833, având  $R = 120$  ohm-i și factorul  $= 2,0$ .

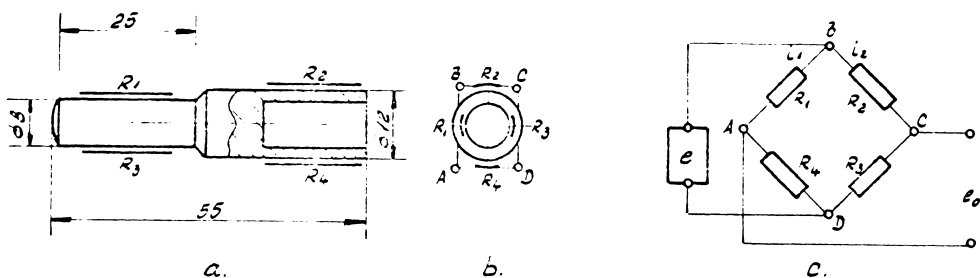


fig. 5.13

Pe porțiunea de  $\phi$  12 mm. nesolicitată a traductorului, se au lipit alte două mărci tensometrice, identice cu primele, ele / R<sub>2</sub> și R<sub>4</sub> / constituie mărcile de compensare termică / fig. 5.13 a, b, c, /. Cele 4 mărci tensometrice sunt legate în punte încă pe traductor / fig. 5.13 b /, nodurile A, B, C, D, fiind legate / fig. 5.13 c / de bornele punții de măsură PR 9307, prin cablu multifilar ecranat și cuplaje adecvate / fig. 5.10 /.

Concepția traductorului are la bază circuitul punte Wheatstone, care permite o libertate mare la aranjarea circuitului, în vederea măririi semnalului de ieșire, a compensării variației de temperatură, anularea sau separarea elementelor variabile, indicarea exactă a deformărilor statice și dinamice suprapuse și eliminarea aproape completă a erorilor datorite modificărilor rezistențelor conductorilor de legătură, între circuitul în punte și sursa de alimentare cu curent.

Forța de măsurat, în cazul de față forță de excitație, deformează corpul traductorului cu care împreună se va deforma și filamentul rezistenței mărcii tensometrice, care va cauza variația valorii de rezistență electrică. Puntea Wheatstone transformă în variații de tensiune variația rezistenței mărcii tensometrice. Puntea cea mai simplă se compune din 4 rezistențe care se constituie în două semipunți : BAD și BCD / fig. 5.13 c /. Un curent, furnizat de o sursă la tensiunea U, trece prin ambele semipunți. Prin brațul BAC al punții, trece curentul :

$$i_1 = \frac{U}{R_1 + R_4} = \frac{U}{2R} \quad / 5.7 /$$

iar tensiunea între B și A va fi pentru cazul:

$$R_1 = R_2 = R_3 = R_4 = R$$

$$V_{AB} = i_1 \cdot R_1 = \frac{U}{2R} \cdot R = \frac{1}{2} \cdot U \quad / 5.8 /$$

similar pentru ramura BCD și tensiunea între B și C

$$i_2 = \frac{U}{2R} ; \text{ și } V_{BC} = \frac{1}{2} \cdot U$$

iar tensiunea între C și A rezultă :

$$V_{AC} = V_{BC} - V_{AB} = \frac{1}{2} \cdot U - \frac{1}{2} \cdot U = 0 \quad / 5.9 /$$

In cazul că :  $R_1 = R - \Delta R$  ;  $R_2 = R_3 = R_4 = R$

curentul în ramura BAD va fi :

$$i_1 = \frac{U}{R_1 + R_4} = \frac{U}{R - \Delta R + R} = \frac{U}{2R - \Delta R} \quad / 5.10 /$$

iar tensiunea între B și A va fi :

$$V_{AB} = i_1 \cdot R_1 = U \cdot \frac{R - \Delta R}{2R - \Delta R} \quad / 5.11 /$$

Pentru ramura BCD rezulta :

$$i_2 = \frac{U}{R_2 + R_3} = \frac{U}{2R} ; \text{ iar } V_{BC} = i_2 \cdot R_2 = \frac{U}{2R} \cdot R = \frac{1}{2} \cdot U$$

/ 5.12 /, / 5.13 /

Tensiunea între A și C va fi :

$$\begin{aligned} V_{AC} &= V_{BC} - V_{AB} = \frac{1}{2} \cdot U - U \cdot \frac{R - \Delta R}{2R - \Delta R} = U \left( \frac{1}{2} - \frac{R - \Delta R}{2R - \Delta R} \right) = \\ &= \frac{2R - \Delta R - 2R + 2\Delta R}{4R - 2\Delta R} \cdot U = \frac{1}{4} \cdot \frac{\Delta R}{R} \cdot U \quad / 5.14 / \end{aligned}$$

unde  $2\Delta R$  fiind foarte mic în comparație cu  $4R$ , s-a neglijat.

In cazul că :  $R_1 = R_3 = R - \Delta R$  ;  $R_2 = R_4 = R$

$$i_2 = \frac{U}{R_2 + R_3} = \frac{U}{R + / R - \Delta R /} = \frac{U}{2R - \Delta R} \quad / 5.15 /$$

iar tensiunea între B și C va fi :

$$V_{BC} = i_2 \cdot R_2 = \frac{U}{2R - \Delta R} \cdot R \quad / 5.16 /$$

$i_1$  și  $V_{AB}$  se iau neschimbate din relațiile / 5.10 / și / 5.11 /

Tensiunea în acest caz, între A și C va fi :

$$V_{AC} = V_{BC} - V_{BA} = U \frac{R}{2R - \Delta R} - U \frac{R - \Delta R}{2R - \Delta R} = \frac{1}{2} \frac{\Delta R}{R} U / 5.17 /$$

In cazul cînd două rezistențe alăturate variază identic avem :  $R_1 = R_4 = R - \Delta R$ ;  $R_2 = R_3 = R$

$$i_1 = \frac{U}{R_1 + R_4} = \frac{U}{R - \Delta R + R - \Delta R} = \frac{U}{2 / R - \Delta R} / 5.18 /$$

$$i_2 = \frac{U}{R_2 + R_3} = \frac{U}{2R} / 5.19 /$$

$$V_{BA} = i_1 R_1 = \frac{U}{2 / R - \Delta R} / R - \Delta R / = \frac{U}{2} / 5.20 /$$

$$V_{BC} = i_2 R_2 = \frac{U}{2R} R = \frac{U}{2} / 5.21 /$$

$$V_{AC} = V_{BC} - V_{BA} = \frac{U}{2} - \frac{U}{2} = 0 / 5.22 /$$

Dacă se analizează același caz ca mai sus, însă rezistențele alăturate care variază identic sunt :  $R_1 = R_2 = R - \Delta R$ ; și  $R_3 = R_4 = R$ ; rezultatul va fi același ca și în / 5.22 /.

In cazul cînd două rezistențe alăturate au variație egală însă de sens contrar :  $R_1 = R - \Delta R$ ;  $R_4 = R + \Delta R$ ;  $R_2 = R_3 = R$

$$i_1 = \frac{U}{R_1 + R_4} = \frac{U}{R - \Delta R + R + \Delta R} = \frac{U}{2R} / 5.23 /$$

$$i_2 = \frac{U}{R_2 + R_3} = \frac{U}{2R} / 5.24 /$$

$$V_{BA} = i_1 R_1 = \frac{U}{2R} / R - \Delta R / / 5.25 /$$

$$V_{BC} = i_2 R_2 = \frac{U}{2R} R = \frac{U}{2} / 5.26 /$$

$$V_{AC} = V_{BC} - V_{BA} = \frac{U}{2} - \frac{U}{2} \frac{R - \Delta R}{R} = \frac{U}{2} \frac{\Delta R}{R} / 5.27 /$$

Dacă se analizează același caz ca și mai sus, dar rezistențele alăturate vor fi :  $R_1 = R - \Delta R$ ;  $R_2 = R + \Delta R$ ;  $R_3 = R_4 = R$

se obține același rezultat.

Din cele de mai sus, rezultă unele concluzii :

- In cazul că cele 4 rezistențe, care compun puntea Wheatstone, sunt egale și nesolicitata, puntea este în echilibru, iar tensiunea între A și C este nulă / 5.9 /.

- In cazul cînd pe zona deformabilă a traductorului, se aplică o singură mărcă tensometrică, care este solicitată la compresiune, /  $R_1 = R - \Delta R$  /, tensiunea măsurată  $V_{AC}$ , este direct proporțională cu variația specifică a rezistenței mărcii tensometrice solicitate / 5.14 /. Deoarece însă :

$$\frac{\Delta R}{R} = \frac{\Delta l}{l} \quad K = \varepsilon \cdot K = K \frac{C}{E} \quad / 5.28 /$$

rezultă deci că :  $V_{AC}$  este direct proporțională cu alungirea specifică  $\varepsilon$  al materialului din care este confecționat corpul traductorului. Luînd în considerare cele de mai sus, traductorul s-a realizat din UL 50 .

- Dacă pe porțiunea deformabilă a traductorului, se pot aplica 2 mărci tensometrice, care sunt solicitate identic, / de ex. compresiune /, în puncte ele se leagă opuse reciproc, /  $K_1 = K_3 = R - \Delta R$  /, iar în acest caz, tensiunea semnalului de ieșire se dublează / 5.17 /. Această soluție s-a aplicat la realizarea traductorului de forță, prin care s-a obținut o sensibilitate mai mare / fig. 5.13 /.

- In situația cînd 2 mărci tensometrice, ale căror rezistențe variază identic, sunt legate alăturate în puncte, tensiunea  $V_{AC}$  este nulă. / 5.22 /. Daca aceste variații identice sunt cauzate de un efect termic, prin această soluție se realizează compensarea acestui efect. La realizarea traductorului de forță, mărcă tensometrică solicitată la compresiune, avînd rezistența  $R_1$ , s-a așezat fizic în apropierea mărcii nesolicitata mecanic,  $R_4$ , datorită acestui fapt, modificarea rezistenței ambelor mărci, datorită efectului termic a fost identică, iar pentru că ele au fost legate alăturate în puncte, variațiile de tensiune din cauza acestui efect s-au anulat reciproc / 5.22 /. Similar s-a procedat și cu mărcile  $R_2$  și  $R_3$ . Independent de această compensare a efectului termic, mărcile  $R_1$  și  $R_3$  la solicitarea mecanică simultană, s-au comportat conform relației / 5.17 /.

- In cazul cînd 2 rezistențe legate alăturate în puncte au variații datorită efectului mecanic, egale, însă de sens contrar,

tensiunea semnalului de ieșire  $V_{AC}$ , este de două ori mai mare, / 5.27 / decât în cazul unei singure mărci solicitate mecanic / 5.14 /. În acest caz același mărci tensometrice, datorită pozițiilor lor alăturate în punte, pot realiza simultan și compensarea termică, conform relației 5.22, în cazul că sunt așezate apropriate fizic și au deci solicitare termică identică. Această soluție s-a aplicat la realizarea celor 3 traductori de deplasare, care vor fi tratate în cap. 5.1.7.

La etalonare, s-a stabilit și limita de sensibilitate a traductorului de forță. Fiind legat de o punte Philips PR 9307 a sesizat o deformare statică de 0,0000125 mm, ceea ce corespunde la o forță de :

$$P = \frac{\Delta l}{l} E \cdot \Omega = \frac{0,0000125 \cdot 2,1 \cdot 10^4 \cdot 50}{25} = 0,52 \text{ kgf} / 5.29 /$$

La solicitarea dinamică, sensibilitatea traductorului a fost de aproximativ aceeași valoare, putându-se distinge o variație al forței de excitare de :  $\Delta P = 0,6 \text{ kgf}$ , ceea ce a corespuns la 0,2 mm pe banda de înregistrare a Osciloscriptului Philips PT 5104 .

In tot cursul cercetărilor, traductorul de forță s-a comportat ireproșabil.

#### 5.1.7 Traductori de deplasare.

Traductori de răspuns sau de deplasare / fig. 5.14 /, au ca element deformabil, o tijă dreptunghiulară de 4 x 12 mm, din OL 50 / 5.28 /, având lungimea activă de 20 mm. Această tijă este încastrată în consolă în suportul traductorului, care la rîndul lui, este solidarizat cu ajutorul unui șurub de M 16 de masă longitudinală a structurii analizate./ fig. 5.15 /. Tija se apăsa prin pretensionare - cu ajutorul unui șurub de M 5 - de corpul frezei, fixat pe arborele principal al mașinii. Pe fig. 5.15 se vede : corpul traductorului transversal 1 , traductorul longitudinal 2 , traductorul vertical 3 , freza 4 , traductorul de forță 5 , fixat pe excitator 6 , totul fiind așezat pe masa longitudinală a mașinii.

In apropierea locului de încastrare, pe tijă sunt lipite 2 mărci tensometrice, identice cu cele din cap. 5.1.6, pe o față și alta a tijei, supusa la încovoiere, obținindu-se deformării

de sens contrar, în cele 2 mărci.

Cele 2 mărci :  $R_1$  și  $R_4$  formează semipuntea  $BAL$  ale cărei noduri sunt legate prin conductori ecranați de bornele de întărire a aparatului de echilibrare multiloc EMG-2352 și apoi de punctea tensometrică EMG-2355 care între altele, mai formează și semipuntea opusă  $BCD$  cu rezistențe :  $R_2$  și  $R_3$ . Ambele aparate de fabricație Orion din RPU.

Acest montaj / fig. 5.14 b / realizează o tensiune dubla a semnalului de ieșire  $V_{AC}$ , / 5.27 /, asigurând totodată și compensarea variației termice, conform relației / 5.22 /, așa cum s-a analizat la ultimul caz al concluziilor de la cap. 5.1.6 .

Sensibilitatea traductorilor susamintiți, a fost bună .Pe banda oscilloscopicului s-a putut distinge o variație a amplitudinii de 0,0004 mm.

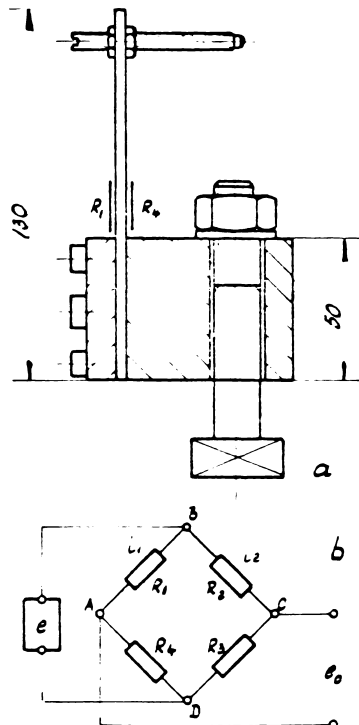
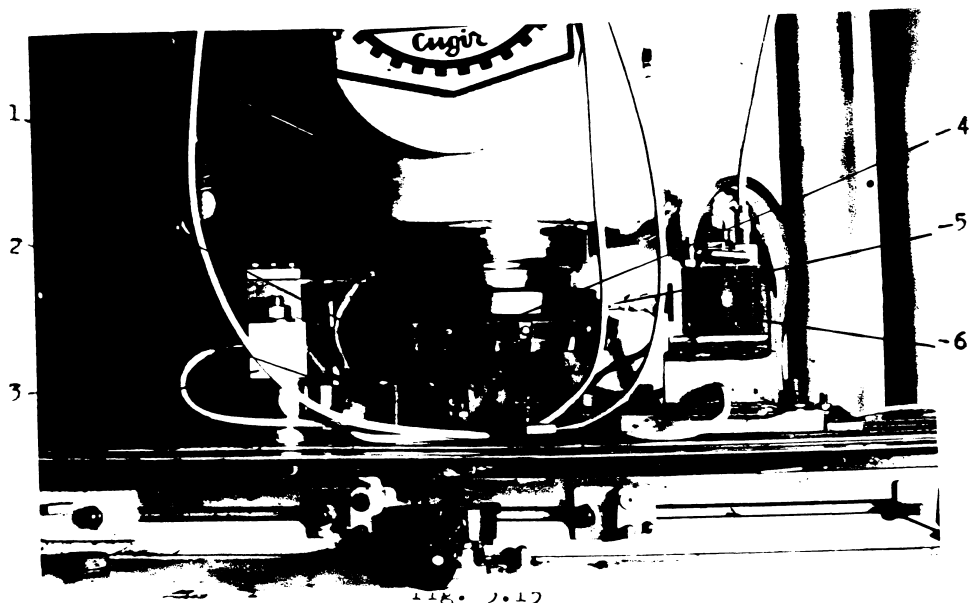


fig. 5.14



La Cugir, în cadrul măsurătorilor făcute asupra mașinilor FV 32-2 și FU 35 , s-au folosit pentru semnalele de răspuns : un traductor cu contact apărtinătoare punții de măsurare Philips 9304 și 2 trductoare inductive tip TRK Hottinger , cu rezultate bune.

#### 5.1.8 Punțile de măsurare.

Traductorul de forță a fost conectat cu puntea de măsurare Philips PR 9307 cu care s-a obținut sensibilitatea amintită.  
(pag. 79.)

Traductorii de deplasare, au fost conectați de aparatul de echilibrare multiloc EMG- 2352 Orion , care prin legătura unică cu puntea de măsurare EMG-2355 Orion, a asigurat conectarea echilibrată în mod succesiv a traductorilor de deplasare cu puntea de măsurare. Deoarece la Cluj au existat doar 2 asemenea punți, nu s-a putut lucra simultan cu toate cele 3 trductoare de deplasare. S-a lucrat deci cu o singura punte EMG-2355, iar cea de a doua s-a păstrat în rezervă, ceea ce era necesară deoarece contactele acestor punți se oxidau des.

U altă problemă a acestor punți prezenta semnalul de ieșire slab /~ 5 mV /, din care motiv, în vederea obținerii unor semnale de același ordine de mărime cu ale punții PR 9307 , s-a folosit suplimentar un amplificator de mare gamă, care de fapt era un voltmetru electronic Brüel și Kjaer tip 2409 cu care s-a lucrat cu amplificare de 50 dB / de 330 ori /, sau în cazul semnalelor transversale pe direcția de excitație, chiar de 60 dB / de 1000 ori /. Tot în acest circuit s-a conectat încă un filtru trece jos tip 1538 Brüel și Kjaer, deoarece frecvența purtătoare a punții EMG- 2355 Orion, era relativ joasă / 1,5 kHz /, iar la frecvențe de excitație mai ridicate acest lucru a adus distorsiuni ale semnalului de răspuns pe osciloscop.

Ca urmare a acestor măsuri, semnalul de răspuns înregistrat a fost de bună calitate.

- La Cugir s-a lucrat cu 4 punți simultan și anume :
- 1 ap. Philips PR 9307 pentru forță de excitație, folosit și la Cluj,
  - 1 ap. Philips PR 9304 pentru traductorul de răspuns vertical
  - 2 ap. Schoope și Faeser 3 AS/l-A/2 pentru traductorul de răspuns longitudinal și transversal
  - :
  - :

Ultimele două punți făceau parte dintr-o instalație complexă de măsurat eroarea de divizare a roților melcate, livrată de firma Klingelnberg.

Astfel pentru fiecare direcție de excitație s-a putut înregistra simultan cele 3 răspunsuri pe cele 3 direcții de referință, deci numărul înregistrărilor pentru o MU s-a redus la 3 în loc de 9 de la Cluj.

In cazul unor semnale de răspuns slabe s-au folosit amplificatoare Philips PR 7514.

#### 5.1.9 Oscilograful.

Pentru cercetarea mașinii RV 32-1 la Cluj, atât prin așchiere cît și prin excitare, s-a folosit aparatul Oscilloscript PF 5104 Philips cu 4 canale și înregistrare mecanica, domeniul de frecvențe pînă la 320 Hz, amplitudinea maximă înregistrată de 20 mm. iar viteza maximă a benzii de 200 mm/sec. Înregistrările realizate au fost fidele, sensibile, cu linii fine, asigurînd posibilități bune de prelucrare a datelor. / A 32 /.

La Cugir s-a folosit oscilograful cu spot luminos / ultraviolet / SE 2606 a firmei SE Laboratories Ltd. Feltham Anglia, avînd 12 canale cu amplitudinea semnalului limitată de lățimea hîrtiei fotosensibile / 150 mm/. Înregistrările s-au făcut cu vîze diferite ale benzii și anume :

- intre 20 - 40 Hz, cu 150 mm/sec.
- intre 40 - 80 Hz, cu 250 mm/sec.
- peste 80 Hz, cu 500 mm/sec.

ceea ce a fost posibil de schimbat în timpul înregistrării și astfel semnalele înregistrate se mențin în limitele de prelucrabilitate corespunzătoare, pe lîngă folosirea judicioasă a benzii de înregistrat. Calitatea înregistrărilor este bună, asigurîndu-se sensibilitate și fidelitate corespunzătoare. / A 33 /.

#### 5.1.10.Osciloscopul.

Paralel cu oscilograful s-a conectat un osciloscop cu 2 canale tip D 52 Telequipment din Anglia cu ajutorul căruia s-au reglat aparatul și s-a verificat funcționarea corectă a lor, precum și amplificarea proporțională a semnalelor, ce urmau să fie

înregistrate. Prezența osciloscopului este imperios necesară, deoarece hîrtia de înregistrare fiind deficitară, în vederea folosirii rationale a ei, oscilogramul se pornește, numai după încercarea vizuală pe osciloscop a viitoarei înregistrări.

Osciloscopul mai servește la determinarea cu multă exactitate a elementelor CFAF în zonele de rezonanță. În acest scop, la intervale mici de frecvență, însă cu variații însemnante ale amplitudinii și defazajului semnalului de răspuns, se executa fotografii ale ecranului osciloscopului în aceste zone importante. Evaluarea datelor devine astfel foarte precisă. Spre exemplificare se prezintă pe fig. 5.16 / A 34 ... A 43 / filmul evoluării semnalului de intrare / excitărie verticală /, a semnalului de răspuns, / deplasare verticală / la mașina FV 32-1 cercetată la Cluj, cuprindând domeniul de frecvențe între 84,2 - 96,2 Hz.

Se observă în acest interval de 12 Hz., evoluția amplitudinii răspunsului / curba de jos /, precum și variația defazajului, care la început sosește dinspre  $\Psi = 180^\circ$  la fig. A 34, crește spre  $\Psi = 270^\circ$  atingînd această valoare la fig. A 38, apoi merge în continuare spre  $\Psi = 360^\circ$ , fig. A 43. Punctele de mai sus re-găsim în stare prelucrată pe CR a lui z /  $P_z$ , la fel și pe CFAF. Deoarece la cupir s-au putut

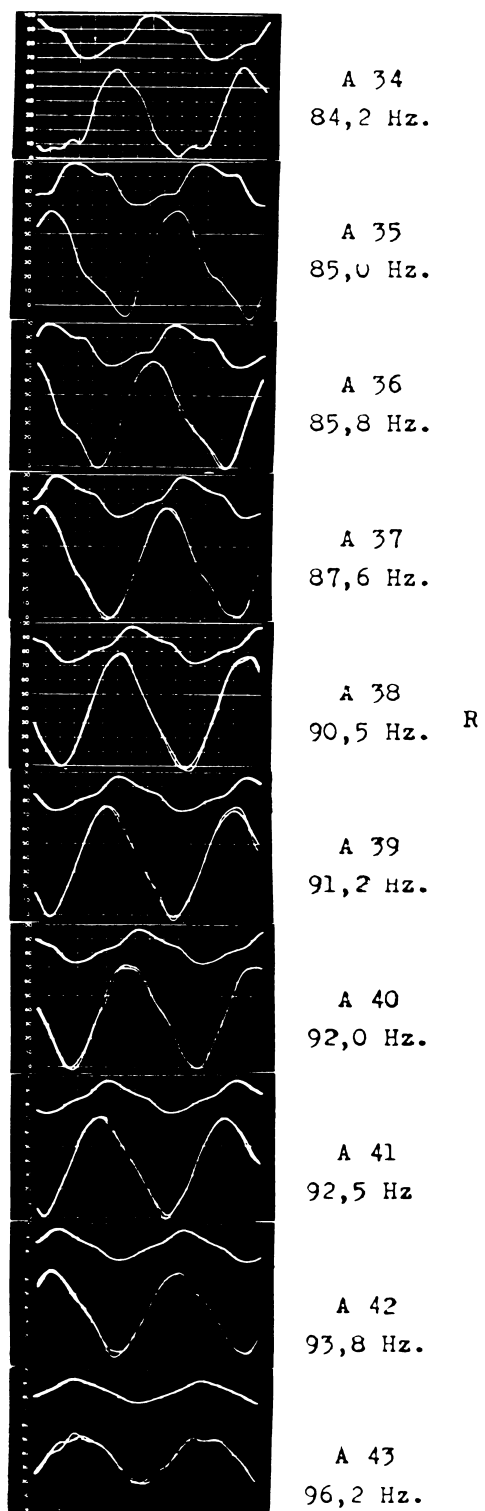


fig. 5.16

22

înregistra simultan toate cele 3 semnale de răspuns, pe lîngă osciloscopul D 52 Telequipment susamintit, s-a lucrat și cu un osciloscop tip Duoscop AFT din RDG și astfel, atât semnalul de intrare / forță de excitație /, cît și cele 3 semnale de răspuns / deplasările /, s-au verificat și reglat pe osciloscoape, înainte de înregistrare.

În fig. 5.17 se prezintă rastelul cu aparatele folosite la standul de cercetări dela Cluj. Se va indica numărul rîndului, începînd dela cel superior, aparatele se vor enumera, de la stînga spre dreapta :

1. Aparatul de echilibrare multile PIG 3352 Orion  
Punte de măsurare EMG - 2355 Orion

2. Punte de măsurare PR - 9307 Philips, deasupra ei Unitatea de comandă a AEF  
Amplificator dublu PR - 7514 Philips, deasupra lui Filtru trece jos 1538  
Brüel și Kjaer  
Punte de măsurare EMG - 2355 Orion  
Voltmetrul electronic 240 Brüel și Kjaer  
Osciloscop cu 2 canale D 52 Telequipment

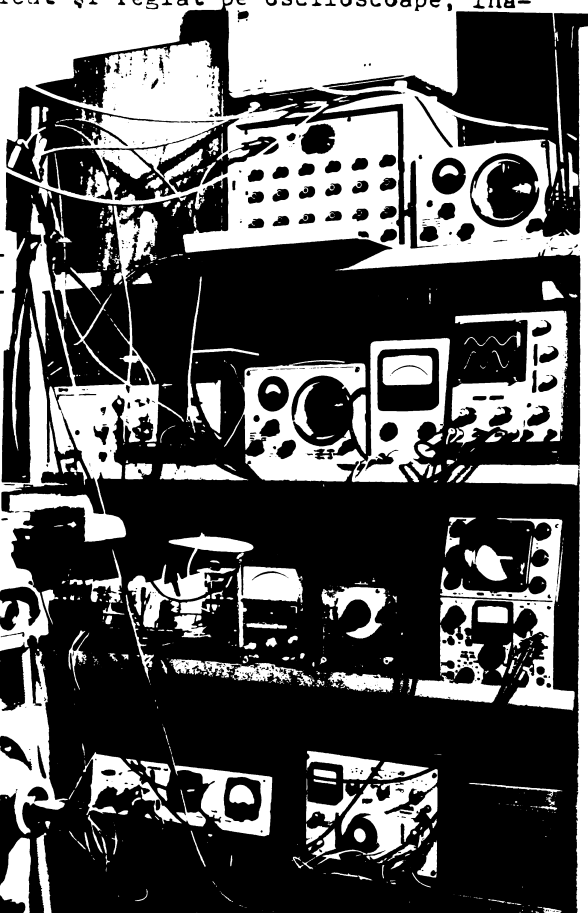


fig. 5.17

3. Aparatul de comandă program Schleicher / baleiaj / Voltmetru pentru curent continuu Philips Generator de frecvență GBT 971 Franța Osciloscop T 565 Križik CSSR / control semnal defazaj /
4. Fazmetru Institutul Politehnic Cluj  
Punte RLC TM 393 CSSR / verificarea legăturilor, impedanțe / Dispozitivul pt. fotografiere a osciloscopului D 52 .  
Din cele de mai sus rezultă că cu o colecție de aparate heterogenă, atât ca proveniență, principiu constructiv, compatibili-

bilitate, cît și vechimea, unele din aparate fiind vechi sau demodate, cu adaptări corespunzătoare se pot lucra în condiții bune, iar o serie de unități, ca excitatorul cu comanda lui, traductorii, se pot construi pe plan local, la sensibilitatea și fiabilitatea necesară. Se mai menționează că în afara fazmetrului, toate aparatele erau din dotarea celor 2 uzini susmenționate, însăși standurile erau realizate în întregime în uzine, măsurările realizate în ateliere uzinale. Roatele acestea permit să se concluzioneze că cercetările descrise și cari vor fi în continuare tratate sunt deci posibile a fi realizate în continuare în uzine, cercetari cari vor putea deveni uzuale, standardizate.

Aparatele de comandă auxiliare realizate, au permis autorului realizarea de unul singur a acestei cercetări, toate comenziile fiind grupate pe acționare centralizată. În acest fel s-a experimentat cu rezultate bune considerentele raționale ale standului de cercetări.

### **5.2 Metodica folosită la încercări.**

Comportarea dinamică totală a structurilor cercetate poate fi descrisă, prin cîte o matrice compusă din 9 FT a cedării relative / 5.1 /. În acest scop, membrii matricei / 5.1 / s-au determinat succesiv în ordinea coloanelor : S-a aplicat forța de excitare în direcția axei  $x$  /  $P_x$  / și s-a masurat cedarea în direcția axelor  $x$ ,  $y$ ,  $z$  în mod succesiv, în cazul mașinii FV - 32 - 1 la Cluj, iar în mod simultan în cazul mașinilor FV 32 - 2 FV 35 și FU 35 la Cugir. S-a trecut apoi la excitarea structurii în direcția axei  $y$  /  $P_y$  /, măsurind cedările în direcțiile celor trei axe, ca și mai sus. În sfîrșit s-a excitat structura în direcția axei  $z$  /  $P_z$  /, cu măsurarea în mod asemănător al cedărilor, ca și mai înainte.

Excepție dela cele descrise mai sus, s-a făcut în cazul mașinii de frezat universală FU 35, unde nu s-a făcut excitarea în direcția axei  $y$ , din motive evidente și astfel matricea are doar două coloane, respectiv 6 termeni.

În acest fel conform celor descrise în mod detaliat în cap. 5.1 precum și subcapitolul 5.1.1.... 5.1.10 s-au înregistrat 9 benzi pentru FV 32 - 1, cu cîte un semnal de intrare și unul de ieșire / + defazajul /, cîte 3 benzi pentru FV 32 - 2 și FV 35 cu cîte un semnal de intrare și cîte 3 semnale de răspuns, pre-

cum și 2 benzi pentru FU 35, cu un semnal de intrare și 3 semnale de răspuns.

După fiecare înregistrare s-au notat valorile reglate ale aparatelor de măsură, de comandă, de amplificare etc. în vederea calculării scărilor și periodic s-au făcut înregistrări de etalonare.

### 5.3 Reprezentarea rezultatelor încercărilor.

La prelucrarea semnalelor înregistrate s-au realizat următoarele faze :

- S-a determinat prin măsurare, frecvența semnalelor înregistrate, la începutul și sfîrșitul înregistrării realizate printre singur baleaj. Lungimea acestei înregistrări, se împarte la intervalul de frecvențe determine mai sus și s-a notat pe bandă valorile frecvențelor, pe locurile corespunzătoare. Acesta s-a făcut din 1 în 1, sau din 2 în 2 Hz. În zonele de rezonanță, intervalele devin mai scurte, pînă la o finețe de 0,2 Hz., în vederea unei reprezentări cît mai fidele .

- Considerînd punctele de măsurare în una din intervalele susmenționate, s-a măsurat amplitudinea răspunsului, precum și amplitudinea forței, după care s-a reportat prima la a doua, constițuind un punct al curbei de rezonanță / cedare specifică / în funcție de frecvență.

- La aceleasi intervale de frecvențe ca și mai sus, s-a măsurat decalajul semnalului de răspuns față de semnalul de intrare, iar decă această întîrziere  $\varphi$  se raportează la lungimea corespunzătoare perioadei  $T$ , se obține defazajul :

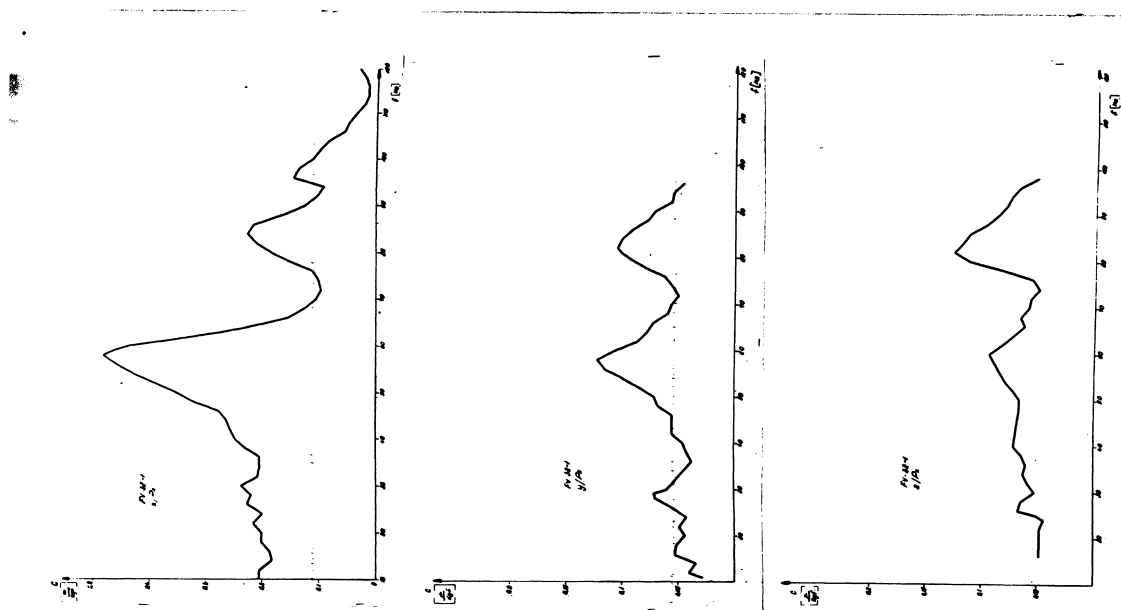
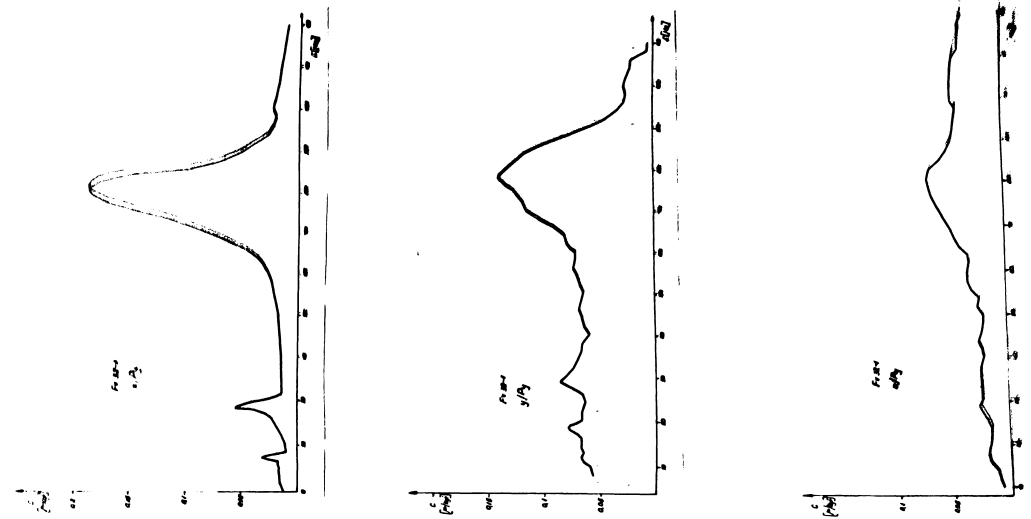
$$\varphi = \frac{\epsilon}{T} \cdot 360^\circ$$

/ 5.30 /

Datele cercetării, obținute în acest mod, s-au trecut într-un tabel centralizator. A 46 reprezintă o parte a unui astfel de tabel - fila cuprinsă intervalul de frecvență între 42 - 80 Hz a mașinei FV 32-1 - fiind rezultatul listării la imprimantă a datelor susamintite introduse în calculator.

#### 5.3.1 Curbele de rezonanță.

Avînd sistematizate rezultatele cercetărilor, s-a ridicat pentru fiecare termen al matricei / 5.1 /, curba cedării speci-



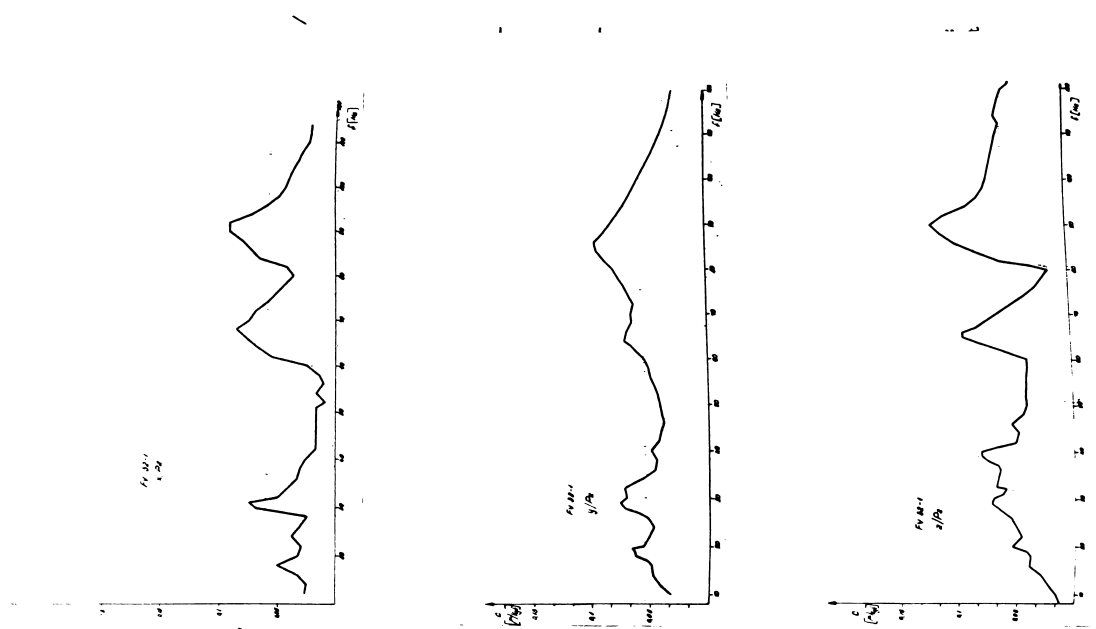
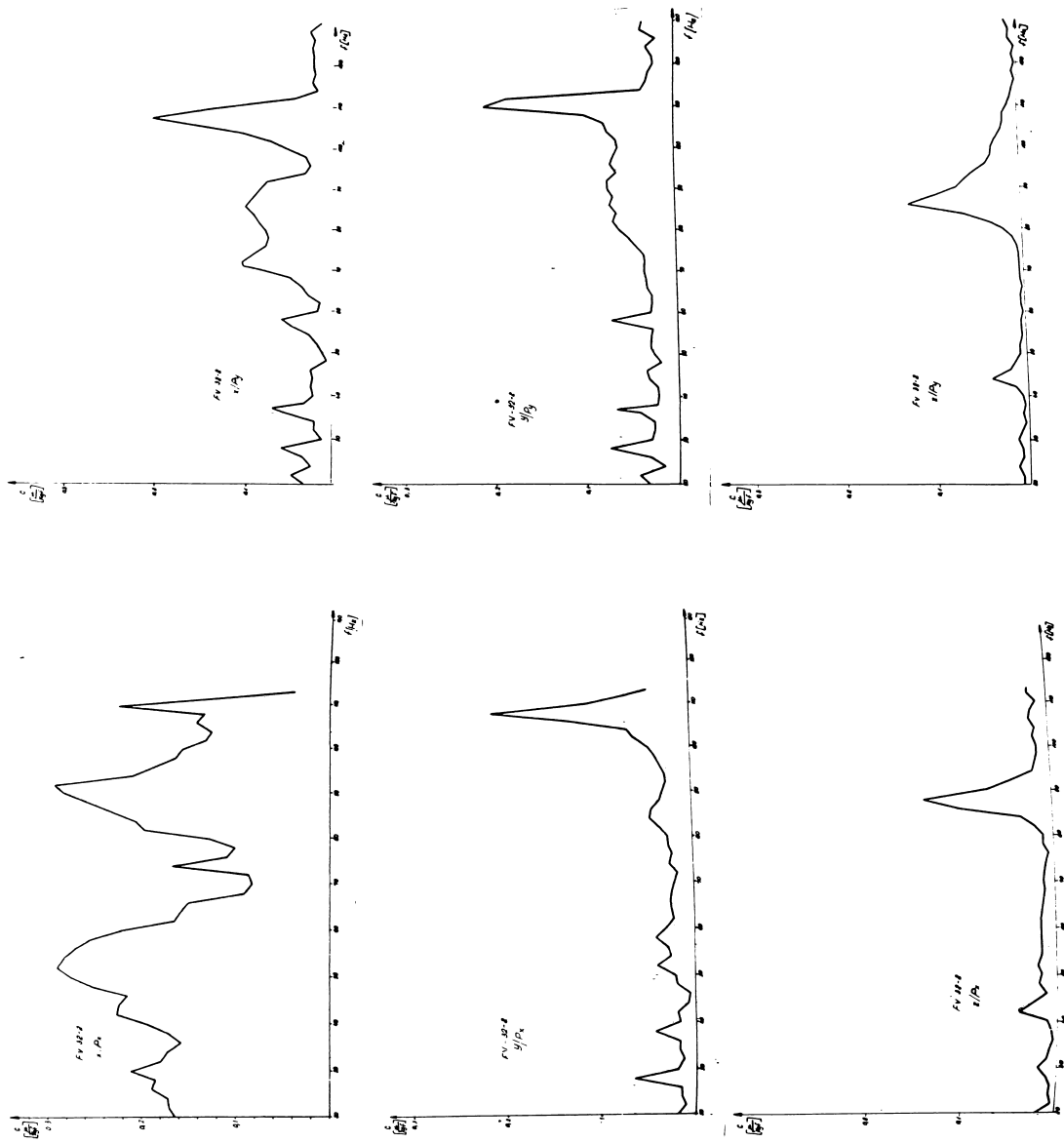


fig. 5.18



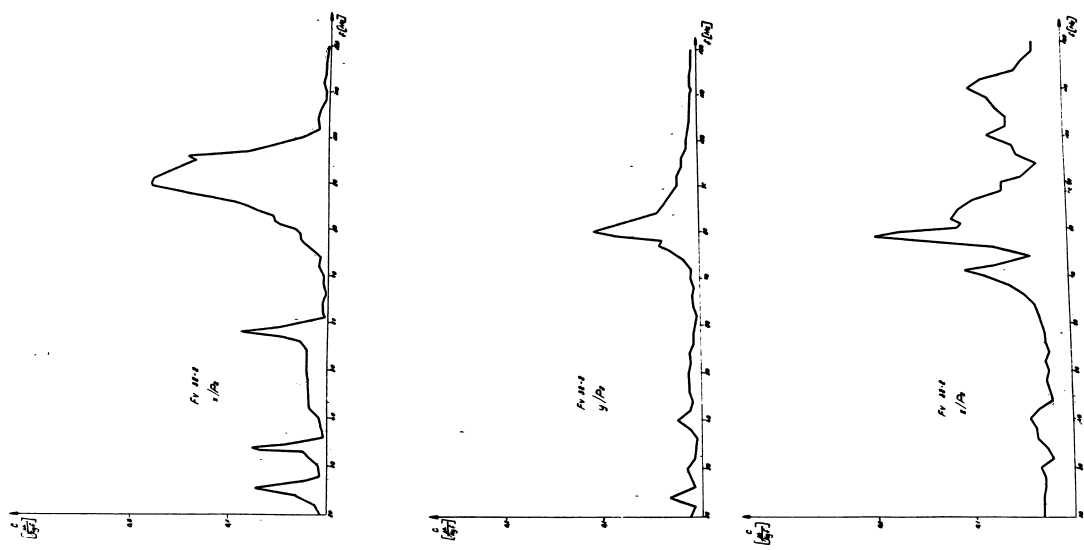
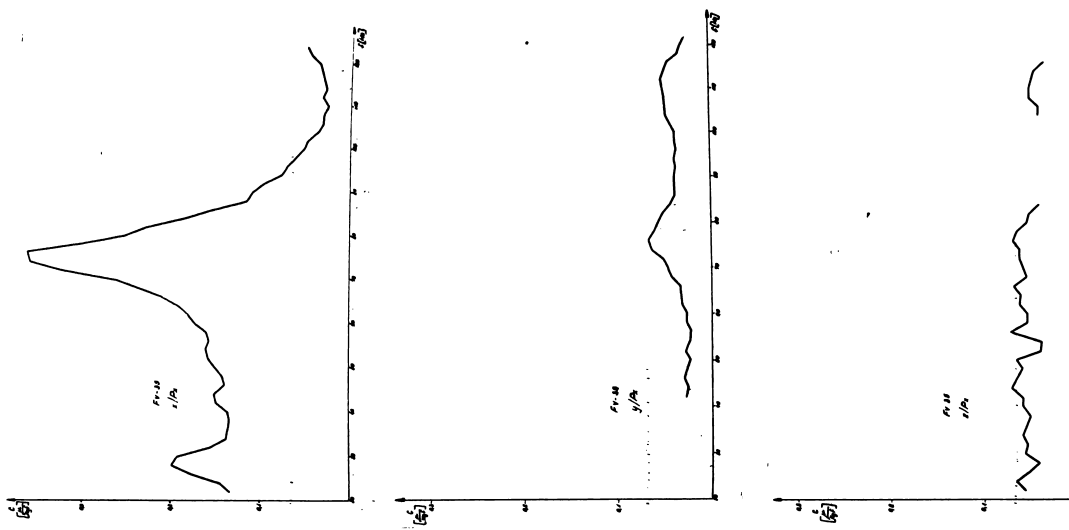
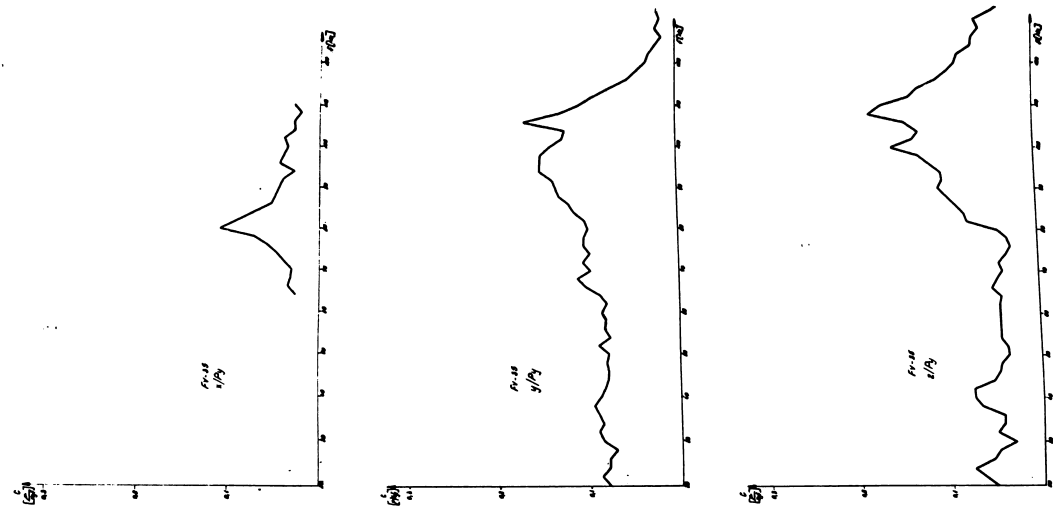
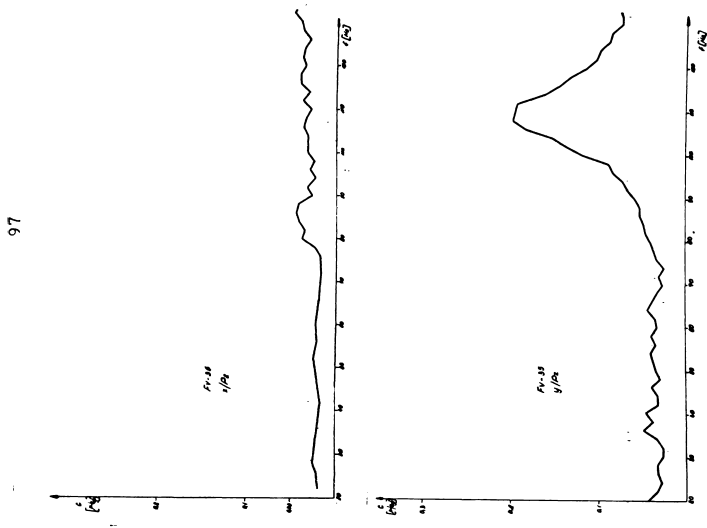


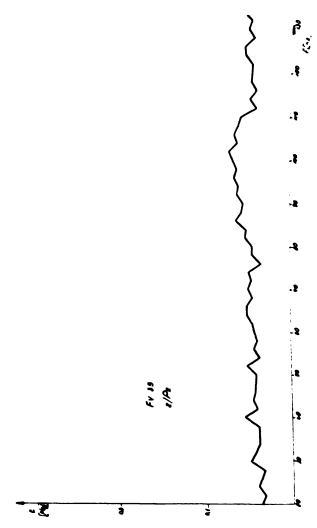
fig. 5.19



97



$R=3.5$



$R=10$

Fig. 5.20

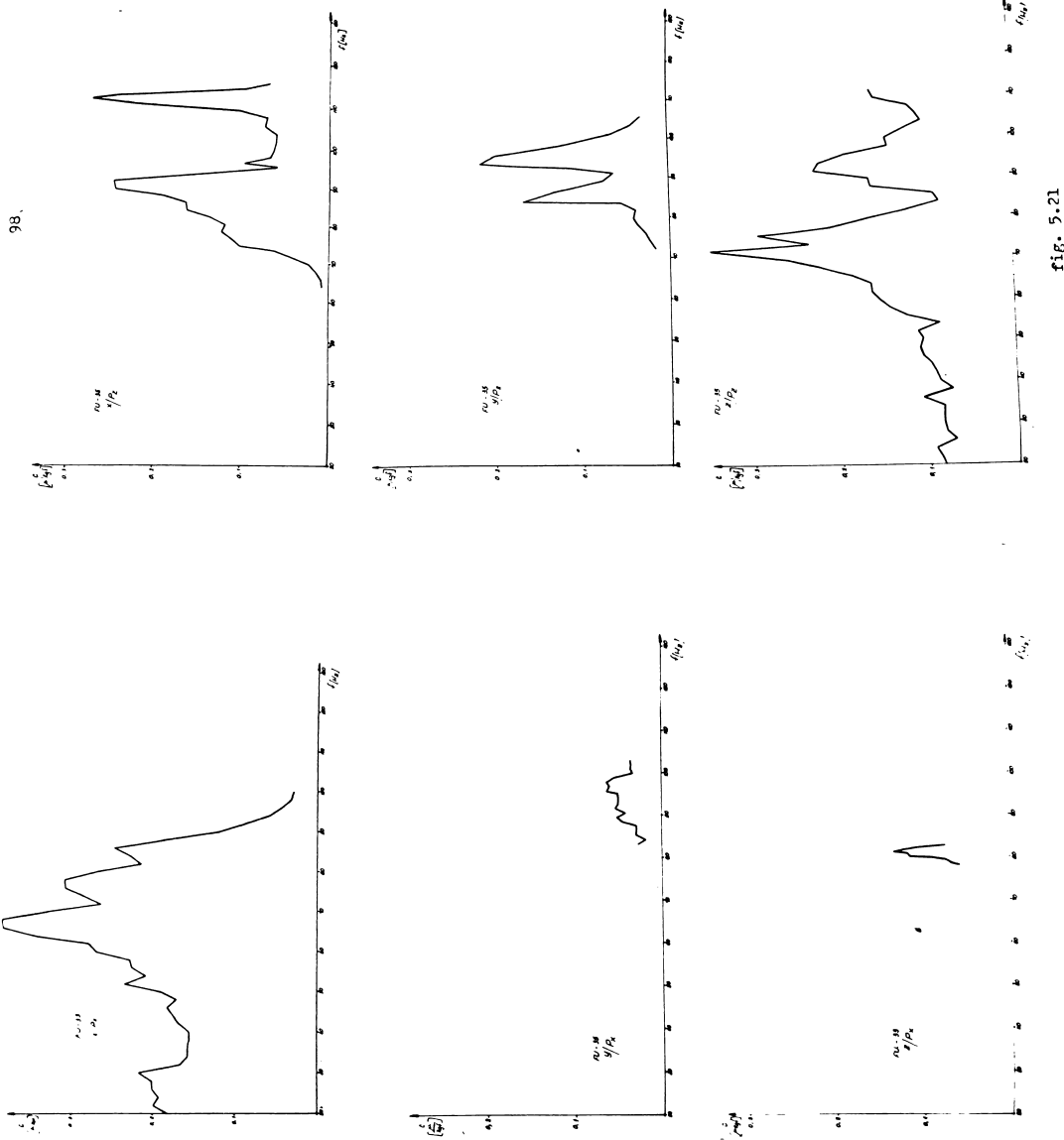


fig. 5.21

fice  $c / \mu/k\omega f$  în funcție de frecvență, rezultând prin raportarea la forța de excitație a amplitudinii cedării.

In fig. 5.18 ... 5.21 se reprezintă sinoptic curbele de rezonanță ale mașinilor : FV 32-1 ; FV 32-2 ; FV 35 și FU 35 .

### 5.3.2 Caracteristica frecvențială amplitudine-fază / CFAF / .

Pentru fiecare termen al matricei / 5.1 /, s-a ridicat CFAF, care este reprezentarea în coordonate polare a cedării specifice  $c / raza vectoare /$  și a defazajului  $\varphi /$  unghiul polar / dintre forța de excitație și cedarea structurii, având la bază datele experimentale cuprinse în tabelul centralizator / A 46 /.

Conform relației / 3.1 / precum și fig. 3.1 și fig. 3.2 , rezultă modalitățile de analiză a comportării dinamice a structurii, precum și căile de ameliorare a acesteia, așa cum este tratată în subcapitolul 3.1.1 .

Pentru a se putea obține o imagine sinoptică a comportării structurii, CFAF s-au aranjat sub formă matricială la o scară micșorată /  $0,1 \text{ u}/k\omega f = 2 \text{ cm.} /$ , pe fig. 5.22 ; 5.24 ; 5.26 și 5.28 pentru mașinile : FV 32-1 ; FV 32-2 ; FV 35 și FU 35 .

Spre deosebire de cazul ideal a unui singur grad de libertate, cind CFAF este un cerc, așezat simetric pe axa imaginată negativă, în cazul mașinilor unelte analizate, având multe grade de libertate și deci și moduri de vibrații numeroase, diagrama polară este formată din mai multe bucle, cîte una pentru fiecare mod de vibrație. Unele din aceste moduri de vibrații, aparțin preponderent altrei direcții de cedare, care totuși exercită influență și în alte cîteva direcții de cedare secundare lui. Acest fenomen rezultă în mod evident și din CR.

Deși structurile analizate nu fost excitate printr-un spectru continuu de frecvențe, dela 10-20 Hz pînă la 150-200 Hz, în CFAF nu apare intregul domeniu de frecvențe analizat, deoarece în deosebi în zonele distanțate de rezonanțe, amplitudinile și defazajele, au variații neînsemnante sau de valori mici și în domenii neinteresante. În mod demonstrativ totuși în unele cazuri, s-au reprezentat unele din aceste bucle neînsemnante, ca în cazul :  $x/P_x$  ;  $y/P_z$  ;  $z/P_z$  dela mașina FV 32-2 / fig. 5.24 / dar cari sunt suficient distanțate de zona vreunui mod de vibrații.

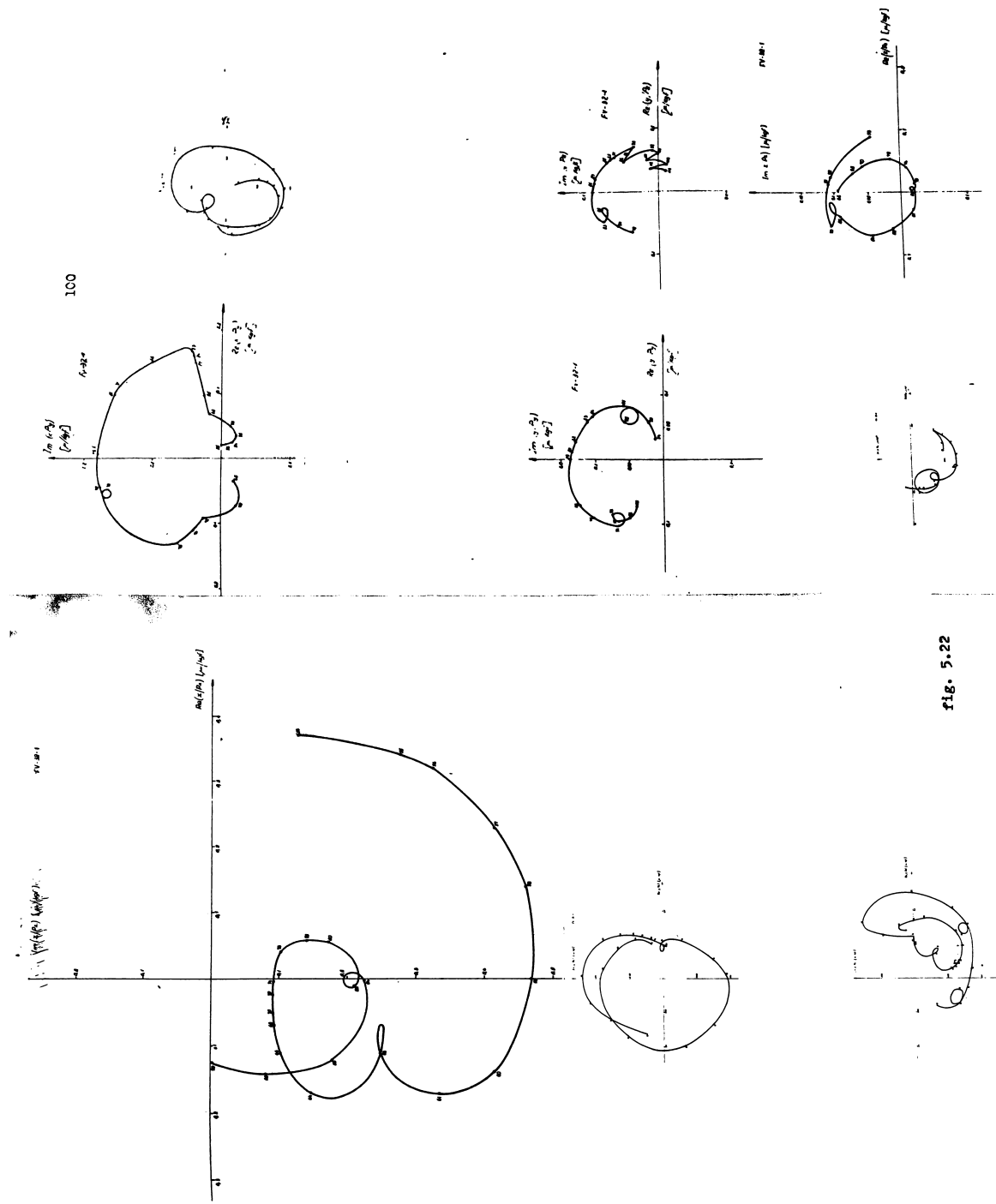
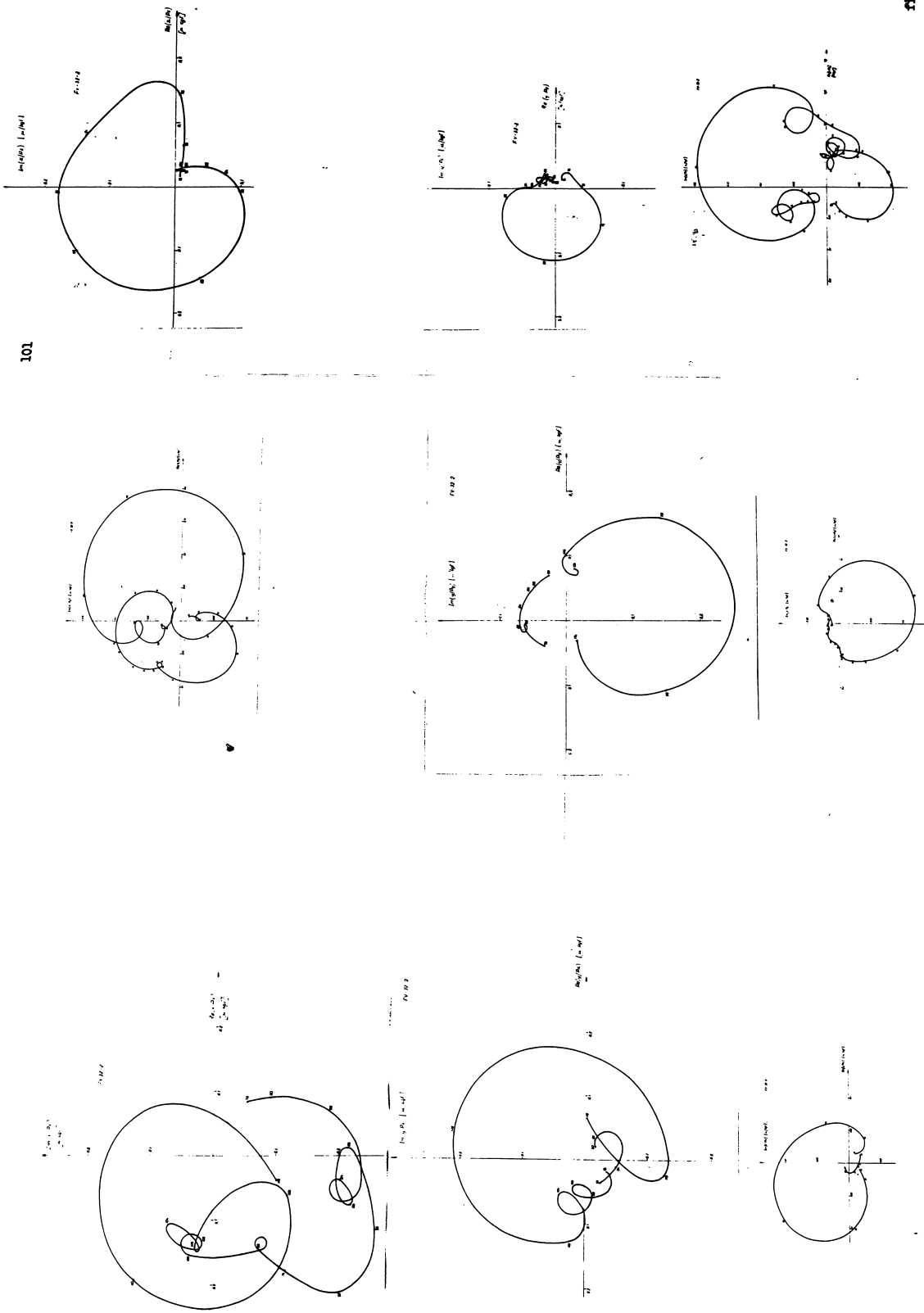


Fig. 5.22

Fig. 5.24



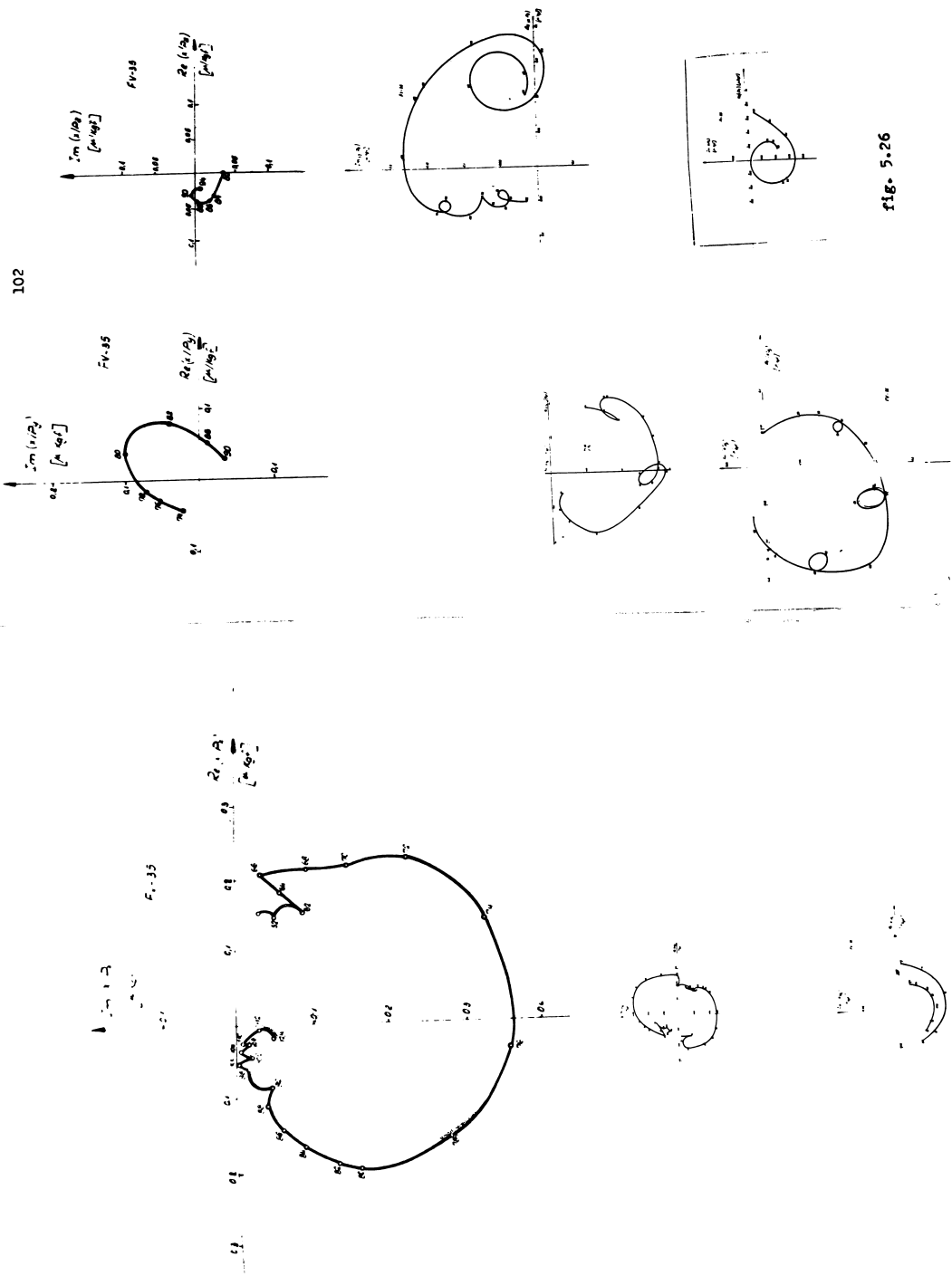


fig. 5.26

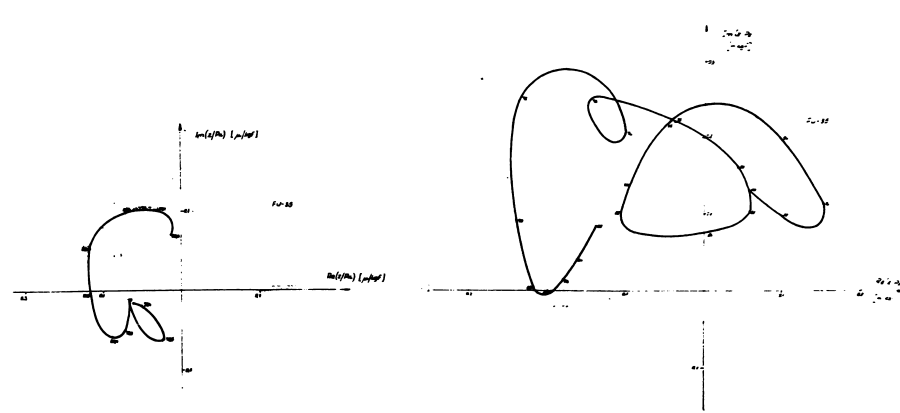
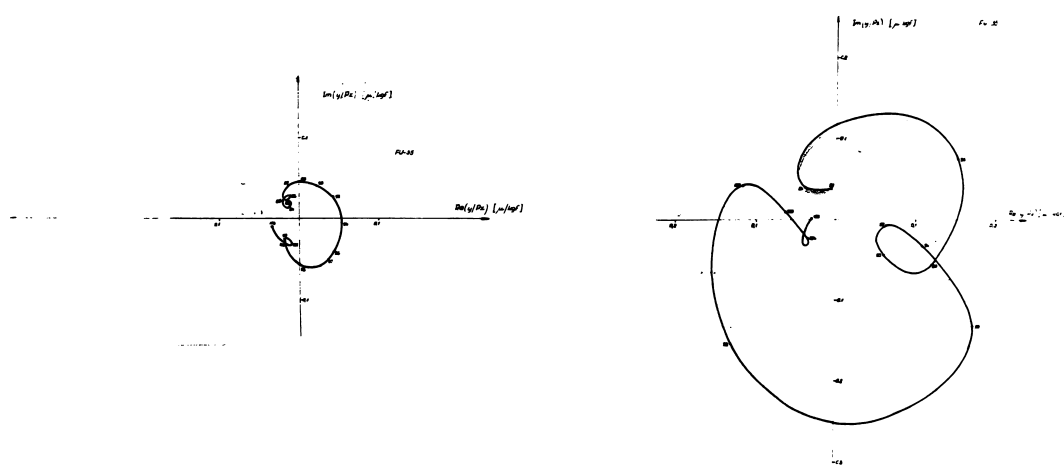
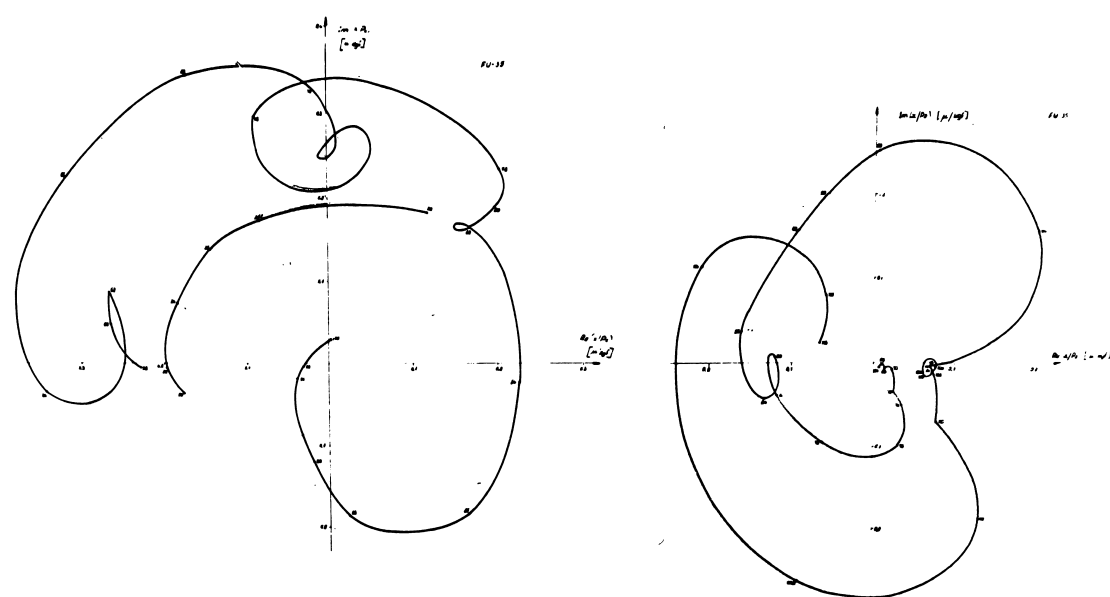


Fig. 5.28

#### 5.4 Valori caracteristice dinamice ale structurii.

Exploatarea datelor din CAF, necesare determinării valorilor caracteristice dinamice ale structurii, se începe cu determinarea frecvenței critice a modului de vibrație.

Teoretic, frecvența critică și deci amplitudinea maximă, se găsește pe semiaxa imaginară negativă, la un defazaj de  $90^\circ$ , iar uneori pe semiaxa imaginară pozitivă, la un defazaj de  $270^\circ$ , sau  $-90^\circ$ , în cazul unei mase intermediare care vibrează cu un defazaj suplimentar de  $180^\circ$ . Precum s-a menționat anterior, în cazul structurilor complicate, cum e cazul și la MU, fiind prezente mai multe moduri de vibrații, diagrama polară / CAF / este formată din mai multe bucle, cîte una pentru fiecare mod de vibrație / ex. fig. 5.22 resp. x/R<sub>x</sub> și a/. În aceste cazuri, aplicarea criteriului amplitudinii maxime, poate duce la o localizare incorrectă a rezonanței, datorită contribuției celorlalte moduri, la frecvența de rezonanță a modului studiat. Nu se poate folosi nici criteriul de rezonanță al fezei, datorită deplasării cercului, față de sistemul de axe.

Practic, prin punctele fiecărei bucle a curbei de răspuns, se trasează "cel mai potrivit cerc", iar în zona unde raportul  $\Delta S / \Delta \omega$  este maxim, deci unde raza vectoarei mătura un unghi maxim pentru o creștere dată  $\Delta \omega$  a pulsării excitatoare, se localizează rezonanța / criteriul Kennedy-Pancu de localizare a rezonanței /. [41], [42]. Punctul M de rezonanță este determinat, se unește cu centrul cercului, printr-o dreaptă care se prelungeste pînă la intersecția diametral opusă cu cercul, obținindu-se "originea deplasată" O', a vectorului modului de vibra-

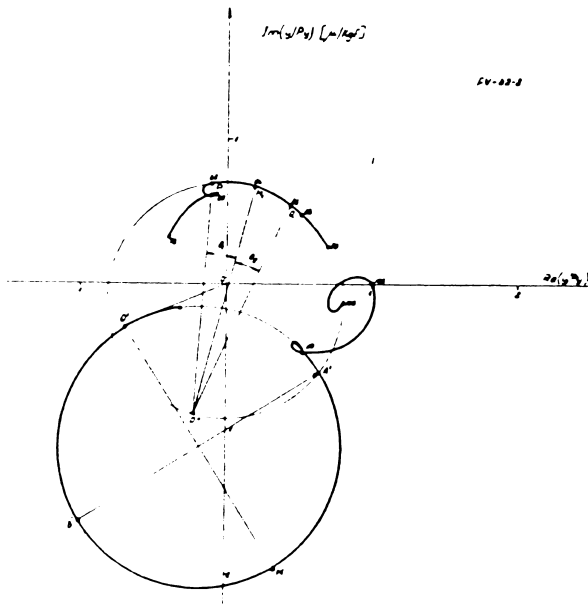


fig. 5.30

ție respectiv. Rezultă deci, că valoarea răspunsului datorită modului de vibrație respectiv, este echivalent cu diametrul  $O'M$ , vectorul  $OO'$  reprezentând contribuția altor moduri de vibrație la răspunsul în modul respectiv / fig. 5.30 /. Diametrul perpendicular pe  $O'M$  intersectează cercul în "punctele de putere jumătate"  $A'$  și  $B'$ , de pulsării  $\omega_1$  și  $\omega_2$ . Pentru valori mici ale amortizării,  $\omega_1 = \omega_2 = \omega_0$ , raportul de amortizare se determină cu relația :

$$d = \frac{\omega_2 - \omega_1}{2\omega_0} \quad / 5.31 /$$

Pe diagrame polare, pe care nu se pot citi valorile pulsărilor punctelor de putere jumătate / arcul de sus din fig. 5.30 /, se măsoară unghiurile  $\theta_1$  și  $\theta_2$ , ce definesc poziția vectorilor  $OP$  și  $OQ$ , corespunzători punctelor  $P$  și  $Q$  alese în vecinătatea imediată lui  $M_1$ , iar factorul de amortizare se determină cu relația :

$$d = \frac{\omega_2 - \omega_1}{\omega_0} \cdot \frac{1}{|\theta_1 + \theta_2|} \quad / 5.32 /$$

După determinarea prin una din relațiile / 5.31 / sau / 5.32 / a factorului de amortizare pentru fiecare mod de vibrație, se măsoară valoarea cedării relative  $c$ , care corespunde diametrului celui mai potrivit cerc trasat la bucla modului de vibrație respectiv, putindu-se calcula constanta elastică al modului conform relației :

$$k = \frac{1}{2 \cdot c \cdot d} \left[ \frac{\text{kgf.}}{\mu} \right] \quad / 5.33 /$$

iar valoare masei, rezultă din relația :

$$m = \frac{k}{\omega_0^2} \cdot 10^6 \left[ \frac{\text{kgf. sec}^2}{m} \right] \quad / 5.34 /$$

Axa de cedare a modurilor de vibrații în cazul cel mai general este dirijată în spațiu. Mărimea adevărată a constantei elastice respective o determinăm din componentele acesteia de pe cele 3 axe de coordonate. Aceste componente se determină cu aju-



torul relației / 5.35 / și se insumează după cum urmează :

$$\frac{1}{k} = \frac{1}{k_x} + \frac{1}{k_y} + \frac{1}{k_z} \quad / 5.35 /$$

Unghurile cari determină direcția axei de cedare față de axele de coordonate, pentru modul de vibrație respectiv, se determină cu ajutorul relațiilor :

$$\xi_i = \arccos \sqrt{\frac{k}{k_i}} \quad / 5.36 /$$

unde :  $i = x, y, z$  ;

Aceste relații însă nu dă semnele radacinilor. Stabilitatea cadranului în care se situează direcția determinată, se poate face după figura deformată a structurii a modului de vibrație.

Valorile caracteristice dinamice, determinate conform celor descrise mai sus, precum și datele extrase din CFAF sunt cuprinse în tabelele centralizatoare după cum urmează : cel din fig. 5.23 pentru FV 32-1 ; tabelul din fig. 5.25 pentru mașina FV 32-2 ; tabelul din fig. 5.27 aparține mașinii FV 35 ; iar cel din fig. 5.29 cuprinde datele mașinii FU 35 .

#### **6. Ridicarea modurilor de vibrații.**

Rezultatele măsurătorilor fazei anterioare a cercetării, au pus în evidență cîteva frecvențe proprii / critice /, la fiecare din cele 3 direcții de excitație. Aceste frecvențe proprii, aparțin unor moduri de vibrații distințe, fiecare corespunzînd unui grad de libertate a structurii, ceea ce constituie manifestarea unui nod slab din punct de vedere dinamic.

In continuare se tratează faza de cercetare, privind ridicarea deformării structurii analizate, pentru fiecare mod de vibrație. Cu ajutorul acestor deformări, precum și a CR, CFAF, și valorile caracteristice dinamice tratate în subcapitolele : 5.3.1 ; 5.3.2 și 5.4 ; se vor putea face deducții, asupra nodurilor, cuplajelor sau ansamblelor cari constituie cauza apariției acestor moduri de vibrații.

### 6.1 Standul de probă pentru ridicarea deformatei.

Acet stand, principal este asemănător cu standul din etapa anterioară, / cap 5.1 / cu deosebirea că receptia semnalului de răspuns, se realizează cu traductor seismic, care are posibilitatea aplicării magnetice pe structură. Amplitudinile de răspuns recepționate de traductorul seismic, se citesc pe scara gravată în  $\mu\text{m}$  a vibrometrului tip : 2001 Balantron , fabricat de firma Kistler din Winterthur Elveția. Vibrometrul poate emite simultan cu semnalul sosit dela traductor - un semnal trigger în fază - care s-a introdus pe cel de al doilea canal al osciloscopului cu 2 spoturi : D 52 Telequipment , folosit și în fază anterioară.

Un al doilea traductor seismic identic, așezat cu axa sensibilă a lui, în direcția corespunzătoare semnalului de răspuns măsurat, este amplasat pe un punct fix al structurii / mijlocul mesei longitudinale /, fiind legat de un al doilea vibrometru Balantron identic cu anteriorul, ale cărei semnale trigger, sunt introduse pe primul canal al osciloscopului D 52 . Acet al doilea set de măsurare, constituie semnalul martor și servește pentru determinarea sensului oscilațiilor.

S-a stabilit convențional, că în cazul ca cele două semnale sătă în fază, sensul amplitudinilor e pozitivă, față de axe de coordonate, iar în cazul defazajului de  $180^\circ$ , sensul deformării este negativ. / fig. 6.1 resp. A 44 și fig. 6.2 resp A 45 /

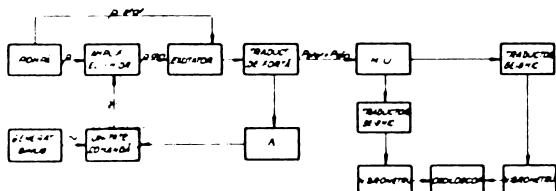


fig. 6.3

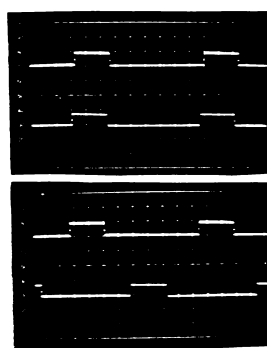


fig. 6.1

fig. 6.2

Schema bloc a standului astfel modificată, / fig. 6.3 / în afară celor de mai sus, se mai deosebește și prin absența înregistrării semnalului traductorului de forță.

Vibrometrele tip 2001 balantron, sunt aparate sensibile, avind gama normală de măsurare a vibrației, între  $0 - 25 \mu\text{m}$ . iar gama fină de măsurare : între  $0 - 2,5 \mu\text{m}$ . În condiții normale, se pot citi valori ale amplitudinii de  $0,5 \mu\text{m}$ . resp.  $0,05 \mu\text{m}$ . corespunzătoare valorii unei diviziuni de pe scara aparatului.

Traductorii trebuie să acordăți pentru fiecare frecvență de rezonanță pe care se lucrează, prin modificarea frecvenței proprii al traductorului seismic, la valoarea corespunzătoare frecvenței cu care se va lucra. În acest fel se obține sensibilitatea maximă a măsurătorii.

#### 6.2 Metoda de lucru pentru ridicarea deformării.

Prima fază constituie stabilirea punctelor de măsurare pe structură. S-a avut în vedere necesitatea obținerii informațiilor privind poziția relativă ale ansamblelor principale, precum și a deformării proprii ale organelor principale, care ar putea contribui la schimbarea poziției reciproce S-P în timpul excitării. Un criteriu secundar, dar necesar a constituit amplasarea punctelor de măsurare pe suprafețe prelucrate, pentru a se putea asigura aderarea corectă a traductorului cu talpa magnetică, pe structură. În vederea asigurării acestor condiții, în unele locuri s-au demontat capace, s-au deschis uși, pentru ca traductorul să poată fi aşezat pe boabele prelucrate ale acestora.

In cazul ridicării modurilor de vibrații la prima mașină de frezat : FV 32-1, s-au stabilit 62 puncte de măsurare, o parte din ele fiind dublate, în vederea unui control asupra corectitudinii măsurătorilor. Cu această ocazie, s-a constatat că măsurătorile sunt fidele, existând în permanență o posibilitate de autocontrol. Ca urmare, la măsurătorile făcute la Cugir, asupra mașinilor : FV 32-2 ; FV 35 ; FU 35, s-au redus numărul punctelor de măsurat, la 36 - 40 care s-au dovedit acoperitoare.

Intrucât direcțiile principale de cedare deobicei nu au coincis cu axele de coordonate, fapt constatat prin prezența unor răspunsuri transversale de remarcat, în fază anterioară de măsurare a RT a cedării dinamice, s-a considerat necesar ca fiecare punct al unui mod de vibrații, să fie reprezentat prin rezultanta amplitudinilor celor trei direcții de răspuns și nu nu-

mai a răspunsului direct. Acest mod de analiză, face să crească volumul lucrărilor de măsurare și de reprezentare grafică, însă furnizează informații mult mai concluzioane și mai fidele, decât cele ridicate pe baza unei singure direcții /directe / de răspuns.

Ridicarea unui mod de vibrații, în mod concret, s-a început cu reglarea excitării pe frecvența corespunzătoare modului respectiv. Amplitudinea forței de excitare s-a reglat în astfel ca la punctele cu amplitudinile de răspuns maxime / de ex. capetele mesei longitudinale / valoarea amplitudinii de răspuns, să nu depășească valoarea maximă a amplitudinii măsurabile de către vibrometru. S-a constatat - cum era și firesc - că forța de excitare necesară ridicării modului de vibrații, era mai redusă ca și cea aplicată la ridicarea FT a cedării.

Traductorii seismici fiind reglați a priori la frecvența excitării, se verifică coincidența semnalelor de trigger pe osciloscopul cu 2 canale, așezându-se traductorul de măsurare lîngă traductorul martor în poziție similară, iar semnalele de pe osciloscop trebuie să indice coincidență de fază.

S-a aplicat traductorul de măsură, în mod succesiv pe suprafetele punctelor de măsurare și s-a notat valoarea amplitudinii citite pe scara vibrometrului, adăugindu-se semnul amplitudinii conform corelației semnalelor de pe ecranul osciloscopului.

După parcursarea tuturor punctelor de măsurare, menținându-se frecvența excitării neschimbată, s-a modificat poziția traductorului martor înspre una din direcțiile transversale direcției de excitare, s-a parcurs punctele de măsurare de data aceasta cu traductorul îndreptat spre această direcție transversală. Același procedeu s-a aplicat și pentru cea de a treia direcție de răspuns, respectiv cea de a doua direcție transversală de răspuns. În acest fel un mod de vibrație are pentru toate punctele de măsurare, cele trei componente ale amplitudinii de răspuns ale structurii.

În continuare, s-a reglat excitatorul pe frecvența critică a următorului mod de vibrații și măsurătorile pentru cele trei direcții de răspuns, s-a realizat conform procedeului descris mai sus. După parcursarea tuturor frecvențelor critice pe o direcție de excitare, s-a schimbat direcția excitării și procedura s-a continuat în mod similar.

### 6.3 Reprezentarea deformației modurilor de vibrații.

In vederea găsirii unor modalități optime de analiză a modului de vibrații, s-a încercat reprezentarea deformației structurii, astăzi în cele 3 vederi folosite în desenul tehnic, cît și o reprezentare izometrică, urmînd ca după efectuarea analizei să se mențină variante care furnizează indicații maxime. În final, nu s-a reușit renunțarea la niciuna dintre ele, fiecare mod de reprezentare aducînd cîteva informații deosebite de rezarcit.

In cazul mașinii FV 32-1 analizat la Cluj, reprezentarea deformației s-a făcut complet manual. Cele 3 coordonate de deplasare ale fiecărei puncte de măsurare, s-a transpus la o anumită scară, pe punctul de măsurare respectiv în repaus, de pe desenul conturului simplificat al mașinii, / fig. 6.6 / conturul fiind traseat cu linii subțiri, obținîndu-se totalitatea punctelor de măsurare în pozițiile corespunzătoare modului de vibrații, cu al cărei frecvență s-a excitat structura. Unind acest puncte - cu linii groase - s-au obținut contururile deformație ale mașinii analizate / fig. 6.6 resp.  $59 P_x \dots 91 P_z$  /. În unele vederi, sau menținut pe desen - în mod demonstrativ - și liniile ajutătoare ale coordonatelor componente, ceeace se vede foarte pronumit la modul de vibrații  $29 P_y$ ,  $52 P_x$ . Acest procedeu, pe lingă avantajul accesibilității, comportă desavantajul volumului prea mare al muncii de reprezentare grafică / cca. 400 puncte pentru fiecare mod de vibrație /.

Deformațele mașinilor FV 32-2 ; FU 35 ; și FV 35 , au fost reprezentate grafic, cu ajutorul unui calculator de cercetare Hewlett-Packard , prevăzut cu un plotter. Organograma care descrie etapele mari ale operațiilor, este reprezentată pe fig. 6.4 . Cu ajutorul unor memorii auxiliare se introduc coordonatele punctelor de măsurare ale structurii nedeformate și aici pentru fiecare tip de mașină și vedere de reprezentare. Aceste coordonate au fost ridicate cu ajutorul plotter-ului de pe desenul contururilor nedeformate ale mașinilor. După introducerea valorilor coordonatelor deplasate ale structurii, se face verificarea automată a punctelor marcate pe structură / subprogramul C . Dacă au ramas puncte fără date pentru deformata, se editează o bandă cu numerele acestor puncte.

Pentru subprogramul V se introduc ca instrucțiuni specifice : scară de reprezentare, vîrteuri și coeficienții spațiali

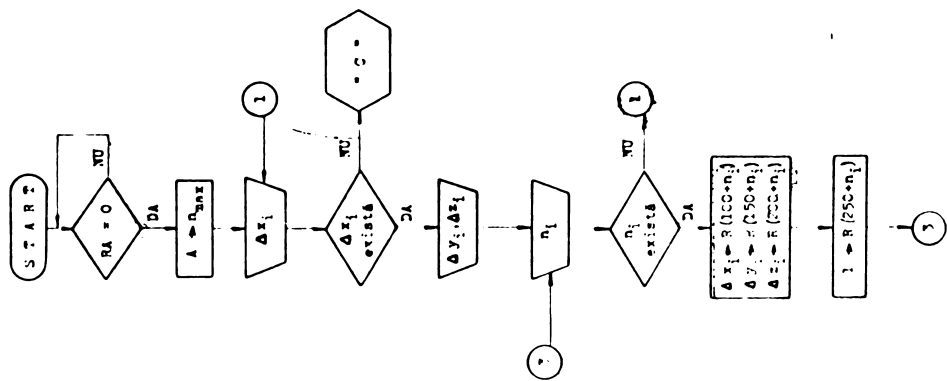
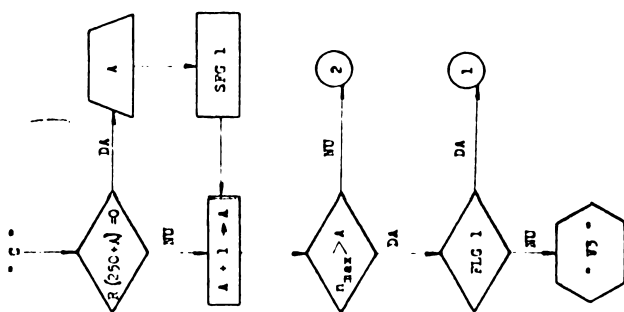
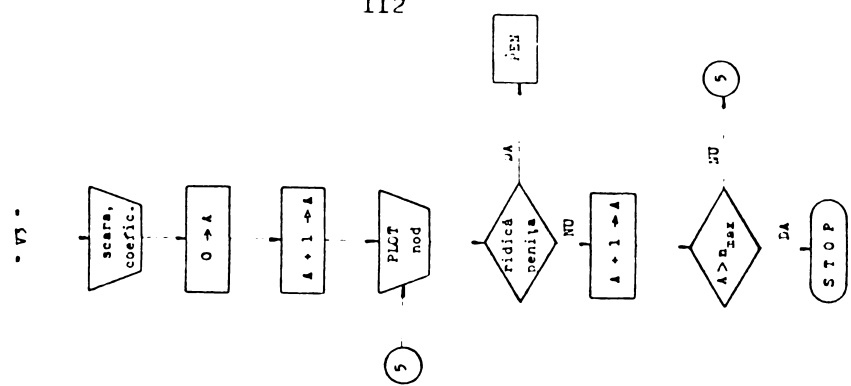
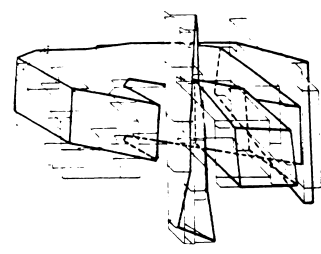
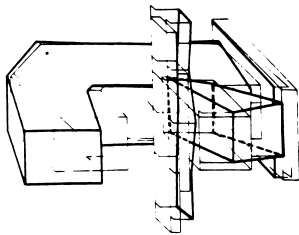


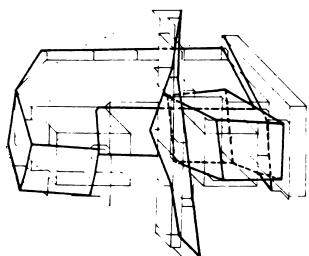
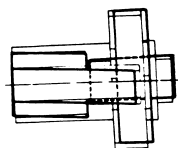
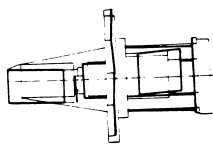
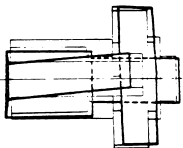
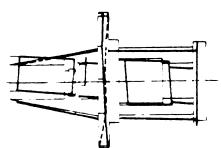
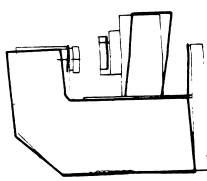
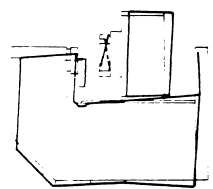
Fig. 6.4



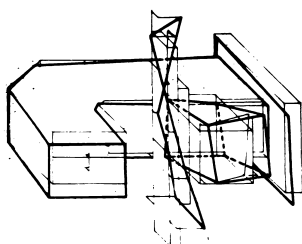
FV321-22A



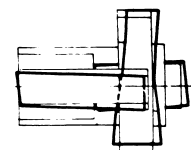
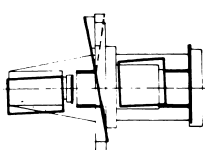
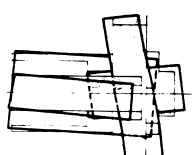
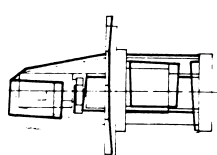
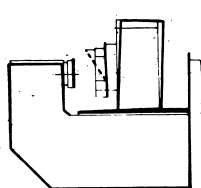
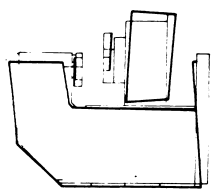
FV321-22B



FV321-22C



FV321-22D



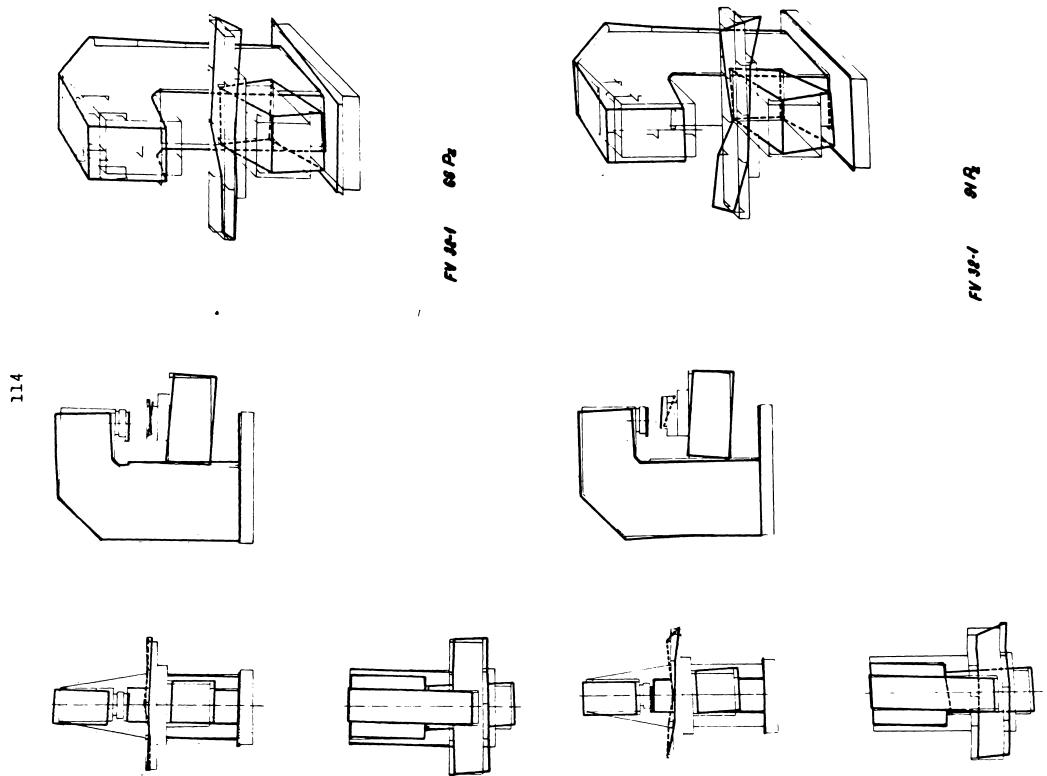
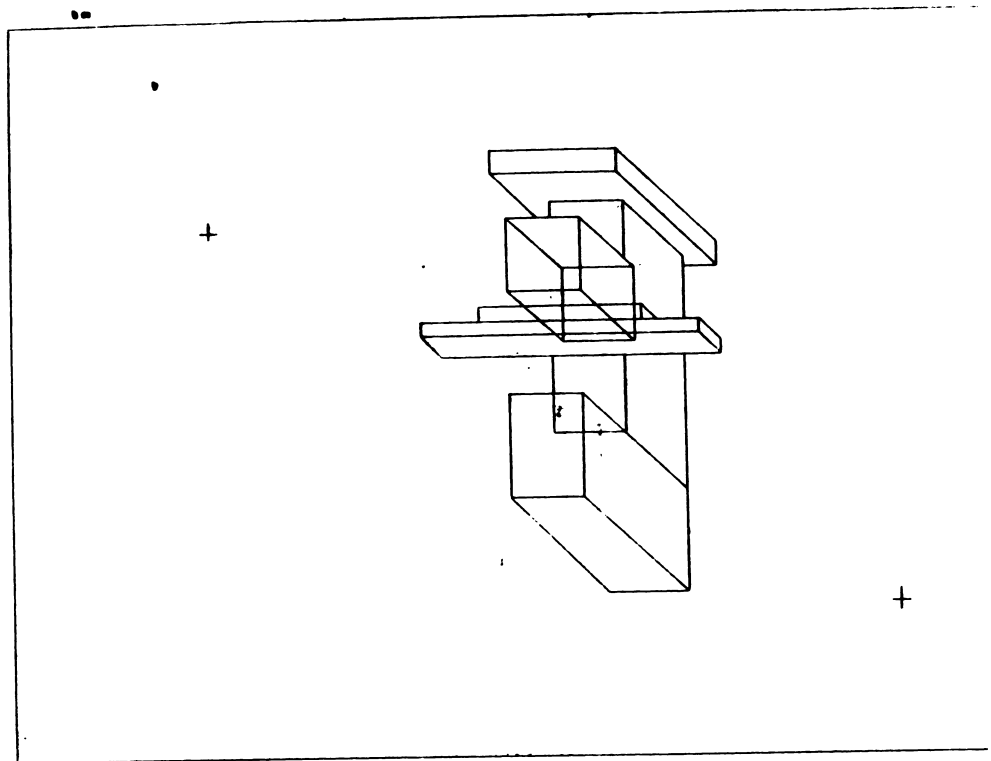
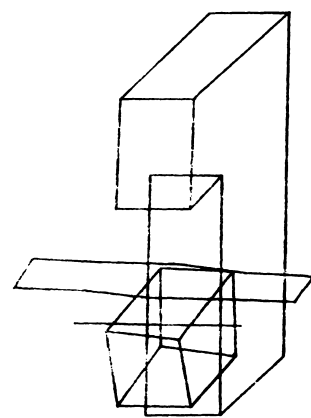


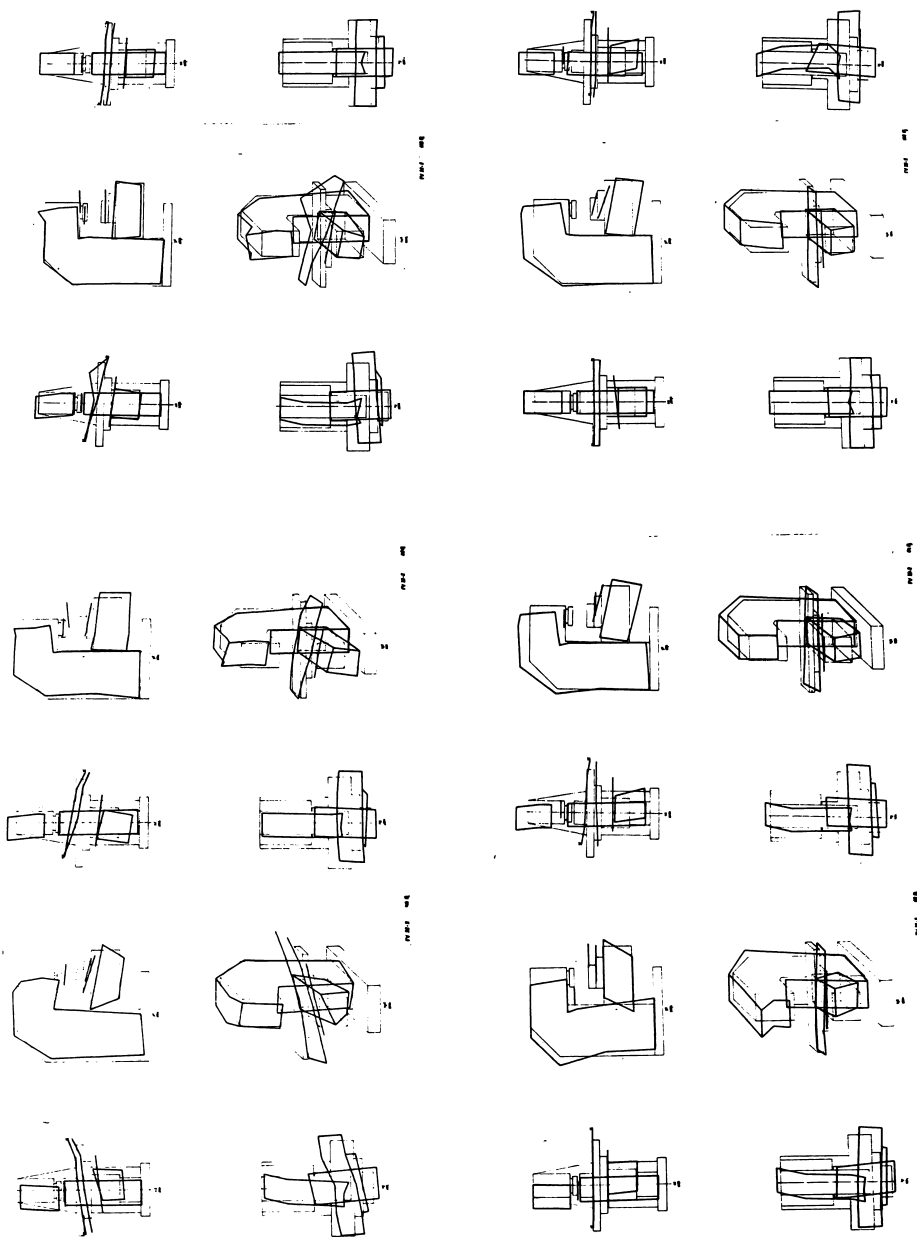
fig. 6.6



FV35 XYZ 98PY



SCARA DEFORMATIILOR 500/1.



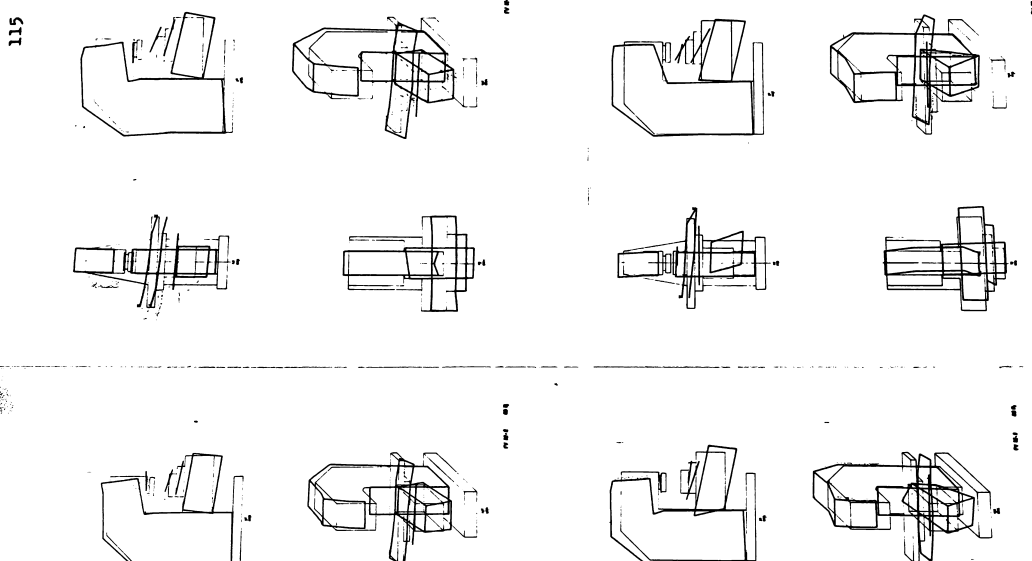
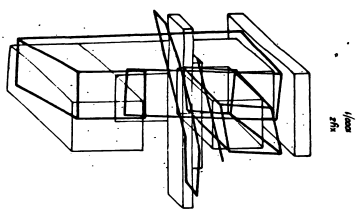
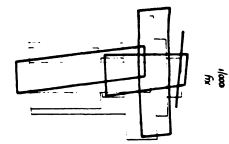
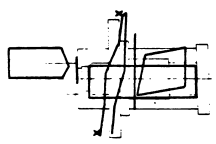
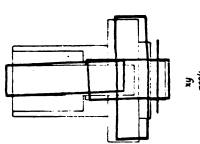
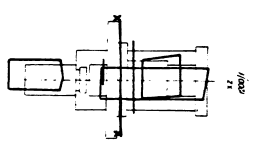
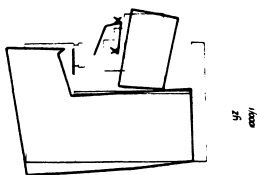
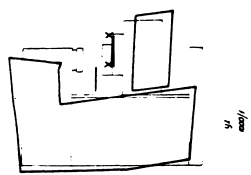
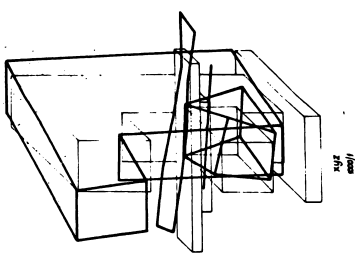


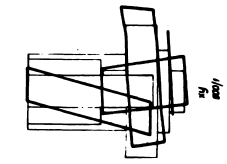
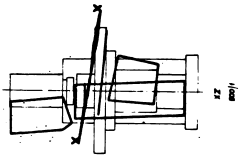
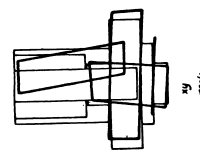
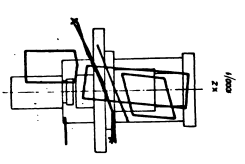
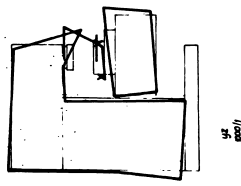
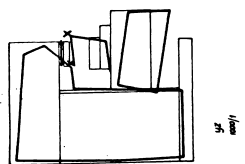
fig. 6.7

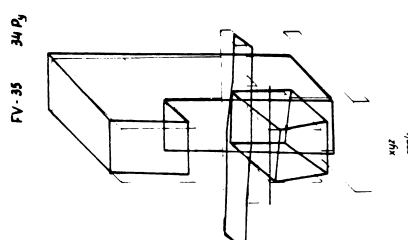
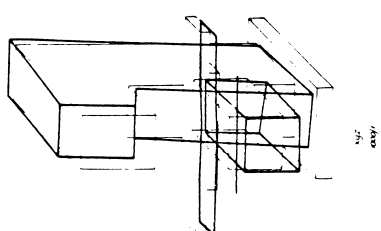
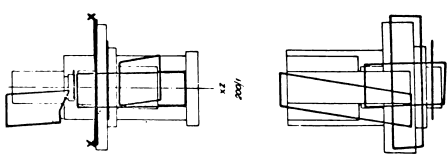
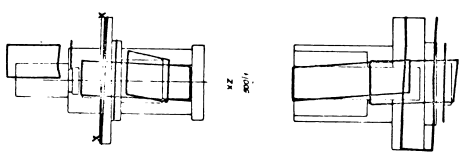
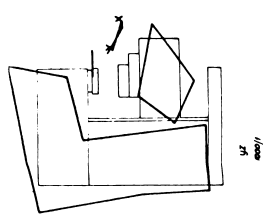
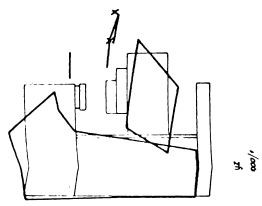
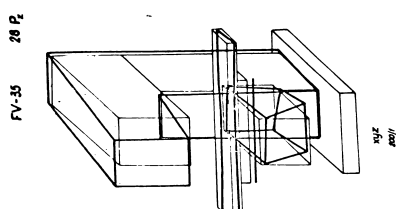
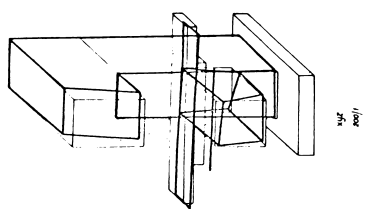
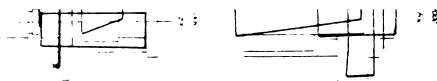


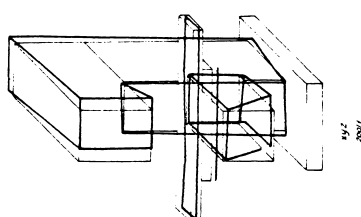
PV-35 26 P



PV-35 26 P<sub>1</sub>







FV-35  
no R<sub>z</sub>

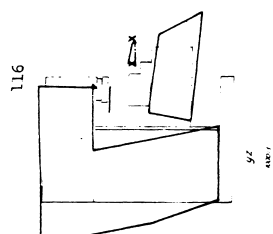
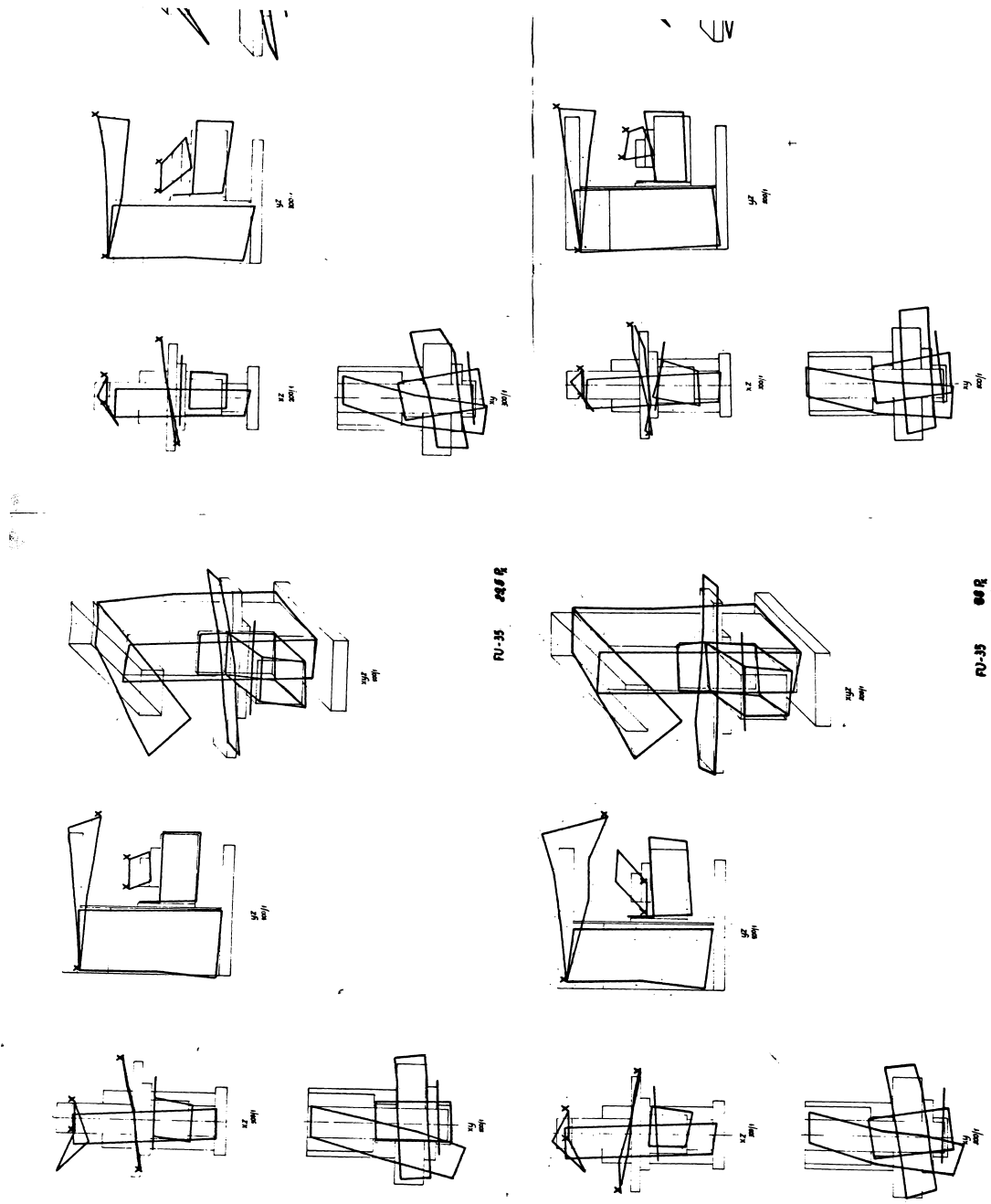
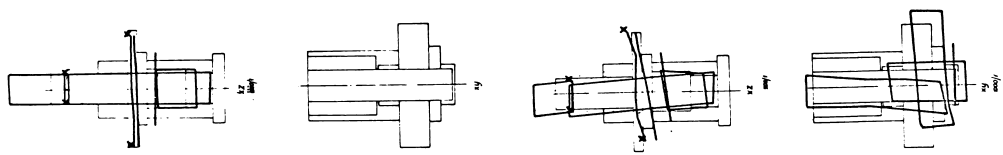
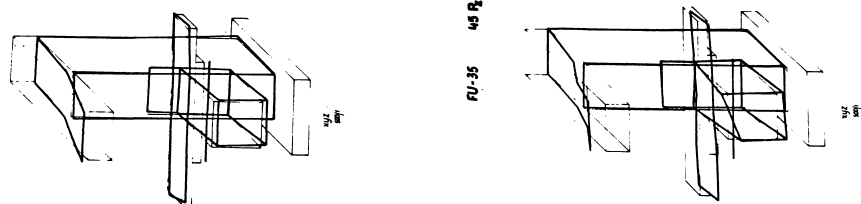


Fig. 6.8



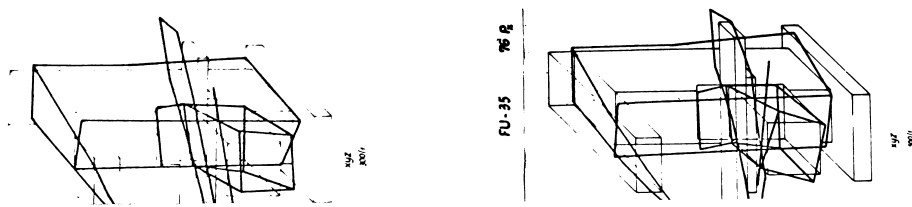
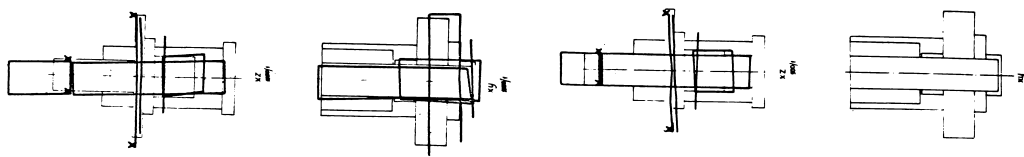


Technical drawings of mechanical components, likely shafts or couplings, shown from different perspectives. The first two views are top-down, while the next two are side-on. Coordinate systems are indicated by X, Y, and Z axes.



FU-35 48 R<sub>1</sub>

FU-35 55 R<sub>1</sub>



FU-35 76 R<sub>2</sub>

FU-35 84 R<sub>2</sub>

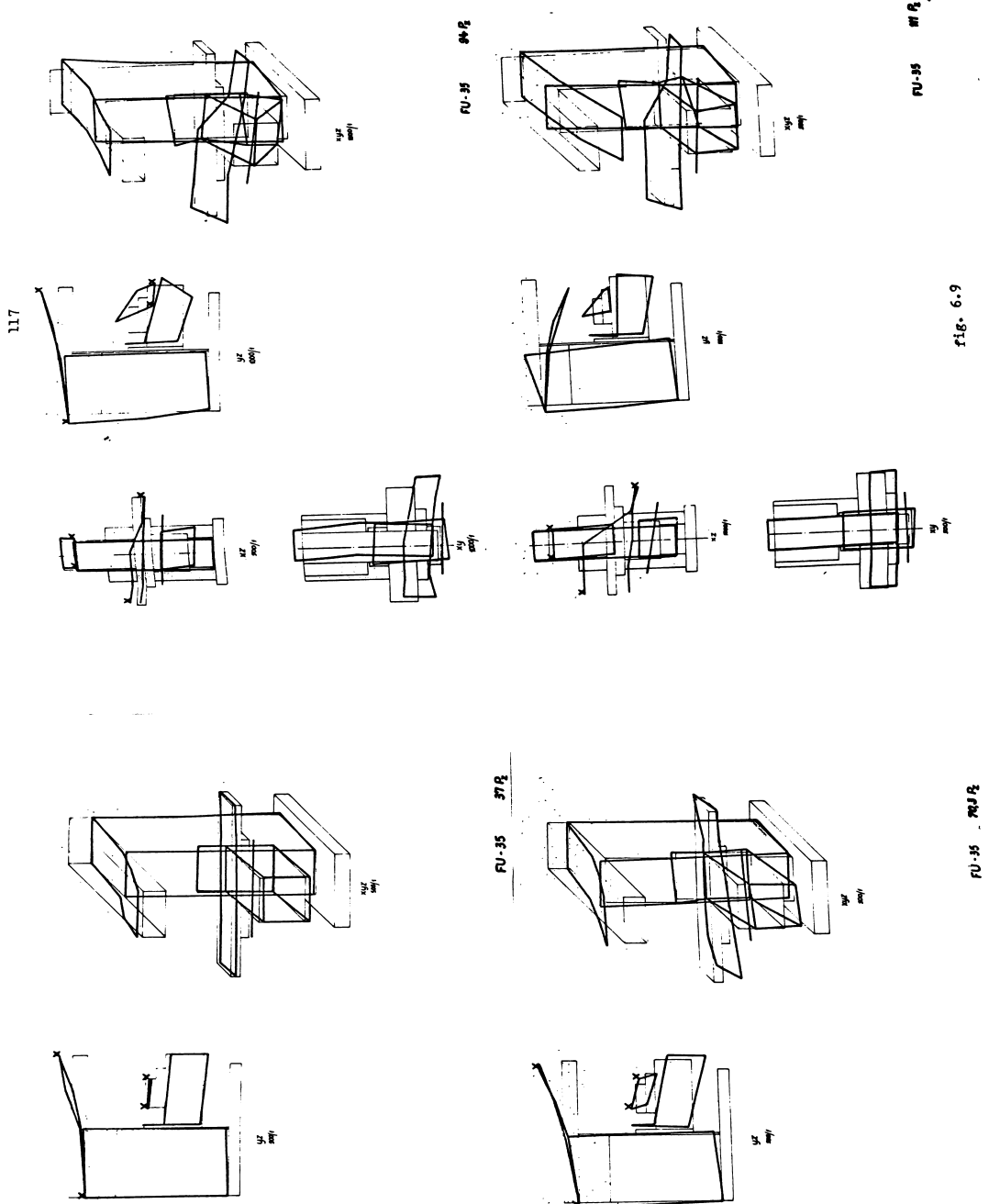


fig. 6.9

#### 6.4 Reprezentarea amplitudinilor unor noduri importante.

Valoarea absolută a amplitudinilor punctelor de măsurare ale deformării, multe ori este constituită din însumarea algebrică a amplitudinilor organelor sau ansamblelor suportante / de ex.: consola /. Pentru a se putea aprecia cît mai obiectiv comportarea dinamică a unor noduri, cuplaje, organe sau ansamblă, s-au reprezentat la scară amplitudinile relative dintre două organe vecine a nodurilor, în care apar cedări care influențează deplasarea relativă între S-P / fig. 6.10 ... 6.13 /. Metodica reprezentării se tratează prin exemplul mașinii FV 35, la care valoarea amplitudinilor corespunzătoare pozițiilor tabelului-grafic din fig. 6.12, rezultă din relațiile de mai jos, precum și din fig. 6.14 .

AMPLITUDINILE RELATIVS AI PUNCTELOR DE MASURARE			FF 35
1	$x_4 - x_5$	12	$y_6 - y_{46}$
2	$x_{16} - x_4$	13	$x_{20}$
3	$x_4 - x_{16}$		$x_{21}$
4	$x_{16} - x_{15}$	14	$y_{20}$
5	$x_{12} - x_9$	15	$y_{21} - x_{22}$
6	$x_{12} - x_9$	16	$y_{22} - x_{23}$
7	$x_7 - x_8$	17	$x_{22} - x_{21}$
8	$x_6 - x_5$	18	$/ x_{22} - x_{25} / - / x_{21} - x_{20} /$
9	$x_6 - x_5$		$y_{24} - y_{25}$
10	$y_6 - y_9$	19	$y_{25} - y_{22}$
11	$y_6 - y_{46}$	20	$x_{24} - x_{25}$
			21 $x_{44} - x_{34}$
			22 $/ x_{42} - x_{44} / - 0,3 / x_{41} - x_{47} /$
			$/ x_{39} - x_{37} / - 0,3 / x_{40} - x_{39} /$
			$/ x_{42} - x_{44} / - 0,3 / x_{44} - x_{35} /$
			$/ x_{39} - x_{37} / - 0,3 / x_{38} - x_{36} /$
			24 $x_{46} - x_{43}$
			25 $y_{46} - y_{43}$
			26 $x_{46} - x_{45}$
			27      din fig. 5.27

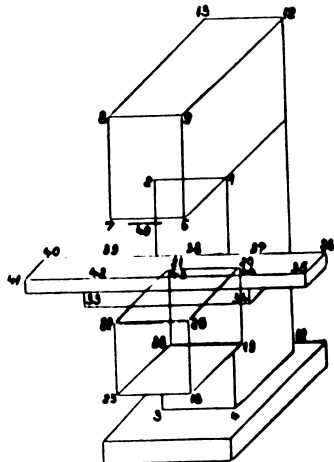


fig. 6.14

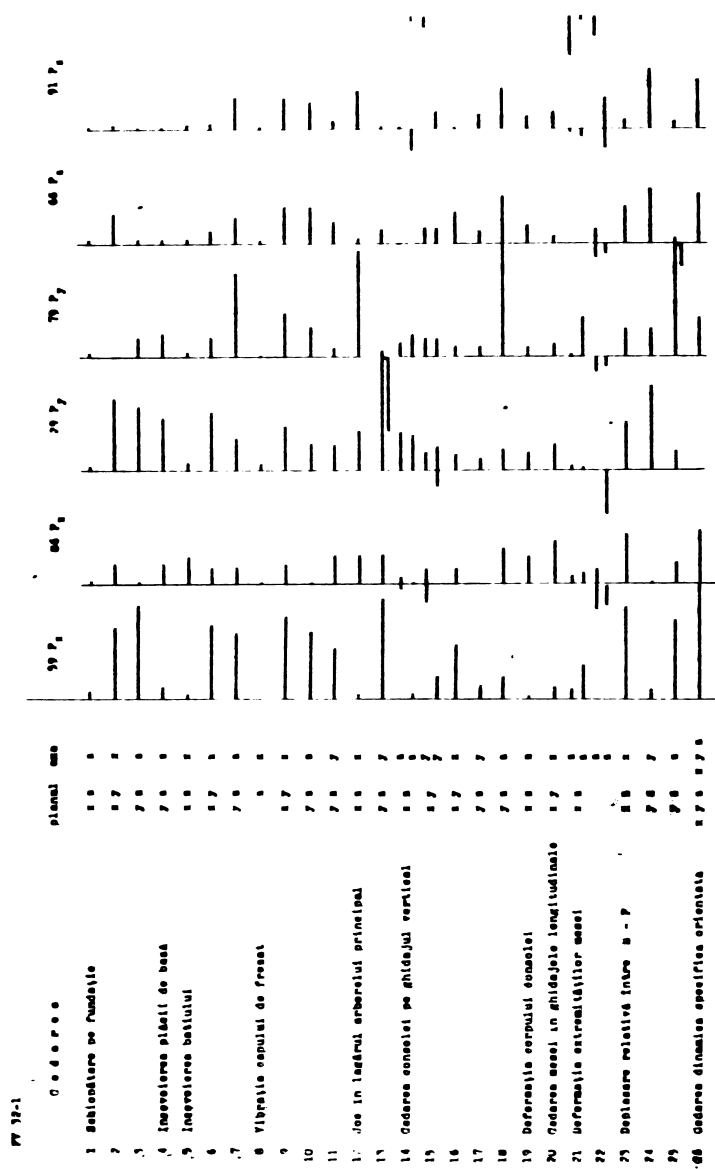


fig. 6.10

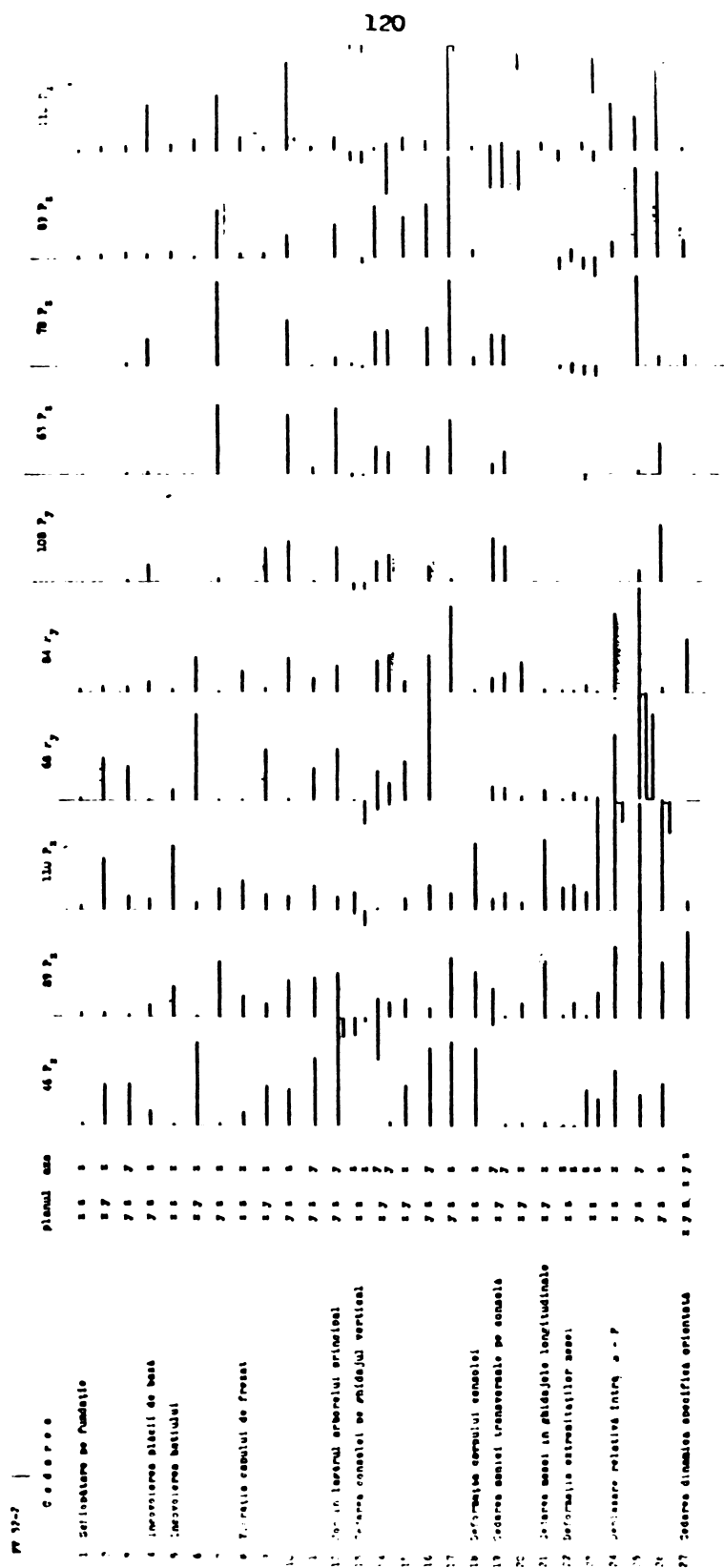


fig. 6.11

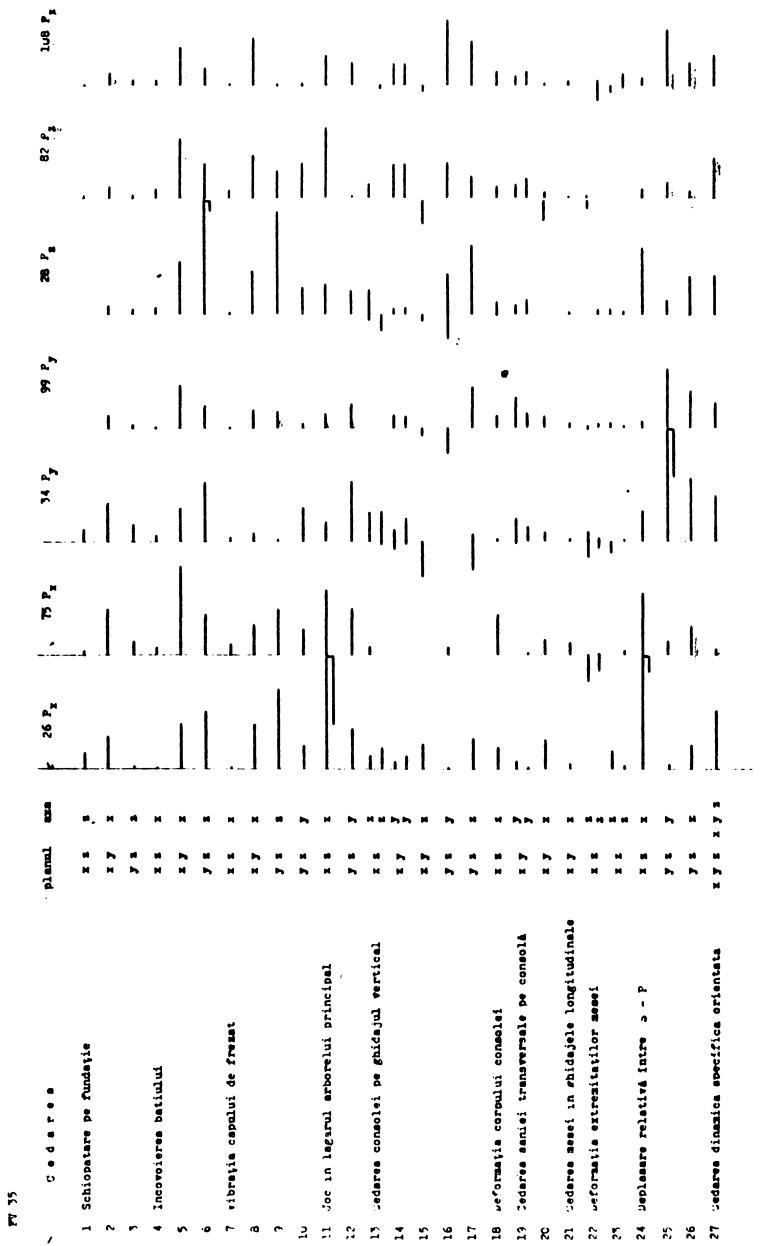


fig. 6.12

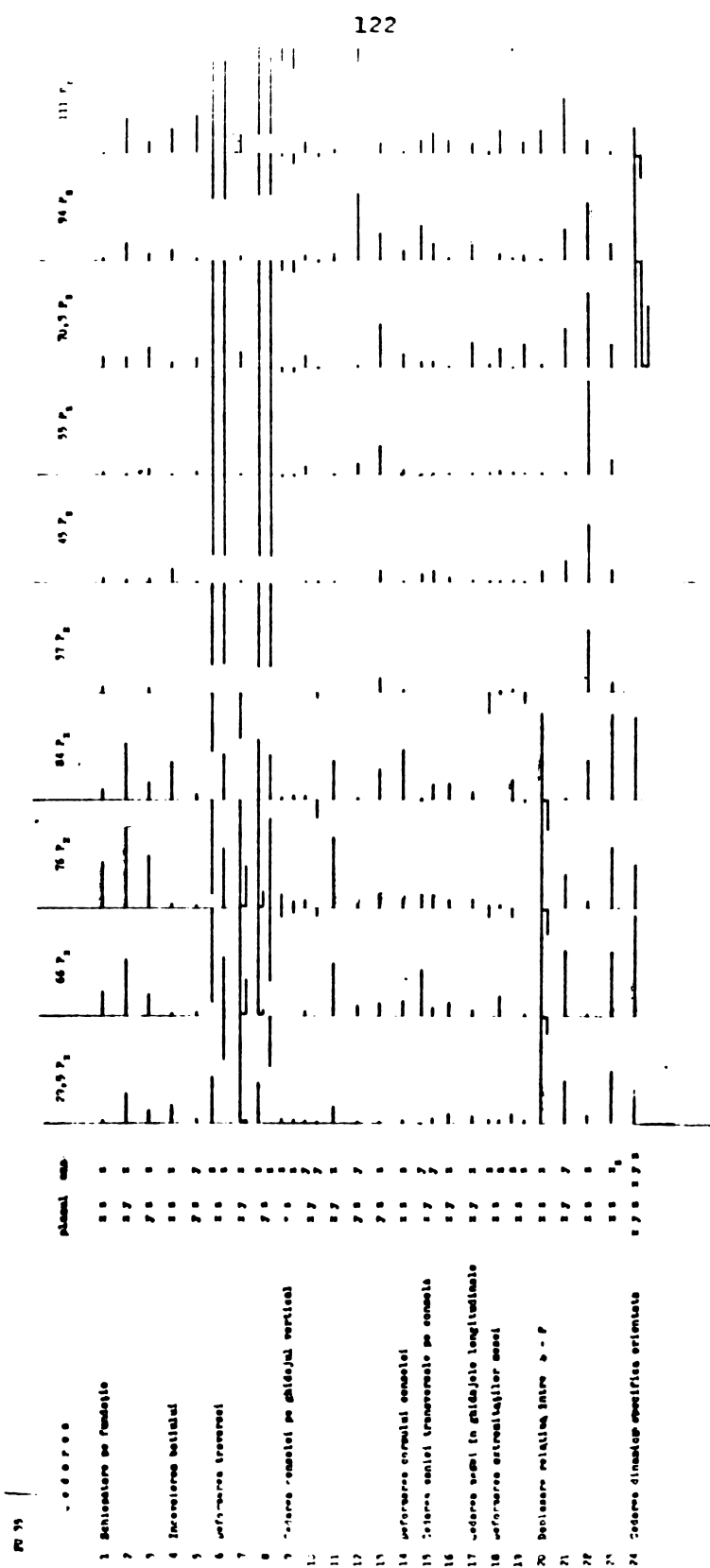


Fig. 6.13

7. Considerații privind construcția mașinii.

In acest capitol se caută - aşa cum s-a menționat în cap.1 - valorificarea rezultatelor analizei comportării dinamice a mașinilor de frezat cu consolă, în vederea depistării nodurilor dinamic slabă și în consecință recomandarea unor modificări constructive, care să contribue la creșterea rigidității dinamice în aceste noduri. În acest mod, se poate mări adâncimea limită a aşchierii  $w_{lim}$ , și implicit productivitatea.

7.1 Evaluarea rezultatelor cercetărilor.

Rezultatele cercetărilor privind comportarea dinamică a structurilor unor mașini de frezat cu consolă, sunt reprezentate prin curbele de rezonanță / subcap. 5.3.1 /, caracteristici frecvențiale amplitudine-fază / subcap. 6.3.2 /, valorile caracteristice, care sunt de fapt coeficienții termenilor ecuației diferențiale de mișcare / cap. 5.4 /, precum și deformatelor modurilor de vibrații / cap. 6.3 /, cărora le aparțin reprezentările grafice ale amplitudinilor unor noduri importante ale structurilor analizate / cap. 6.4 /.

7.1.1 Analiza curbelor de rezonanță.

CR aparținătoare aceleiași direcții de excitație, sunt așezate în aceeași coloană, iar cele ridicate pe aceeași direcție de măsurare, se găsesc în același rînd / fig. 5.18 ... 5.21 /. Amplitudinile maxime, ce localizează zonele frecvențelor critice, în frecvențe cazuri se suprapun pe aceeași coloană / de ex. la excitația  $P_x$  a mașinei FV 32-1 din fig. 5.18 §.a./, ceea ce dovedește că amplitudinea critică, deci și axa de cedare a unuia din modurile de vibrații, nu coincide cu niciuna din axe de coordonate de referință a structurii, ci este dirijată în spațiu, sau în tr-un plan / de ex. la excitația 89  $P_x$  sau 110  $P_x$  a mașinei FV 32-2 din fig. 5.19 /. Aceste amplitudini fiind proiecții ale rezultantei, se poate calcula desigur direcția acesteia. CR servesc la determinarea instantanea a frecvențelor critice, pe baza căruia se trece imediat la ridicarea deformatei modului de vibrație ce este caracterizat prin frecvența critică respectivă. Deși valoarea acestei frecvențe critice va suferi oarecări corec-

ții, datorita influenței modurilor de vibrații ale frecvențelor vecine, pentru scopul folosit este corespunzatoare.

CR mai este și o oglindă cuprinzătoare a comportarii structurii în domeniul de frecvență analizat, chiar dacă nu toate amplitudinile proeminente duc la pierderea stabilității. În acest sens defazajul completează informațiile, ceea ce va apărea în CFAF.

Din CR ale celor 4 mașini cercetate, rezultă la prima vedere 1-3 frecvențe proprii ale structurilor și acestea îndeosebi în domeniul cuprins între 50 - 120 Hz. Partea inferioară a acestui domeniu - dină la cca. 70 Hz - cade încă în domeniul de excitație forțată interioară datorită procesului tehnologic / n x z /, pentru care motiv mașina este cea mai vulnerabilă în acest domeniu. Structura nu este totuși în afara pericolului pierderii stabilității nici de pe acest domeniu, deoarece adesea apar frecvențe de armonică inferioară ale frecvențelor proprii peste 70 Hz, care cad în miezul domeniului de excitație forțată interioară datorită procesului tehnologic.

Forma CR în zona frecvenței critice, să indice că asupra gradului de amortizare a structurii pe direcția respectiva. Dacă alumăcurbei este svelta, denotă că gradul de amortizare este mic, iar dacă culmea este rotuniță și mai largă, gradul de amortizare este mare. Spre exemplu : FV 32-1 are CR rotunjite, "grase", ceea ce dovedește amortizări corespunzătoare, fapt ceiese din valorile calculate ale amortizărilor / fig. 5.23 /. În schimb la FV 32-2, o mașină de același tip, însă la care cercetarea prin excitație s-a făcut cu ghidajele blocate, alura CR este sveltă, îngustă, ascuțită, dovada gradului de amortizare redus, confirmat de valorile calculate ale gradului de amortizare din tabelul din fig. 5.5.

Rezultă că ghidajele de alunecare sunt amortizoare dinamice eficace, îndeosebi datorită absorbirii de energie de vibrație prin frecare viscoasă în filmul de ulei dintre suprafețele ghidajelor./ cap. 3.1.5 /. Prin blocarea ghidajelor s-a exclus acest efect de amortizare dinamică, foarte valoios pentru comportarea dinamică a mașinii, în schimbul unui spor de rigiditate preponderent statică. Un alt efect pozitiv, menit să contribuie la compensarea excluderii amortizării viscoase, este creșterea valorii frecvențelor critice și deci îndepărarea dela domeniul de frecvență a forțelor de excitație forțată interioară de proveniență tehnologică.

Bilanțul blocării ghidajelor este în final pozitiv, fapt ce rezultă din compararea valorilor de rigiditate orientată  $k$  ale celor două mașini / fig. 5.23 și 5.25 /. În practică acest mod de lucru este numai parțial aplicabil, deoarece cel puțin unul dintre ghidaje – acela în direcția caruia acționează avansul de lucru – nu poate fi blocat.

CR a mașinii FV 35 / fig. 5.20 / reprezintă comportarea reținută a structurii. Alura zonelor de rezonanță oglindește răpoarte de amortizare bune ceea ce sunt confirmate cu valorile discrete din fig. 5.27. Situație opusă este însă la FU 35 ale cărei CR sunt proeminente și destul de ascuțite, îndeosebi în cazul excitării cu  $P_z$ . Valorile calculate a gradului de amortizare confirmă acest fapt / fig. 5.29 /. Cauza este prezența unui element cu rigiditate slabă îndeosebi în direcția axei  $z$ , și care este lipsit de posibilități de amortizare eficace / traversa /.

#### 7.1.2 Analiza caracteristicilor frecvențiale amplitudine-fază.

CFAF ne furnizează informațiile care s-au obținut prin CR, în cazurile tratate însă s-au reprezentat doar zonele interesante – adică acele zone care cuprind rezonanțele principale – așa cum s-a descris în subcap. 5.3.2. Pe cind CR permit o analiză globală, în linii mari, totodată operativă, CFAF care au în construcția lor – în plus – datele cuprinse în CR – și valoarea defazajului dintre semnalul de intrare / forță de excitație / și semnalul de ieșire / răspunsul structurii /, asigură localizarea mai exactă a frecvenței de rezonanță, totodată permite calcularea valorilor discrete a coeficienților termenilor ecuației diferențiale de mișcare.

Considerațiile făcute în urma analizei slurei CR se confirmă prin CFAF. Compararea numai sinoptică a CFAF cuprinse în matricea de pe fig. 5.22 / FV 32-1 cu grade de amortizare normale / și cele aparținând mașinii FV 32-2 / fig. 5.24 / cu grad de amortizare redus / ghidajele blocate /, demonstrează în mod evident preponderența amortizărilor diminuate la cea de a două mașină. Similar, dar poate mai evident apare gradul de amortizare mult diminuat la FU 35 / fig. 5.28 / îndeosebi la excitația cu  $P_z$  față de alura CFAF de la FV 35 / fig. 5.26 / care are un grad de amortizare satisfăcător.

Desi CFAF reprezintă doar o parte a domeniului de frecvență explorat, la majoritatea lor apar mai multe grade de libertate ale structurilor, ceea ce este firesc, având în vedere construcția relativ complexă a mașinilor de frezat cu consolă. Acest lucru nu este în mod fatal defavorabil, dinpotrivă, în multe cazuri poate duce la diminuarea tendinței de pierdere a stabilității. Un exemplu elocvent prezintă CFAF  $x/P_x$  la  $FV 32-1$  / fig. 5.22 / la care un mod de vibrație "perturbator", la frecvența de 63 Hz, deformează în mod favorabil alura buclei modului de vibrație de bază  $59 P_x$ , împingînd-o dinspre domeniul negativ al axei reale, spre domeniul pozitiv al acestuia și deci îndepărțînd-o dela zona de instabilitate / criteriul Nyquist /. Această perturbare binefăcătoare se datorează probabil componentei după axa  $x$  a modului de vibrație  $66 P_z$ .

CFAF sunt bogate purtătoare de informații, care vor fi exploatate cu ajutorul metodelor descrise în cap. 5.4. Valorile caracteristice ale modurilor de vibrații obținute astfel, permit analizarea obiectivă a comportării structurii.

#### 7.1.3 Analiza valorilor caracteristice ale modurilor de vibrații.

Valorile caracteristice obținute din CFAF sunt cuprinse în tabele ce sunt redate pe fig. 5.23 pentru  $FV 32-1$ ; pe fig. 5.25 pentru  $FV 32-2$ ; pe fig. 5.27 pentru  $FV 35$ ; și pe fig. 5.29 pentru  $FU 35$ ; Convențional s-au notat modurile de vibrații, prin combinația frecvenței proprii a modului de vibrații cu direcția forței de excitație. De ex.:  $59 P_x$ .

In cadrul fiecărei mod de vibrații, toate datele s-au calculat pentru toate direcțiile de măsurare perceptibile, din cele trei posibile. În acest fel s-au calculat și frecvențele proprii  $\omega_0$ , la care în cadrul aceluiași mod de vibrații, se observă unele abateri între valorile obținute după diferite direcții de măsurare. Abaterile se datorează în mică măsura erorilor de măsurare și de calcul, cauza principală a lor fiind o deplasare reală a amplitudinii de rezonanță - pe axa frecvențelor - datorită influenței unui alt mod de vibrații, având frecvență apropiată, iar în majoritatea cazurilor cu direcția de excitație coincidență cu direcția componentei cu abatere.

Comparînd frecvențele proprii ale modurilor de vibrații la cele două mașini de același tip :  $FV 32-1$  și  $FV 32-2$ , se

obseară, că la cea din urmă - la care în timpul măsurătorilor prin excitație ghidajele au fost blocate - frecvențele modurilor de vibrații corespunzătoare, sunt mai ridicate. De ex.:  $89 P_x$  față de  $59 P_x$  respectiv  $110 P_x$  față de  $86 P_x$  și.a. Aceste constatări coincid întrutotul relației / 5.34 / respectiv :

$$\omega_o = \sqrt{\frac{k}{m}} \quad / 7.1 /$$

Comparind deasemenea frecvențele proprii ale modurilor de vibrații la mașinile : FV 35 și FU 35, cari se deosebesc în principal în partea lor superioară : primul având cap de frezat vertical monolit cu batiul, iar cea din urmă, o traversă sveltă cu rigiditate mică, disproportională față de restul structurii, rezultă că elementul cu rigiditate scăzută, la mașina FU 35, face ca frecvențele proprii ale modurilor de vibrații, să fie mai scăzute decât la FV 35. De ex.: la excitația după  $P_x$ , frecvențele proprii sunt cuprinse între : 66...84 Hz la FU 35, față de 75...111 Hz la FV 35, respectiv : 70...94 Hz față de 82...108 Hz, la excitația după  $P_z$ . Toate acestea constatări sunt deasemenea în concordanță cu relația / 7.1 /, de unde mai rezultă că diminuarea frecvențelor critice la FU 35, a fost întrucâtva compensata de masa mai mică a traversei lui FU 35.

Analizînd cedarea dinamică a structurilor, rezultă cea mai mare valoare la funcția de transfer  $x/P_x$ , la toate cele 4 mașini cercetate. Este un fenomen general la mașini de frezat cu consolă și se datorește principiului constructiv a acestor tip de MU, unde în lanțul S-MU-D-P este intercalat ansamblul consolei, cu 3 sănii și tot atîtea ghidaje suprapuse, fiecare cu mecanismul ei de deplasare, constituind mai multe noduri de cedare dinamică. În acèst context majoritatea nodurilor au componente apreciabile de cedare în direcția axei  $x$ , ceeace prin însumare conduc la constatarea de mai sus.

Comparind același FT  $x/P_x$  la mașinile FV 32-1 și FV 32-2 se constată chiar din CFAF, că cedarea la prima este mai mare, anume:  $0,6287 \mu/\text{kgf}$  față de  $0,4960 \mu/\text{kgf}$  la FV 32-2, ceeace reprezintă cu 26,75 % mai mult. Cedarea mai mică la cea de a doua mașină, se datorește - aşa cum s-a menționat mai sus - rigidității sporite a ansamblului consolei, ce s-a realizat prin blocarea ghidajelor. Desigur, scaderea cedării datorită sporirii rigidității este în realitate mai mare, dar prin această măsură

se pierde o parte însemnată a efectului de amortizare în ghidaje, ceace la FV 32-1 concura la diminuarea cedării.

Vaca se compară cedarea la aceași FT, însă de data aceasta cu FV 35, la care ghidajele s-au păstrat neblocate ca și la FV 32-1, se găsește  $c = 0,3780 \mu/\text{kgf}$ , ceace reprezintă doar 60 % din cedarea lui FV 32-1. Acest fapt se datorează îmbunătățirilor constructive ce s-au adus mașinilor din familia 35 față de 32.

Desi mașinile FV 35 și FU 35 au infrastructura aproape identica, cedarea maximă la aceași FT este la mașina din urmă de  $0,6740 \mu/\text{kgf}$ , adică cu 78,3 % mai mare decât la FV 35. Acest spor de cedare se datorează traversei port contralagăr care are o cedare proprie mare. Acest fapt este confirmat de valoarea cedării la  $70 P_z$ , unde pe direcția z - direcția în care momentul de inerție a traversei este cea mai mică -  $c = 0,8820 \mu/\text{kgf}$ . De altfel, acest lucru rezultă evident din CAF coloanei  $P_z$ , / fig. 5.28 / și bineînțeles coloana c din tabelul de pe fig. 5.29.

In analiza comportării dinamice a unei structuri, sunt determinante valorile caracteristice pe fiecare mod de vibrație în parte, deoarece ele exercită influența lor, pe un anumit domeniu tehnologic al MU. Pentru a putea întări anumite considerente susmenționate, având în vedere că s-au cercetat 4 MU similare, dar totuși cu anumite diferențe constructive, sau de regim de exploatare, în continuare se face comparația și a valorilor medii caractereștiice, luate pentru toate modurile de vibrații ale structurii respective. Nu este o metodă total concludentă, dar suficient de obiectivă.

Comparind deci valorile medii a cedării la cele 4 MU analizate, față de  $c_m = 0,202 \mu/\text{kgf}$  la FV 32-1, se găsește la FV 32-2  $c_m = 0,232 \mu/\text{kgf}$ , deci desi rigiditatea a c.escut în mod artificial prin blocarea ghidajelor, cedarea în medie este mai mare cu 14,8 % datorită excluderii amortizărilor ce oferă filmul de lubrifiant al ghidajelor. Construcția îmbunătățită a mașinii FV 35 limitează cedarea dinamică medie la  $0,1713 \mu/\text{kgf}$ , adică cu 17,9 % mai mică față de FV 32-1. Traversa subdimensionată a mașinii FU 35 cauzează o cedare dinamică medie de  $0,445 \mu/\text{kgf}$  care este cu 120 % mai mare decât cedarea dinamică medie la FV 32-1 și cu 160 % mai mare ca la FV 35.

Gradul mediu de amortizare al mașinii FV 32-1 este de 0,064 care corespunde unui grad de amplificare de cca. 8, ceea

ce este normal la MU mijlocii. Variația gradului de amortizare pe răspunsuri, se cuprinde între: 0,0320...0,0883 ; existând o singură excepție de 0,1423 . În schimb la FV 32-2, care s-a cercetat cu ghidajele blocate,  $d_m = 0,0336$  ; căruia corespunde un grad de amplificare de rezonanță de cca. 15 . Gradele de amortizare pe răspunsuri, variază între: 0,0090...0,0466 ; existând și două excepții : 0,0828 și 0,1331 . Reiese în mod evident, că prin blocarea ghidajelor, s-a anihilat în bună parte amortizarea viscoasă a ghidajelor.

Masina FV 35 are un grad de amortizare medie de 0,056 corespunzînd un grad de amplificare de cca. 9. Este o comportare corespunzătoare tipodimensiunii masinii. Componentele acestei valori medii, variază între: 0,0191...0,0873 existând excepția de 0,1800.

Masina FU 35 cu gradul mediu de amortizare de 0,0732 pare să aibă amortizarea cea mai bună, căreia corespunde un grad de amplificare de rezonanță de cca. 7 . Valorile componentelor pe răsunuri, variază într-o gamă largă , anume între : 0,0159 ...0,0880 ; avînd și două excepții : 0,1400 și 0,1948 . În comparație cu FV 35 care are infrastructura similară, se pare că sporul gradului de amortizare este de natură histeretică. Este probabil că surse este traversa port contralagăr, care în comparație cu restul structurii, pare subdimensionată. Este de remarcat că la această mașină sunt mai multe frecvențe proprii în același domeniu de frecvență , în comparație cu celelalte mașini analizate. Cauza probabilă este elementul cu rigiditate redusă /traversa/, care se pare că la anumite frecvențe lucrează și ca un absorbtor dinamic al vibrației / A 11 a / vibrînd în opozitie cu sistemul de bază. Efectul acestuia este bine exemplificat în CR a FT  $z/P_z$  unde apar două rezonanțe : 70  $P_z$  și 78  $P_z$  dar cari de fapt aparțin unei aceleasi frecvențe proprii puternic amortizate / 0,1948 și 0,1400 / dar prin intervenția efectului de amortizor dinamic de vibrații al traversei / masă + arc / această culme nu prea ascuțită, este scindată în cele două moduri de vibrații susanintite. Un caz similar se constată și la CR a FT  $x/P_x$  / A 75 / la modurile de vibrații : 66  $P_x$  ; 76  $P_x$  ; 84  $P_x$  .

Constanta elastică generalizată a modului de vibrații , obținută cu ajutorul relației / 5.33 /, furnizeaza cele mai con-

cludente informații cu privire la comportarea dinamică a structurii. Valorile constantelor elastice, obținute pe direcțiile de măsurare a răspunsului, care coincid de fapt cu axele de coordinate a sistemului trirectangular în care s-a inscris structura analizată, sunt de fapt proiecțiile rezultantei acestora, care în general este orientată în spațiu. Cu ajutorul relației / 5.35 / se obține deci rigiditatea dinamică orientată a modului de vibrație respectivă./ k /

Din punctul de vedere al analizei comportării MU, sunt interesante valorile minime ale coeficientului rigidității dinamice orientate. La FV 32-1  $k_{min} = 7,462 \text{ kgf}/\mu$ , este o valoare subminimală pentru mașini de frezat cu consolă de dimensiuni mijlocii [9], [54]. Această valoare apare la modul de vibrație  $P_x$ , la care s-a găsit în direcția axei x, o cedare pronunțată, în valoarea de  $c = 0,6287 \mu/\text{kgf}$ . La celelalte moduri de vibrații,  $k = 15,923 \dots 21,496$  adică este de cca 2 .. 3 ori mai mare.

La FV 32-2  $k_{min} = 9,343$  doar cu 25 % mai mare decât la FV 32-1. La celelalte moduri de vibrații, rigiditatea dinamica orientată variază între  $k = 16,428 \dots 86,730$ , adică de cca. 2 ... 9 ori mai mari./ valoarea de 271,58 nu s-a luat în considerare, constituind o excepție./

Comparând valorile medii a rigidităților dinamice orientate, găsim la FV 32-1 valoarea de  $k_{med} = 15,89 \text{ kgf}/\mu$ , ceea ce este satisfăcător, iar la FV 32-2  $k_{med} = 51,85 \text{ kgf}/\mu$  fără valoarea exceptată. Raportul celor două valori fiind de 3,26 în favoarea celui din urmă. Această rigiditate medie mare, ca de altfel și valoarea rigidității minime, se datorează blocării ghidajelor, o măsură artificială, mai mult de curiozitate științifică, în realitate acest lucru se poate realiza cel mult parțial, prin care aceste valori ridicăte se vor diminua înspre cele obținute la mașina FV 32-1 cercetată în condițiile de exploatare obișnuită.

$k_{min} = 14,686 \text{ kgf}/\mu$  s-a obținut la FV 35 ceea ce este de 2 ori mai mare ca la FV 32-1.  $k_{med} = 39,6 \text{ kgf}/\mu$  constituie un spor de 2,5 ori mai mare față de FV 32-1. Aceste valori bune se datorează imbunătățirilor constructive care s-au adus mașinilor de frezat cu consola la I.M. Cugir. Valorile rigidității dinamice orientate, la celelalte moduri de vibrații

cuprinse intre  $k = 18.672 \dots 34,2$  cu o excepție de  $k = 120,2$  arată că FV 35 este o mașina cu caracteristici dinamice bune, și destul de omogena din acest punct de vedere.

La rU 35 în schimb  $k_{\min} = 2,9 \text{ kgf}/\mu$ , iar la restul nodurilor de vibrații  $k = 6,070 \dots 29,410$ , rezultând valoarea medie  $k_{\text{med}} = 13,31 \text{ kgf}/\mu$ . Această valoare medie este mai mică cu 19,5 % față de aceea a mașinii FV 32-1 și de 3 ori mai mică decit aceea a mașinii FV 35, deși de aceasta se deosebesc în principal prin partea superioară a batiului. Ceeace este însă mult mai grav este valoarea minimă a lui  $k$ , care pentru această tipodimensiune este inadmisibilă, acest element disproportionat limitind simțitor posibilitățile tehnologice ale mașinii și deci și productivitatea.

Avînd deci calculate valorile rigidităților dinamice pe axe de coordonate / proiecții / precum și cea orientată, devine posibilă calcularea - cu ajutorul relației / 5.36 / - a unghiurilor pe care închid direcția principală a fiecărei mod de vibrație cu axele de coordonate /  $\xi^0$  /. Aceste valori sunt foarte utile la depistarea nodurilor dinamic slabe, cu ajutorul deformelor nodurilor de vibrații. Pentru același scop servesc și valorile masei generalizate /  $m$  / calculate pentru fiecare mod de vibrație, cu ajutorul relației / 5.34 /.

#### 7.1.4 Analiza deformelor nodurilor de vibrații.

Deformatele mașinilor de frezat cu consolă cercetate, au fost reprezentate în figurile : 6.6 ... 6.9 în cele 3 plane: xy - xz, yz, precum și în construcția izometrică xyz. Analiza deformelor structurii la diferite moduri de vibrații, permite depistarea nodurilor dinamic slabe, care contribuie simțitor la apariția cedărilor dinamice ale structurii, respectiv la diminuarea rigidității dinamice. Procedeul de analiză fiind calitativ, iar structurile cercetate fiind complexe, există probabilitatea și a unor aprecieri subiective. În vederea diminuării acesteia, se lăzează cu un mod de reprezentare a deformelor suficient de detaliat / cap. 6.3 /. Deformatele nodurilor de vibrații, sunt complecate cu reprezentările la scară ale amplitudinilor unor noduri importante ale structurilor analizate, iar folosirea combinată a celor două reprezentări, permit apropierea la siguranță aprecierilor obiective.

Reprezentarea grafica a amplitudinilor unor noduri importante, sint tratate in cap. 6.4 si redate pe fig. 6.10 ... 6.13 pentru cele 4 MU analizate. Scara reprezentarii este de 500 : 1 . Contributia acestui gen de grafic, la ameliorarea metodei de analiza a deformatiei, consta din natura preponderent relativă a valorilor amplitudinilor reprezentate, ceeace permite aprecierea mai obiectivă a modificarilor dimensionale ce iau nastere în noduri, cuplaje, organe sau subansamblu, putindu-se localiza acestea, fără influența altor ansamblu suportante, ceeace nu este totdeauna posibil numai cu ajutorul deformatiei, ridicata pe baza măsurarii absolute / în cazul prezent - seismice - / a amplitudinilor de rezonanță a punctelor masurate.

FV 32-1 / fig. 6.6 resp.  $59 P_x$  ...  $91 P_z$  ; fig. 6.10 /

Mașina are o șchiopătare pe fundație în direcția axelor  $x$  și  $z$  la modurile :  $59 P_x$  și  $29 P_y$  . În mod direct, această mișcare nu cauzează o deplasare relativă între S-P, dar se ia în considerare la cele cîteva amplitudini absolute / de ex.: vibrația capului de frezat /, pentru a putea aprecia contribuția reală a acestora din urmă. Indirect, șchiopătarea mașinii poate cauza vibrații de natură seismică - îndeosebi la elemente cu legături prin ghidaje sau lagăre - care pot funcționa ca absorbitori de vibrații de una din genurile din anexa : A 11 .

La modul de vibrații  $29 P_y$ , se constată încovoierea pronunțată a plăcii de bază.

Rigiditatea montantului este bună / poz. 5 /, în schimb partea superioară orizontală, la modul  $59 P_x$  prezintă o răsucire simțitoare, iar la modul  $29 P_x$  o încovoiere laterală - oblică. Aceeași parte superioară orizontală a batiului la modul de vibrație  $79 P_y$  se încovoiează simțitor în direcția axei  $z$  a planului  $x-y$  / poz. 7 /.

Capul de frezat, în mod evident se comportă similar și proporțional cu partea superioară orizontală a batiului.

În lagărul arborelui principal, apare amplitudine dinamică mare în direcția axei  $x$  la modul  $79 P_y$ , iar în direcția axei  $y$  la modul  $59 P_x$  precum și  $29 P_y$ . Direcția, dar chiar și frecvența, în acest caz sunt prea puțin concludente, fiind vorba de lagăr de rostogolire, deci cele de mai sus sunt determinate de poziția întîmplătoare a corpurilor de rostogolire față de direcția exactă de excitație. Trebuie însă reținută valoarea absolută ridicată a amplitudinilor, ceeace denotă o portan-

ță insuficientă a rulmentului, sau/si lipsa pretensionării acestuia în măsura corespunzătoare solicitării arborelui principal.

Comportarea consolei față de ghidajul ei vertical este în mare măsură determinantă - datorită rapoartelor de amplificare al principiului constructiv al întregului ansamblu - asupra corelației privind distanța S-P. Cedarea consolei în ghidaje, în direcția axei z apare simțitor la modul  $29 P_y$ , paralel în ambele ghidaje și cu jumătate de intensitate la  $79 P_y$ . În acest caz cedează cuplul : arbore filetat - piuliță al deplasării verticale a consolei./ poz. 14 /. În direcția axei y / poz 15 / apare cedare moderată /  $10 \mu$  / în fiecare mod de vibrație, în mod paralel în ambele ghidaje, cu excepția modurilor  $59 P_x$  și  $86 P_x$ , la cari sensul cedărilor este opus la cele două ghidaje. Acest mod de apariție a cedărilor este firesc, având în vedere direcțiile de excitație, rezultând ca sursă a cedării : construcția ghidajelor verticale, cari au această limită de stăpînire a jocurilor.

Deplasarea în direcția axei x a extremității consolei este simțitoare la modul de vibrație  $59 P_x$  și ceva mai redusă la  $66 P_z$ , după cum rezultă, aparținind frecvenței critice a anterioarei, fiind rezultatul unei cedări prin rotire în jurul unei axe verticale paralele / sau suprapusă / cu una din ghidajele verticale. Rezulta în mod evident, ca ghidajul în unghi / coadă de rîndunică / să această solicitare, nu se poate opune cu eficacitatea necesară.

Cedarea extremității consolei în direcția axei z este mare la modul de vibrație  $79 P_y$  și pare să fie cauzată de cedarea la încovoiere a corpului consolei, acest mod de excitație fiind mai solicitantă chiar decât cele după axa z, datorită brațului mare a aplicării forței. La modurile :  $66 P_z$  și  $91 P_z$  cedarea este simțitoare, ale caror cauze este identică cu aceleia dela poz.: 15. În continuare, corpul consolei prezintă semne de răsucire la modul  $86 P_x$  / poz.: 19 /.

La  $86 P_x$  apare o cedare axială simțitoare a mesei în ghidajele longitudinale / poz. 20 / și se datorește cuplului : arbore filetat - piuliță - lagăre al mecanismului de avans longitudinal.

Din deformările modurilor de vibrații, apar modificări pronunțate a formei și poziției mesei longitudinale. În mare parte se datorește deplasării și deformației corpului consolei, care este suportul de bază al mesei. Aceasta are totuși și deforma-

tii proprii, îndeosebi la cele două extremități libere : astfel la  $59 P_x$  și  $86 P_x$  apar deformații de rasucire îndeosebi în partea în care este așezat excitatorul, fenomen ce apare și la modul de vibrații  $91 P_z$ , în mod perceptibil. Cauza este insuficientă rigiditatea proprie a mesei longitudinale, fenomen de altfel prezent în măsură mai mare sau mai mică la mai toate mașinile de frezat cu consolă, datorită grosimii limitate a corpului mesei, din considerente constructive - tehnologice. Ceea ce însă completează rigiditatea mesei longitudinale, este ghidajul ei, care aparține saniei transversale. În cazul mașinilor de tip : FV 32 acest ghidaj susține masa longitudinală doar pe cca.  $1/2$  din lungimea ei, cele două capete, destul de lungi rămase nesprăjnite suferă deformații dinamice susmentionate. De altfel cele de mai sus pot fi urmărite fidel pe desenele deformatelor.

Drept însumare algebrică a tuturor cedărilor la diferite nivele ale structurii, rezultă deplasarea relativă între S-P:

În direcția axei x rezultă valoare mare la  $59 P_x / 32 \mu /$ , iar cîte  $17 \mu$  la  $86 P_x$  și  $29 P_y /$  poz.  $23 /$ . Aceste cedări relative între S-P sunt hotărîtoare în comportarea dinamică a MU, deoarece variațiile grosimii de așchie - care în mare măsură depinde de această cedare - pot cauza pierderea stabilității sistemului MUDPS .

În direcția axei y apare cedare mare /  $30 \mu /$  între S-P la modul de vibrații  $29 P_y$  și de  $18 \dots 21 \mu$  la modurile de vibrații  $66 P_z$  și  $91 P_z$ . Aceste cedări relative între S-P au influență ceva mai redusă asupra apariției instabilității datorită domeniului tehnologic relativ rar exploatat în această direcție de avans. Efectul lor se resimte mai mult ca componentă împreună cu direcția axei x .

Deplasare relativă mare între S-P în direcția axei z , apare la modul de vibrație  $59 P_x / 28 \mu /$  și foarte mare /  $48 \mu /$  la  $79 P_y$ . Influența acestora este de mică importanță , deoarece în direcția axei z , cu excepția cazului cînd se lucrează cu adincimi de așchiere foarte mici, influența variației distanței între S-P, asupra variației grosimii așchiei, la acest tip de MU, este neglijabilă.

FV 32-2 / fig. 6.7 resp.  $46 P_x \dots 110 P_z$  ; fig. 6.11 / Mișcarea de șchiopătare a mașinii pe fundație, apare la modurile de vibrații :  $46 P_x$  ;  $110 P_x$  și  $68 P_y$  atît în direc-

ția axei  $x$  / planul  $x y$  /, cît și în direcția axei  $y$  / planul  $y z$ , la care în acest caz s-au considerat amplitudinile orizontale a montantului și nu cele verticale a plăcii de bază, ca în cazul precedent /. Se pare că în aceste condiții a blocării ghidajelor, înființarea absorbitorilor de vibrații, întreținute în deosebi de aceste mișcări, are loc în măsură puțin perceptibilă.

Încovoierea plăcii de bază apare în mod simțitor la  $110 P_z$ .

Partea superioară a batiului prezintă cedări dinamice de încovoiere în direcția axei  $x$  în planul  $x z$  la modul  $110 P_z$ , tot în direcția axei  $x$  în planul  $x y$  la modurile :  $46 P_x$  și  $68 P_y$ , precum și în direcția axei  $z$  în planul  $y z$  la modurile:  $89 P_x$ ;  $63 P_z$ ;  $78 P_z$ ;  $89 P_z$  și  $110 P_z$ .

Cedarea dinamică a lagărului de rostogolire al arborelui principal se prezintă deasemenea similar cu aceea dela FV 32-1, iar din considerentele arătate la aceea mașină, s-au analizat cedările numai în direcția unei singure axe, ceea ce este suficient.

Cedarea consolei pe ghidajul ei vertical, în planul  $x z$ , în direcția axei  $z$ , este mică la  $110 P_x$  și aproape impercepțibilă la toate celelalte moduri de vibrații, ceea ce este efectul direct al blocării, acesta nepermittind o alunecare dealungul ghidajelor. În direcția axei  $y$ , din planul  $x y$ , deja apar cedări simțitoare la mai toate modurile de vibrații, constând din îndepărțarea marginii superioare a consolei, de ghidajul ei vertical, înlesnit de construcția acestuia sub formă de coadă de rîndunică, fiind părțida blocării ghidajului.

Amplitudinea în direcția axei  $x$  a extremității consolei poate avea loc din același motive ca mai sus, și este firesc să apară la modurile de vibrații :  $46 P_x$ ;  $68 P_y$  și  $89 P_z$ , la cari în cazul anterior / poz. 14 din fig. 6.11 / cedările în direcția  $y$  a marginii superioare a consolei, față de cele două laturi ai ghidajului, erau de sens contrar: / rotirea /.

Cedarea dinamică de încovoiere a corpului consolei și probabil și cedarea îmbinării riglei de ghidare verticală a acestuia, este cauza apariției cedărilor în direcția  $y$  a extremității consolei, în deosebi la modurile :  $46 P_x$ ;  $68 P_y$ ;  $89 P_z$ , și în direcția axei  $z$ , la mai toate modurile de vibrații. Corpul consolei mai suferă și deformații dinamice de răsucire la toate cele 3 moduri de vibrații  $P_x$ .

Cedarea dinamică în elementele mecanismului de avans lon-

itudinal, permit apariția unor amplitudini mari a mesei longitudinale, la modurile de vibrații :  $89 P_x$  și  $110 P_x$ .

Deformațiile extremităților mesei longitudinale apar mai pronunțate la modurile :  $46 P_x$  și  $110 P_x$  îndeosebi pe partea pe care este montat excitatorul, din motive evidente.

În aproape toate modurile de vibrații, apar deplasări relative mari între S-P în deosebi în direcțiile concludente :  $x$  și  $y$ . Motivul principal este excluderea amortizării filmului de lubrefiant din marile suprafete a ghidajelor de alunecare. În lipsa acestora, o serie de absorbitori de energie ai vibrației devin inexistenți, iar elementele structurii sunt supuse amplitudinilor dure, rigide a forței de excitație. În principiu, blocarea săniilor duce la creșterea rigidității cuplajelor și implicit la creșterea rigidității structurii, deci și o comportare dinamică cu bilanț favorabil, dacă aceste ansamble care comportă noduri cu cedare dinamică, prin aceste blocări se solidarizează reciproc la un element de bază / de ex.: batiu / cu rigiditate proprie mare. Un asemenea element este montantul vertical, dar în cazul mașinilor din familia 32, solidarizarea consolei - chiar prin blocarea ghidajelor - nu asigură o rigidizare suficientă a consolei față de montant. Această insuficiență se datează în deosebi : ghidajului vertical al consolei care este mai scăzut și mai îngust decât ar fi necesar față de proporțiile dimensionale și a masei ansamblului consolei, precum și profilul nepotrivit pentru acest caz al ghidajului. Rigiditatea proprii a corpului consolei, privind încovoierea și răsucirea, este neîndestulătoare și care deasemenea contribuie la comportarea dinamică în anumite cazuri insuficient de satisfăcatoare a structurii .

FV 35. / fig. 6.8 resp.  $26 P_x \dots 108 P_z$ ; fig. 6.12 / Mașina execută vibrația de șchiopătare moderată /  $12 \dots 16 \mu$  / în direcția axei  $x$ , la modurile de vibrații :  $26 P_x$ ;  $75 P_x$ ;  $34 P_y$ .

Corpul vertical al batialui / montantul / are deformații aproape imperceptibile /  $2 \dots 3 \mu$  /, în schimb partea superioară, care înglobează și capul de frezat / grinda /, prezintă amplitudini semnificative în direcția axei  $x$ , la toate modurile /  $12 \dots 21 \mu$  /, la  $75 P_x$  chiar mare /  $32 \mu$  /. Acest fapt denotă rigiditate relativ scăzută nu numai dinamica, ci și statică.

Comportare similară are grinda și în direcția axei  $z$ , unde cedarea culminează la modul  $28 P_z / 44 \mu$ . În mod proporțional se comportă capul de frezat propriu zis.

Jocul în lagărul arborelui principal are valoare maximă  $/ 64 \mu$  la modul  $26 P_x$  în direcția axei  $x$ , iar perpendicular atinge  $21 \mu$  la modul  $34 P_y$ .

Cedarea consolei pe ghidajul vertical nu depășește  $10 \mu$  în direcția  $z$ , la modul  $34 P_y$ , și  $11,5 \mu$  în direcția  $y$  la modul  $82 P_z$ . Cedarea extrmității consolei în direcția  $x$ , se încadrează în aceeași valoare, ceea ce dovedește că profilul dreptunghiular al ghidajului vertical a ameliorat rigiditatea contra rotirii în jurul unui ax vertical a consolei. În direcția  $y$  și  $z$  cedarea s-a diminuat deasemenea, față de valorile extreme măsurate la mașinile din familia 32, ridicindu-se aci la  $23 \dots 24 \mu$ , care încă este prea mare și se dătoarește cederii îmbinării ghidajelor verticale, aplicate pe consolă și parțial deformării acestuia.

Răscuirea corpului consolei s-a diminuat deasemenea, datorită modificărilor constructive favorabile ai acestuia.

Cedarea saniei transversale pe consolă în direcția axei  $y$  apare la excitații  $P_y$  și  $P_z$ , fiind cauzate de jocul în mecanismul de deplasare al saniei transversale / arbore filetat-piuliță - lagăre /. În direcția axei  $x$ , cedarea de  $10 \mu$ , la modul  $26 P_x$  și de  $7,5 \mu$  la  $28 P_z$  se poate reduce prin reglarea corectă a penelor pe latura verticală a ghidajului transversal.

Cedarea mesei în ghidajele longitudinale în direcția axei  $x$ , este neglijabilă și se dătoarește în principal, îmbunătățirii constructive a lagăuririi arborelui filetat al deplasării mesei longitudinale.

Deformațiile extremităților mesei longitudinale au valori mici la modurile de vibrații  $26 P_x$  și  $75 P_x$  iar la celelalte moduri sunt neglijabile. Această ameliorare este rezultatul prelungirii ghidajului ce suportă masa longitudinală, cu 25%.

Deplasarea relativă între S-P în direcția axei  $x$ , este mare la modul  $26 P_x / 46 \mu$  și destul de mare la modurile :  $75 P_x$  și  $28 P_z / 21,5 \dots 23 \mu$ , la cari contribuția principală are cedarea dinamică a lagărelor de rostogolire al arborelui principal.

In direcția axei  $y$ , deplasare relativă între S-P, este de valoare foarte mare la modul  $34 P_y$ , din același motiv ca și mai sus, precum și cedările consolei față de ghidajul lui vertical. Acest ultim motiv este principala sursă și la modurile de vibrații  $99 P_y$  și  $108 P_z$ , dar de valoare mai moderată /  $20 \mu$  /

Deplasare relativă între S-P în direcția axei  $z$ , este destul de mare /  $23 \mu$  / la modul  $34 P_y$ , datorită încovoierii grinzi orizontale a batialui, deplasare ce apare - mult mai mică - la mai toate modurile de vibrații.

Mașina de frezat FV 35 dovedește o comportare dinamică simțitor îmbunătățită, ceea ce reiese nu numai din analiza valorilor caracteristice, ci tot așa de convingător rezultă din analiza deformelor modurilor de vibrații. Ameliorarea în principal este rezultatul îmbunătățirilor constructive aduse întregului ansamblu al consolei, precum și ghidării vertivale a acestuia pe batial. Rămâne însă insuficient soluționată rigiditatea lagărului arborelui principal, precum și a părții superioare orizontale a batialui.

FU 35 / fig. 6.9 resp.  $29,5 P_x \dots 111 P_z$ ; fig. 6.13 /.

La modul de vibrație  $76 P_x$  se manifestă mișcarea de schiopătare cu amplitudini destul de mari în toate cele 3 direcții, iar în direcția  $x$  se menține și la  $66 P_x$  și  $84 P_x$ . De altfel FT ai acestori moduri de vibrații față de axa  $x$ , așa cum s-a menționat în pag. 120, au rezultat ca și moduri de vibrații distințe, datorită scindării unui mod de vibrație cu amortizare viscoasă mare, de către cîteva efecte de absorbitor dinamic. Acest fenomen va mai fi reîntîlnit.

Amplitudini de încovoiere al montantului, apar la modurile :  $29,5 P_x$ ;  $84 P_x$  și  $111 P_z$ . Valoarea lor este destul de mică /  $7 \dots 14,5 \mu$  /.

Deformația traversei este foarte mare. La modurile de vibrații  $P_x$ , capătul liber suferă răsuciri puternice, colțurile pe diagonale secțiunii au amplitudini de sens opus, valoare acestora însumate algebric, atinge  $54 \dots 57 \mu$  atât în direcția  $x$ , cât și în direcția  $z$ . Aceste valori culminante apar la modurile :  $66 P_x$  și  $76 P_x$ . Situația este similară și la modurile  $P_z$ , cu deosebirea că traversa - în mod firesc - suferă încovoiere, iar secțiunea ei se deplasează paralel în direcția axei  $z$ . Amplitudinile maxime /  $40 \mu$  / s-au măsurat la modurile :  $55 P_z$

și  $70,3 P_z$ . Trebuie menționat însă că ordinea de mărime a acestor amplitudini, în realitate este mult mai mare în comparație cu cedarea celorlalte ansamblu. În timpul măsurătorilor a fost necesară diminuarea forței de excitație, pîna în apropierea limitei de sensibilitate a AEH, deoarece valoarea amplitudinilor de răspuns, au întrecut cu mult domeniul de măsurare al vibrometrului care s-a folosit. Aceste valori deci corespund forței de excitație diminuată.

Intrucît cedarea pronunțată a traversei apare la toate modurile de vibrații, rezultă că și din punct de vedere al solicitărilor statice, rigiditatea traversei este insuficientă.

Cedarea consolei pe ghidajul vertical, este similară cu aceea dela FV 35, cu excepția cedării extremității consolei în direcția  $x$ , unde la modurile de vibrații :  $66 P_x$ ;  $76 P_x$  și  $84 P_x$  amplitudinea cedării este destul de mare, dar care reiese în mod evident că este de fapt amplitudinea șchiopătării, deci efectiv la consolă nu există o cedare. În general se constată amplitudini și mai mici decit la FV 35, ceea ce se explică prin existența elementului foarte puțin rigid / traversa / care a diminuat posibilitatea de solicitare corespunzătoare a consolei.

Cele de mai sus sunt valabile și pentru cazurile de deformare a corpului consolei / poz. 14 / și al mesei longitudinale / poz. 18 /, precum și cedările săniilor în ghidajele lor / poz. 15 ... 17 /. În concluzie, consola s-a comportat bine.

Drept urmare a cedărilor foarte mari ai traversei, deplasarea relativă între S-P este foarte mare /  $50 \mu$  / la modurile de vibrații  $P_x$ , în direcția  $x$ , / poz. 20 /, la care se mai adaugă o deplasare suplimentară a alezajului contralagărului, produsă de deformarea - datorită rasucirii - traversei în direcția axei  $z$  / poz. 23 /.

Deplasările relative între S-P în direcția axei  $y$  au valori moderate, constituind componente în direcția acestei axe, a marilor deplasări în direcția axelor  $x$  și  $z$ .

În direcția axei  $z$ , deplasările relative între S-P, sunt deasemeni mari, chiar în condițiile diminuării forței de excitație, așa cum s-a menționat mai sus.

Rezulta deci, că mașina FU 35 ca și mașina FV 35, în părțile esențiale are comportare dinamica bună, dar traversa un organ relativ simplu, diminuează în mod regretabil calitățile dinamice ai mașinii, mult sub limita admisibila.

## 7.2 Concluzii privind construcția mașinilor analizate.

In urma analizei rezultatelor cercetărilor efectuate asupra celor 4 mașini de frezat cu consola, rezultă unele concluzii, legate de construcția acestor mașini.

Placa de bază dovedește oarecare insuficiență a rigidității dinamice în planul  $y-z$ , manifestând deformații de încovoiere a portiunii de sub consola. În zona unde momentul încovoietor este maxim, sub ghidajul vertical al batiului, se recomandă redistribuirea materialului în aşa fel ca să rezulte cîteva nervuri longitudinale, spre a se apropiă de solicitarea de egală rezistență a plăcii de bază.

In cazul mașinilor de frezat verticale, partea superioară orizontală a batiului / grinda sau capul de frezat /, fiind în mod pronunțat în consolă, la unele moduri de vibrații are cedări dinamice mari de încovoiere, atât în planul orizontal  $x-y$ , cît și în planul vertical  $y-z$ . Momentul de inerție al secțiunii transversale a grinzelii este prea mic față de solicitări. Această faptă rezultă și prin disproportia dimensiunilor exterioare a celor două părți ale batiului. O creștere a dimensiunilor exterioare a secțiunii transversale a grinzelii, cu numai 28%, ar conduce la dublarea momentului de inerție, reducind bineînțeles din proporția dimensională dintre montant și grindă. Această redimensionare se poate realiza fără mărire greutății proprii a batiului, prin aplicarea unei nervurări interioare raționale, prin gospodărirea corespunzătoare și compensarea deschiderilor pentru montaj, prin apropierea - în secțiunea orizontală și cea verticală - de forma grinzelii de egală rezistență, fără a perturba designul mașinilor.

La mașina de frezat universală FU 35, cele de mai sus sunt valabile în mod accentuat. Creșterea înălțimii secțiunii transversale a traversei - cel puțin în dreptul momentului încovoietor maxim, adică la terminarea încastrării - la dublu, ar asigura creșterea momentului de inerție al traversei de cca. 7 ori, ceea ce ar permite creșterea rigidității dinamice orientate minim, dela  $k_{min} = 2,9 \text{ kgf}/\mu$ , la cca.  $k_{min} = 20 \text{ kgf}/\mu$ . Această măsură ar elinișa această mașină, din punctul de vedere al comportării dinamice, la cele de talia FV 35, redobîndind adevărată ei valoare.

Cedări mari apar în lagărele arborelui principal la toate cele trei mașini de frezat verticale testate. Contribuția acestora la deplasarea relativă între S-P este incontestabilă. Lăgăruirea arborelui principal, ar fi mai potrivită cu rulmenți cu două rînduri de role cilindrice, cu alezaj conic, ceea ce ar permite stăpînirea sigură a jocului respectiv a pretensionării, asigurind un grad de acoperire mare al corpurilor de rostogolire, permîțînd totodată realizarea unui diametru mai mare al arborelui principal.

Ghidajul vertical de pe batiu, are rol determinant în comportarea dinamică a mașinilor de frezat cu consolă. Daca prin construcția lui, poate asigura o bună solidarizare a ansamblului consolei cu montantul batiului, acesta din urmă va participa cu rigiditatea proprie, la stabilizarea și rigidizare ansamblului consolei - celălalt membru de închidere din partea MU a legăturii S - P . In acest scop ghidajul trebuie să fie cît mai lat, pentru a putea opune un cuplu rezistent mare, împotriva momentului forței de aşchiere. Raportul brațului forței de aşchiere față de lățimea ghidajului, va determina gradul de transmitere a jocului inherent ghidajului, la zona dintre S-P. Profilul ghidajului trebuie să aibă o poziție cît mai aproape de perpendiculara față de direcția de cedare al organului ghidat, să fie robustă și deci și rigidă, pentru a nu diminua din rigiditatea mare al montantului batiului.

Din aceste puncte de vedere, ghidajul mașinilor din familia 32 este deficitar, ceeace explică parțial comportarea dinamica mai slabă. Ghidajele sunt înguste, cu profil subțiat / coardă de rîndunică / rigiditatea proprie al secțiunii transversale fiind redusă, iar forma geometrică a lui, înglesnește amplificarea de 1,75 ori al jocului din ghidaje, pe consolă, ceea ce constituie cel puțin '1/2 din amplitudinea de vibrație a consolei.

La mașinile din familia 35 , ghidajul vertical de pe batiu este de profil dreptunghiular, deci mai rigid și din punct de vedere geometric, mai avantajos. Acestea s-au oglindit prin amplitudini de cedare mai mici ai ansamblului consolei, la mașinile FV 35 și FU 35 . In acest domeniu, o soluție ideală ar fi dacă parteoa frontală a batiului ar constitui suprafața de glisare a consolei, pe o lățime de 550 mm, față de 310 mm existent.

In acest fel, raportul de amplificare al jocului din ghidaje, ar primi alt sens, devenind demultiplicator în valoare de cca. 0,6 . Cedarea în direcția axei x , cauzată numai de rotirea consolei în jurul unei axe verticale, s-ar diminua considerabil. Consola cu un asemenea ghidaj lat, ar permite extinderea ecartamentului și al ghidajului transversal și , cari la rîndul lor ar permite mărirea stabilității tuturor elementelor, pînă inclusiv la masa longitudinală.

Considerentele cu privire la ghidarea verticală a consollei - tratate mai sus - desigur sănt valabile și pentru profilul negativ al ghidajului de pe corpul consolei. Se ridică însă și unele probleme suplimentare față de cele de la ghidajul de pe batiu. Daca la batiu, solidarizarea ghidajului cu corpul batiului, nu prezinta probleme, ghidajul vertical fiind turnat împreună cu corpul batiului, formînd un monolit, în cazul ghidajului negativ de pe consolă, acest lucru este numai parțial posibil, în majoritatea cazurilor ramura de învăluire a spotelui ghidajului, este o riglă aplicată. Aceasta este și soluția găsita la mașinile din familia 32 . La alte mașini - preponderind considerentul tehnologic al execuției - cea mai mare parte a ghidajului este aplicat. Mobilul acestei soluții - aplicată la mașinile din familia 35 - a fost probabil dorința de a face mai rigidă rigla aplicată, prin creșterea secțiunii din considerente funcționale. Desenele deformatelor indică cedări mai mici la această ultimă soluție, totuși mai rămîne cedare de încovoiere și de torsiune simțitoare, ceea ce se datorează rigidității neîndestulătoare a nodului de jonctionare al riglei cu corpul consolei, precum și al corpului consolei propriu zis./ planul x y și mai ales planul y z /.

Ca soluție minimală, se propune întărirea prin nervuri de rigidizare a zonei de legătura și pereteilor laterali ai consolei, cu suprafețele pe cari sunt fixate riglele de ghidare verticale. În limita posibilităților să fie compensate prin nervuri suplimentare, deschiderile laterale îndeosebi pe pereteii consolei mașinilor tip 32 , spre a se putea apropia de forma grinții de egală rezistență la încovoiere. La solicitarea de torsiune, rigiditatea cea mai mare prezintă secțiunea de cadru închis, ceea ce în nica măsură este stîsfăcut la familia 32 în deosebi. Se recomanda închiderea în mai mare măsura a conțuru-

lui corpului consolei - la ambele familii de mașini de frezat cu consolă - în deosebi pe partea inferioară, în zona motorului de avans.

Ca soluție maximală, se propune realizarea ghidajului vertical al corpului consolei, în măsura maximală turnat monolit, cu secțiune foarte întărิตă în zona de legătură al ghidajului vertical, cu corpul orizontal al consolei. Totodată se propune lungirea ghidajului vertical cu cca 70 mm, cea ce devine posibilă prin aplicarea ghidării pe suprafața frontală a batiului pe lățimea de 550 mm. Prin aceasta masura devine posibilă lățirea la aceeași dimensiune a ghidajului transversal, împreună și proporțional cu corpul cumssolei. În acest fel devine facilă introducerea unor pereti și nervuri care să compenseze deschiderile laterale.

Având ghidajul vertical lungit, penele verticale laterale de reglaj vor trebui să aibă lungime corespunzătoare și astfel se va putea diminua simțitor cedarea în ghidaje în jurul axei y.

Deformațiile mesei longitudinale sunt simțitor diminuate la mașinile tip 35, față de tip 32, prin lungirea ghidajului său de pe sanie transversală cu cca. 25 %. Prin lățirea ghidajului saniei transversale, cu cca. 15 %, acest ghidaj se va mai putea lungi cu cel puțin aceeași procentaj, prin care masa longitudinală de 1400 mm. va fi susținută pe 80 % din lungime, care constituie deja o proporție optimă. Se poate considera că prin acestă măsură, deformațiile extremităților mesei longitudinale se vor reduce la valori mici.

In bunătățirile constructive ce s-au adus lăgruirii arborelui filetat pentru deplasarea mesei longitudinale, au redus simțitor, la mașinile familiei 35, cedările mesei în ghidajele longitudinale, așa cum rezultă și din valorile deformatelor. Se propune în continuare îmbunătățirea comportării dinamice și a nodului : surub - piuliță al aceluiași mecanism prin aplicarea unui sistem de compensare a jocului cu funcționare automată, sistemul actual la anumite frecvențe având cedare simțitoare, comportându-se bine mai ales în cazul solicitărilor quasi-statice.

În sfîrșit, ghidarea extremității consolei pe una sau două coloane de ghidare, cu blocare hidraulică automată, ar putea reduce cca. 1/2 din cedările consolei.

## 8. Considerații privind procesul tehnologic de frezare.

Cea de a doua cale a valorificării rezultatelor analizei comportării dinamice a mașinilor de frezat cu consolă - precum s-a menționat în cap. 1 - conduce la determinarea domeniilor tehnologice și structurii MU cu stabilitate dinamică ridicată, spre a oferi tehnologului posibilitatea de a amplasa procesul tehnologic de așchiere, într-o liniă din aceste domenii favorabile. În acest mod se pot atinge deasemenea, adâncimi limită de așchiere mai mari, și deci și productivitate mai mare.

În acest sens se pornește dela considerațiile teoretice tratate în capitolele : 2.6 și 2.7 , cu privire la vibrațiile autoexcitate cauzate de efectul regenerativ și de cuplarea poziției. Ridicarea diagramelor de stabilitate - așa cum rezulta din concluziile îndeosebi ai subcapitolului 2.6.3 și 2.6.5 - se va putea realiza exclusiv pe baza determinării pe cale experimentală a cedării dinamice a structurii - relația 2.19 ne putând descrie în prezent comportarea dinamica astăzi de complexă a unei structuri de mașină unealta universală. Determinările experimentale au fost tratate în capitolul 5 , iar rezultatele acestora au fost cuprinse în anexele aparținătoare acestui capitol și cără vor fi refolosite în cele ce urmează.

### 8.1 Analiza dinamică a procesului tehnologic de frezare.

În decursul unui proces de așchiere stabil, asupra sistemului MUPDS acționează o forță de așchiere statică  $P_0/t/$ , a cărei valoare depinde de : secțiunea așchiei, așchiabilitatea materialului semifabricatului, geometria sculei, precum și viteza de așchiere.

O forță perturbatoare suplimentară  $P_p/t/$ , din exteriorul sau interiorul mașinii, sau chiar din PA, poate declanșa vibrația sistemului MUPDS. Acestea cauzează în zona de așchiere, deplasări relative între S-P , care au ca efect ondularea suprafeței așchiante. La trecerea sculei următoare pe suprafața de așchiere ondulată, apar forțe dinamice  $P/t/$  datorită variației grosimii așchiei și cără vor acționa deasemenea asupra structurii. Într-un proces de așchiere dinamic va acționa deci forță totală :

$$P_{\text{tot}}/t/ = P_0/t/ + P_p/t/ + P/t/ \quad / 8.1 /$$

Forța de așchieri statică  $P_0/t/$ , precum și forța de excitație ocazională  $P_p/t/$ , nu joacă rol în analiza stabilității circuitului de reacție, deci nu se mai iau în considerație.

Mecanismul efectului regenerativ într-un proces de așchiere, constă în apariția la timpul  $t$  a unei deplasări relative în zona de așchiere, ale cărei proiecții pe cele 3 axe de coordonate carteziene le notăm cu :  $x/t/$ ;  $y/t/$ ;  $z/t/$ . Aceste deplasări, nedorite dar inerente PA dinamic, produc - împreună cu suprafața ondulată de așchiere realizat la timpul  $/ t - \zeta /$  de către cușitul anterior, a cărei deplasare relativă materializată prin ondulații, având proiecțiile :  $x/t - \zeta /$ ;  $y/t - \zeta /$ ;  $z/t - \zeta /$  - pe fiecare tăis, variații ale grosimii de așchiere  $u_i$ , ale cărei componente după cele 3 axe de coordonate sunt :

$$\begin{aligned} u_x/t/ &= -x/t/ + x/t - \zeta / \\ u_y/t/ &= -y/t/ + y/t - \zeta / \\ u_z/t/ &= -z/t/ + z/t - \zeta / \end{aligned} \quad / 8.2 /$$

Transformata Laplace a acestor ecuații va fi :

$$\begin{aligned} u_x/i\omega/ &= x / e^{-i\omega\zeta} - 1 / \\ u_y/i\omega/ &= y / e^{-i\omega\zeta} - 1 / \\ u_z/i\omega/ &= z / e^{-i\omega\zeta} - 1 / \end{aligned} \quad / 8.3 /$$

Aici  $\zeta$  este timpul necesar rotirii frezei cu un pas al dinților.

Proiecțiile componentelor  $u_x$ ;  $u_y$ ;  $u_z$  pe direcția rezultantă a variației grosimii așchiei  $u_i$  / 8.4 /, furnizează contribuția variației grosimii de așchie, produs de către deplasările relative după axele de coordonate  $x$ ;  $y$ ;  $z$ ; asupra acestuia / fig 8.1 / .

$$\begin{aligned} u_i/x/ &= u_x \cdot \cos \varphi_i \cdot \sin \alpha \\ u_i/y/ &= -u_y \cdot \sin \varphi_i \cdot \sin \alpha \\ u_i/z/ &= u_z \cdot \cos \alpha \end{aligned} \quad / 8.4 /$$

Forța de așchiere dinamică  $P/t/$ , cauzată de variația

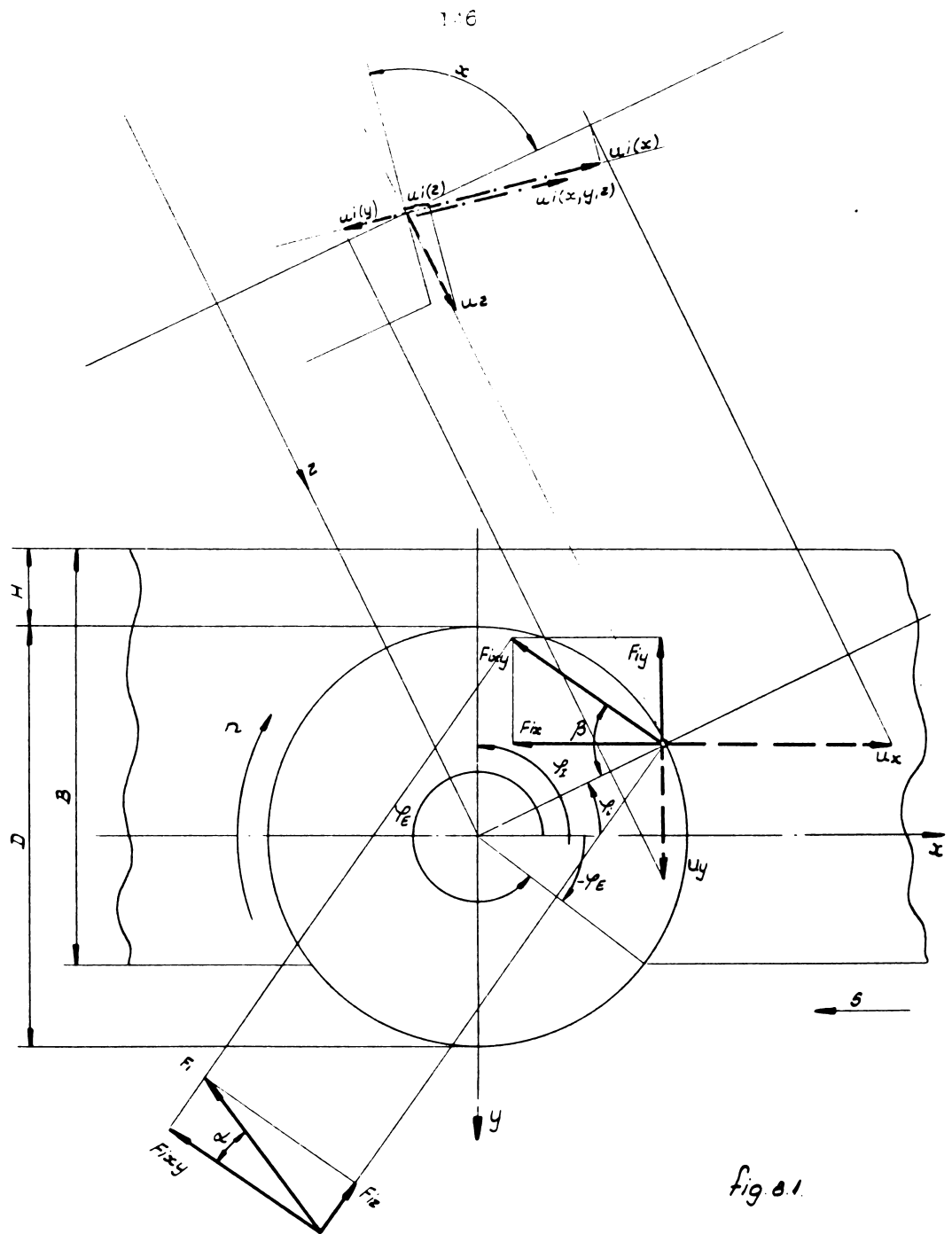


fig. 8.1

$$\cos[\varphi_I + 180^\circ - \beta] = \cos[180^\circ + (\varphi_I - \beta)] = -\cos(\varphi_I - \beta)$$

$$\sin[\varphi_I + 180^\circ - \beta] = \sin[180^\circ + (\varphi_I - \beta)] = -\sin(\varphi_I - \beta)$$

grosimii așchiei, este proporțională cu aceasta, prin factorul  $k_c$ , denumit coeficient dinamic de așchiere. Componenții rezultantei forței de așchiere dinamice, ca efecte ale deplasărilor relative după cele 3 axe de coordonate, sunt :

$$P_i/x/ = k_c \cdot u_i/x/$$

$$P_i/y/ = k_c \cdot u_i/y/$$

$$P_i/z/ = k_c \cdot u_i/z/$$

/ 8.5 /

Directia forței de așchiere este determinată prin unghiurile  $\alpha$ , și  $\beta$  / fig. 3.11 resp. 8.1 /. Unghiul  $\alpha$  este cuprins între rezultanta forței de așchiere - orientată în spațiu - și proiecția ei în planul x y , iar  $\beta$  este cuprins între această proiecție și normala față de suprafața așchiată, originea lor fiind tăișul cuțitului frezei, aflat la mijlocul suprafeței așchiiate. Având în vedere universalitatea acestui proces tehnologic, aranjamentul S-P ne fiind limitat în întregul domeniul de  $360^\circ$ , originea axelor de coordonate trece prin intersecția axei de rotație a frezei și planul ei frontal, iar originea forței de așchiere / contactul între S-P / este determinat de unghiul  $\varphi_i$ . Componentele proiecțiilor forței de așchiere, la tăișul al i - lea, proiectate pe cele 3 axe de coordonate și cauzate de deplasările după cele 3 axe de coordonate, vor fi :

$$P_{ix}/x/ = - P_i/x/.cos\alpha.cos/\varphi_i-\beta/$$

$$P_{ix}/y/ = - P_i/y/.cos\alpha.cos/\varphi_i-\beta/$$

$$P_{ix}/z/ = - P_i/z/.cos\alpha.cos/\varphi_i-\beta/$$

$$P_{iy}/x/ = - P_i/x/.cos\alpha.sin/\varphi_i-\beta/$$

$$P_{iy}/y/ = - P_i/y/.cos\alpha.sin/\varphi_i-\beta/$$

$$P_{iy}/z/ = - P_i/z/.cos\alpha.sin/\varphi_i-\beta/$$

/ 8.6 /

$$P_{iz}/x/ = P_i/x/.sin\alpha$$

$$P_{iz}/y/ = P_i/y/.sin\alpha$$

$$P_{iz}/z/ = P_i/z/.sin\alpha$$

Aceste relații de influență se regăsesc destul de prezent în CR ridicate la excitația structurii. Dacă se fac înlocuirile relațiilor 8.3 ... 8.5 , se poate scrie :

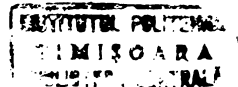
$$\begin{aligned}
 P_{ix}/x/ &= -x / e^{-i\omega t} - 1 / k_c \cdot \cos \alpha \cdot \sin \vartheta \cdot \cos \varphi_i \cdot \cos(\varphi_i - \beta) \\
 P_{ix}/y/ &= -y / e^{-i\omega t} - 1 / k_c \cdot \cos \alpha \cdot \sin \vartheta \cdot \sin \varphi_i \cdot \cos(\varphi_i - \beta) \\
 P_{ix}/z/ &= -z / e^{-i\omega t} - 1 / k_c \cdot \cos \alpha \cdot \cos \vartheta \cdot \cos \varphi_i \\
 P_{iy}/x/ &= -x / e^{-i\omega t} - 1 / k_c \cdot \cos \alpha \cdot \sin \vartheta \cdot \cos \varphi_i \cdot \sin(\varphi_i - \beta) \\
 P_{iy}/y/ &= -y / e^{-i\omega t} - 1 / k_c \cdot \cos \alpha \cdot \sin \vartheta \cdot \sin \varphi_i \cdot \sin(\varphi_i - \beta) \\
 P_{iy}/z/ &= -z / e^{-i\omega t} - 1 / k_c \cdot \cos \alpha \cdot \cos \vartheta \cdot \sin \varphi_i \\
 P_{iz}/x/ &= x / e^{-i\omega t} - 1 / k_c \cdot \sin \alpha \cdot \sin \vartheta \cdot \cos \varphi_i \quad / 8.7/ \\
 P_{iz}/y/ &= y / e^{-i\omega t} - 1 / k_c \cdot \sin \alpha \cdot \sin \vartheta \cdot \sin \varphi_i \\
 P_{iz}/z/ &= z / e^{-i\omega t} - 1 / k_c \cdot \sin \alpha \cdot \cos \vartheta
 \end{aligned}$$

Rezultă deci, că fiecare dintre cele 3 deplasări relative :  $x ; y ; z$  ; produce componente ale forței de așchiere în toate cele 3 direcții de coordonate. Astfel prin PA iau naștere cupluri de poziție între cedările structurii în diferite direcții, chiar dacă structura propriu zisa nu cauzează așa ceva.

În considerente de rationalizare, se izolează factorii trigonometrici din relațiile /8.7/ denumiți și coeficienți direcționali :

$$\begin{aligned}
 P_{ix}/x/ &= u_x/i\omega/.k_c \cdot R_{ixx} \\
 P_{ix}/y/ &= u_y/i\omega/.k_c \cdot R_{ixy} \\
 P_{ix}/z/ &= u_z/i\omega/.k_c \cdot R_{ixz} \\
 P_{iy}/x/ &= u_x/i\omega/.k_c \cdot R_{iyx} \\
 P_{iy}/y/ &= u_y/i\omega/.k_c \cdot R_{iyy} \quad / 8.8/ \\
 P_{iy}/z/ &= u_z/i\omega/.k_c \cdot R_{iyz} \\
 P_{iz}/x/ &= u_x/i\omega/.k_c \cdot R_{izx} \\
 P_{iz}/y/ &= u_y/i\omega/.k_c \cdot R_{izy} \\
 P_{iz}/z/ &= u_z/i\omega/.k_c \cdot R_{izz}
 \end{aligned}$$

unde :



$$\begin{aligned}
 R_{ixx} &= -\cos\alpha \cdot \sin\alpha \cdot \cos\varphi_i \cdot \cos(\varphi_i - \beta) / \\
 R_{ixy} &= -\cos\alpha \cdot \sin\alpha \cdot \sin\varphi_i \cdot \cos\varphi_i \cdot \cos(\varphi_i - \beta) / \\
 R_{ixz} &= -\cos\alpha \cdot \cos\alpha \cdot \cos\varphi_i \cdot \cos(\varphi_i - \beta) / \\
 R_{iyx} &= -\cos\alpha \cdot \sin\alpha \cdot \cos\varphi_i \cdot \sin\varphi_i \cdot \cos(\varphi_i - \beta) / \\
 R_{iyy} &= -\cos\alpha \cdot \sin\alpha \cdot \sin\varphi_i \cdot \sin\varphi_i \cdot \cos(\varphi_i - \beta) / \quad / 8.9 / \\
 R_{iyz} &= -\cos\alpha \cdot \cos\alpha \cdot \sin\varphi_i \cdot \cos(\varphi_i - \beta) / \\
 R_{izx} &= \sin\alpha \cdot \sin\alpha \cdot \cos\varphi_i \\
 R_{izy} &= \sin\alpha \cdot \sin\alpha \cdot \sin\varphi_i \\
 R_{izz} &= \sin\alpha \cdot \cos\alpha
 \end{aligned}$$

Cu ajutorul relațiilor de mai sus, se obțin componentele forței de aschieră, care acționează asupra unui dintă al frezei :

$$\begin{aligned}
 P_{ix} &= k_c / R_{ixx} \cdot u_x + R_{ixy} \cdot u_y + R_{ixz} \cdot u_z / \\
 P_{iy} &= k_c / R_{iyx} \cdot u_x + R_{iyy} \cdot u_y + R_{iyz} \cdot u_z / \quad / 8.10 / \\
 P_{iz} &= k_c / R_{izx} \cdot u_x + R_{izy} \cdot u_y + R_{izz} \cdot u_z /
 \end{aligned}$$

La freză fiind simultan mai mulți dinți în atac, coeficienții direcționali globali rezultă din însumarea coeficienților direcționali al fiecărui dintă :

$$R_{jk} = \sum_{i=1}^{z_c} R_{ijk} \quad / 8.11 /$$

Sistemul de ecuații ai componentelor forței de aschieră pentru întreaga suprafață de atac S-P se va putea scrie :

$$\begin{aligned}
 P_x &= k_c / R_{xx} \cdot u_x + R_{xy} \cdot u_y + R_{xz} \cdot u_z / \\
 P_y &= k_c / R_{yx} \cdot u_x + R_{yy} \cdot u_y + R_{yz} \cdot u_z / \quad / 8.12 / \\
 P_z &= k_c / R_{zx} \cdot u_x + R_{zy} \cdot u_y + R_{zz} \cdot u_z /
 \end{aligned}$$

In acest caz, desigur se vor lua în considerare numai coeficienții direcționali cuprinși între unghiul de intrare  $\varphi_i$  al frezei în piesă, și unghiul de ieșire  $\varphi_E$ , adică :

$$\begin{aligned} R_{ixx} \dots R_{izz} &\neq 0 \text{ pt. } \varphi_E \leq \varphi_i \leq \varphi_I & / 8.13 / \\ R_{ixx} \dots R_{izz} &= 0 \text{ pt. } \varphi_E \geq \varphi_i \geq \varphi_I \end{aligned}$$

Intrucit coeficientii direcționali sunt funcție de unghiul  $\varphi_i$ , devin astfel ei însăși variabile în timp. Variația în timp a coeficientilor direcționali, rezultă și din fig. 2.1, unde s-a considerat o turăie constantă a frezei, putindu-se scrie relația :

$$\varphi_i/t = \frac{2\pi}{T} t + \frac{i - 1/2\pi}{z} \quad / 8.14 /$$

Din suprapunerea factorilor corespunzători fiecărui dintre al frezei, rezultă o funcție inconstantă a factorului direcțional  $R_{jk}/t$ , care variază periodic cu frecvența de atac a dintilor frezei.

Introducerea coeficientilor direcționali funcție de timp în calculele diagramei de stabilitate, mărește considerabil volumul calculelor, ceea ce ar putea pune sub semnul întrebării aplicabilitatea practică a acestui procedeu. Roese [47] demonstrează că în cazul limitei scăzute de stabilitate - deci cazurile critice și interesante din practică - coeficientii direcționali funcție de timp, pot fi substituiri - fără abateri simțitoare - cu valoare lor medie în timp. În continuare, în vederea simplificării calculelor necesare stabilității, se vor întrebuița aceste valori medii în timp  $R_{jk\bar{m}}$  ale coeficientilor direcționali.

Aceste valori medii ale coeficientilor direcționali se obțin prin integrarea coeficientilor direcționali funcție de timp, între limitele arcului de atac al frezei față de piesă, luând în considerare și numărul de dinți ai frezei.

$$\begin{aligned} R_{xx} &= z_c \cdot R_{ixx} = -z \frac{\varphi_I - \varphi_E}{2} \cos \alpha \cdot \sin \chi \cdot \cos \varphi_i \cdot \cos(\varphi_i - \beta) & / 8.15 / \\ R_{xx\bar{m}} &= \int_{\varphi_E}^{\varphi_I} R_{xx} \cdot d\varphi_i = -\frac{z}{2\pi} \cos \alpha \cdot \sin \chi (\varphi_I - \varphi_E) \cdot \\ &\cdot \int_{\varphi_E}^{\varphi_I} \cos \varphi_i \cdot \cos(\varphi_i - \beta) d\varphi_i & / 8.16 / \end{aligned}$$

Din considerente raționale se face substituirea :

$$\cos \varphi_i \cdot \cos(\varphi_i - \beta) = \frac{1}{2} \cos \beta + \frac{1}{2} \cos(2\varphi_i - \beta)$$

$$\begin{aligned} & \frac{1}{2} \int_{\varphi_E}^{\varphi_I} \cos \beta \cdot d\varphi_i + \frac{1}{2} \int_{\varphi_E}^{\varphi_I} \cos(2\varphi_i - \beta) \cdot d\varphi_i = \\ & = \frac{1}{2} \varphi_I \cdot \cos \beta + \frac{1}{4} \sin(2\varphi_I - \beta) - \frac{1}{2} \varphi_E \cdot \cos \beta - \frac{1}{4} \sin(2\varphi_E - \beta) \end{aligned}$$

Prin substituiri adecvate, aranjarea termenilor și revenire la relația / 8.16 / rezultă :

$$\begin{aligned} R_{xxm} = & - \frac{z}{8\pi} \cos \alpha \cdot \sin \chi (\varphi_I - \varphi_E) \left\{ \cos \beta \left[ \sin 2\varphi_I - \right. \right. \\ & \left. \left. - \sin 2\varphi_E + 2(\varphi_I - \varphi_E) \right] + \sin \beta \left[ - \cos 2\varphi_I + \cos 2\varphi_E \right] \right\} \end{aligned}$$

In mod asemănător se calculează și celelalte 8 relații ale valorilor medii în timp ale coeficienților direcționali. În dorința de a calcula diagrama de stabilitate cu valabilitate generală, relațiile valorilor medii în timp ale coeficienților direcționali se exprimă relativ pe un dintre al frezei și în final rezultă :

$$\begin{aligned} \frac{R_{xxm}}{z} = & - \frac{1}{8\pi} \cos \alpha \cdot \sin \chi (\varphi_I - \varphi_E) \left\{ \sin \beta \left[ - \cos 2\varphi_I + \right. \right. \\ & \left. \left. + \cos 2\varphi_E \right] + \cos \beta \left[ \sin 2\varphi_I - \sin 2\varphi_E + 2(\varphi_I - \varphi_E) \right] \right\} \end{aligned}$$

$$\begin{aligned} \frac{R_{xym}}{z} = & - \frac{1}{8\pi} \cos \alpha \cdot \sin \chi (\varphi_I - \varphi_E) \left\{ \sin \beta \left[ - \sin 2\varphi_I + \right. \right. \\ & \left. \left. + \sin 2\varphi_E + 2(\varphi_I - \varphi_E) \right] + \cos \beta \left[ - \cos 2\varphi_I + \cos 2\varphi_E \right] \right\} \end{aligned}$$

$$\begin{aligned} \frac{R_{xzm}}{z} = & - \frac{1}{2\pi} \cos \alpha \cdot \cos \chi (\varphi_I - \varphi_E) \left[ \sin \beta \left( - \cos \varphi_I + \cos \varphi_E + \right. \right. \\ & \left. \left. + \cos \beta \left( \sin \varphi_I - \sin \varphi_E \right) \right) \right] \end{aligned}$$

$$\begin{aligned} \frac{R_{yym}}{z} = & - \frac{1}{8\pi} \cos \alpha \cdot \sin \chi (\varphi_I - \varphi_E) \left\{ \sin \beta \left[ - \sin 2\varphi_I + \right. \right. \\ & \left. \left. + \sin 2\varphi_E - 2(\varphi_I - \varphi_E) \right] + \cos \beta \left[ - \cos 2\varphi_I + \cos 2\varphi_E \right] \right\} \end{aligned}$$

$$\begin{aligned} \frac{R_{zym}}{z} = & - \frac{1}{8\pi} \cos \alpha \cdot \sin \chi (\varphi_I - \varphi_E) \left\{ \sin \beta \left[ \cos 2\varphi_I - \cos 2\varphi_E \right] + \right. \\ & \left. + \cos \beta \left[ - \sin 2\varphi_I + \sin 2\varphi_E + 2(\varphi_I - \varphi_E) \right] \right\} \end{aligned}$$

$$\begin{aligned}
 \frac{R_{yzm}}{z} &= -\frac{1}{2\pi} \cos\alpha \cdot \cos\chi (\varphi_I - \varphi_E) \left[ \sin\beta (-\sin\varphi_I + \sin\varphi_E) + \right. \\
 &\quad \left. + \cos\beta (-\cos\varphi_I + \cos\varphi_E) \right] \\
 \frac{R_{zxm}}{z} &= \frac{1}{2\pi} \sin\alpha \cdot \sin\chi (\varphi_I - \varphi_E) (\sin\varphi_I - \sin\varphi_E) \\
 \frac{R_{zym}}{z} &= \frac{1}{2\pi} \sin\alpha \cdot \sin\chi (\varphi_I - \varphi_E) (-\cos\varphi_I + \cos\varphi_E) \\
 \frac{R_{zzm}}{z} &= \frac{1}{2\pi} \sin\alpha \cdot \cos\chi (\varphi_I - \varphi_E)
 \end{aligned}
 \quad / 8.17 /$$

### 8.2 Schema bloc a circuitului de reacție pentru PT de frezare.

Corelațiile existente într-un proces de vibrație de natură regenerativă, se pot reprezenta printr-un circuit de reacție închis, folosit în tehnica reglării automate. Rezultă deci, că analiza dinamica a unui sistem tehnologic MUPDS, se reduce la analiza stabilității acestui circuit de reacție, după criteriile de stabilitate întrebuintăte în disciplina donoră.

In vederea descrierii comportării unui sistem tehnologic MUPDS, în cadrul unei analize dinamice, este suficient să se cunoască comportarea sistemului la locul de aşchiere. Aceasta este descrisă sub forma unor CFAF, prin care cedarea relativă față de forță de excitație / aşchierea /, este reprezentată în planul complex, împreună cu defazajul dintre semnalul de intrare / forță de excitație /, și semnalul de răspuns / amplitudinea cedării structurii /, unde frecvența constituie parametrul.

Așa cum rezultă din cap. 8.1, în cazul general, structura este excitată prin trei componente de forță:  $P_x$ ;  $P_y$ ;  $P_z$ ; în sistemul trirectangular și răspunsul apare sub forma unor deplasări relative:  $x$ ;  $y$ ;  $z$ ; în același sistem. Rezultă deci că comportarea dinamică în zona de aşchiere, poate fi descrisă prin  $3 \times 3 = 9$  funcții de transfer / CFAF /, / rel. 5.1 /.

In continuare în vederea simplificării scrierii, se va omite expresia funcției de frecvență.

Comportarea unui sistem tehnologic MUPDS, realizind un PA regenerativ, este reprezentată prin sistemul de 9 ecuații / 8.7 /, cari sint reprezentate sub forma unei scheme bloc din fig. 8.2. Această schemă bloc, întocmită pentru procesul de frezare frontală, are valabilitate generală, satisfăcând un sistem vibratoriu cu trei grade de libertate.

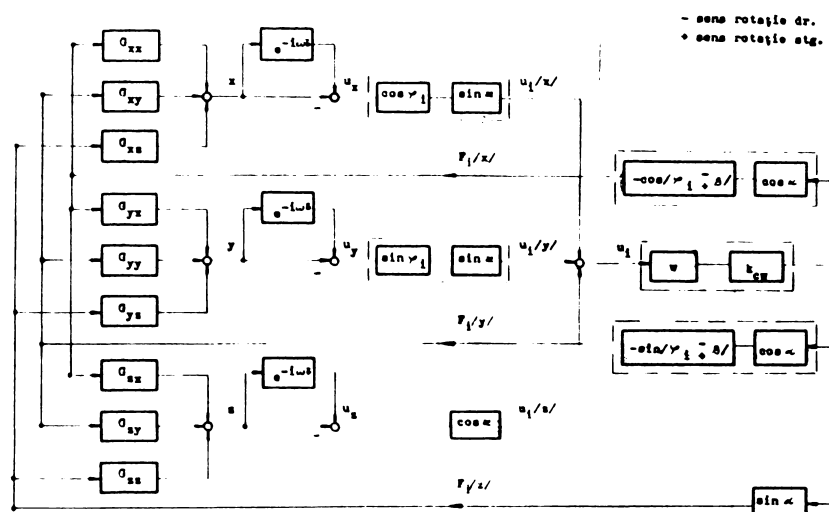


fig. 8.2

In termenii trigonometrici ai sumei unghiurilor  $\varphi_i \mp \beta$  semnul negativ se referă la sensul de rotire al frezei spre dreapta, iar semnul pozitiv este valabil în cazul rotirii frezei spre stînga..

Rezultă deci, că deplasările relative : x ; y ; z ; produc prin intermediul unor relații / 8.2 /, / 8.3 / componente:  $u_i/x/$  ;  $u_i/y/$  ;  $u_i/z/$  / 8.4 / a rezultantei  $u_i$ , a variației grosimii așchiei pe un dintă a frezei. Această variație, cauzată prin intermediul coeficientului dinamic de așchiere :

$$k_c = w \cdot k_{cw}$$

/ 8.18 /

variația forței dinamice de așchiere pe un dintă  $P_i$ , a carei componente :  $P_{ix}$  ;  $P_{iy}$  ;  $P_{iz}$  rezultate prin intermediul altor

funcții trigonometrice / 8.6 / reacționează asupra sistemului dinamic.

deoarece membrul de întirziere / defazaj / este identic la toate cele 3 ramuri ale schemei bloc, acesta a putut fi plasat după nodul  $u_i$ .

Relațiile trigonometrice s-au concentrat în coeficienții direcționali / 8.9 / și astfel schema bloc simplificată a sistemului dinamic MUPDS în PA, ca un sistem cu trei grade de libertate, apare în fig. 8.3.

Făcind substituțiile:

$$A_o = R_{xx} \cdot G_{xx} + R_{yx} \cdot G_{xy} + R_{zx} \cdot G_{xz} + R_{xy} \cdot G_{yx} + R_{yy} \cdot G_{yy} + \\ + R_{zy} \cdot G_{yz} + R_{xz} \cdot G_{zx} + R_{yz} \cdot G_{zy} + R_{zz} \cdot G_{zz} \quad / 8.19 /$$

$$K_o = \frac{1}{w \cdot k_{cw} (e^{-i\omega\delta} - 1)} \quad / 8.20 /$$

Se obține astfel schema bloc compactă a unui PA la o structură cu oricite grade de libertate :  
fig. 8.4

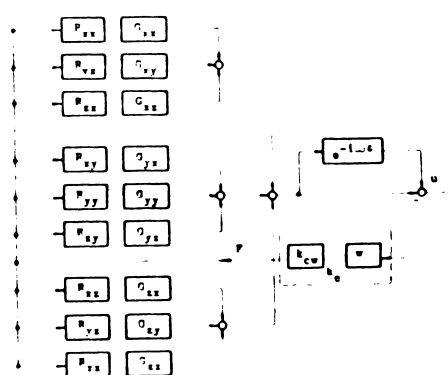


fig. 8.3

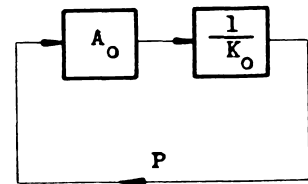


fig. 8.4

### 8.3 Analiza stabilității dinamice a sistemului MUPDS.

Criteriul de stabilitate Nyquist [32], [3] permite analiza stabilității unui circuit de reglare închis, cu ajutorul CFAr o-

rientate a unui circuit de reglare deschis, septionat într-un loc convenabil

$$F_o = \frac{z_e}{z_i} = A_o \frac{1}{K_o} \quad / 8.21 /$$

Pentru analiza stabilității este interesant de aflat doar limita sau pragul de stabilitate, unde se trece din domeniul stabil în cel instabil. Aci mărimea de intrare  $z_i$  este egală - ca mărime și defazaj - cu mărimea de ieșire  $z_e$ , deci :

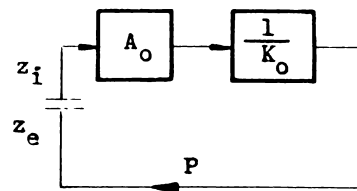


fig. 8.5

$$\frac{z_e}{z_i} = 1 \quad / 8.22 /$$

dacă  $\left(\frac{z_e}{z_i}\right) > 1$  amplitudinile sunt în creștere  $\rightarrow$  instabilitate  
 dacă  $\left(\frac{z_e}{z_i}\right) < 1$  amplitudinile în descreștere  $\rightarrow$  stabilitate

Rezultă deci că procesul de reglare este stabil, dacă punctul critic  $P_k$  este situat la stînga locului de transfer, pe căre un observator se deplasează în sensul crescător al frecvențelor.

Din / 8.21 / și / 8.22 / rezultă, că pragul de stabilitate este atins, dacă :

$$F_o = \frac{z_e}{z_i} = A_o \frac{1}{K_o} = 1 \quad / 8.23 /$$

de unde rezultă că :

$$A_o = K_o \quad / 8.24 /$$

Deoarece atît  $A_o$  cît și  $K_o$  sunt mărimi complexe :

$$A_o = A_{or} + i \cdot A_{oi} \quad / 8.25 /$$

$$K_o = K_{or} + i \cdot K_{oi} \quad / 8.26 /$$

relația / 8.20 / se va putea scrie și sub forma :

$$K_{or} + i \cdot K_{oi} = \frac{1}{w \cdot k_{cw}} \cdot \frac{1}{\cos \omega \zeta - i \cdot \sin \omega \zeta - 1} \quad / 8.27 /$$

unde a fost înlocuit :

$$e^{-i\omega\zeta} = \cos \omega\zeta - i \cdot \sin \omega\zeta \quad / 8.23 /$$

Pe baza celor de mai sus, se trece la determinarea relației lui  $n$ , care va constitui abscisa diagramei de stabilitate, precum și a lui  $w$ , care se va trece pe ordonata ei, evident ambele din considerente practice.

Relația / 8.27 / se amplifică cu conjugata ei și se răstoarnă :

$$K_{or} - i \cdot K_{oi} = w \cdot k_{cw} \left( K_{or}^2 - K_{oi}^2 \right) \left( \cos \omega\zeta - i \cdot \sin \omega\zeta - 1 \right) \quad / 8.29 /$$

apoi se extrage partea reală, precum și cea imaginară :

$$K_{or} = w \cdot k_{cw} \left( K_{or}^2 - K_{oi}^2 \right) \left( \cos \omega\zeta - 1 \right) \quad / 8.30 /$$

$$K_{oi} = w \cdot k_{cw} \left( K_{or}^2 - K_{oi}^2 \right) \cdot \sin \omega\zeta \quad / 8.31 /$$

Divizând / 8.31 / cu / 8.30 / rezultă :

$$\frac{K_{oi}}{K_{or}} = \frac{\sin \omega\zeta}{\cos \omega\zeta - 1} \quad / 8.32 /$$

Avându-se în vedere / 8.24 / precum și relația :

$$\cotg \frac{\omega\zeta}{2} = \frac{\sin \omega\zeta}{1 - \cos \omega\zeta} ; \text{ rezultă :}$$

$$\omega\zeta = 2 \operatorname{arc} \cotg \left( - \frac{A_{oi}}{A_{or}} \right) \quad / 8.33 /$$

Relația / 8.33 / este o funcție trigonometrică inversă ale cărei valori principale sunt cuprinse între limitele :

$$0 < \omega\zeta_0 < 2\pi$$

Luând în considerare caracterul echivoc al relației / 8.33 /, soluția generală va fi dată de relația :

$$\omega\zeta = \omega\zeta_0 + 2\pi m \quad (m = 0, 1, 2, 3, 4, \dots) \quad / 8.34 /$$

$$\text{sau } \zeta = \zeta_0 + \frac{2\pi m}{\omega} \quad / 8.35 /$$

Având în vedere relația fundamentală :

$$n = \frac{60}{\zeta \cdot z} \quad \text{respectiv} \quad nz = \frac{60}{\zeta} \quad / 8.36 /$$

în care se introduce relația / 8.35 /, aceasta devine :

$$n.z = \frac{60}{\zeta_0 + \frac{2\tilde{\zeta}_m}{\omega}} \quad / 8.37 /$$

În sfîrșit introducind relația / 8.33 / precum și :

$$\omega = 2\tilde{\zeta}_f \quad ; \quad / 8.37 / \text{ devine :}$$

$$n.z = \frac{60 f}{\arccotg \left( -\frac{K_{oi}}{K_{or}} \right) + m} \quad / 8.38 /$$

$\tilde{\zeta}$

$m = 1, 2, 3, \dots$

cu ajutorul căreia devine posibilă calcularea turăriilor corespunzătoare frecvențelor interesante din CFAF.

In vederea deducerii relației pentru determinarea adâncimii limită a aşchiei, se pornește dela aceeași relație / 8.27 / care se divizează cu  $K_{or}$ , devenind :

$$\frac{1}{w \cdot k_{cw} \cdot K_{or}} = \left( 1 + i \cdot \frac{K_{oi}}{K_{or}} \right) \left( \cos \omega \tilde{\zeta} - 1 - i \cdot \sin \omega \tilde{\zeta} \right) / 8.39 /$$

Se introduce relația / 8.32 / devenind :

$$\frac{1}{w \cdot k_{cw} \cdot K_{or}} = \left( 1 + i \cdot \frac{\sin \omega \tilde{\zeta}}{\cos \omega \tilde{\zeta} - 1} \right) \left( \cos \omega \tilde{\zeta} - 1 - i \cdot \sin \omega \tilde{\zeta} \right) / 8.40 /$$

Executind operațiile și reducind termenii asemenea se obține :

$$\frac{1}{w \cdot k_{cw} \cdot K_{or}} = -2 \quad / 8.41 /$$

de unde adâncimea limită de aşchie va deveni :

$$w = - \frac{1}{2k_{cw} \cdot K_{or}} \quad / 8.42 /$$

Din relația de mai sus rezultă că  $K_{or}$  trebuie să aibă valoare negativă, întrucât coeficientul de aşchiere are sens, numai dacă are valoare pozitiva. Cu / 8.25 / și / 8.26 /, relația / 8.24 / devine :

$$(A_{or} + i \cdot A_{oi}) - (K_{or} + i \cdot K_{oi}) = 0 \quad / 8.43 /$$

de unde se poate deduce ca :

$$A_{or} - K_{or} = 0 \quad / 8.44 /$$

$$A_{oi} - K_{oi} = 0 \quad / 8.45 /$$

Având în vedere relațiile / 8.19 / și / 8.44 / se va putea scrie :

$$K_{or} = Re \left\{ R_{xx} \cdot G_{xx} + \dots + R_{zz} \cdot G_{zz} \right\} = A_{or} \quad / 8.46 /$$

iar / 8.42 / prin substituire cu / 8.46 / și înmulțire cu z va deveni :

$$w \cdot z = \frac{1}{z \cdot k_{cw} \left\{ \frac{A_{or}}{z} \right\}_{neg.}} \quad / 8.47 /$$

#### 8.4 Ridicarea diagramelor de stabilitate.

Diagramele de stabilitate sunt destinate întrebunțării practice, pentru cazul unui sistem tehnologic MUPDS dat, asigurînd posibilitatea alegerii variantei optime a aranjamentului dintre S-P, sau dacă aranjamentul S-P este impus de considerente tehnologice, asigură alegerea numărului de rotații optime al frezei în vederea evitării zonei de instabilitate dinamica. Toate aceste preocupări converg spre posibilitatea așchierii cu adincimi de așchiere cât mai mari, în condițiile unui regim tehnologic stabil, asigurîndu-se astfel o productivitate ridicată.

##### 8.4.1 Domeniul de lucru.

In principiu s-a urmarit ca metoda întrebunțată să aibă caracter universal, pentru a putea fi aplicată și în afara operațiilor de frezare.

In cadrul aplicației prezente, s-a cautat acoperirea întregului domeniu al variației posibilităților de aranjament S-P, ceea ce în cazul așchierii cu freza frontală este maximă, adică cerc complet. Folosind ca reper poziția unghiulară  $\xi^0$  a normalei pe suprafața așchiata, ridicată din punctul de aplicare al

rezultantei forței de așchiere, analiza s-a facut în 12 trepte de cîte  $30^{\circ}$  a unghiului  $\xi$ , acoperind deci cele  $360^{\circ}$  ale cercului, rezultînd în consecință 12 diagrame de stabilitate.

Așa cum s-a relatat în cap. 8.3 diagramele de stabilitate au pe abscisă valoarea n a rotației frezei, iar pe ordonată, aceea a lui w a adîncimii de așchiere, acestea calculîndu-se cu ajutorul relațiilor / 8.38 / și / 8.47 /. Pe baza acestuia și principiu al caracterului universal, aceste expresii sunt amplificate cu z, pentru a putea fi folosite la scule cu număr diferit de dinți, totuși în diagramele de stabilitate ridicate s-au trecut paralel și scarile valorilor lui n și w, calculate pentru cazul discret de  $z = 12$  al aplicației.

Domeniul de rotații ale frezei s-a luat aceea existentă la mașinile de frezat din familia FV 32 adică  $n = 30 \dots 1500$  rotații pe minut, iar adîncimea de așchiere s-a luat în domeniul de  $w = 0 \dots 12$  mm, ușual la aceste tipuri de mașini de frezat.

Corelația dintre S-P, atât sub raportul dimensional reciproc, cît și al variației posibilităților de aranjamente, poate fi determinata cu ajutorul unghiului  $\varphi_f$  sub care freza atacă semifabricatul, precum și unghiul  $\varphi_g$  sub care aceasta părăsește piesa / fig. 8.1 /. În final acestea se regăsesc în relațiile / 8.17 / ale valorilor medii în timp ale coeficienților direcționali, cari constituie relațiile de bază, atât pentru ecuația / 8.38 / cît și / 8.47 /, determinarea acestor unghiuri însă este greoaie, punind sub semnul întrebării aplicabilitatea practica a acestei metode. S-a căutat substituirea lor prin parametrii cotidian folosiți de catre tehnologi, cum ar fi :

- x ; + x Sensurile avansului longitudinal
- + y ; - y Sensurile avansului transversal
- B Lățimea semifabricatului
- D Diametrul frezei
- H Lățimea cu care freza depășește semifabricatul dinspre intrare /  $\varphi_I$  / .
- H Lățimea pragului lăsat de freză pe semifabricat dinspre intrare /  $\varphi_I$  / .

Prin intermediul celor de mai sus, unghurile  $\varphi_I$  și  $\varphi_E$ , vor putea fi substituite, după cum urmează / fig. 8.6 / :

160

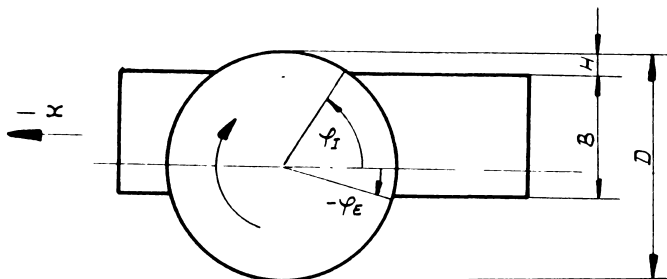


fig. 8.6

$$\sin \varphi_I = \frac{\frac{D}{2} - H}{\frac{D}{2}} = \frac{D - 2H}{D} = 1 - 2 \frac{H}{D} \quad / 8.48 /$$

$$-\sin \varphi_E = \frac{H + B - \frac{D}{2}}{\frac{D}{2}} = 2 \left( \frac{H}{D} + \frac{B}{D} \right) - 1 \quad / 8.49 /$$

$$\varphi_I = \arcsin \left( 1 - 2 \frac{H}{D} \right) \quad / 8.50 /$$

$$\varphi_E = 360^\circ - \arcsin \left[ 2 \left( \frac{H}{D} + \frac{B}{D} \right) - 1 \right] \quad / 8.51 /$$

Relațiile / 8.48 / și / 8.49 / pot avea valori supraunitare pentru cazurile cind :

$H < 0$  și se formează prag la intrarea frezei în piesă

$H + B > D$  iar pragul se formează la ieșirea ei din piesă.

In ambele cazuri se ia în considerare <sup>că</sup> valoare doar unică, valoare maximă posibilă trigonometric și fizic deopotrivă.

$$\varphi_{I-x} = \arcsin \left( 1 - 2 \frac{H}{D} \right) + 0^\circ$$

$$\varphi_{E-x} = -\arcsin \left[ 2 \left( \frac{H}{D} + \frac{B}{D} \right) - 1 \right] + 0^\circ$$



$$\varphi_{I-z} = \arcsin \left( 1 - 2 \frac{H}{D} \right) + 180^\circ$$

$$\varphi_{E-z} = -\arcsin \left[ 2 \left( \frac{H}{D} + \frac{B}{D} \right) - 1 \right] + 180^\circ$$



$$\varphi_{I-y} = \arcsin \left( 1 - 2 \frac{H}{D} \right) + 90^\circ$$

$$\varphi_{E-y} = -\arcsin \left[ 2 \left( \frac{H}{D} + \frac{B}{D} \right) - 1 \right] + 90^\circ$$



$$\varphi_{I-z} = \arcsin \left( 1 - 2 \frac{H}{D} \right) + 270^\circ$$

$$\varphi_{E-z} = -\arcsin \left[ 2 \left( \frac{H}{D} + \frac{B}{D} \right) - 1 \right] + 270^\circ$$



$\xi^\circ$	$\delta$	$\varphi_I^\circ$	$\varphi_E^\circ$	sens evans
0	0,220	94	- 34	- x
70	0,030	70	- 10	- x
60	0,413	100	19	+ y
90	0,220	124	56	+ y
120	0,030	160	80	+ y
150	0,413	190	109	+ x
180	0,220	214	146	+ x
210	0,030	250	170	+ x
240	0,413	280	199	- y
270	0,220	304	236	- y
300	0,030	340	260	- y
330	0,413	360	- 71	- x

fig. 8.7

fig. 8.8

In fig. 8.7 se prezintă relațiile / 8.50 / și / 8.51 / ale unghiurilor  $\ell_I$  și  $\ell_E$ , exprimate în funcție de parametrii tehnologici B, D, H, actualizate pentru cele 2 direcții și cele 2 sensuri de avans, în vederea posibilității exprimării oricărui aranjament S-P în cadrul celor  $360^\circ$ . Prin adăugirea valorii unghiului, corespunzătoare direcției, respectiv sensului deplasării relative a frezei față de semifabricat, s-au putut folosi același două relații susamintite, pentru toate cele 4 direcții de avans, respectându-se totodată regulile cercului trigonometric.

Din fig. 8.8 rezultă valorile parametrilor tehnologici, cu ajutorul cărora s-a putut genera variația totală a unghiului  $\xi$ , în trepte de cîte  $30^\circ$ , pentru cazul aplicației discrete, avînd ca valori :  $B = 140 \text{ mm}$ ;  $D = 250 \text{ mm}$ ; respectiv  $B/D = 0,56$  un "aurea mediocritas" foarte frecvent folosit. Din același tabel susmentionat rezultă și valorile unghiurilor  $\ell_I$  și  $\ell_E$ , pentru treptele respective ale unghiului  $\xi$ .

Din construcția sculei de frezat rezultă în mod direct:

$$\begin{aligned} z &= 12 \text{ dinti} \\ \alpha &= 80^\circ \end{aligned}$$

iar din teoria așchierii, avînd la bază geometria frezei, rezultă:

$$\begin{aligned} \alpha &= 7^\circ \\ \beta &= 67^\circ \end{aligned}$$

Considerînd materialul semifabricatului un OLC 45 laminat, de baza datelor experimentale publicate de Opitz [3] s-a luat :

$$k_{cw} = 3,0 \cdot 10^4 \text{ kgf/cm}^2$$

#### 8.4.2 Calculul și reprezentarea coeficientilor direcționali.

În bază principiilor convenite în cap. 8.1, se va lucra cu valori medii în timp ale coeficientilor direcționali, ale căror relații / 8.17 / au fost deduse în același capitol. Pentru cazul aplicației discrete s-au folosit valorile parametrului H/D conform tabelului din fig. 8.8 iar pentru  $B/D$  s-a luat 0,56, așa cum s-a tratat în cap. 8.4.1.

În vederea posibilității aplicării imediate a metodei, cu valabilitate largă, în paralel s-a calculat și s-a reprezentat grafic, variația valorilor medii în timp ale coeficientilor di-

recționali. Cele 9 relații / 8.17 / au fost tratate pentru cele 4 direcții respectiv sensuri de avans, rezultând 36 de diagrame. Pe abscisa acestora s-a trecut raportul dintre lățimea semifabricatului și diametrul frezei  $B/D$ , variind între 0 ... 1. Pe ordinată rezultă valoarea medie în timp a coeficientului direcțional. Utilizând ca parametru, raportul dintre lățimea cu care freza depășește semifabricatul dinspre intrare și diametrul frezei :  $H/D$ , rezultă o fascicolă de 5 curbe pentru acest raport, în intervalul 0 ... 1, reprezentate în trepte de cîte 0,2.

In acest fel, setul de 36 diagrame a valorilor medii în timp a coeficienților direcționali, stă la dispoziția tehnologilor, în vederea calculării imediate, în mod simplu și rapid a adincimii limită de aşchiere  $w_{lim}$ , pentru orice corelație dimensională și de aranjament între S-P, în cazul frezării cilindro-frontale, pentru orice diametru și număr de dinți al frezei, însă pentru valoarea constantă a unghiului  $\alpha = 80^\circ$ . In cazul cînd s-ar lucra cu o sculă la care unghiul  $\alpha$  diferă dela valoarea foarte răspîndită de  $80^\circ$ , se poate aplica o corecție, printr-un coefficient ce reprezintă raportul variației funcției trigonometrice în funcție de variația lui  $\alpha$ . In intervalul de  $\pm 10^\circ$ , această corecție este suficient de fidelă.

Volumul mare de calcule și de reprezentare grafică :

30 puncte x 5 curbe x 36 diagrame = 5400 puncte ,  
s-a putut realiza operativ cu ajutorul unui calculator de fabricație : Hewlett Packard , de tipul HP 9820 A . Acest calculator programabil, cu memoria de 429 registre de cîte 4 cuvinte este compusă din :

Unitatea centrală cu tastaturi și afișaj cu diode luminiscente, prevăzută și cu imprimantă alfa-numerică termică cu 16 caractere/rind,

Imprimantă alfa-numerică electromecanică cu 156 caractere,  
Trasator / plotter / x y cu suprafață de 380 x 250 mm.

In afara memoriei operative, unitatea centrală mai posedă 3 blocuri amovibile de memorie ROM, pentru funcții speciale, funcții trigonometrice și comanda accesorilor.

Calculatorul lucrează în limbaj algebraic direct.

Organizarea memoriei este foarte elastică, deoarece aceeași memorie se folosește atât pentru înmagazinarea programului, cit și a datelor.

Programul se înregistrează, plecind dela registrul 429 în jos, iar datele se înregistrează dela registrul 0 în sus. În cazul cînd se lucrează cu abundență mare de date, pentru a permite cuprinderea acestor date în memorie, e necesara realizarea unor programe în secvențe consecutive. Înmagazinarea succesivă a secvențelor programului, nu afecteaza conținutul memoriei de date, dacă lungimea programului nu depășește volumul memoriei rămas disponibilă.

Datorită acestei servitutii, devine necesară rularea repetată a programului de calcul a valorii  $A_0$ , împărțindu-se domeniul de frecvențe în două secvențe. Prin acest artificiu, a devenit posibilă prelucrarea unui număr mare de date, care în mod normal depășea volumul memoriei operative la dispoziție.

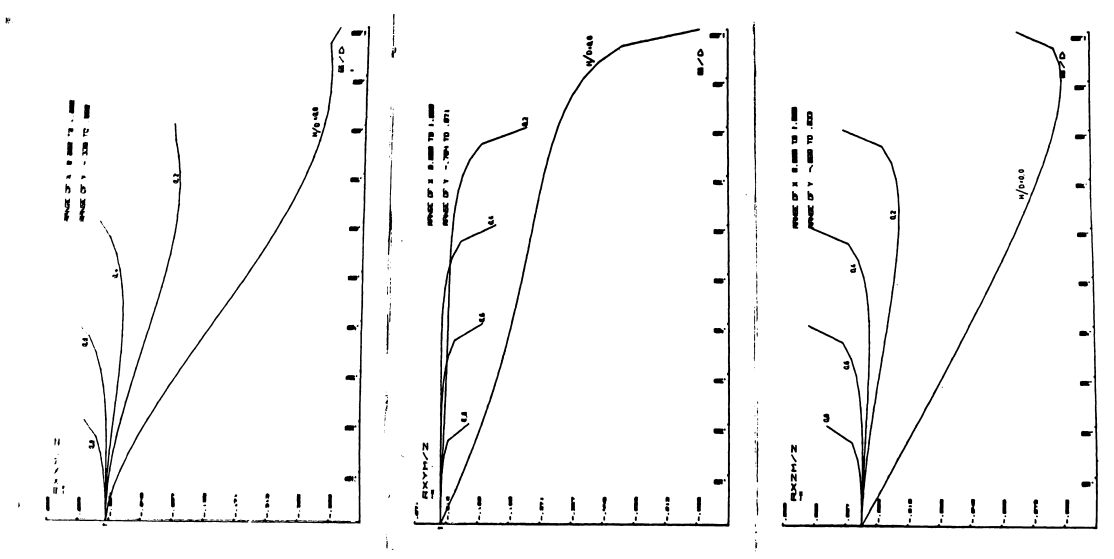
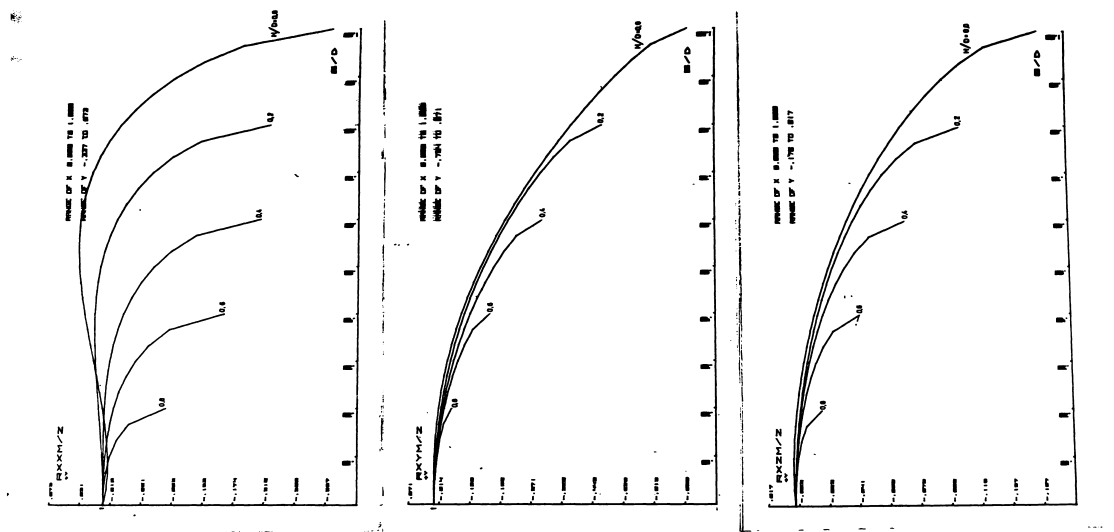
S-a preferat acest tip de calculator, pentru realizarea calculelor necesare tezei, datorită posibilității de acces direct și rapid la unitatea de calcul, precum și datorită posibilității de a trasa direct pe plotter rezultatele calculelor efectuate. Datorită accesibilității la acest tip de calculator, se consideră posibilă o prelucrare rapidă a datelor unor lucrări viitoare, fără să se necesite un personal special pregătit pentru programarea și exploatarea calculatoarelor. Acest lucru simplifică mult repetarea lucrărilor descrise în teză, cum ar fi de pildă, recalcularea variației valorilor medii în timp ale coeficienților direcționali, pentru un unghi  $\alpha$  mult diferit de  $80^\circ$ .

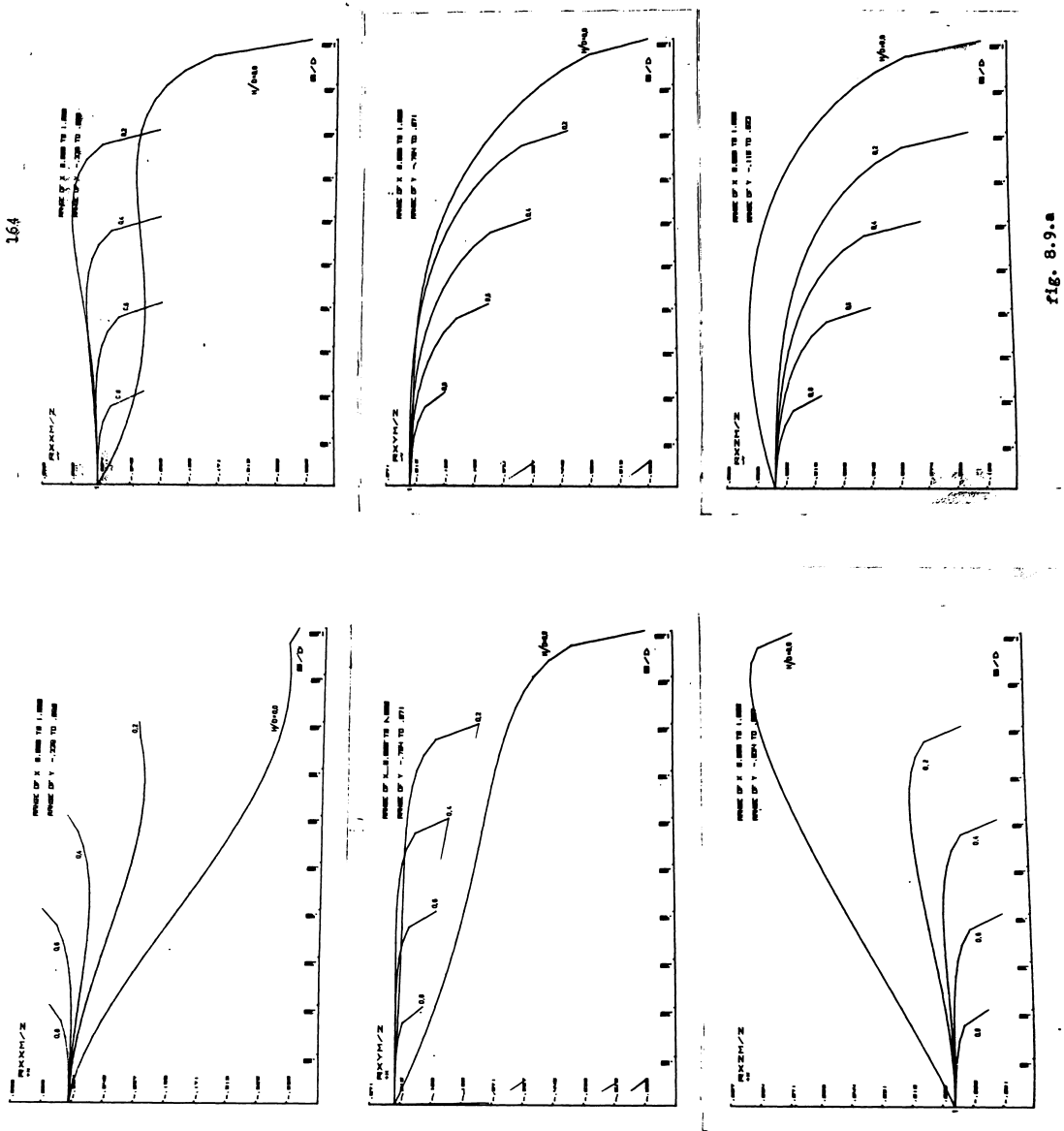
Cele 36 diagrame reprezentînd variația valorilor medii în timp ale coeficienților direcționali, calculate pe un dintre al frezei, pentru cele  $3 \times 3$  direcții și 2+2 sensuri de avans, se regăsesc în format diminuat la scara 1:2 față de trasarea originală, pe fig. 8.9.a ; 8.9.b ; 8.9.c .

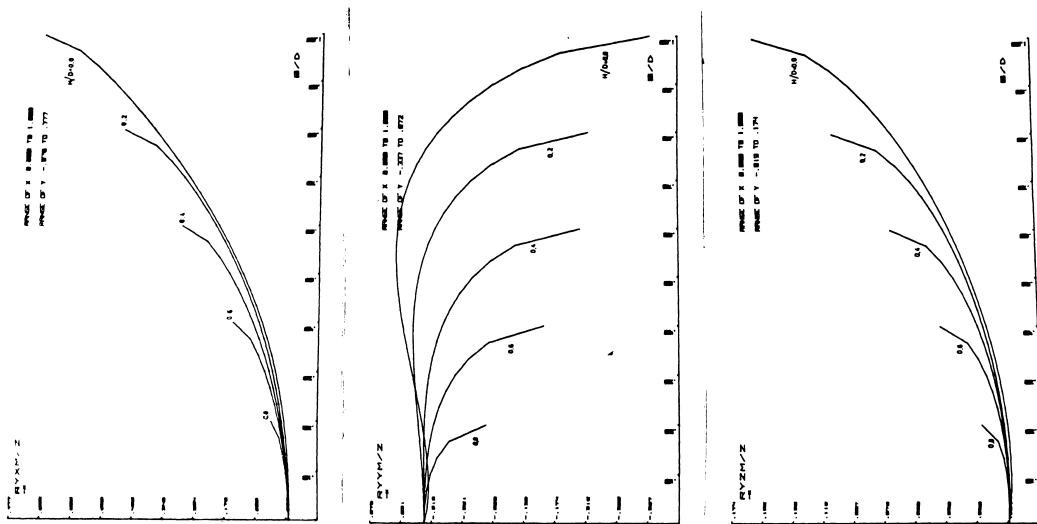
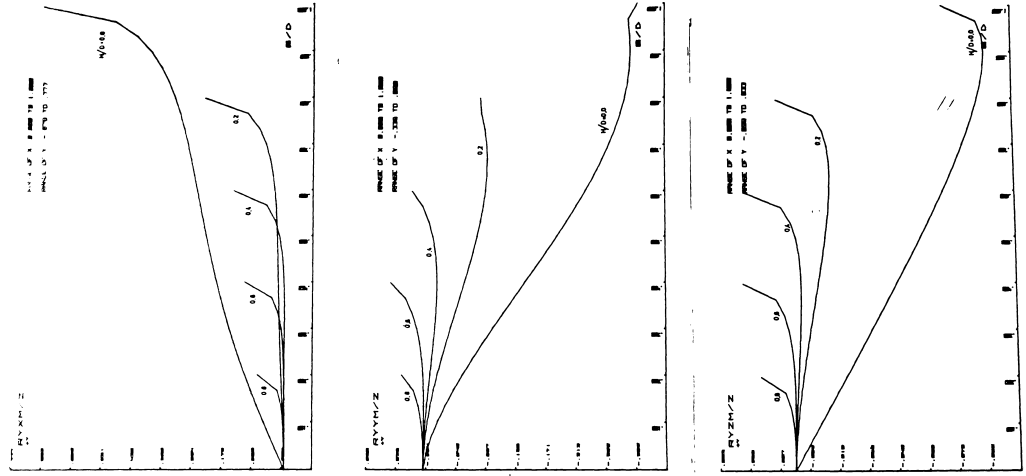
Organograma pentru programarea calculatorului în vederea calculului și trasării curbelor menționate mai sus, rezultă din fig. 8.10 în care se regăsesc în mod evident cele tratate mai sus.

#### 8.4.3 Calculul părții reale și imaginare a FT a cedării dinamice directe și transversale.

Relațiile abscisei  $n.z$  / 8.38 / și ordonatei  $w.z$  / 8.47 / a diagramelor de stabilitate, conțin partea reală  $A_{or}$







165

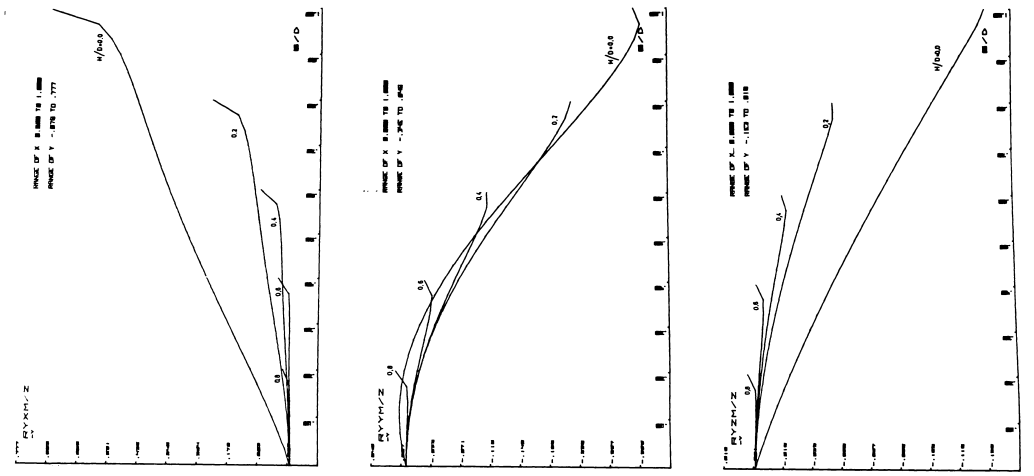
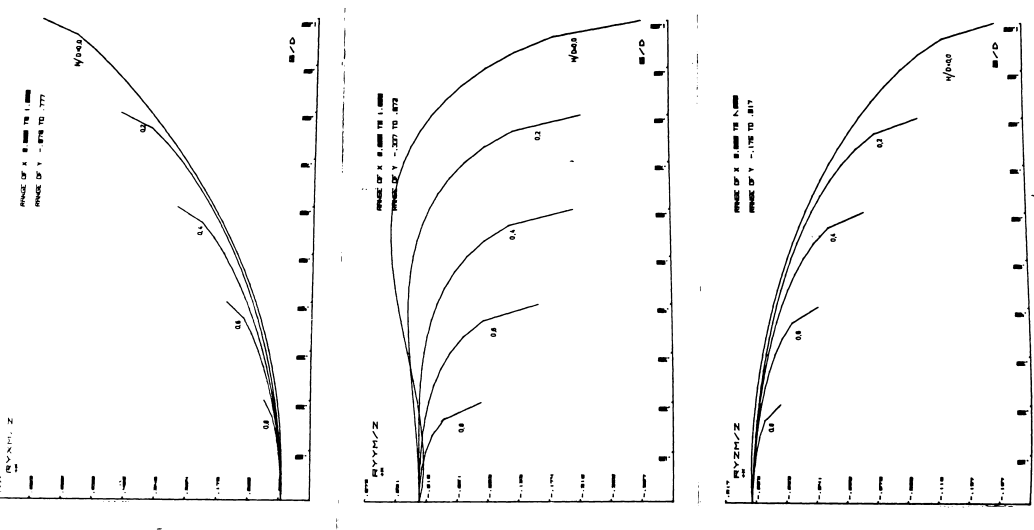
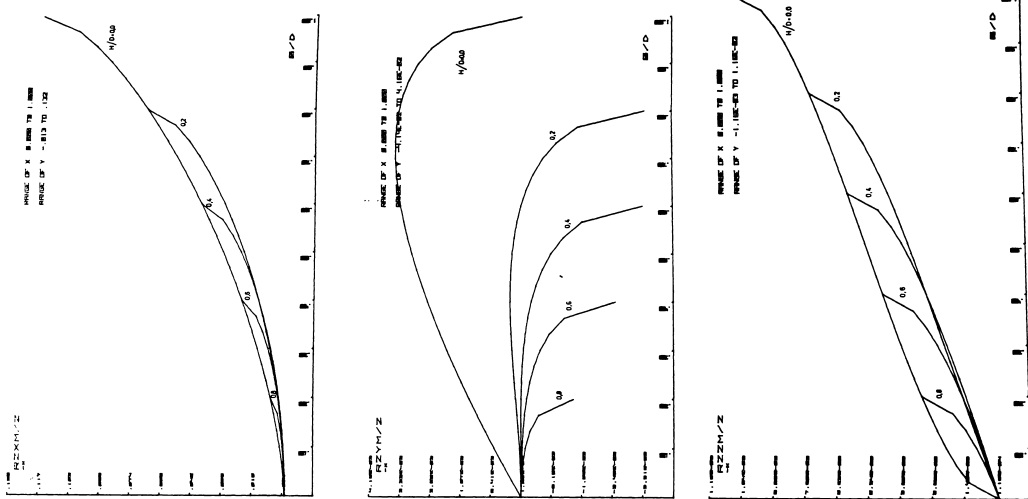
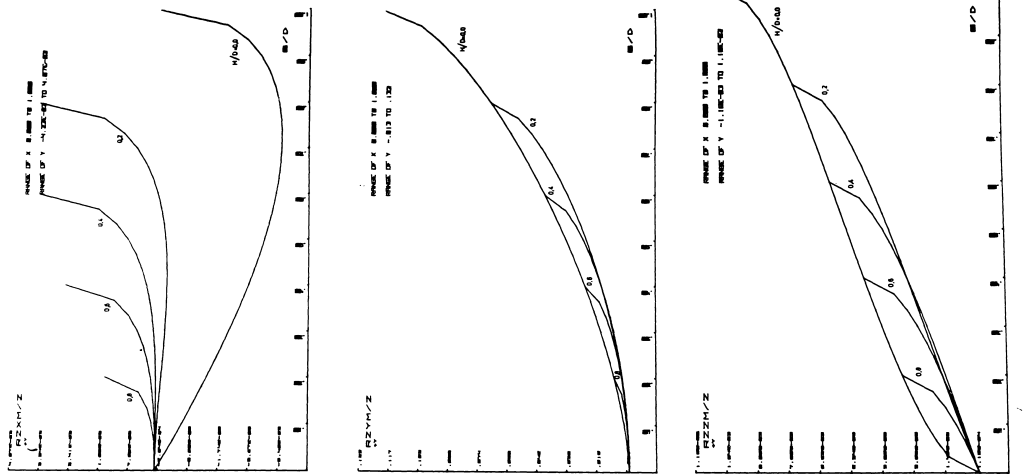


fig. 8.9.b



166

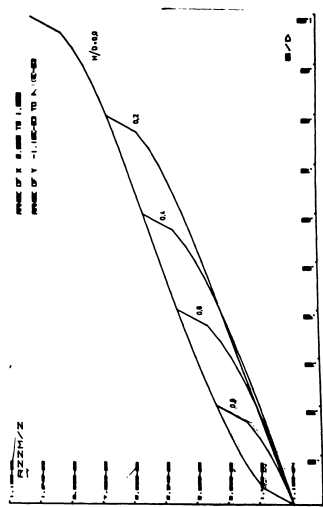
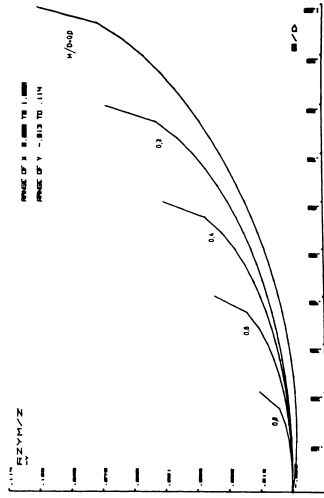
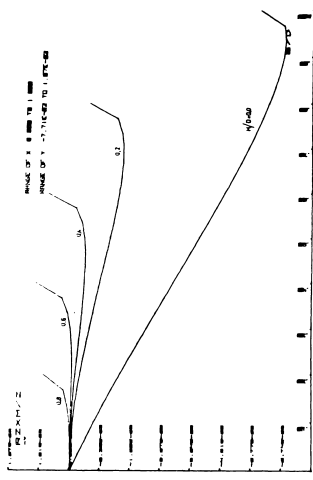
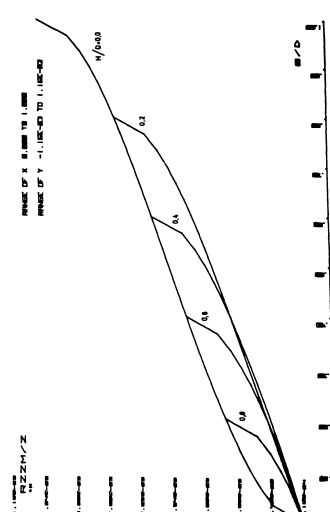
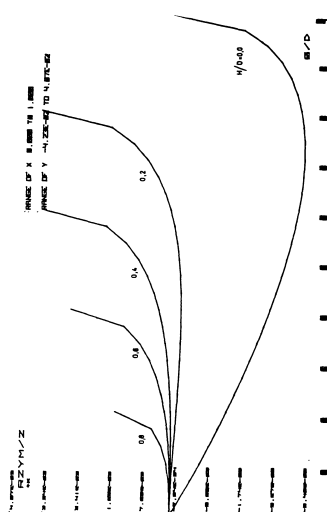
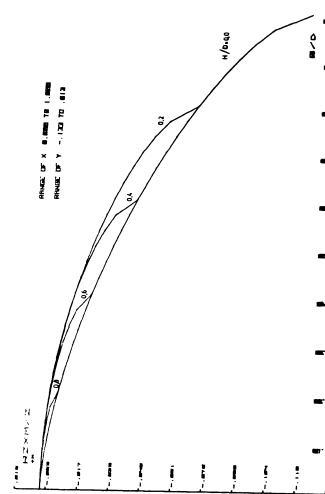


Fig. 8.g.c



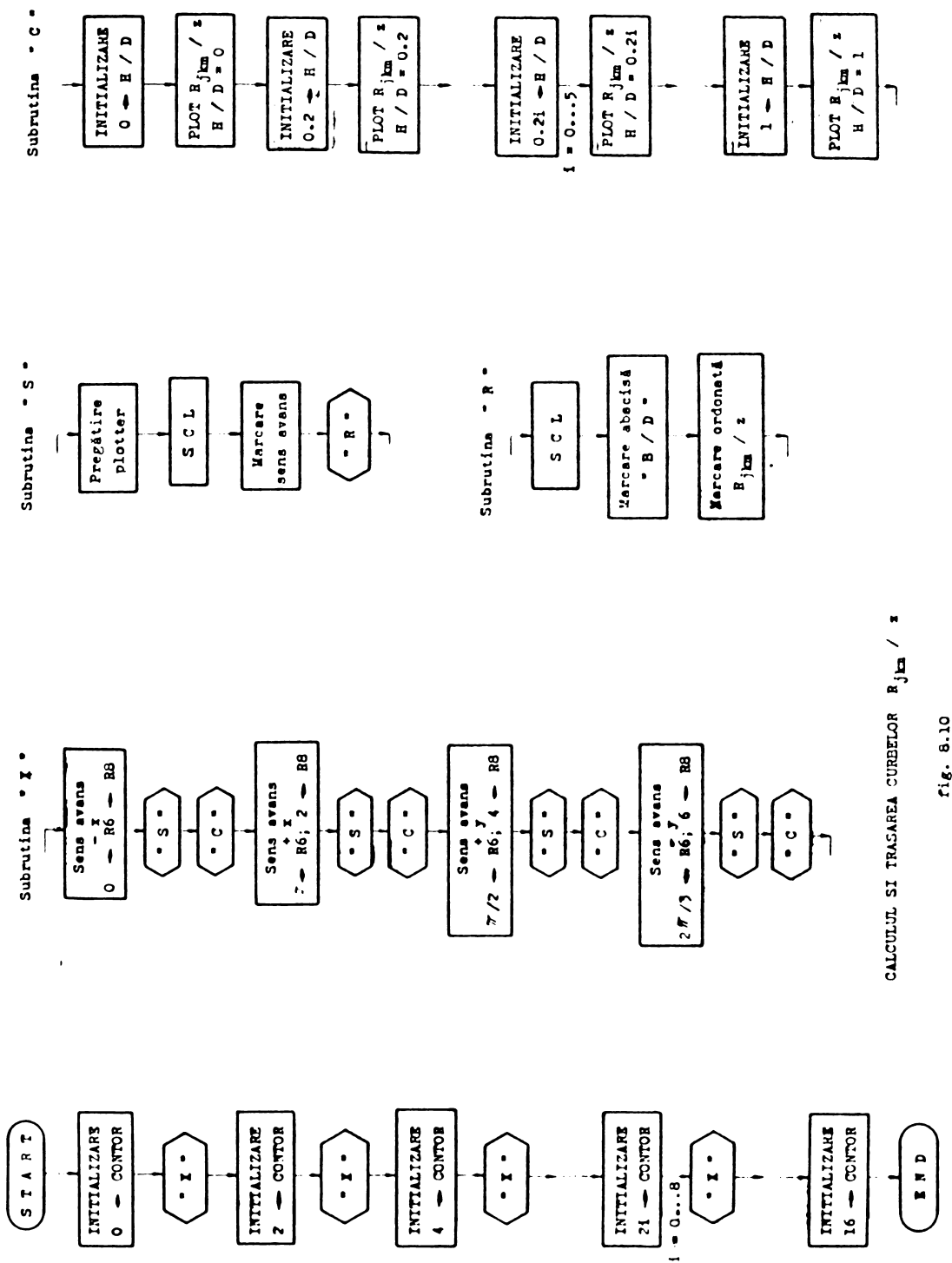


fig. 6.10

CALCULUL SI TRASAREA CURBELOR  $R_{jm} / z$

respectiv partea imaginară  $A_{oi}$  a FT a cedării dinamice orientate. La rîndul lor, aceste relații conțin partea reală  $G_{kjr}$  respectiv partea imaginară  $G_{kji}$  a FT a cedării dinamice directe și transversale, așa cum rezultă din / 8.46 / pentru  $A_{or}$  și similar pentru  $A_{oi}$ , pe baza relației / 8.25 /. Avînd la bază binecunoscuta construcție a CFAF în coordonate polare, rezultă că :

$$G_{kjr} = G_{kj} \cdot \cos \varphi_{jk} \quad / 8.52 /$$

$$G_{kji} = G_{kj} \cdot \sin \varphi_{jk} \quad / 8.53 /$$

Valorile care servesc pentru calcularea acestor relații, s-au obținut pe baza cercetărilor prin excitație descrise în cap.5 și au fost trecute într-un tabel centralizator / A 46 / care este tocmai prima pagină a listării la imprimanta a datelor susamintite introduse în calculator.

Organograma calculării relațiilor / 8.52 / / 8.53 / este reprezentată pe fig. 8.11 / Pass 0 /, rezultatele fiind înregistrate pe cartele magnetice.

Fără ca să fie necesară pentru ridicarea curbelor de stabilitate, ca o măsură laterală, s-au reprezentat grafic curbele părții reale  $G_{kjr}$  a FT a cedării dinamice directe și transversale / mașina RV 32-1 / / fig. 8.20 / cari pot servi, împreună cu diagramele valorilor medii în timp  $R_{jkm}/z$  a coeficienților direcționali / fig. 8.9.a; b; c /, la o încercare de optimizare a aranjamentului S-P în vederea găsirii unei zone cu limita de stabilitate ridicată.

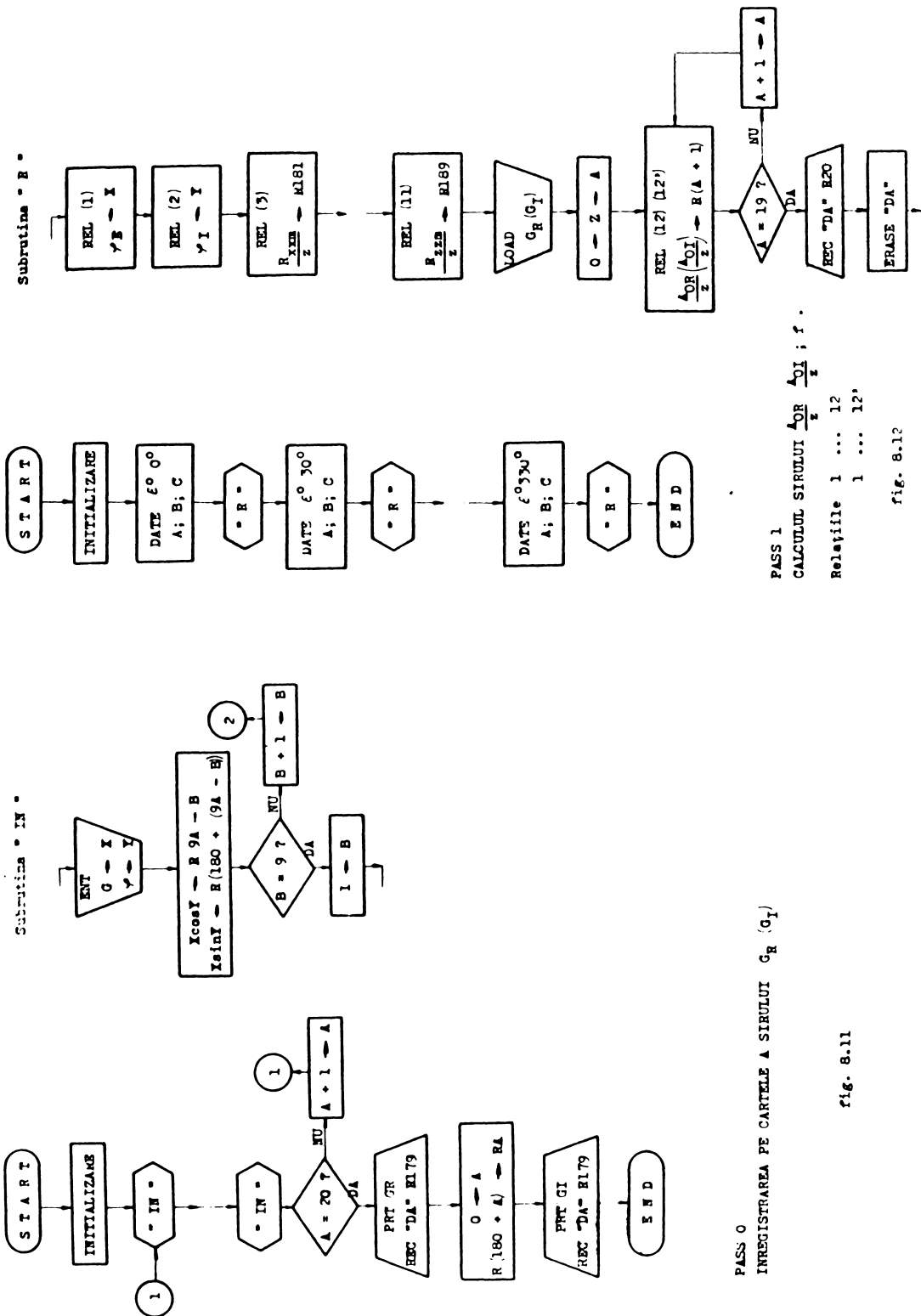
#### 8.4.4 Calculul și reprezentarea grafică a FT a cedării dinamice orientate.

Similar cu / 8.46 / se vor calcula relațiile :

$$\frac{A_{or}}{z} = \frac{R_{xxm}}{z} \cdot G_{xxr} + \frac{R_{yxm}}{z} \cdot G_{xyr} + \dots + \frac{R_{zzm}}{z} \cdot G_{zrz} \quad / 8.54 /$$

$$\frac{A_{oi}}{z} = \frac{R_{xxm}}{z} \cdot G_{xxi} + \frac{R_{yxm}}{z} \cdot G_{xyi} + \dots + \frac{R_{zzm}}{z} \cdot G_{zzi} \quad / 8.55 /$$

pe baza organigramei din fig. 8.12 / Pass 1 /. Termenii acestor relații s-au tratat în cap. 8.4.2 și 8.4.3.



170

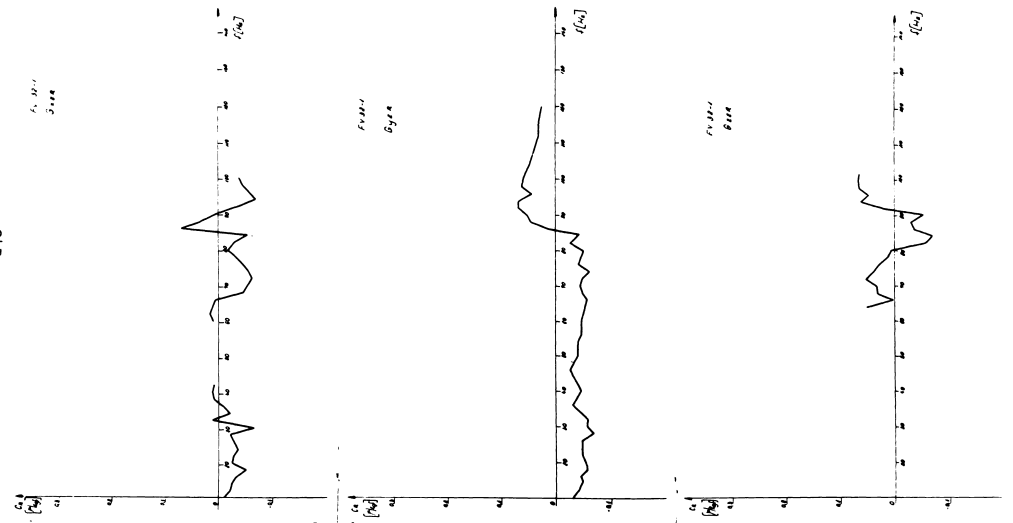
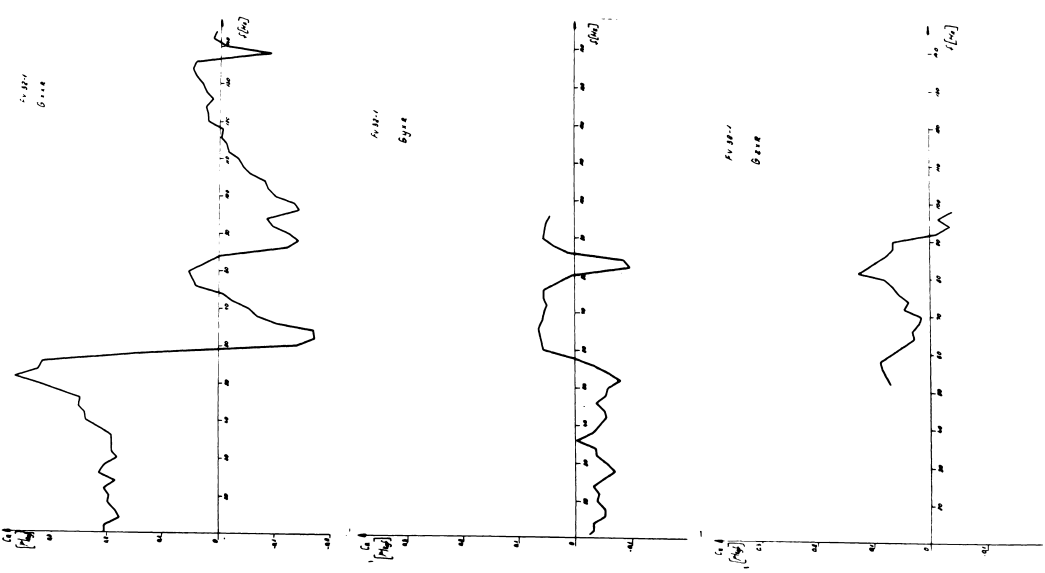
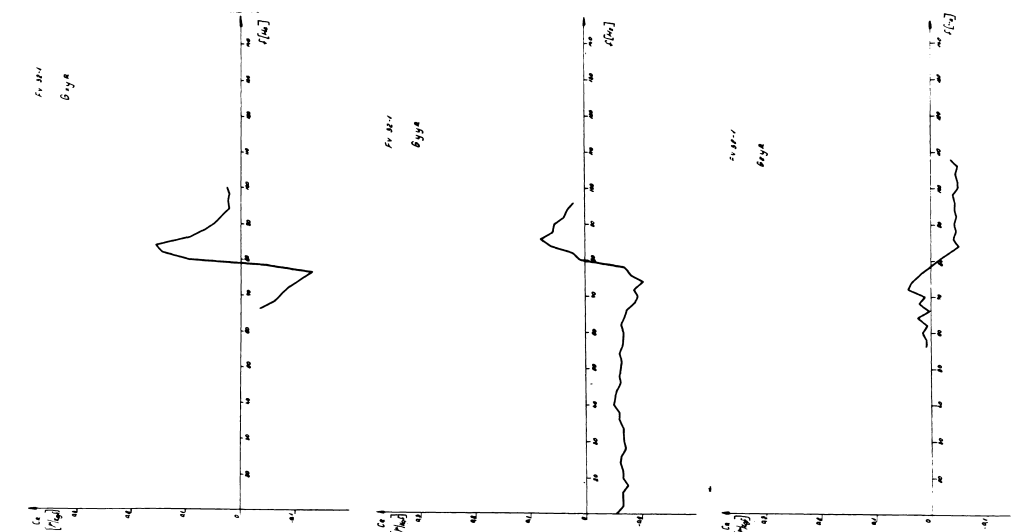


FIG. 8.20



Aplicind regulile pentru calculul formal cu numere complexe, se obțin coordonatele polare a CFAF a cedării dinamice orientate :

$$A_o = \sqrt{A_{or}^2 + A_{oi}^2} \quad / 8.56 /$$

$$\tan \varphi = \frac{A_{oi}}{A_{or}} \quad / 8.57 /$$

$$\varphi = \text{arc tan} \left( \frac{A_{oi}}{A_{or}} \right) \quad / 8.57 /$$

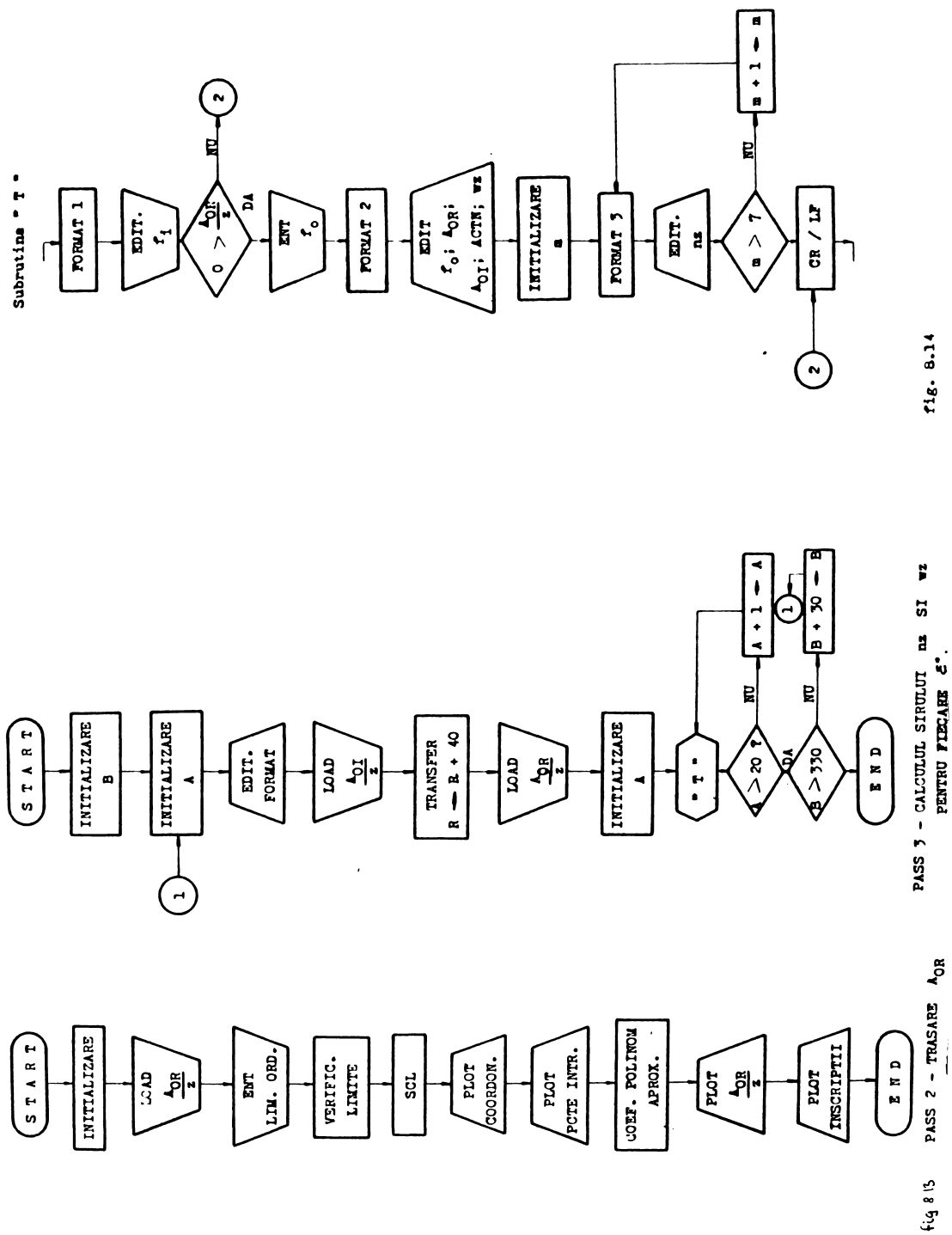
In anexele: A 194 ... A 205 , se prezintă rezultatul listării la imprimantă a valorilor calculate pentru relațiile : / 8.56 / / 8.57 / / 8.58 / , precum și a valorilor introduse : / 8.54 / 8.55 / pentru intervalul de frecvențe : 42 ... 120 Hz, și pentru cele 12 aranjamente S-P caracterizate prin unghiul  $\varphi$  .

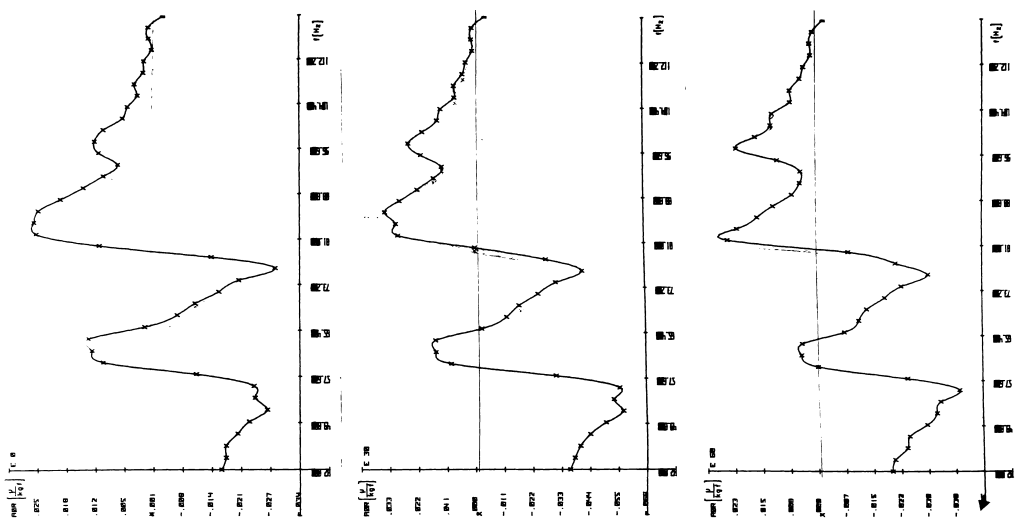
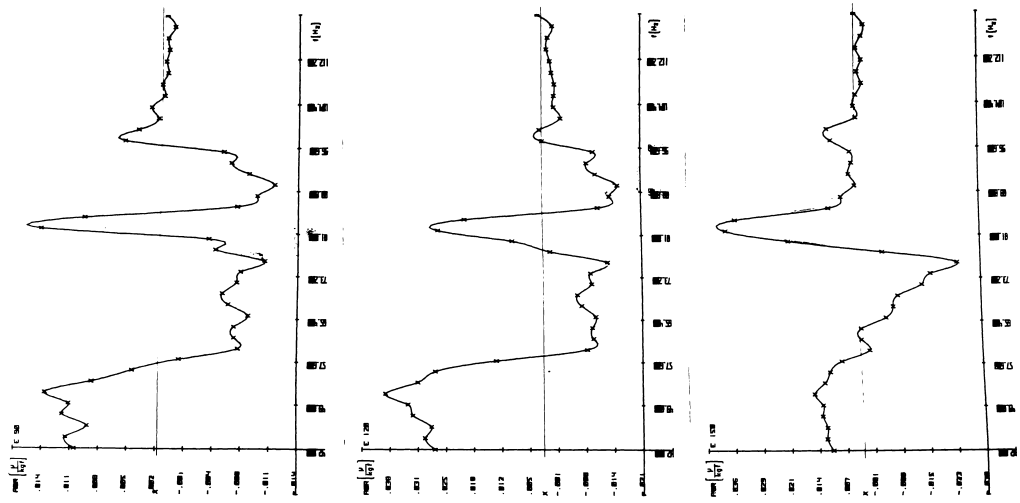
Din aceste tabele rezultă în mod evident frecvența critica a cedării orientate și anume la trecerea lui  $A_{or}/z$  dela valoarea ei pozitivă la cea negativă. În dreptul acestei frecvențe, unghiul de defazaj  $\varphi$  , trece peste valoarea de  $90^\circ$ .

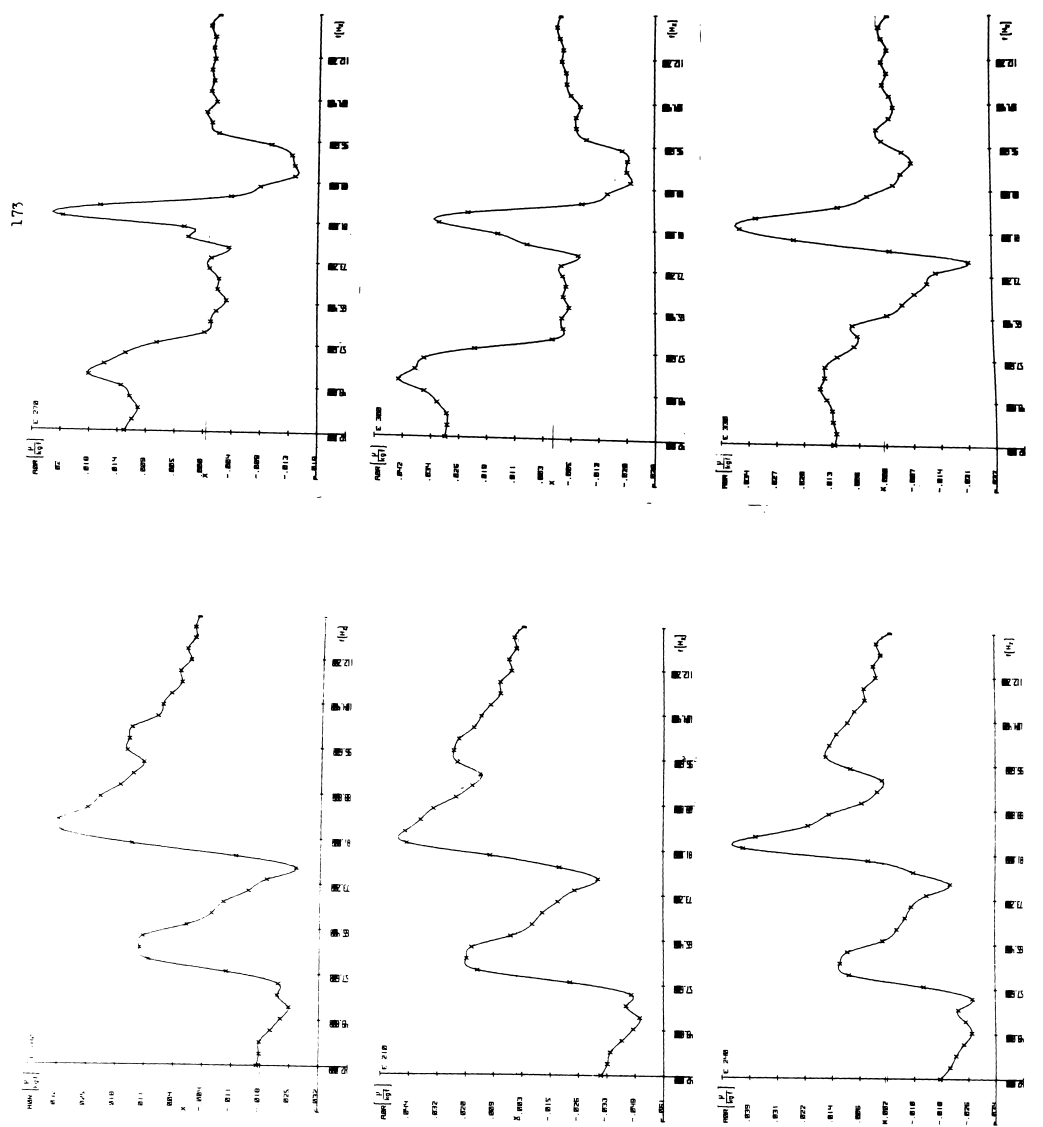
Aceste tabele mai servesc la calculele de optimizare al procesului tehnologic în care se urmărește îndeosebi  $w_{lim.max}$ . În asemenea cazuri, împreună cu valoarea coeficientului de aschier dinamic :  $k_{cw}$  , se poate calcula simplu, valoarea oricărei  $w_{lim}$ .

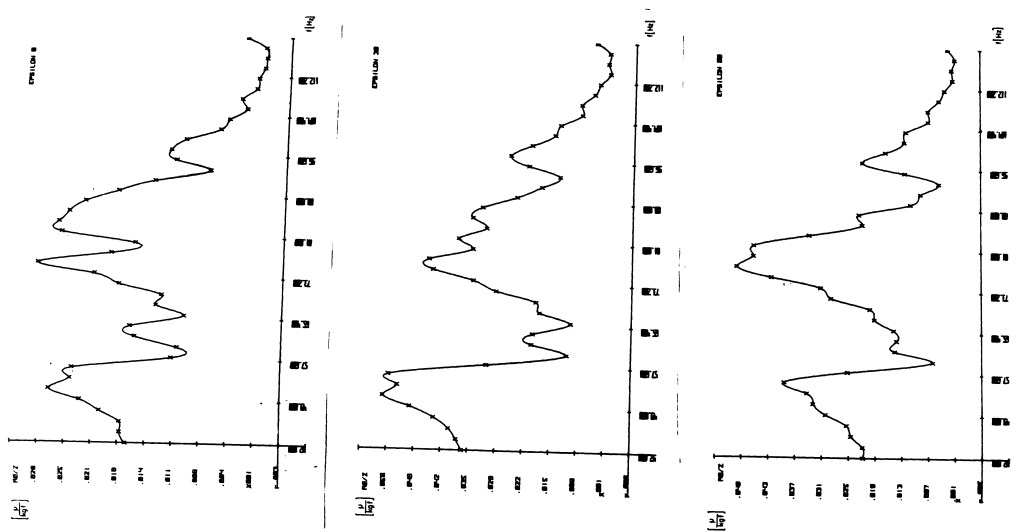
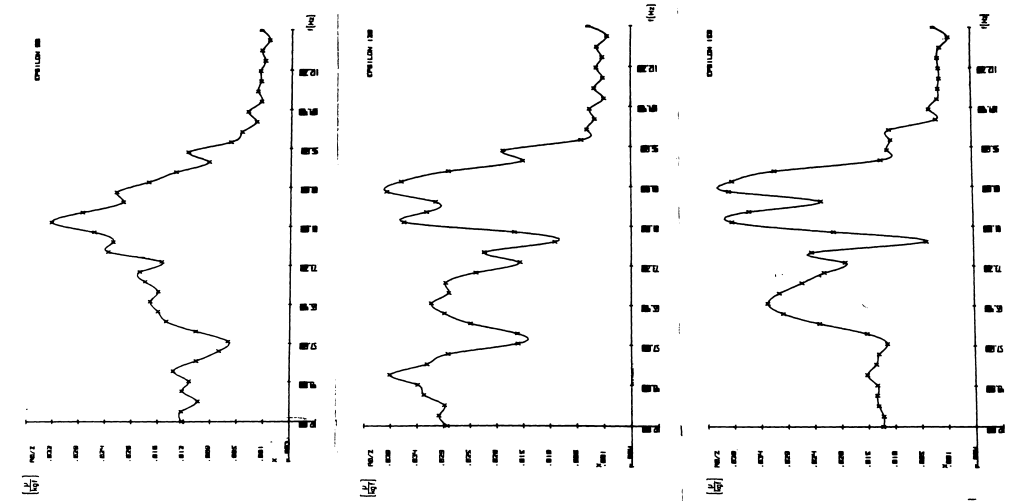
Din aceleasi considerente ca și mai sus, s-au trăsat și curbele:  $A_{or}/z$  / 8.54 / și  $A_o$  / 8.56 / , pe baza organigramei din fig. 8.13 / Pass 2 /. Diagramale reprezentănd curbele  $A_{or}$  se găsesc / pentru masina FV 32-1 / la scară diminuată, în fig. 8.15 , iar curbele  $A_o$  , pentru aceeași masină susamintată, diminuate la scara 1:2 față de original, se regăsesc pe fig. 8.16 .

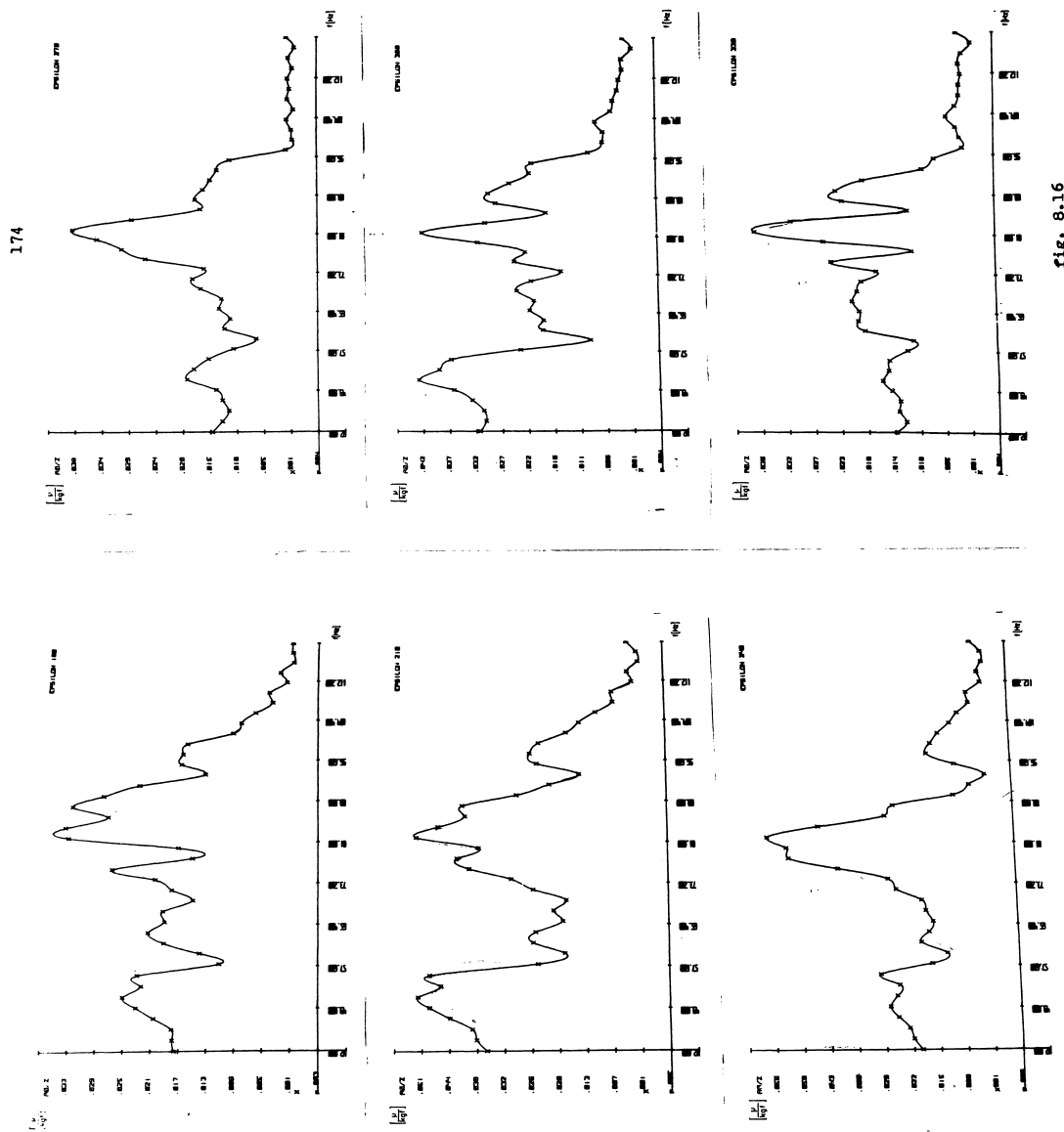
In diagramele  $A_o$  apar la unele aranjamente, mai multe maxime a cedării orientate, însă nu toate pot cauza instabilitate dinamica, ci numai acelea care pentru frecvența respectivă corespund unei zone cu valoare negativă a curbelor  $A_{or}$  . Confruntind din acest punct de vedere, două cîte două diagrame  $A_o$  și  $A_{or}$  , se pot determina cu ușurință domeniile de frecvență posibile la instabilitate, pentru fiecare aranjament S-P.











#### 8.4.5 Calculul sirului $w_z$ și $n_z$ și reprezentarea diagramelor de stabilitate.

Din analiza stabilității dinamice a sistemului MUPDS / cap. 8.3 /, se deduce unitatea de măsură  $w_z$  / 8.47 / a limitei de stabilitate a sistemului și care va constitui ordonata diagramei de stabilitate, în funcție de  $n_z$  / 8.38 / care va deveni abscisa aceleiași diagrame.

Termenii expresiilor susmenționate au fost calculați, și parțial și reprezentări grafic, conform celor tratate în capitolele : 8.4.2 ... 8.4.4 , urmând ca cu ajutorul programului / Pass 3 / al cărui organigramă este prezentat în fig. 8.14 , să fie calculat pentru domeniul de frecvențe : 42 ... 120 Hz , cele 12 aranjamente S-P, caracterizate prin unghiul  $\theta$  , precum și gamma complectă de turății a mașinei de frezat.

Rezultatul listării la imprimantă a valorilor expresiilor susamintită realizate de calculator, sunt cuprinse în anexele : A 230 .. A 241. Așa cum rezultă din analiza expresiei / 8.42 /, sistemul MUPDS poate deveni instabil, numai pentru frecvențele la cari partea reală a funcției de transfer a cedării dinamice orientate  $A_{or}/z$  , are valoare negativă. În consecință calculele s-au făcut numai pentru aceste cazuri, așa cum rezultă și din subrutina " T " a organigramei din fig. 8.14 . În anexele A 230 ... A 241, zonele albe corespund valorilor pozitive a expresiei  $A_{or}/z$  , iar cele cu valorile complectate de calculator, corespund expresiilor susamintite de valoare negativă.

Pe aceleasi tabele se disting în majoritatea cazurilor, cel puțin două zone distincte, la cari valoarea minimă a expresiei  $w_z$  se situează undeva la mijlocul zonei, ceea ce este dovedă prezentei a tot atîtea moduri de vibrații, respectiv grade de libertate, cari cauzează instabilitatea sistemului MUPDS. Deșigur cele două zone vor fi reprezentate grafic prin cîte două familii/de pungi/de zone de instabilitate. În mai multe cazuri, limita de stabilitate a uneia din zone este aşa de ridicată, căiese din domeniul diagramei, rămînind doar o singura familie de zone de instabilitate.

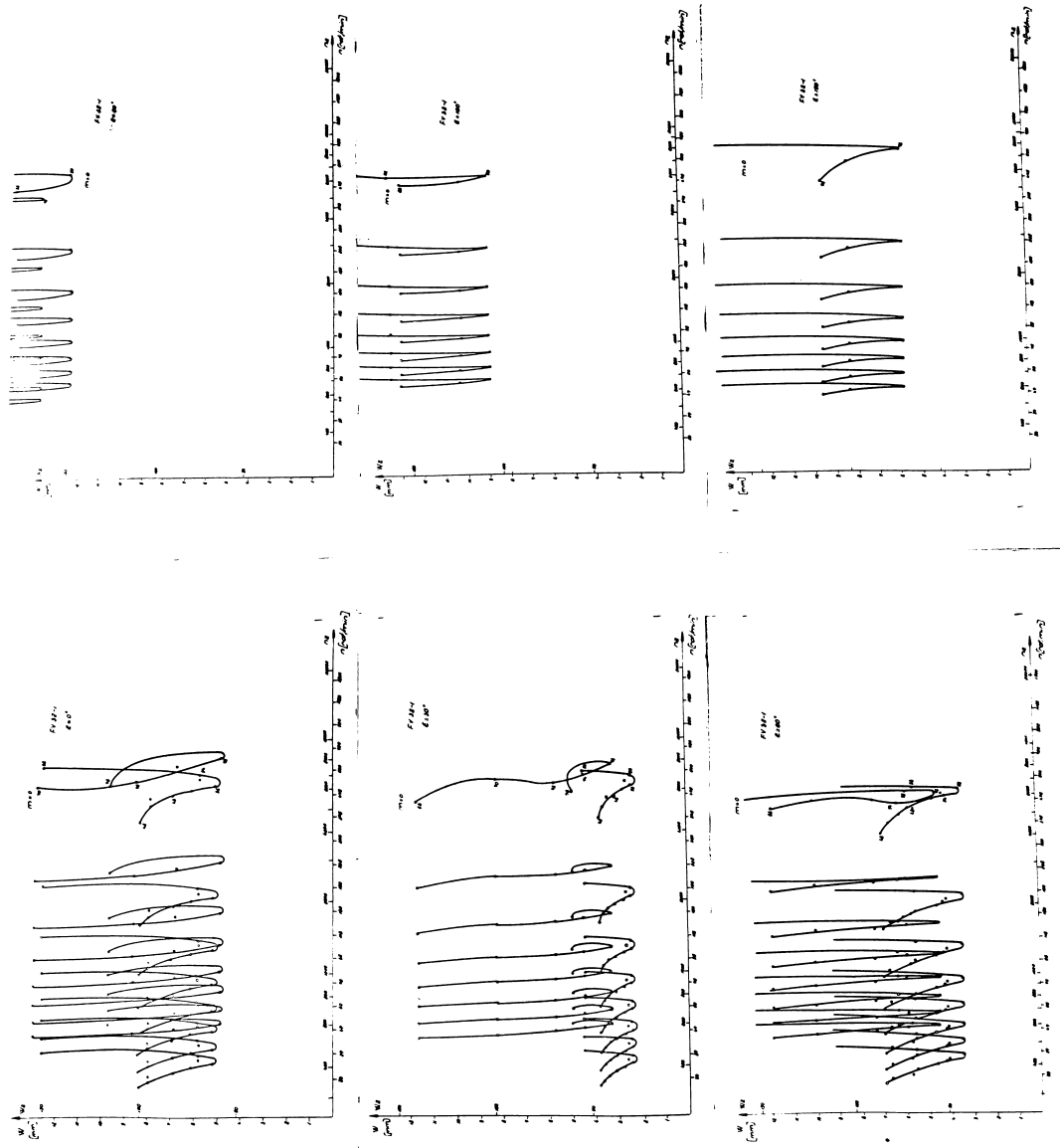
În relația / 8.38 / intră valoarea frecvenței critice  $f_0$  pentru modul respectiv de vibrație, ceea ce ar trebui să apară și în coloana a doua în tabelele din discuție. Respectarea ri-

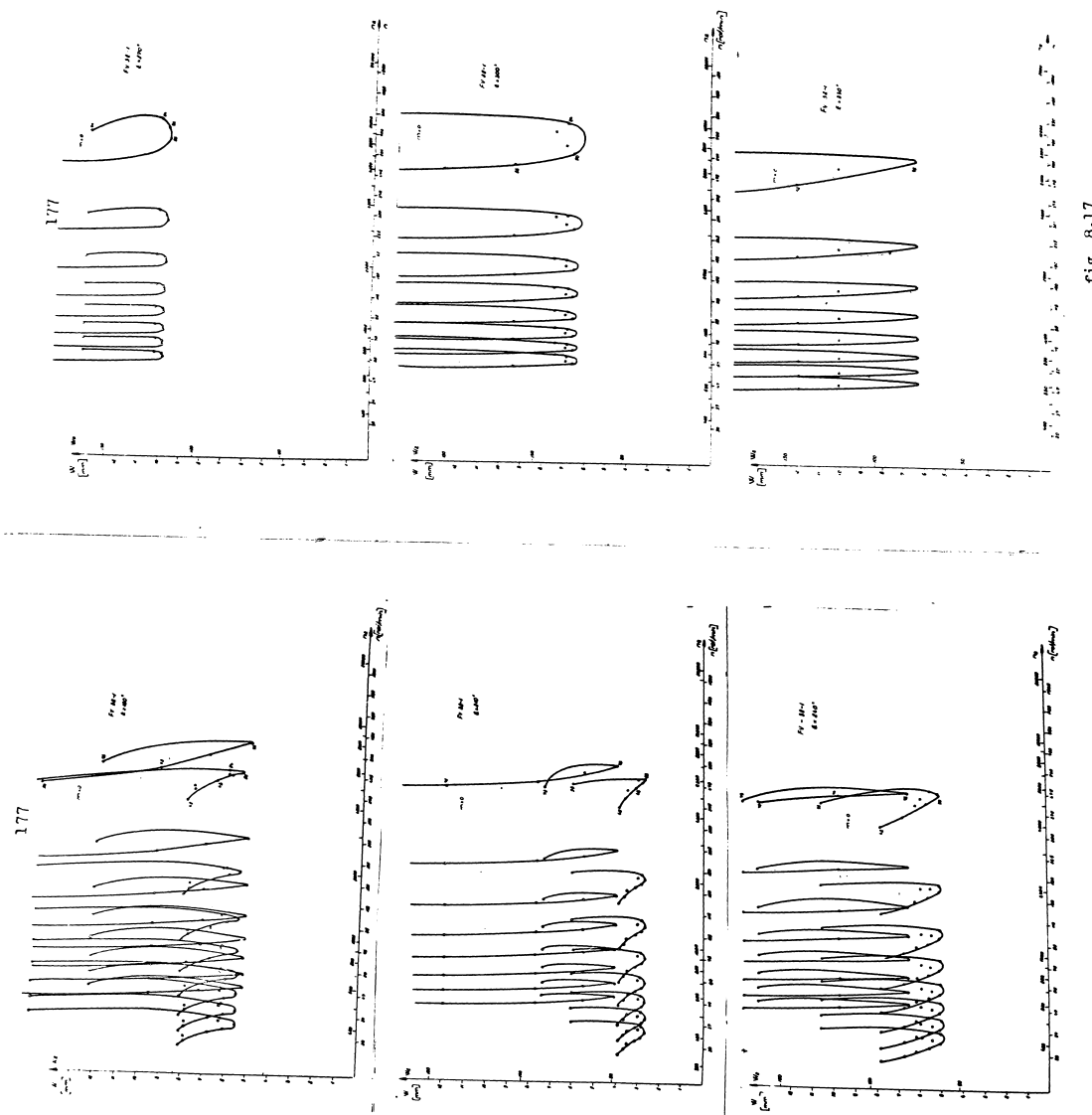
guroasă a acestei relații ar fi marit volumul de calculat în mod considerabil, ceea ce în condițiile capacitateii limitate a calculatorului folosit, ar fi mărit numărul complexității programului. Pentru a evita acest lucru, valoarea lui  $f_0$ , s-a substituit cu valoarea frecvenței instantanee. Eroarea comisă este insensibilă în zona inferioară - folosita efectiv - a curbei de stabilitate, devenind sensibilă / progresiv pînă la max. 20 % / pe ramurile superioare a curbei de stabilitate - zonă practic nefolositoare decît foarte rar. De altfel eroarea susmenționată lățind aparent zona de instabilitate, conferă metodei o siguranță suplimentară, cunoscind ca un culoar găsit stabil, va fi într-adevăr stabil.

Pentru mașina FV 32-1 , sunt prezentate diagramele de stabilitate, ridicate pe baza calculelor listate în anexele : A 230 ... A 241 . Diminuate la scara 1:2 , aceste diagrame se regăsesc pe fig. 8.17 . Pe abscisă s-a aplicat o scară logaritmică, fiind trecută atât valoarea expresiei  $nz$  - pentru întrebunțarea generală - cît și valoarea  $n$  - pentru cazul aplicării discrete, freza avînd  $z = 12$  . Întrucît gama rotațiilor frezei are salt geometric, reprezentarea la intervale constante a treptelor de rotație a frezei apare firească. În mod similar s-a trecut și pe ordonată atât expresia  $wz$  - pentru utilizare generală - cît și valoarea  $w$  a adâncimii limită de aşchiere, pentru cazul discret avînd  $z = 12$  , ambele însă la scară normală.

La 7 din cele 12 diagrame de stabilitate apar cîte 2 familiile de curbe de stabilitate, corespunzând desigur la tot atîtea moduri de vibrații și bineînțeles la cel puțin atîtea noduri de cedare dinamica. Desigur tangentă la curbele de stabilitate, se trage la familia avînd valoare  $wz$  minimă, acesta delimitînd zona permanent stabilă. Adevărata limită de stabilitate urmărește conturul inferior al buclelor curbelor de stabilitate în care caz, se găsesc intrînduri pentru valori mai ridicate a lui  $wz_{stabil}$  . În multe cazuri - în deosebi la diagramele avînd o singură familie de curbe de stabilitate și în general la numărul de rot/min mai ridicate a frezei - aceste intrînduri devin culoare, în cari practic adâncimea de aşchiere nu mai este limitată.

Există totuși o limitare a capacitatii de aşchiere a sis-



f<sub>LP</sub>, 8.17

temului tehnologic MUPDS, impusa de puterea motorului de antrenare a frezei. Curba adâncimii limită de aşchiere  $w_{lim}$  determinată de puterea de antrenare a motorului, s-a ridicat pe baza relației / 4.4 /, precum și a elementelor ei: / 4.5 ... 4.8 / și a celorlalte date prezentate în cap. 4.3 . Aceasta curbă, ridicată pentru  $N_e = 7,5$  kw și  $s_z = 0,053$  mm, este redată în fig. 8.18 , fiind realizate pe suport transparent, și la scara identică cu diagramele de stabilitate pentru  $\varphi^o = 0^o \dots 360^o$  prezente în fig. 8.17 , poate fi suprapusă cu acestea din urmă , iar astfel tehnologul putând avea o imagine clară asupra posibilităților tehnologice a mașinii de frezat în cauză.

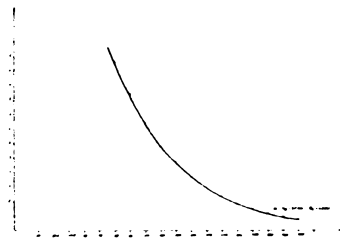


fig. 8.18

In continuare, avînd la bază valorile adâncimilor de aşchiere minime, pentru fiecare aranjament S-P , determinate de tangenta dusă la curbele de stabilitate de pe fiecare diagramă  $\varphi^o = 0^o \dots 360^o$  , se trasează diagrama polară a zonei de aşchiere permanent stabile, cu evidențierea simultană și a aranjamentului S-P la care se referă valoarea limitei de stabilitate permanente. Această diagramă, / fig. 8.19 / ridicată prin simularea teoretică a prelucrării prin aşchiere în cadrul sistemului MUPDS , ca formă și rezultat, este similară cu diagrama polară a zonei permanent stabile, / fig. 4.9 / ridicată pe bază de cercetări prin aşchiere, tratată în cap. 4 . Această diagramă s-a realizat și pe suport transparent, pentru a putea fi comparată cu diagrama din fig. 4.9 , cu scopul aprecierii eficacității și concludenței metodelor de cercetare folosite.

### **8.5 Concluzii, privind procesul tehnologic, în lumina analizei stabilității dinamice la frezare.**

Pornind dela dezideratele stabilite în cap. 1 și cap. 8, diagramele de stabilitate pt.  $\varphi^o = 0^o \dots 360^o$  din fig. 8.17 , servesc tehnologului, pentru a amplasa procesul tehnologic de frezare într-un domeniu favorabil aşchierii în condiții de sta-

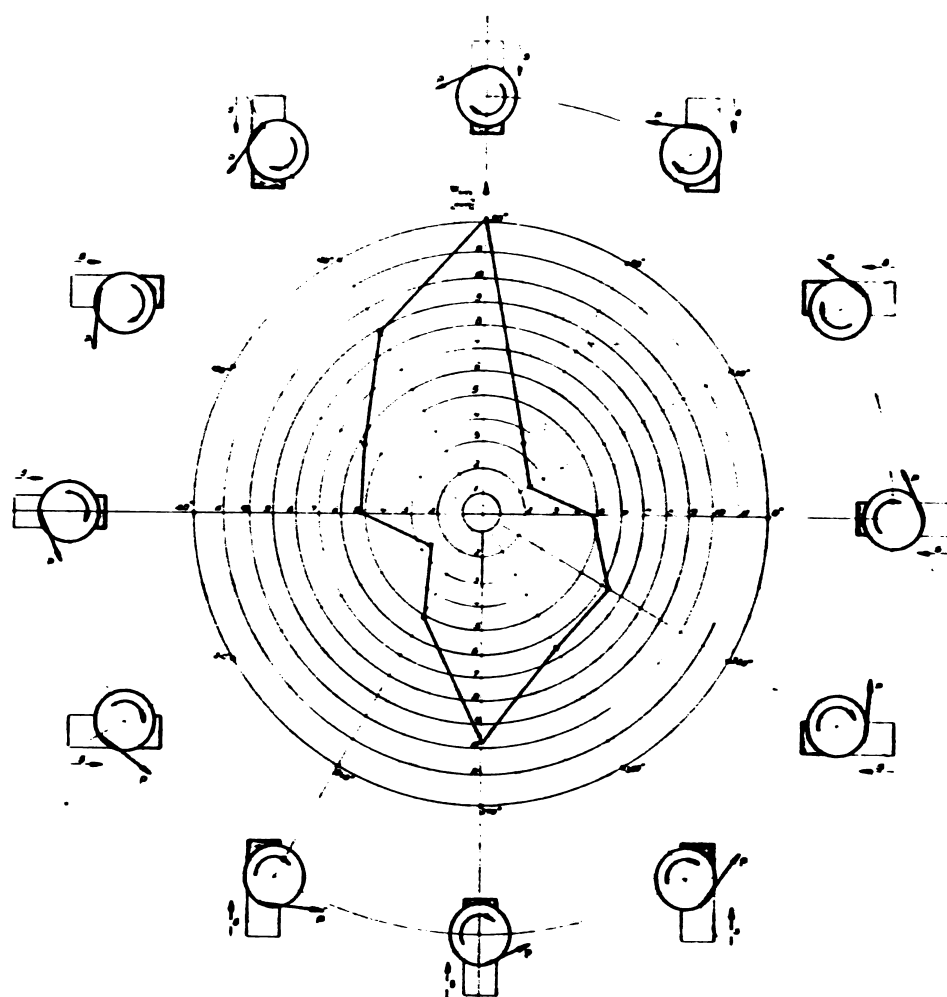


fig. 8.19

bilitate dinamică.

Urmărind desigur realizarea unei productivități maxime, trebuie ales una dintre aranjamentele S-P, care asigură necondiționat, frezarea cu adîncimi mari de aşchiere, în condiții de stabilitate dinamică. Pentru acest scop servește diagrama polară a zonei de aşchiere permanent stabile / fig. 8.19 // fig. 4.9 / din cari dintr-o singură privire se poate alege un aranjament S-P convenabil.

Comparind cele două diagrame de stabilitate de proveniență diferită, rezultă o similaritate bună. Alura generală a celor două diagrame este aceeași îndeosebi în zona cea mai importantă, a cedării maxime. În general se poate remarcă valoarea ceva mai mică a limitelor de stabilitate necondiționată din diagrama / fig. 8.19 / ridicată prin simulare teoretică a prelucrării prin aschiere, față de limitele diagramei / fig. 4.9 / ridicată pe bază rezultatelor cercetărilor prin aschiere. Acest fapt se poate atribui efectului stabilizator al procesului de aschiere / cap. 3.4.1 /, efect ce nu este luat în considerare la metoda simulării. Altă deosebire cantitativă se poate observa pe direcțiile perpendiculare față de direcția cedării dinamice maxime, de același sens ca și în cazul anterior. Cauza limitelor aparent mai reduse din diagrama din fig. 8.19, este probabil, că la metoda simulării aschierii nu s-a luat în considerare mărirea amortizării din ghidajele mesei longitudinale, datorită frecării viscoase a lubrefiantului / cap 3.1.5 / care în prezență evansului din timpul aschierii / fig. 4.9 / are efect stabilizator. Acest lucru se remarcă la aranjamentele susmenționate, la cari totodată forțele de aschiere au direcția preponderent perpendiculară pe suprafața ghidajului longitudinal.

În final se poate aprecia corectitudinea metodelor cu care s-a lucrat, aceste metode dovedindu-se să fie realiste, conciudente și suficient de univoc, ceea ce indică utilitatea practică a lor.

Revenind la optimizarea procesului tehnologic de frezare, se presupune cazul, în care aranjamentul S-P nu poate fi schimbat din considerente constructive, dimensionale, tehnologice ai piesei. În acest caz, trebuie să exploatate domeniile stabile sub formă de intrînd sau culoar, dintre buclele curbelor de stabilitate și trebuie aleasă o turărie a frezei, care corespunde ca ordine de mărime vitezei optime de aschiere pentru cazul dat, totodată se situează în dreptul unui intrînd sau culoar stabil, de pe diagramele de stabilitate pt.  $\varphi^0 = 0^\circ \dots 360^\circ$  din fig. 8.17. În acest caz, adâncimea de aschiere  $w_{lim}$  cu care se poate aschia în aranjamentul dat, în condiții de stabilitate dinamică, este mai ridicată, în cazul situării într-un intrînd, și nelimitată în cazul fericit al situării pe un culoar stabil dintre

bucle.

O astfel de optimizare este practicată în activitatea cotidiană de producție și se rezolvă în majoritatea cazurilor, prin schimbarea turăției frezei la o treaptă sau mai multe trepte inferioare. Desigur prin aceste tatonări, se nimerește într-un intrînd sau culoar stabil. Această soluție însă cauzează scăderea productivității muncii respectiv a capacitatii de aşchiere. Cu ajutorul diagrameelor de stabilitate pt.  $\varphi^0 = 0^\circ \dots 360^\circ$  din fig. 8.17 rezultă în mod evident, că intrînd sau culoar stabil se găsește mai ușor în direcția creșterii turăției, deoarece în această direcție distanța între curbele /bucile/ de stabilitate este în creștere, deci și spațiul între ele, sub formă de intrînd sau culoar, este mai larg, deci cu posibilități de amplasare mai ușoara. Mai important este faptul, ca trecînd la o treaptă de turăție mai mare, capacitatea de aşchiere în loc să scadă, va crește, ceea ce asigura un spor de productivitate considerabil. Deoarece la această idee, s-a plecat dela o valoare medie a vitezei optime de aşchiere, creșterea vitezei de aşchiere echivalentă cu 1-2 trepte de turăție este admisibilă în condiții bune, iar cu ocazia cercetărilor prin aşchiere, descrise în cap. 4, s-a constatat în toate cîteva sute de regimuri de aşchiere realizate, ca creșterea vitezei de aşchiere peste valoarea ei medie asigură o suprafață excelentă a piesei, fără o creștere simțitoare a uzurii sculelor, pînă cînd în cazul diminuării vitezei de aşchiere corespunzătoare cu aceași număr de 1-2 trepte de turăție, suprafață aşchiată prezintă rugozitate proporțional mai mare, iar uzura cuțitelor devine mai pronunțată.

Rezultă deci, că tehnologul, cu ajutorul diagrameelor de stabilitate pt.  $\varphi^0 = 0^\circ \dots 360^\circ$  din fig 8.17, poate alege încă la proiectarea procesului tehnologic, un proces tehnologic de aşchiere, care va decurge în condiții stabile pentru aranjamentul S-P dat. Deși această metodă de optimizare este acoperitoare, există încă posibilități de ameliorare. Pornind dela cazul aplicației discrete, la care freza are  $z = 12$  dinti, a rezultat scara inferioară n a abscisei. Diagrama de stabilitate fiind legată neschimbăt de scara superioară de pe abscisă, adică valoarea  $M_z$ , avînd deci valabilitate generală, rezultă deci că utilizînd o freză avînd același diametru, dar numărul de dinti

$z$  mai mare, scara inferioară n a abscisei, se deplasează spre dreapta, deci pentru aceeași număr de rotații a frezei pe minut, adică aceeași viteză de aşchiere, se vor găsi intrînduri și culoare de stabilitate mai largi, mai încăpătoare, deci o posibilitate de optimizare mai ușoară, cu necesitatea de abatere mai mică dela viteza de aşchiere medie, inițial aleasă.

Cele de mai sus, sunt desigur valabile pînă la atingerea curbei adîncimei limită de aşchiere, ce este limitată de puterea motorului de antrenare :  $w / N_e$ ,  $s_z /$ . Suprapunind graficul acestei curbe / fig. 8.18 / peste diagramele de stabilitate  $\varphi^0 = 0^\circ \dots 360^\circ$ , respectiv fig. 8.18 peste cele din fig. 8.17, rezultă că în dreptul culoarului cel mai larg, între curba cu  $m = 0$  și curba cu  $m = 1$  între valorile lui  $n_z = 2500 \dots 5000$  respectiv  $n = 235 \dots 375$  / pt.  $z = 12 /$ , adîncimea de aşchiere limitată de puterea motorului este destul de redusă, atingînd doar  $w_{\lim} N_e = 2 \dots 4$  mm. Desigur cu aceasta, scopul principal al prezentei lucrări, de a asigura condiții stabile de aşchiere pînă la limita puterii motorului principal de antrenare, a fost atins. Rămîne însă un regret profesional, interdicția exploatării acestei zone dinamic stabile, ce se oferă gratis.

O posibilitate "neconformă" este suprasolicitarea motorului, lucru ce se poate face pînă la limita reglării releeelor de protecție termice. Cu ocazia cercetărilor prin aşchiere, tratată în cap.4 s-a suprasolicitat motorul, pe intervale scurte, tocmai în acest domeniu, chiar pînă la puterea dublă a lui, fără nici o repercusiune asupra motorului sau asupra mașinei, atingînd desigur adîncimea de aşchiere corespunzătoare, deci s-a pătruns adînc în culoarul de stabilitate respectiv, confirmînd existența lui.

Altă modalitate de a exploata culoarele de stabilitate din față, ar fi schimbarea motorului cu unul mai puternic.

Metoda de optimizare a procesului tehnologic de frezare cu ajutorul diagramelor de stabilitate / fig. 8.17 / este adecuată fabricației de serie mica și mijlocie pe mașini unelte universale, pe cari se prelucră o diversitate mare de piese. Diagramele de stabilitate susanintite sunt valabile pentru un grup de MU de același tip și deci constructiv identice. U ediție nouă de MU de același tip, însă căruia s-au adus modificări

constructive, va avea o comportare dinamică diferită, deci diagramele de stabilitate trebuieesc refăcute, pe baza noilor CFAF , coeficienții direcționali rămînd neschimbați, dacă elementele geometrice a sculei precum și al piesei rămîn sensibil același.

Există situații, îndeosebi la fabricația de serie, unde se folosesc MU monoscop, unde varietatea tehnologică pe aceași tip de MU este mică, sau MU de mare universalitate / de ex. centre de prelucrare / unde se prelucrează piese de mare complexitate cu o varietate foarte mare de scule precum și condiții geometricice a piesei. În aceste cazuri nu totdeauna devine rațională ridicarea complectă a diagramelor de stabilitate sub forma celor din fig. 8.17 , pentru primul caz datorită faptului că aceste diagrame cuprind un domeniu foarte larg, iar la MU monoscop nu este necesară, iar în cel de al doilea caz, varietatea foarte mare geometrică ce determină coeficienții direcționali necesită recalcularea repetată a acestora.

În asemenea situații se poate folosi o metodă de optimizare "semifinită", la care pentru a obține domeniul stabil pentru cele cîteva cazuri, se folosesc reprezentările grafice ai curbelor părților reale  $G_{kjr}$  ale FT a cedării dinamice direcție și transversale, combinate cu diagramele variației valorilor medii în timp ale coeficienților direcționali. Întrucît pentru valoarea pozitivă a produsului :  $G_{kjr} \cdot R_{jkm}$  domeniul este stabil, se va căuta pentru frecvență de excitație forțată interioară nz o combinație corespunzătoare, adică dacă  $G_{jkr}$  are în domeniul respectiv valoare negativă, se va căuta în cele 4 diagrame  $R_{jkm}$  corespondente, un aranjament potrivit, care să asigure coeficientul direcțional tot de sens negativ și vice versa. Desigur acest lucru nu este întotdeauna posibil, iar produsul  $G_{kjr} \cdot R_{jkm}$  nu poate fi decât negativ. În acest caz, pe baza relației / 8.47 / limita de stabilitate va fi cu atât mai ridicată, cu cît valoarea produsului de mai sus, va fi mai mică. În acest caz desigur se va căuta pe diagramele  $G_{xxr} \dots G_{zzr}$  valorile negative cele mai mici.

Este firesc ca în asemenea cazuri nu trebuie tratate toate cele 9 FT a cedării dinamice, ci numai acelea cări au cedări specifice mari în dreptul domeniului de frecvență interesat.. Acest procedeu durează ceva mai mult, însă nu trebuie să facute toate calculele ce sunt necesare pentru ridicarea diagramelor de stabilitate de genul din fig. 8.17 .

9. Concluzii finale.

Productivitatea muncii la mașinile de frezat cu consolă, depinde în mod hotăritor de capacitatea de aşchiere, care în multe cazuri este limitată prematur de stabilitatea dinamică insuficientă. Pierderea stabilității dinamice la un regim de aşchiere uneori mult sub cel limitat de puterea motorului de antrenare a sculei, se datorează faptului că atât la proiectarea MU, cât și la proiectarea procesului tehnologic, comportarea dinamică a sistemului MUPDS și mai ales a MU, este luat în considerare în mod neîndestulător.

Din punctul de vedere al proiectantului de MU și al proiectantului procesului tehnologic, motivele par preponderent obiective. Există încă controverse cu privire la cauzele apariției vibrațiilor, la ponderea acestor cauze, la obiectivitatea metodelor de cercetare, la criteriile de apreciere al comportării dinamice a sistemului tehnologic MUPDS, etc. Probabil din aceste motive, informațiile din acest domeniu sunt în mare parte din domeniul laboratoarelor de cercetări, deci parțiale, lapidare, puțin aplicative etc. și astfel insuficiente proiectantului de MU și proiectantului de PT.

Fără pretенția de a fi rezolvat integral la mașinile de frezat cu consolă problema limitării productivității muncii, cauzată de apariția vibrațiilor, în lucrarea de față s-a încercat rezolvarea unor dileme privind : ponderea cauzelor apariției vibrațiilor, metodele de cercetare dinamică a MU, valorificarea rezultatelor acestor cercetări, și a.

Prin cercetarea multilaterală și extinsă a unor MU de frezat cu consolă, s-au elucidat unele probleme insuficiente de claritate din literatură, s-au completat unele discontinuități în metodele de investigații și interpretarea fenomenelor și rezultatelor, s-au aplicat în practica uzinală aceste principii și metode, iar similaritatea rezultatelor cercetărilor, obținute prin diverse căi, confirmă corectitudinea căilor și metodelor abordate.

In acest fel se pune la dispoziția proiectantului de MU și a proiectantului PT, metodele de cercetare / și rezultatele / aplicabile în uzină, cu ajutorul cărora poate realiza o MU cu

comportare dinamică îmbunătățită, putind ridica domeniul permanent stabil, pînă peste limita domeniului puterii de antrenare a motorului principal, iar proiectantul PT. putind stabili procese tehnologice, cu comportare dinamică stabilă în același domeniu / și chiar depășind aceasta / delimitat de puterea motorului de antrenare, asigurînd cale liberă creșterii productivității muncii.

Rezultă deci, că motivele obiective, amintite la începutul acestui capitol, cari au stat la baza imposibilității stăpînirii vibrațiilor la MU, de către proiectantul de MU și de PT , pot fi deja lichidate la oricare întreprindere constructoare de MU.

Acest lucru a devenit deja imperios necesar, deoarece preocupările pe plan mondial, de a asigura MU cu comportament dinamic stabil, a devenit o preocupare cotidiană, deci competitivitatea industriei noastre constructoare de MU nu poate fi concepută, fără rezolvarea și a acestei probleme. În acest sens, din lucrare rezultă unele concluzii :

1. Prin metodele de proiectare actuale, nu se poate realiza a priori o MU cu domeniul tehnologic permanent stabil, dar se poate apropiă de acest deziderat, prin aplicarea și a concluziilor constructive din cap. 7 , ca rezultat al cercetării de comportare dinamică a unor MU.

2. Un prototip de MU realizat pe baza unui proiect nou, se recomandă a fi supus unei cercetări de comportare dinamică prin metoda excităției, conform celor tratate în cap. 5 și 6 , în vederea :

2.1. Posibilității calculării valorilor caracteristice dinamice ale structurii / conform cap. 5.4 / cari sunt indicatorii cantitativi ai performanțelor dinamice a MU. Aceste valori, comparate cu cele ale altor mașini de tipodimensiune similară, arată nivelul constructiv al noului prototip, precum și șansele sale de competitivitate.

2.2. Posibilității depistării nodurilor dinamic slabe și realizarea de modificări constructive, în vederea măririi rigidității dinamice, conform cap. 7.2.

2.3. Ridicării diagramelor de stabilitate și suprapunerelor cu curba puterii motorului de antrenare / conform cap. 8 / , cu scopul de a verifica dacă în domeniul tehnologic asigurat de

motorul de antrenare, se poate asigura stabilitate dinamică necondiționată.

3. Pe baza rezultatelor cercetărilor dela punctul 2, se vor aduce îmbunătățiri prototipului și se repetă aceleași cercetări, pînă cînd performanțele dinamice ale prototipului ating nivelul corespunzător, în condițiile tehnice date ale întreprinderii constructoare de MU.

4. Un număr de 2 ... 5 mașini din seria zero, se vor supune cercetărilor dela punctul 2, în vederea verificării nivelului de fidelitate al tehnologiei de fabricație de serie, și de a aduce îmbunătățirile procesului tehnologic de execuție și montaj, acolo unde rezulta noduri dinamic slabe, de data aceasta cauzate de imperfecțiuni de execuție.

5. La un exemplar, avînd comportare dinamică normală, din lotul dela punctul 4, se va aplica și cercetarea comportării dinamice prin așchiere, conform capitolului 4, în scopul :

5.1. Ridicării diagramei de stabilitate necondiționată, care va fi comparată cu cel ridicat prin procedeul excitării la seria zero.

5.2. Stabilirea a 3 aranjamente, centrate în jurul direcției cedării dinamice maxime, care să constituie elementele receptiei dinamice ale fiecărui exemplar, conform celor propuse în cap. 4.5.

6. Cartea mașinii, livrată beneficiarului împreună cu mașina unealtă, ar trebui să posede un capitol de "soft ware", cuprinzînd:

6.1. Diagrama de stabilitate necondiționată, ridicată prin așchiere, conf cap. 4.4. / Aceași diagramă să fie aplicată sub formă zincografiată pe mașină, pentru a-i servi și lucrătorului frezor / .

6.2. Cele 12 diagrame de stabilitate buclate, ridicate la seria zero / conf. punctului 2.3 /.

6.3 Diagramele reprezentînd variația coeficienților direcționali, precum și diagramele părții reale a CFAF și mașinii.

6.4. Recomandări, în vederea evitării eventualelor domenii de instabilitate dinamică.

Acest capitol de "soft ware" va constitui un fascicol detasabil din cartea mașinii, fiind destinat în deosebi proiectantului procesului tehnologic pe MU respectivă. Prin acestea, po-

sibilitățile exploatarii performanțelor tehnologice ale mașinii pot fi extinse la limită, constituind un spor de productivitate în favoarea economiei naționale, iar la exemplarele exportate, va constitui un argument puternic în slujba competitivității.

7. Se recomanda constituirea în fiecare întreprindere constructoare de mașini unelte, a standului pentru cercetări dinamice ale MU, pe principiul descris în cap. 5.1 , folosindu-se aparatajul existent din dotare, cu eventualele complectări în mare parte din producția internă.

8. Să se elaboreze norme interne sau departamentale, privind metodologia cercetării comportării dinamice a MU, similar cu cea descrisă în cap. 5...8 , precum și planuri calendaristice în vederea elaborării unor limite de valori caracteristice, pentru grupe de tipodimensiuni de MU , care în circa 5 ani să devină elementul constitutiv al normelor de recepție ale MU.

9. Să se asimileze în țară aparataj complex, pentru analiza comportării dinamice a structurilor, cu înglobarea unor calculatoare de proces, în vederea prelucrării automate a datelor și furnizarea rezultatelor cercetării în mod prompt.

Din contribuții ale autorului se amintesc :

Realizarea în uzini constructoare de mașini, a standurilor de cercetări integrate pentru cercetarea comportării dinamice a MU , din aparataje și elemente de acționare ce se găsesc în uzini, sau realizate în uzine, dintre cari se evidențiază : sistemul de excitație, traductorii de forță și de amplitudine, precum și raționalizările în vederea posibilității efectuării cercetărilor de un singur om.

Realizarea integrală a unei cercetări prin așchiere, asupra unei mașini de frezat verticale fabricate în țară și ridicarea diagramei de stabilitate necondiționată, bazată pe aceste cercetări. Recomandări privind unele probe de așchiere la recepția finală a mașinilor de frezat din fabricația de serie, în vederea verificării corectitudinii execuției și montajului, din punctul de vedere al comportării dinamice.

Conceperea unui mod eficace de reprezentare a deformărilor modurilor de vibrații.

Aplicarea pe scară largă a prelucrării datelor experimentale cu ajutorul calculatorului numeric, inclusiv trasarea

curbelor și diagrameelor rezultate din calcule, precum și a deformelor modurilor de vibrații.

Rezolvarea posibilității interpretării generale a rezultatelor cercetărilor, prin aplicarea unui sistem unitar de referință, redus la originea cercului trigonozetric respectând regulile acestuia, precum și introducerea unor valori de referință practice, care determină aranjamentele S-P.

Elaborarea metodei de reprezentare grafică a amplitudinilor relative a unor noduri importante ale structurii MU, care contribuie simțitor la obiectivitatea interpretării deformelor modurilor de vibrații.

Modul de analiză și de evaluare a rezultatelor cercetărilor prin așchiere, precum și metoda recapitularii ponderate a cauzelor apariției instabilității dinamice.

Modul de evaluare și de interpretare a rezultatelor cercetării prin excitație, având la bază analiza valorilor caracteristice și a deformelor modurilor de vibrații.

Simularea cu ajutorul calculatorului numeric - având la bază rezultatele cercetărilor prin excitație a structurii MU - a gamei complete ale procesului tehnologic de frezare, ce acoperă integral posibilitățile tehnologice ale mașinii de frezat, pe baza sistemului de referință unitar și valorile de referință practice, accesibile tehnologului, precum și ridicarea diagramelor de stabilitate corespunzătoare.

Contribuția principală constă în realizarea concretă, integrală a analizei dinamice multilaterale a unor mașini ușor de fabricație romanească, cu rezultate căt se poate de concluzante și verosimile în vederea măririi capacitatei de producție ale acestora.

Bibliografie.

1. Arnold, R.N. Mechanism of Tool Vibration in Cutting of Steel  
Proceedings Institutions of Mechanical Engineers 154 /1946/
2. Beckenbauer, K. Verbesserung des dynamischen Verhaltens von Werkzeugmaschinen durch den Einsatz aktiver Dämpfer  
Industrie-Anzeiger 91 /1969/ Nr. 95
3. Bernardi, F. Untersuchung und Berechnung des Ratterverhaltens von Dreh- und Fräsmaschinen  
Dissertation TH Aachen 1969
4. Blankenstein, B. Der Zerspanungsprozess als Ursache für Schnittkraftschwankungen beim Drehen mit Hartmetallwerkzeugen  
Dissertation TH Aachen 1968
5. Böttcher, R. Untersuchungen über das dynamische Verhalten hydrostatischer Spindellagerungen  
Industrie-Anzeiger 90 /1968/ Nr. 85
6. Broch, J.F. Messungen von mechanischen Schwingungen und Stößen  
Brüel & Kjaer 1970
7. van Brussel, H.  
Vanherck, P. A New Method for the Determination of the Dynamic Cutting Coefficient  
11. MTDR Conference 1970
8. Ciorănescu, N. Tratat de matematici speciale  
Ed. Didactică și Pedagogică București 1963
9. Danek, O.  
Polacek, M.  
Spacek, L.  
Tlusty, J. Selbsterregte Schwingungen an Werkzeugmaschinen  
VEB Verlag Technik Berlin 1962
10. Dregger, E.U. Untersuchungen des instabilen und des stabilen Fräsprozesses  
Dissertation TH Aachen 1966
11. Eremin, A.N. Fiziceskaia suscinitost iavlenii pri rezani stali  
Mašgiz Moskva-Sverdlovsk 1954

12. Fishwick, W.  
Tobias, S.A. Einfluss flexibler Aufstellung auf das  
Rattern von Werkzeugmaschinen  
2. FOKOMA, Vogel Verlag Coburg 1955
13. Harris, C.M.  
Crede, C.E. Socuri și vibrații  
Editura tehnică București 1968
14. Hewlett  
Packard 9820 Calculator Operating and Programming  
Instructiuni de operare și programare
15. Kals, H.J.J. On Calculation of Stability Charts on the  
Base of the Damping and the Stiffness of  
the Cutting Process  
Report of Production Engineering Laborat.  
Eindhoven University of Technologie 1970
16. Kegg, R.L. Cutting Dynamics in Machine Tool Chatter  
Journal of Engineering for Industry  
Trans. ASME, vol. 87, Series B, nr. 11, 1965
17. Koenigsberger, F.  
și colectiv Dynamisches Verhalten spanender Werkzeug-  
maschinen  
14. Aachener Werkzeugmaschinen-Kolloquium  
Industrie-Anzeiger 93 /1971/ Nr. 69
18. Koenigsberger, F.  
Tlusty, J. Machine Tool Structures  
Pergamon Press Oxford 1970
19. Kudinov, V.A.  
Vorobieva, T.S. Ispitanie stankov obščego naznacenija na  
vibroustoicivosti pri rezanii  
Stanki i instrument nr. 8, 1962
20. Kudinov, V.A. Dinamica mașinilor unelte  
Editura tehnică București 1970
21. Kunkel, H. Untersuchungen über das statische und dy-  
namische Verhalten verschiedener Spindel-  
Lagersysteme  
Dissertation TH Aachen 1966
22. Lemon, J.R.  
Ackermann, P.C. Application of Self-Excited Machine-Tool  
Chatter Theory  
Journal of Engineering for Industry, Trans.  
ASME, Series B, vol. 87, nr. 11, 1965
23. Manley, R.G. Waveform Analysis  
John Wiley & Sons New York, 1948

24. Mendel, T.  
Savii, G.  
Metodă pentru analiza comportării dinamice a structurii unei mașini unelte  
Lucrare susținută la Sesiunea de comuni-cări tehnico-științifice a Intreprinderii de Strunguri Arad, noiembrie 1974.
25. Mendel, T.  
Savii, G.  
Stand pentru încercarea comportării dinamice a mașinilor unelte  
Lucrare susținută la Sesiunea de comuni-cări tehnico-științifice a Intreprinderii de Strunguri Arad, noiembrie 1974.
26. Mendel, T.  
Căi spre aneliorarea comportării dinamice a mașinilor  
Lucrare susținută la Simpozionul tehnico-științific a Intr. Unirea Cluj-N, Inst. Politehnic Cluj-N, Inst. Politehnic Iași, aprilie 1977.
27. Mendel, T.  
Tendințe spre optimizarea procesului teh-nologic prin aschiere  
Lucrare susținută la Simpozionul tehnico-științific a Intr. Unirea Cluj-N, Inst. Politehnic Cluj-N, Inst. Politehnic Iași, aprilie 1977.
28. Merchant, M.E.  
Basic Mechanics of the Metal-Cutting Process  
Journal of Applied Mechanics, vol. 11,  
Trans. ASME, vol. 66, 1944.
29. Merrit, H.E.  
Theory of Self-Excited Machine-Tool Chat-ter  
Journal of Engineering for Industry, Trans. ASME, Series B, vol. 87, nr. 11, 1965.
30. Montanwerke  
Walter GmbH.  
Wendeplattenfräser mit Schneidplatten aus Hartmetall  
Catalog nr. 71/332
31. Moog Inc.  
Type 30 Flow Control Servovalves  
Descriere tehnică, East Aurora, New York.
32. Oppelt, W.  
Tehnica reglării automate  
Editura tehnica București, 1965.
33. Opitz, H.  
Moderne Produktionstechnik, Stand und Tendenzen  
Verlag W. Girardet, Essen, 1970

34. Pavelescu, D. Concentri noi, calcul și aplicări în frecarea și uzarea solidelor deformabile Editura Academiei RSR 1971.
35. Peters, J. What Can Vibration Research Contribute to Machine Tool Development Prod. Eng. Res. Conference ASME Pittsburgh 1963.
36. Peters, J. Vanherck, P. van Brussel, H. Die Messung der dynamischen Schnittkraftkoeffizienten Fertigung 2 / 1972 .
37. Pfeifer, F. Berührungsloser elektromagnetischer Schwingungserreger für dynamische Untersuchungen an Werkzeugmaschinen Dissertation TH Aachen 1968
38. Piekenbrink, R. Wechselkräfte und Schwingungen beim Frasvorgang Industrie-Anzeiger 77 /1955/ Nr. 62.
39. Polacek, M. Slavicek, J. Messen des dynamischen Schnittkraftkoeffizienten und Berechnung der Stabilitätsgrenze Bericht de JUOSO Praha, februarie 1971.
40. Popovici, C. Savii, G. Killman, V. Tehnologia construcției de mașini Ed. Didactică și Pedagogică, București 1967
41. Potma, T. Strain Gauges, Theory and Application Philips Paperbacks, Eindhoven 1967.
42. Radeș, M. Metode de rezonanță pentru studiul dinamic al structurilor deformabile Studii și cercetări de mecanică aplicată nr. 3, Tomul 32, 1973.
43. Radeș, M. Metode de analiză grafică a răspunsului dinamic al sistemelor mecanice Studii și cercetări de mecanică aplicată nr. 1, Tomul 33, 1974.
44. Rehling, E. Entwicklung und Anwendung elektrohydraulischer Wechselkrafterreger zur Untersuchung von Werkzeugmaschinen Dissertation TH Aachen 1965

45. Regetov, D.N. Detali i mehanizmî metallorejuçcîh stan-kov  
Izdatelstvo Mašinostroenie, Moskva 1972
46. Rîjkov, D.I. Vibrații pri rezanii metalov i metodî ih ustranenii  
Mașghiz, Moskva, 1961.
47. Roese, H. Untersuchung der dynamischen Stabilität beim Fräsen  
Dissertation TH Aachen, 1967
48. Savant, C.J. Calculul sistemelor automate  
Editura tehnică Bucureşti, 1967
49. Savii, G. Principii de încercare și analiză a comportării dinamice a mașinilor de frezat  
Mendel, T. Lucrare susținută la a 3-a Sesiune de comunicări tehnico-științifice, jubiliară la I.M.Cugir, octombrie 1974.
50. Savii, G. Unele aspecte ale comportării dinamice a mașinilor de frezat cu consolă  
Mendel, T. Lucrare susținută la a 3-a sesiune de comunicări tehnico-științifice, jubiliară la I.M. Cugir, octombrie 1974.
51. Savii, G. Unele considerații asupra factorilor care influențează instabilitatea dinamică a mașinilor unelte  
Mendel, T. Lucrare susținută la a 3-a sesiune de comunicări tehnico-științifice, jubiliară la I.M. Cugir, octombrie 1974.
52. Savii, G. Aspecte privind analiza comportării dinamice a mașinii de frezat verticale  
Mendel, T. Lucrare susținută la Prima Conferință Națională de Mașini Unelte București, apr. 1974
53. Slavicek, J. The Effect of Irregular Cutter Tooth Pitch on Stability of Milling  
Proceedings of the 6th M.T.D.R. Conference Manchester, 1965, Pergamon Press Oxford
54. Tobias, S.A. Machine-Tool Vibration  
John Wiley & Sons, Inc., New York, 1965.
55. Umbach, R. Ein Beitrag zum Problem der dynamischen

Versteifung von Werkzeugmaschinen, insbesondere durch gedämpfte Hilfsmassensysteme

Dissertation TH Aachen 1961

56. University of Manchester, Institute of Science and Technology / UMIST / Specifications and Tests of Metall-Cutting Machine Tools  
Proceedings of the Conference 19th and 20th February 1970  
Revell George Ltd. Manchester
57. Uzina Mecanică Cugir Carte de instrucțiuni Mașina de frezat verticală FV 32-132 A U.M.C.
58. Vieregge, G. Zerspanung der Eisenwerkstoffe Verlag Stahleisen GmbH Düsseldorf 1959
59. Walter Metallbearbeitung I  
Handbuch der Hartmetall-Fräswerkzeuge  
Montanwerke Walter GmbH Tübingen 62/211
60. Weck, M. Dynamisches Verhalten spanender Werkzeugmaschinen  
WZL TH Aachen 1971
61. Weck, M. Analyse linearer Systeme mit Hilfe der Spektraldichtemessung und ihre Anwendung bei dynamischen Werkzeugmaschinenuntersuchungen unter Arbeitsbedingungen  
Dissertation TH Aachen 1969
62. Werntze, G. Dynamische Schnittkraftkoeffizienten Bestimmung mit Hilfe des Digitalrechners und Berücksichtigung im mathematischen Modell zur Stabilitätsanalyse  
Dissertation TH Aachen 1973
63. Zorev, N.N. Voprosi mehaniki protessa rezaniia metallov  
Mašghiz, Moskva , 1956

I

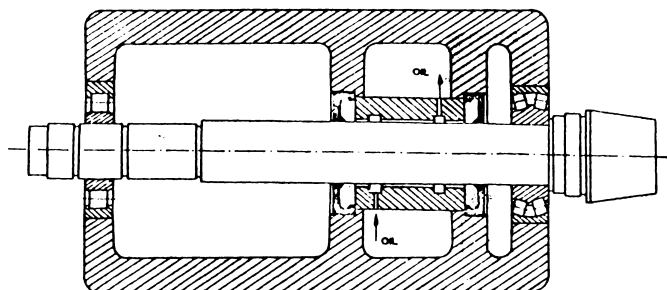


A 1 Plăcuță din carburi metalice P 20 deteriorată în timpul pierderii stabilității.  $w_{lim} = 8$  mm. / mărire 25 x / .

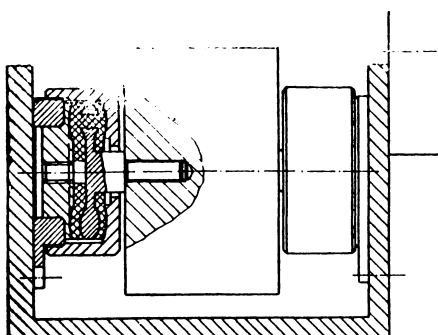
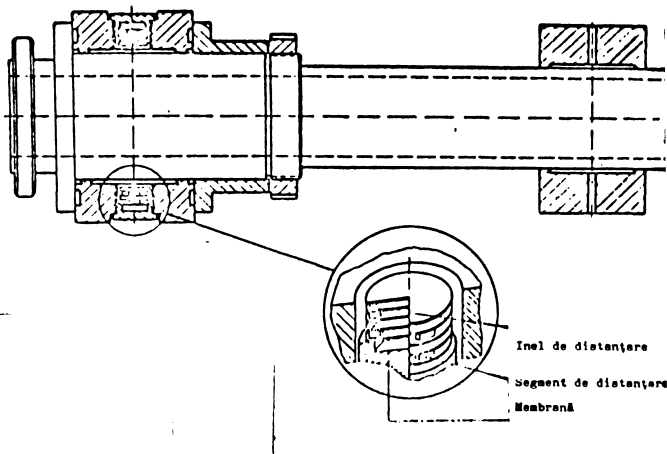
INSTITUTUL DE CERCETĂRI  
TEHNICO-MATERIALE  
DIN TIMIȘOARA

II

A 6 Amortizor relativ viscos, aplicat la un arbore principal.  
Peters [35]

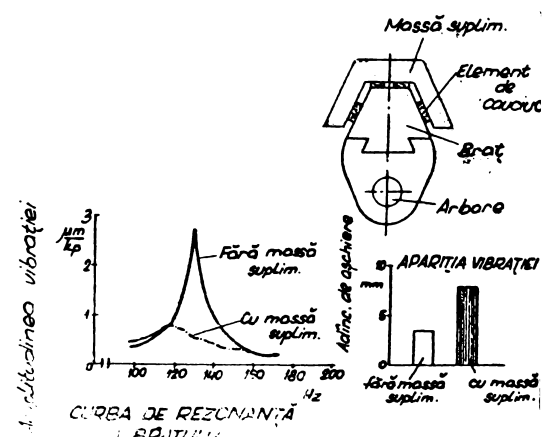


A 7 Lagăr hidrostatic, prevăzut cu elemente scumulatoare cu membrană pentru diminuarea rigidității pernei de ulei.  
Böttcher [5]

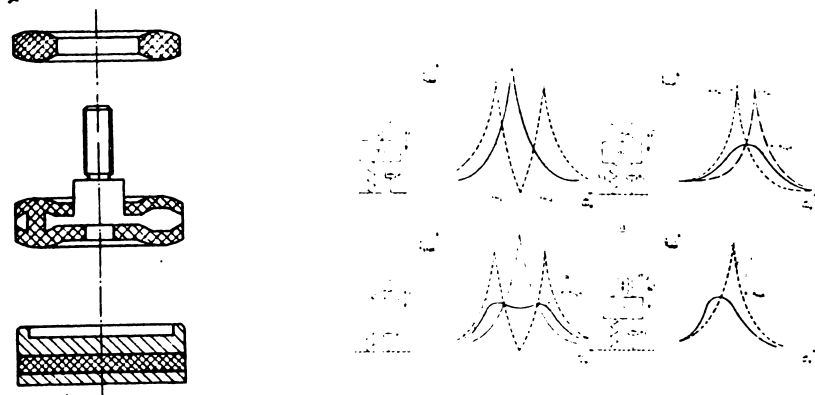


Sisteme cu mase suplimentare amortizante.

A 9 Koenigsberger, Flusty [48]



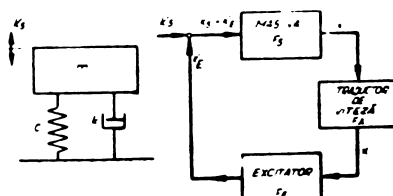
A 8 Peters [35]



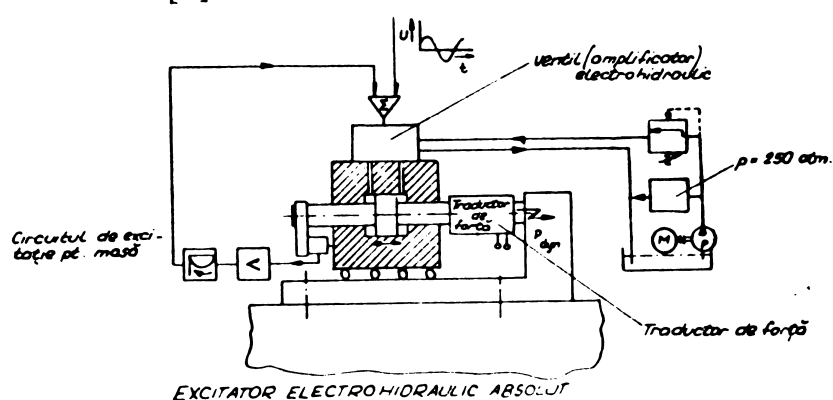
**A 10** Tipuri diferite de elemente amortizoare din materiale termoplastice [18]

**A 11** Absorbitoare și amortizoare cu masă auxiliara./ pasive /  
 a. Absorbitor de vibrații  
 b. Amortizorul Lanchester  
 c. Masă auxiliară amortizată  
 d. Amortizor cu impact

**A 12** Modelul și schema bloc a amortizorului activ

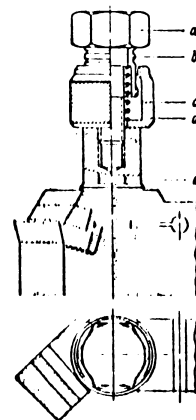
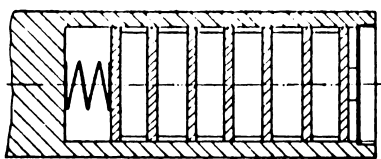


**A 13** Schema unui excitator utilizat la amortizare activă.  
Beckenbauer [2]



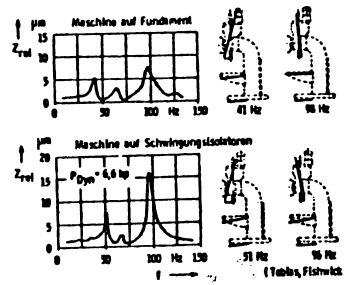
**A 14 Amortizor cu impact pentru cușite de strung.**

Mijkov [46] : a. șurub, b. bucă, c. arc, d. masa de impact, e. suportul amortizorului

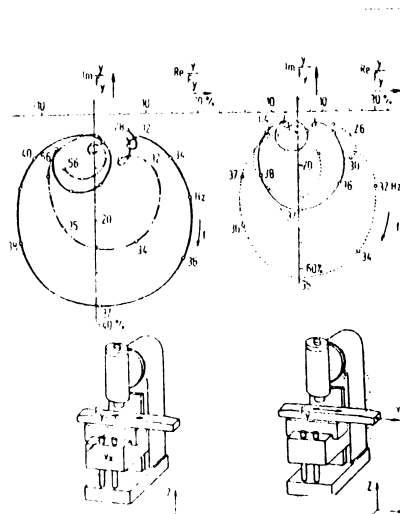
**A 15 Amortizor cu impact și frecare uscată pentru bare de găurit. Kearney și Trecker Co [18]****A 16 Influența modului de fixare pe fundație, asupra comportării dinamice, în cazul unei mașini de găurit cu montant :**

sus : mașina fixată pe fundație  
jos : mașina așezată pe elemente vibroizolante

Tobias, Fishwick [12]

**A 17 Cedarea dinamică crește odată cu creșterea vitezei de avans dacă direcția vibrațiilor este perpendiculară pe aceea a avansului și invers :****A 18 Cedarea dinamica crește impreuna cu viteza de avans dacă direcția vibrațiilor coincide cu aceea a avansului.**

M. Weck [60], [61]

**A 17****A 18**

v

A 33

A 32

--

<i>f</i>	<i>P</i>	<i>Q<sub>12</sub></i>	<i>R<sub>12</sub></i>	<i>Q<sub>23</sub></i>	<i>R<sub>23</sub></i>	<i>Q<sub>32</sub></i>	<i>R<sub>32</sub></i>	<i>Q<sub>13</sub></i>	<i>R<sub>13</sub></i>	<i>Q<sub>12</sub></i>	<i>R<sub>12</sub></i>	<i>Q<sub>23</sub></i>	<i>R<sub>23</sub></i>	<i>Q<sub>32</sub></i>	<i>R<sub>32</sub></i>	<i>Q<sub>13</sub></i>	<i>R<sub>13</sub></i>	<i>Q<sub>12</sub></i>	<i>R<sub>12</sub></i>	<i>Q<sub>23</sub></i>	<i>R<sub>23</sub></i>
42	1	.255 -19.0	0.000 0.0	.017 -61.0	.055-190.0	.064-212.0	.042-189.0	0.000 0.0	0.000 0.0	0.000 0.0	0.000 0.0	0.000 0.0	0.000 0.0	0.000 0.0	0.000 0.0	0.000 0.0	0.000 0.0	0.000 0.0	0.000 0.0	0.000 0.0	0.000 0.0
44	2	.262 -16.0	0.000 0.0	0.000 0.0	.055-198.0	.065-206.0	0.000 0.0	0.000 0.0	0.000 0.0	0.000 0.0	0.000 0.0	0.000 0.0	0.000 0.0	0.000 0.0	0.000 0.0	0.000 0.0	0.000 0.0	0.000 0.0	0.000 0.0	0.000 0.0	0.000 0.0
46	3	.275 -24.8	0.000 0.0	0.000 0.0	.055-224.0	.068-191.0	.038-224.0	0.000 0.0	0.000 0.0	0.000 0.0	0.000 0.0	0.000 0.0	0.000 0.0	0.000 0.0	0.000 0.0	0.000 0.0	0.000 0.0	0.000 0.0	0.000 0.0	0.000 0.0	0.000 0.0
48	4	.320 -26.0	0.000 0.0	0.000 0.0	.067-216.0	.067-198.0	0.000 0.0	.015 0.0	0.000 0.0	0.000 0.0	0.000 0.0	0.000 0.0	0.000 0.0	0.000 0.0	0.000 0.0	0.000 0.0	0.000 0.0	0.000 0.0	0.000 0.0	0.000 0.0	0.000 0.0
50	5	.350 -23.0	0.000 0.0	0.000 0.0	.071-216.0	.066-189.0	.042-189.0	0.000 0.0	0.000 0.0	0.000 0.0	0.000 0.0	0.000 0.0	0.000 0.0	0.000 0.0	0.000 0.0	0.000 0.0	0.000 0.0	0.000 0.0	0.000 0.0	0.000 0.0	0.000 0.0
52	6	.390 -19.0	0.000 0.0	0.000 0.0	.085-197.0	.067-187.0	0.000 0.0	.072-350.0	0.000 0.0	0.000 0.0	0.000 0.0	0.000 0.0	0.000 0.0	0.000 0.0	0.000 0.0	0.000 0.0	0.000 0.0	0.000 0.0	0.000 0.0	0.000 0.0	0.000 0.0
54	7	.425 -40.0	0.000 0.0	0.000 0.0	.069-233.0	.069-204.0	.045-194.0	.080-345.0	0.000 0.0	0.000 0.0	0.000 0.0	0.000 0.0	0.000 0.0	0.000 0.0	0.000 0.0	0.000 0.0	0.000 0.0	0.000 0.0	0.000 0.0	0.000 0.0	0.000 0.0
56	8	.455 -45.4	0.000 0.0	0.000 0.0	.115-232.0	.073-202.0	.050-192.0	.085 0.0	0.000 0.0	0.000 0.0	0.000 0.0	0.000 0.0	0.000 0.0	0.000 0.0	0.000 0.0	0.000 0.0	0.000 0.0	0.000 0.0	0.000 0.0	0.000 0.0	0.000 0.0
58	9	.480 -73.0	0.000 0.0	0.000 0.0	.122-271.0	.072-198.0	.051-198.0	.090 -10.5	0.000 0.0	0.000 0.0	0.000 0.0	0.000 0.0	0.000 0.0	0.000 0.0	0.000 0.0	0.000 0.0	0.000 0.0	0.000 0.0	0.000 0.0	0.000 0.0	0.000 0.0
60	10	.435-106.5	0.000 0.0	.024 -64.7	.106-302.0	.071-194.0	.054-206.0	.094 -43.0	0.000 0.0	0.000 0.0	0.000 0.0	0.000 0.0	0.000 0.0	0.000 0.0	0.000 0.0	0.000 0.0	0.000 0.0	0.000 0.0	0.000 0.0	0.000 0.0	0.000 0.0
52	11	.375-117.0	0.000 0.0	.054 -72.5	.086-313.0	.079-212.0	.062-212.0	.083 -55.0	0.000 0.0	0.000 0.0	0.000 0.0	0.000 0.0	0.000 0.0	0.000 0.0	0.000 0.0	0.000 0.0	0.000 0.0	0.000 0.0	0.000 0.0	0.000 0.0	0.000 0.0
56	12	.225-138.5	0.000 0.0	.064 -80.5	.078-355.0	.081-298.0	.071-219.0	.073 -69.0	0.000 0.0	0.000 0.0	0.000 0.0	0.000 0.0	0.000 0.0	0.000 0.0	0.000 0.0	0.000 0.0	0.000 0.0	0.000 0.0	0.000 0.0	0.000 0.0	0.000 0.0
56	13	.156-131.0	.040-154.0	.075 -85.0	.073-333.0	.090-214.0	.069-214.0	.062 -59.0	0.000 0.0	0.000 0.0	0.000 0.0	0.000 0.0	0.000 0.0	0.000 0.0	0.000 0.0	0.000 0.0	0.000 0.0	0.000 0.0	0.000 0.0	0.000 0.0	0.000 0.0
58	14	.125-122.5	.061-183.0	.840-123.0	.060-343.0	.102-208.0	.064-221.0	.066 -73.0	0.000 0.0	0.000 0.0	0.000 0.0	0.000 0.0	0.000 0.0	0.000 0.0	0.000 0.0	0.000 0.0	0.000 0.0	0.000 0.0	0.000 0.0	0.000 0.0	0.000 0.0
70	15	.104-120.0	.077-161.0	.073-139.0	.057-348.0	.116-215.0	.065-227.0	.059 -76.0	0.000 0.0	0.000 0.0	0.000 0.0	0.000 0.0	0.000 0.0	0.000 0.0	0.000 0.0	0.000 0.0	0.000 0.0	0.000 0.0	0.000 0.0	0.000 0.0	0.000 0.0
72	16	.096-104.0	.098-195.0	.066-196.0	.050 0.0	.117-220.0	.063-220.0	.057 -39.0	0.000 0.0	0.000 0.0	0.000 0.0	0.000 0.0	0.000 0.0	0.000 0.0	0.000 0.0	0.000 0.0	0.000 0.0	0.000 0.0	0.000 0.0	0.000 0.0	0.000 0.0
74	17	.100 -93.3	.119-200.0	.097-173.0	.055 0.0	.125-213.0	.067-200.0	.049 -40.0	0.000 0.0	0.000 0.0	0.000 0.0	0.000 0.0	0.000 0.0	0.000 0.0	0.000 0.0	0.000 0.0	0.000 0.0	0.000 0.0	0.000 0.0	0.000 0.0	0.000 0.0
76	18	.110 -68.5	.147-205.0	.050-206.0	.062 -27.0	.134-232.0	.071-232.0	.055 0.0	0.000 0.0	0.000 0.0	0.000 0.0	0.000 0.0	0.000 0.0	0.000 0.0	0.000 0.0	0.000 0.0	0.000 0.0	0.000 0.0	0.000 0.0	0.000 0.0	0.000 0.0
78	19	.150 -70.4	.172-253.0	.043-218.0	.080 -70.0	.163-239.0	.076-211.0	.079-325.0	0.000 0.0	0.000 0.0	0.000 0.0	0.000 0.0	0.000 0.0	0.000 0.0	0.000 0.0	0.000 0.0	0.000 0.0	0.000 0.0	0.000 0.0	0.000 0.0	0.000 0.0
80	20	.183 -72.0	.182-302.0	.036-245.0	.094 -56.0	.134-274.0	.081-230.0	.112-317.0	.066-101.0	0.000 0.0	0.000 0.0	0.000 0.0	0.000 0.0	0.000 0.0	0.000 0.0	0.000 0.0	0.000 0.0	0.000 0.0	0.000 0.0	0.000 0.0	0.000 0.0

**VII**

**Spells - 0**

<i>E</i>	<i>Act/s</i>	<i>Act/s</i>	<i>A/s</i>	<i>Tan</i>	<i>f1</i>	<i>E</i>	<i>Act/s</i>	<i>Act/s</i>	<i>A/s</i>	<i>Tan</i>	<i>f1</i>
42	-0.16531481	-0.03249474	.016847870	-0.194573125	-166.879	42	-0.04861713	-0.04861107	.01261628	-0.03041745	-11.487
44	-0.16884491	-0.00953596	.017375574	-0.2031140	-178.61	44	-0.014464910	-0.21464447	.01771536	-0.17471216	-23.301
46	-0.16566727	-0.00777337	.020211046	-0.20494734	-180.474	46	-0.018464918	-0.20446467	.01091103	-0.14939082	-26.034
48	-0.0210901	-0.00079827	.020211046	-0.00947934	-180.474	48	-0.008464912	-0.17217458	.01350695	-0.13249049	-19.501
50	-0.02770797	-0.00709146	.022771747	-0.009146132	-180.474	50	-0.0120776	-0.02142450	.01164994	-0.13157586	-19.501
52	-0.02359759	-0.007077508	.022146010	-0.12024625	-179.874	52	-0.19717459	-0.01760244	.01391321	-0.12368764	-5.369
54	-0.02405512	-0.007765147	.022146010	-0.12024625	-179.874	54	-0.19717459	-0.01760244	.01391321	-0.12368764	-5.369
56	-0.02387887	-0.01426947	.022921416	-0.05175781	-181.470	56	-0.04317670	-0.05766953	.007205019	-0.11691983	-11.184
58	-0.023443370	-0.009787456	.016235780	-0.051617505	-180.04	58	-0.00881545	-0.07722993	.00690875	-0.24618639	-58.020
60	-0.017698003	-0.007411113	.010419564	-0.161174860	-181.04	60	-0.00881545	-0.07722993	.00690875	-0.24618639	-58.020
62	-0.012332610	-0.010693557	.015334409	-0.18628763	-29.291	62	-0.00881545	-0.07722993	.00690875	-0.24618639	-58.020
64	-0.000502479	-0.009401498	.009514628	-0.009401498	-47.024	64	-0.00881545	-0.07722993	.00690875	-0.24618639	-58.020
66	-0.006802813	-0.011449517	.013335505	-0.1646010940	-170.673	66	-0.00881545	-0.07722993	.00690875	-0.24618639	-58.020
68	-0.000978551	-0.009414635	.018154502	-0.124128709	-148.425	68	-0.00881545	-0.07722993	.00690875	-0.24618639	-58.020
70	-0.016095951	-0.009414635	.018154502	-0.124128709	-148.425	70	-0.00881545	-0.07722993	.00690875	-0.24618639	-58.020
72	-0.020533190	-0.004692793	.027148117	-0.296715864	-163.472	72	-0.00881545	-0.07722993	.00690875	-0.24618639	-58.020
74	-0.021351521	-0.004692793	.027148117	-0.296715864	-163.472	74	-0.00881545	-0.07722993	.00690875	-0.24618639	-58.020
76	-0.014333343	-0.012916273	.019327619	-0.302513223	-137.511	76	-0.00881545	-0.07722993	.00690875	-0.24618639	-58.020
78	-0.010849089	-0.012464085	.016235768	-1.086465461	-47.975	78	-0.00881545	-0.07722993	.00690875	-0.24618639	-58.020
80	-0.016927950	-0.007577651	.024561041	-0.161219141	-165.473	80	-0.0041304	-0.325717492	.020805391	-0.240777646	-58.022
82	-0.024555139	-0.006057837	.024561041	-0.161219141	-165.473	82	-0.0041304	-0.325717492	.020805391	-0.240777646	-58.022
84	-0.024700192	-0.016444119	.025046799	-0.16039646	-150.430	84	-0.007074868	-0.020669498	.027876168	-0.212408572	-108.549
86	-0.007118092	-0.008142098	.018764456	-0.301111986	-38.000	86	-0.007074868	-0.020669498	.027876168	-0.212408572	-108.549
88	-0.014445619	-0.011715392	.018764456	-0.301111986	-38.000	88	-0.007074868	-0.020669498	.027876168	-0.212408572	-108.549
90	-0.010102884	-0.009785578	.016464780	-0.1608992785	-44.098	90	-0.007074868	-0.020669498	.027876168	-0.212408572	-108.549
92	-0.010009591	-0.008618295	.0186992785	-0.1608992785	-44.098	92	-0.00881545	-0.07722993	.00690875	-0.24618639	-58.020
94	-0.015092208	-0.009755957	.011422793	-0.301515956	-3.199	94	-0.00881545	-0.07722993	.00690875	-0.24618639	-58.020
96	-0.007180921	-0.007072871	.006851209	-0.18648476	-9.193	96	-0.00881545	-0.07722993	.00690875	-0.24618639	-58.020
98	-0.004757195	-0.004875075	.007177644	-0.093097092	-5.318	98	-0.004023685	-0.004646844	.005170190	-0.144089967	-13.940
100	-0.004757195	-0.004875075	.007177644	-0.093097092	-5.318	100	-0.004023685	-0.004646844	.005170190	-0.144089967	-13.940
102	-0.002780959	-0.007773544	.007177644	-0.093097092	-5.318	102	-0.004023685	-0.004646844	.005170190	-0.144089967	-13.940
104	-0.000521967	-0.000591175	.0028164890	-0.144-179	104	-0.004023685	-0.004646844	.005170190	-0.144089967	-13.940	
106	-0.002780959	-0.007773544	.007177644	-0.093097092	-5.318	106	-0.004023685	-0.004646844	.005170190	-0.144089967	-13.940
108	-0.000521967	-0.000591175	.0028164890	-0.144-179	108	-0.004023685	-0.004646844	.005170190	-0.144089967	-13.940	
110	-0.013381629	-0.000880545	.001421998	-0.159061939	-19.751	110	-0.00881545	-0.07722993	.00690875	-0.24618639	-58.020
112	-0.011701782	-0.000808773	.002182979	-0.141064722	-8.050	112	-0.00881545	-0.07722993	.00690875	-0.24618639	-58.020
114	-0.004757195	-0.000812129	.002182979	-0.141064722	-8.050	114	-0.00881545	-0.07722993	.00690875	-0.24618639	-58.020
116	-0.002780959	-0.000775544	.002182979	-0.141064722	-8.050	116	-0.00881545	-0.07722993	.00690875	-0.24618639	-58.020
118	-0.000521967	-0.000591175	.002182979	-0.141064722	-8.050	118	-0.00881545	-0.07722993	.00690875	-0.24618639	-58.020
120	-0.02678644	-0.0008804507	.0028164890	-0.129156225	-181.662	120	-0.009674905	-0.008916979	.005220571	-0.124792718	-317.600

<i>E</i>	<i>Act/s</i>	<i>Act/s</i>	<i>A/s</i>	<i>Tan</i>	<i>f1</i>	<i>E</i>	<i>Act/s</i>	<i>Act/s</i>	<i>A/s</i>	<i>Tan</i>	<i>f1</i>
42	-0.056304053	-0.006024424	.016980015	-0.16593560	-170.578	42	-0.077312469	-0.00991109	.005932119	-0.307310782	-17.083
44	-0.003002568	-0.007773346	.018145303	-0.16593560	-170.578	44	-0.00881545	-0.07722993	.00690875	-0.24618639	-58.020
46	-0.000596538	-0.009101402	.018330758	-0.16593560	-170.578	46	-0.00881545	-0.07722993	.00690875	-0.24618639	-58.020
48	-0.040207082	-0.001998389	.0044072478	-0.045422933	-171.359	48	-0.012477979	-0.044476411	.012778083	-0.116211157	-7.761
50	-0.051770565	-0.000705220	.016847920	-0.204111260	-171.359	50	-0.012477979	-0.044476411	.012778083	-0.116211157	-7.761
52	-0.051547789	-0.000705220	.016847920	-0.204111260	-171.359	52	-0.088617121	-0.088617121	.016847920	-0.108337221	-9.887
54	-0.053474513	-0.009514212	.015435513	-0.174146150	-176.995	54	-0.011446495	-0.19455563	.012279924	-0.21155407	-15.450
56	-0.017686146	-0.002309455	.015435513	-0.174146150	-176.995	56	-0.011446495	-0.19455563	.012279924	-0.21155407	-15.450
58	-0.008815451	-0.000984551	.015435513	-0.174146150	-176.995	58	-0.011446495	-0.19455563	.012279924	-0.21155407	-15.450
60	-0.009861261	-0.000984551	.015435513	-0.174146150	-176.995	60	-0.009861261	-0.099988954	.007205511	-0.062900597	-10.695
62	-0.016583577	-0.001674652	.010514835	-0.303485100	-20.302	62	-0.031146599	-0.031146599	.017042505	-0.031146599	-0.031146599
64	-0.009861261	-0.000984551	.015435513	-0.174146150	-176.995	64	-0.009861261	-0.099988954	.007205511	-0.062900597	-10.695
66	-0.011464502	-0.001290977	.016803277	-0.181464502	-163.517	66	-0.021047587	-0.021047587	.012408732	-0.021047587	-0.021047587
68	-0.009861261	-0.000984551	.015435513	-0.174146150	-176.995	68	-0.009861261	-0.099988954	.007205511	-0.062900597	-10.695
70	-0.009861261	-0.000984551	.015435513	-0.174146150	-176.995	70	-0.009861261	-0.099988954	.007205511	-0.062900597	-10.695
72	-0.026325729	-0.001449447	.018764277	-0.185723720	-148.425	72	-0.00881545	-0.07722993	.00690875	-0.24618639	-58.020
74	-0.014277957	-0.001290977	.016803277	-0.207617599	-175.673	74	-0.00881545	-0.07722993	.00690875	-0.24618639	-58.020
76	-0.014277957	-0.001290977	.016803277	-0.207617599	-175.673	76	-0.00881545	-0.07722993	.00690875	-0.24618639	-58.020
78	-0.014277957	-0.001290977	.016803277	-0.207617599	-175.673	78	-0.00881545	-0.07722993	.00690875	-0.24618639	-58.020
80	-0.007177991	-0.000507522	.019327619	-0.174146150	-176.995	80	-0.00881545	-0.07722993	.00690875	-0.24618639	-58.020
82	-0.007177991	-0.000507522	.019327619	-0.174146150	-176.995	82	-0.007177991	-0.099988954	.007205511	-0.062900597	-10.695
84	-0.007177991	-0.000507522	.019327619	-0.174146150	-176.995	84	-0.007177991	-0.099988954	.007205511	-0.062900597	-10.695
86	-0.007177991	-0.000507522	.019327619	-0.174146150	-176.99						

# VIII

Session=770

	Arc/s	Azi/s	A/s	Tan	f1		Arc/s	Azi/s	A/s	Tan	f1	
42	-0.169500e1	-0.0017355497	0.0176357306	.2201787534	-167.572	42	0.115190110	-0.014414117	0.01614355	-5469498525	-28.677	
43	-0.17565495	-0.001797254	0.0176298610	.079545499	-175.452	43	0.11519010	-0.0144416	0.017179538	-531.055	-28.676	
44	-0.0692602	-0.001797907	0.01769209	.102190085	-174.167	44	0.10575111	-0.0144466	0.01550978	-693.97550	-23.721	
45	-0.000358139	-0.001800189	0.017701150	.060533425	-174.564	45	0.09294844	-0.0145195	0.012615648	-351.937439	-19.361	
46	-0.027770797	-0.0018191436	0.017851179	.064073425	-174.194	46	0.07981909	-0.0145870	0.01091850	-140.350	-19.355	
47	-0.02478781	-0.0018161082	0.017878741	.045920449	-176.056	47	0.018631130	-0.02134399	0.017777253	-154.01641	-17.485	
48	-0.02353675	-0.001820029	0.017884809	.148161159	-171.572	48	0.01678612	-0.00493077	0.017664569	-427.664055	-25.155	
49	-0.021175102	-0.001824871	0.017813750	.246002570	-173.170	49	0.01684404	-0.00493073	0.017648123	-308.704	-25.154	
50	-0.00923446	-0.000533437	0.017866337	.599227196	-149.049	50	0.009871748	-0.002749273	0.017113200	-9.1321132	-31.266	
51	-0.000009309	-0.000533449	0.017866339	.599227196	-149.049	51	0.009871748	-0.002749273	0.017113200	-9.1321132	-31.266	
52	-0.012390162	-0.001822859	0.017866350	.599227196	-149.049	52	0.009871748	-0.002749273	0.017113200	-9.1321132	-31.266	
53	-0.014242105	-0.001822859	0.017866350	.599227196	-149.049	53	0.009871748	-0.002749273	0.017113200	-9.1321132	-31.266	
54	-0.011584545	-0.0017717540	0.017206445	-1.520160231	-56.944	54	-0.001605877	-0.011165042	0.012779536	-9.1621259	-9.1621259	
55	-0.000368934	-0.001822859	0.017866350	.599227196	-149.049	55	0.009871748	-0.002749273	0.017113200	-9.1321132	-31.266	
56	-0.00459388	-0.001822859	0.017866350	.599227196	-149.049	56	0.009871748	-0.002749273	0.017113200	-9.1321132	-31.266	
57	-0.00854455	-0.0018207130	0.017865938	.046619518	-124.662	57	0.00206360	-0.016337809	0.016440547	-128.606	-98.227	
58	-0.00854455	-0.0018207130	0.017865938	.046619518	-124.662	58	0.004994252	-0.017928131	0.017924915	-6.623707498	0.01	-91.564
59	-0.01902852	-0.0018207130	0.017865938	.046619518	-124.662	59	0.009871748	-0.002749273	0.017113200	-9.1321132	-31.266	
60	-0.02671553	-0.0019579577	0.026957015	.151241541	-171.394	60	0.01561019	-0.028989919	0.026128089	-5.00001329	-92.789	
61	-0.01235131	-0.001708224	0.018492292	.856104256	-170.497	61	0.009871748	-0.002749273	0.017113200	-9.1321132	-31.266	
62	-0.01235131	-0.001708224	0.018492292	.856104256	-170.497	62	0.009871748	-0.002749273	0.017113200	-9.1321132	-31.266	
63	-0.01235131	-0.001864961	0.018502574	.257512124	-174.4	63	0.251874646	-0.010901511	0.021616001	-1.050202535	-32.305	
64	-0.011584545	-0.0017717540	0.017206445	-1.520160231	-56.944	64	0.011605877	-0.011165042	0.012779536	-9.1621259	-9.1621259	
65	-0.000368934	-0.001822859	0.017866350	.599227196	-149.049	65	0.009871748	-0.002749273	0.017113200	-9.1321132	-31.266	
66	-0.00459388	-0.001822859	0.017866350	.599227196	-149.049	66	0.009871748	-0.002749273	0.017113200	-9.1321132	-31.266	
67	-0.00854455	-0.001822859	0.017866350	.599227196	-149.049	67	0.009871748	-0.002749273	0.017113200	-9.1321132	-31.266	
68	-0.00854455	-0.001822859	0.017866350	.599227196	-149.049	68	0.009871748	-0.002749273	0.017113200	-9.1321132	-31.266	
69	-0.012390162	-0.001822859	0.017866350	.599227196	-149.049	69	0.009871748	-0.002749273	0.017113200	-9.1321132	-31.266	
70	-0.021302707	-0.0018252560	0.017484053	.109034027	-136.061	70	0.008071748	-0.010871853	0.012612013	-1.728940202	-17.557	
71	-0.01902852	-0.0018207130	0.017865938	.046619518	-124.662	71	0.009871748	-0.002749273	0.017113200	-9.1321132	-31.266	
72	-0.01902852	-0.0018207130	0.017865938	.046619518	-124.662	72	0.009871748	-0.002749273	0.017113200	-9.1321132	-31.266	
73	-0.01902852	-0.0018207130	0.017865938	.046619518	-124.662	73	0.009871748	-0.002749273	0.017113200	-9.1321132	-31.266	
74	-0.01902852	-0.0018207130	0.017865938	.046619518	-124.662	74	0.009871748	-0.002749273	0.017113200	-9.1321132	-31.266	
75	-0.01902852	-0.0018207130	0.017865938	.046619518	-124.662	75	0.009871748	-0.002749273	0.017113200	-9.1321132	-31.266	
76	-0.01902852	-0.0018207130	0.017865938	.046619518	-124.662	76	0.009871748	-0.002749273	0.017113200	-9.1321132	-31.266	
77	-0.01902852	-0.0018207130	0.017865938	.046619518	-124.662	77	0.009871748	-0.002749273	0.017113200	-9.1321132	-31.266	
78	-0.01902852	-0.0018207130	0.017865938	.046619518	-124.662	78	0.009871748	-0.002749273	0.017113200	-9.1321132	-31.266	
79	-0.01902852	-0.0018207130	0.017865938	.046619518	-124.662	79	0.009871748	-0.002749273	0.017113200	-9.1321132	-31.266	
80	-0.01902852	-0.0018207130	0.017865938	.046619518	-124.662	80	0.009871748	-0.002749273	0.017113200	-9.1321132	-31.266	
81	-0.01902852	-0.0018207130	0.017865938	.046619518	-124.662	81	0.009871748	-0.002749273	0.017113200	-9.1321132	-31.266	
82	-0.01902852	-0.0018207130	0.017865938	.046619518	-124.662	82	0.009871748	-0.002749273	0.017113200	-9.1321132	-31.266	
83	-0.01902852	-0.0018207130	0.017865938	.046619518	-124.662	83	0.009871748	-0.002749273	0.017113200	-9.1321132	-31.266	
84	-0.01902852	-0.0018207130	0.017865938	.046619518	-124.662	84	0.009871748	-0.002749273	0.017113200	-9.1321132	-31.266	
85	-0.01902852	-0.0018207130	0.017865938	.046619518	-124.662	85	0.009871748	-0.002749273	0.017113200	-9.1321132	-31.266	
86	-0.01902852	-0.0018207130	0.017865938	.046619518	-124.662	86	0.009871748	-0.002749273	0.017113200	-9.1321132	-31.266	
87	-0.01902852	-0.0018207130	0.017865938	.046619518	-124.662	87	0.009871748	-0.002749273	0.017113200	-9.1321132	-31.266	
88	-0.01902852	-0.0018207130	0.017865938	.046619518	-124.662	88	0.009871748	-0.002749273	0.017113200	-9.1321132	-31.266	
89	-0.01902852	-0.0018207130	0.017865938	.046619518	-124.662	89	0.009871748	-0.002749273	0.017113200	-9.1321132	-31.266	
90	-0.01902852	-0.0018207130	0.017865938	.046619518	-124.662	90	0.009871748	-0.002749273	0.017113200	-9.1321132	-31.266	
91	-0.01902852	-0.0018207130	0.017865938	.046619518	-124.662	91	0.009871748	-0.002749273	0.017113200	-9.1321132	-31.266	
92	-0.01902852	-0.0018207130	0.017865938	.046619518	-124.662	92	0.009871748	-0.002749273	0.017113200	-9.1321132	-31.266	
93	-0.01902852	-0.0018207130	0.017865938	.046619518	-124.662	93	0.009871748	-0.002749273	0.017113200	-9.1321132	-31.266	
94	-0.01902852	-0.0018207130	0.017865938	.046619518	-124.662	94	0.009871748	-0.002749273	0.017113200	-9.1321132	-31.266	
95	-0.01902852	-0.0018207130	0.017865938	.046619518	-124.662	95	0.009871748	-0.002749273	0.017113200	-9.1321132	-31.266	
96	-0.01902852	-0.0018207130	0.017865938	.046619518	-124.662	96	0.009871748	-0.002749273	0.017113200	-9.1321132	-31.266	
97	-0.01902852	-0.0018207130	0.017865938	.046619518	-124.662	97	0.009871748	-0.002749273	0.017113200	-9.1321132	-31.266	
98	-0.01902852	-0.0018207130	0.017865938	.046619518	-124.662	98	0.009871748	-0.002749273	0.017113200	-9.1321132	-31.266	
99	-0.01902852	-0.0018207130	0.017865938	.046619518	-124.662	99	0.009871748	-0.002749273	0.017113200	-9.1321132	-31.266	
100	-0.01902852	-0.0018207130	0.017865938	.046619518	-124.662	100	0.009871748	-0.002749273	0.017113200	-9.1321132	-31.266	
101	-0.01902852	-0.0018207130	0.017865938	.046619518	-124.662	101	0.009871748	-0.002749273	0.017113200	-9.1321132	-31.266	
102	-0.01902852	-0.0018207130	0.017865938	.046619518	-124.662	102	0.009871748	-0.002749273	0.017113200	-9.1321132	-31.266	
103	-0.01902852	-0.0018207130	0.017865938	.046619518	-124.662	103	0.009871748	-0.002749273	0.017113200	-9.1321132	-31.266	
104	-0.01902852	-0.0018207130	0.017865938	.046619518	-124.662	104	0.009871748	-0.002749273	0.017113200	-9.1321132	-31.266	
105	-0.01902852	-0.0018207130	0.017865938	.046619518	-124.662	105	0.009871748	-0.002749273	0.017113200	-9.1321132	-31.266	
106	-0.01902852	-0.0018207130	0.017865938	.046619518	-124.662	106	0.009871748	-0.002749273	0.017113200	-9.1321132	-31.2	

IX

Epilim - 0												
t	z	Aer/s	Aer/s	ACT	w	w=0	w=1	w=2	w=3	w=4	w=5	w=6
42	42	-0.01653146	-0.001245747	1.784950623	100.817745	4485.7	1613.5	301.7	57.5	10.4	4.5	1.0
44	44	-0.017551195	-0.000948534	1.607169151	98.991991	401.7	105.5	20.7	4.0	0.9	0.2	0.1
46	46	-0.017605052	-0.001452734	1.564526247	94.495224	5543.7	1843.2	1105.2	389.2	83.7	19.3	4.8
48	48	-0.027770532	-0.000308377	1.584844643	82.687472	5774.5	1921.6	1152.6	621.2	140.7	32.8	7.5
50	50	-0.027770532	-0.000308377	1.584844643	82.687472	5774.5	1921.6	1152.6	621.2	140.7	32.8	7.5
52	52	-0.026059418	-0.000911202	1.574419436	82.17621	6225.6	2079.4	1247.4	491.9	113.2	24.7	6.0
54	54	-0.026059418	-0.000911202	1.574419436	82.17621	6225.6	2079.4	1247.4	491.9	113.2	24.7	6.0
56	56	-0.019586412	-0.000776549	1.598631180	89.162489	6615.6	2174.9	1301.3	526.4	121.6	30.2	7.5
58	58	-0.019586412	-0.000776549	1.598631180	89.162489	6615.6	2174.9	1301.3	526.4	121.6	30.2	7.5
60	60	-0.01652370	-0.001652668	1.622363577	150.9721	7006.1	2495.5	1480.0	507.7	119.1	28.7	6.0

62  
64  
66  
68  
70  
72  
74  
76  
78  
80  
82  
84  
86  
88  
90  
92  
94  
96  
98  
100  
102  
104  
106  
108  
110  
112  
114  
116  
118  
120

Epilim - 0												
t	z	Aer/s	Aer/s	ACT	w	w=0	w=1	w=2	w=3	w=4	w=5	w=6
70	70	-0.006802813	-0.011469813	2.606250322	144.098703	6916.1	2100.0	1441.9	1065.6	844.8	499.0	197.4
72	72	-0.014698051	-0.008394604	2.124881573	154.566730	6716.4	2006.8	1549.6	1142.7	908.1	760.0	629.7
74	74	-0.014698051	-0.008394604	2.124881573	154.566730	6716.4	2006.8	1549.6	1142.7	908.1	760.0	629.7
76	76	-0.026531762	-0.004182329	1.716244144	56.375314	6187.1	793.0	1790.9	1295.0	1001.0	824.2	696.8
78	78	-0.014333343	-0.012936273	2.305007491	116.276990	6178.6	739.4	1712.0	1251.4	986.7	844.7	695.0

80  
82  
84  
86  
88  
90  
92  
94  
96  
98  
100  
102  
104  
106  
108  
110  
112  
114  
116  
118  
120

Epilim - 30												
t	z	Aer/s	Aer/s	ACT	w	w=0	w=1	w=2	w=3	w=4	w=5	w=6
42	42	-0.050510405	-0.006424424	1.735211358	45.969557	4542.4	1623.4	307.3	709.4	333.4	132.9	30.4
44	44	-0.080508534	-0.005111154	1.661720272	43.271933	4987.3	1724.3	1045.8	768.0	382.9	127.1	29.6
46	46	-0.001773798	-0.006100114	2.124881573	154.566730	6716.4	2006.8	1549.6	1142.7	908.1	760.0	629.7
48	48	-0.001597798	-0.000417759	1.579121132	53.227141	5966.4	1994.3	1198.7	856.4	552.2	244.1	93.3
50	50	-0.001597798	-0.000417759	1.579121132	53.227141	5966.4	1994.3	1198.7	856.4	552.2	244.1	93.3
52	52	-0.007040282	-0.000725182	1.503509148	29.219117	6189.3	2074.4	1246.0	950.4	692.7	544.9	479.7
54	54	-0.007040282	-0.000725182	1.503509148	29.219117	6189.3	2074.4	1246.0	950.4	692.7	544.9	479.7
56	56	-0.057384548	-0.000239943	1.564654544	29.875897	6737.8	2345.0	1343.1	824.1	729.4	571.7	431.7
58	58	-0.030895111	-0.001148828	1.534727705	53.545946	7121.6	2137.9	1798.4	957.4	773.3	644.1	540.7

60  
62  
64  
66  
68  
70  
72  
74  
76  
78  
80  
82  
84  
86  
88  
90  
92  
94  
96  
98  
100  
102  
104  
106  
108  
110  
112  
114  
116  
118  
120

Epilim - 30												
t	z	Aer/s	Aer/s	ACT	w	w=0	w=1	w=2	w=3	w=4	w=5	w=6
66	66	-0.007129197	-0.009394574	2.914374084	767.093328	1266.8	2051.2	192.6	1008.2	801.5	446.1	211.4
68	68	-0.018602526	-0.012943329	1.601700029	160.171000	5343.9	2313.6	1475.4	1081.1	851.1	527.0	347.4
70	70	-0.016791924	-0.007767266	2.004045563	99.254060	6584.0	2564.2	1992.2	1354.3	905.6	735.0	637.7
72	72	-0.016791924	-0.007767266	2.004045563	99.254060	6584.0	2564.2	1992.2	1354.3	905.6	735.0	637.7
74	74	-0.016791924	-0.007767266	2.004045563	99.254060	6584.0	2564.2	1992.2	1354.3	905.6	735.0	637.7
76	76	-0.021663584	-0.016965064	1.957472753	40.001327	7330.4	2095.5	1738.6	1291.7	954.4	707.1	581.1
78	78	-0.027542377	-0.034697989	2.501431724	60.512013	5877.7	2605.5	1673.7	1212.0	915.8	807.4	680.5

80  
82  
84  
86  
88  
90  
92  
94  
96  
98  
100  
102  
104  
106  
108  
110  
112  
114  
116  
118  
120

Epilim - 40												
t	z	Aer/s	Aer/s	ACT	w	w=0	w=1	w=2	w=3	w=4	w=5	w=6
42	42	-0.009849882	-0.008417847	1.971230734	81.811174	4016.2	1646.4	399.1	694.7	544.6	447.8	380.2
44	44	-0.020502326	-0.006424424	1.881705480	80.897016	4607.6	1651.1	1015.8	773.5	529.0	471.5	380.1
46	46	-0.024117115	-0.006746141	1.673051447	49.246421	5106.7	1746.4	1045.8	709.3	500.4	422.1	347.4
48	48	-0.024117115	-0.006746141	1.673051447	49.246421	5106.7	1746.4	1045.8	709.3	500.4	422.1	347.4
50	50	-0.027773997	-0.002492111	1.646373092	56.074493	5126.7	1966.5	1198.6	851.1	643.1	547.8	381.0
52	52	-0.032517716	-0.007040847	1.623042912	51.251179	5129.8	2095.2	1727.4	1124.5	712.7	584.7	494.9
54	54	-0.032517716	-0.007040847	1.623042912	51.251179	5129.8	2095.2	1727.4	1124.5	712.7	584.7	494.9
56	56	-0.038114757	-0.001991662	1.673991007	42.937464	6308.1	2192.1	1326.7	951.1	741.1	607.3	484.1
58	58	-0.038114757	-0.001991662	1.673991007	42.937464	6308.1	2192.1	1326.7	951.1	741.1	607.3	484.1
60	60	-0.000818751	-0.000744781	1.600741201	4900.647121	4447.4	1611.6	1009.7	507.4	324.8	212.1	115.2

62  
64  
66  
68  
70  
72  
74  
76  
78  
80  
82  
84  
86  
88  
90  
92  
94  
96  
98  
100  
102  
104  
106  
108  
110  
112  
114  
116  
118  
120

100  
102  
104  
106  
108  
110  
112  
114  
116  
118  
120

### X

Symbol = 90														
f	fo	Aer/s	Ael/s	AOT	v0	w0	w-1	w-2	w-3	w4	w5	w6	w7	
42														
44														
46														
48														
50														
52														
54														
56														
58	60	-0.000879545	-0.005772993	3.000573148	2033.649971	3643.6	1779.9	1177.6	879.9	702.3	584.4	500.4	437.5	
60	62	-0.000879545	-0.005772993	2.745625619	227.337178	4787.5	2047.5	1305.2	957.9	756.6	625.2	532.7	464.0	
62	64	-0.004653076	-0.014852069	2.708797739	242.087887	4453.5	2062.0	1341.6	996.2	787.9	657.2	569.3	473.9	
64	66	-0.008416986	-0.015198658	2.641359578	198.012295	4710.0	2151.3	1394.0	1031.0	819.1	678.0	570.9	505.1	
66	68	-0.008416986	-0.015198658	2.641359578	203.012295	4710.0	2151.3	1394.0	1031.0	819.1	678.0	570.9	505.1	
68	70	-0.005642407	-0.017476773	2.611334163	299.537360	4651.9	2208.3	1447.3	1052.7	834.8	711.4	593.4	518.1	
70	72	-0.01135657	-0.017798077	2.760256095	251.536015	4916.4	2299.6	1500.7	1113.8	885.5	734.9	628.0	548.3	
72	74	-0.01135657	-0.017798077	2.760256095	251.536015	4916.4	2299.6	1500.7	1113.8	885.5	734.9	628.0	548.3	
74	76	-0.010147289	-0.022738059	2.604198649	164.247456	3016.5	2389.6	1530.5	1130.1	938.9	773.3	650.1	561.1	
76	78	-0.010147289	-0.022738059	2.604198649	164.247456	3016.5	2389.6	1530.5	1130.1	938.9	773.3	650.1	561.1	
78	80	-0.004014049	-0.025774952	2.987089525	415.181845	5048.4	2460.5	1626.7	1214.5	949.5	806.6	690.6	603.7	
80														
82														
84	86	-0.017074895	-0.01046948	2.819381617	235.517060	5167.1	2723.3	1782.5	1324.9	1054.2	875.4	788.4	653.6	
86	88	-0.009393792	-0.004839520	2.722259149	179.410127	5097.3	2098.0	1309.0	1039.0	850.0	768.5	671.7	593.3	
88	90	-0.011173051	-0.014113307	2.4725939251	149.166444	6860.9	3021.7	1937.5	1425.9	1128.0	931.1	831.1	746.3	
90	92	-0.008160875	-0.011136042	2.49762048	199.342122	6945.2	3075.2	1974.9	1454.5	1151.2	952.5	812.4	708.1	
92	94	-0.006794413	-0.006285517	2.347980463	260.644202	7587.3	3227.9	2029.2	1505.1	1188.1	981.3	855.9	728.0	
94	96	-0.005921615	-0.010811508	2.669394029	301.933193	6778.9	5116.0	7021.3	1496.2	1187.7	947.7	840.9	733.6	
96														
101														
102														
104														
106														
108														
110														
112														
114														
116														
118														
120														
Symbol = 120														
f	fo	Aer/s	Ael/s	AOT	v0	w0	w-1	w-2	w-3	w4	w5	w6	w7	
42														
44														
46														
48														
50														
52														
54														
56														
58	60	-0.007990950	-0.017978756	2.621948206	208.360476	4319.6	1962.3	1270.0	938.8	744.6	617.0	526.7	499.5	
60	62	-0.009442701	-0.022590573	2.745625619	176.505173	4226.4	1995.1	1294.1	960.1	785.0	633.1	541.7	512.4	
62	64	-0.008160875	-0.011136042	2.669394026	101.356520	4278.0	2071.7	1317.5	1034.5	850.5	737.1	688.2	654.5	
64	66	-0.00954626	-0.028951923	2.620123604	167.426153	4411.4	2086.8	1366.6	1016.0	808.5	711.5	574.1	507.4	
66	68	-0.006794413	-0.027534649	2.900859281	246.559423	4410.6	2131.3	1795.6	1039.9	828.7	680.8	589.3	516.9	
68	70	-0.007744383	-0.021170140	2.714542057	208.342122	6945.2	3075.2	1974.9	1454.5	1151.2	938.2	801.9	700.2	
70	72	-0.005921615	-0.021170140	2.714542057	181.521604	6945.2	3075.2	1974.9	1454.5	1151.2	938.2	801.9	700.2	
72	74	-0.008227114	-0.012914192	2.542244073	186.906377	5086.8	2454.1	1580.3	1165.6	921.2	764.3	652.1	560.6	
74	76	-0.01204752	-0.017682368	2.518959543	129.726399	5088.0	2511.0	1627.6	1199.3	949.7	786.0	670.4	594.3	
76														
82														
84														
86	88	-0.010603428	-0.020994968	2.790019829	157.181877	5010.2	2732.9	1786.6	1327.1	1055.6	876.3	780.1	654.2	
88	90	-0.013434563	-0.037172456	2.79478735	124.050119	5395.2	2794.2	1827.7	1597.8	1285.5	1035.8	908.8	802.5	
90	92	-0.007744383	-0.021170140	2.714542057	100.342122	6945.2	3075.2	1974.9	1454.5	1151.2	938.2	801.9	700.2	
92	94	-0.010215142	-0.026163044	2.774953309	161.148016	6249.3	1914.5	1421.5	1170.4	938.2	801.9	700.2	654.5	
94	96	-0.008197671	-0.012793619	2.571816614	203.304176	6889.5	3101.2	2001.0	1477.0	1170.3	969.3	827.1	721.4	
96														
100														
102		-0.001066657	-0.009500883	1.965144337	751.29039	5178.8	3764.2	2330.7	1687.9	1231.0	1087.8	923.7	802.5	
104		-0.002085798	-0.005327884	2.957954649	2710.549559	6636.4	3216.0	2122.3	1585.8	1261.1	1050.5	899.1	765.9	
106		-0.006794413	-0.002321314	1.249952875	2682.149431	4549.8	2652.4	1871.0	1446.2	1170.2	954.1	859.7		
108		-0.000794009	-0.002341063	2.099510863	2099.262364	62752.5	5075.5	3086.1	2086.1	1575.8	1269.8	1061.7	912.3	
110		-0.000128861	-0.00099097	3.005224459	1.29346834	6699.5	5375.2	2322.3	1648.1	1331.6	1108.0	980.7	823.3	
112														
114														
116														
118	120	-0.000290207	-0.000063966	1.813639339	6494.769486	12264.0	4488.7	2747.1	1979.1	1546.8	1269.4	1076.4	938.4	

XI

Spirales - 100

r	φ	Arc/s	Act/s	ACT	vθ	n=0	n=1	n=2	n=3	n=4	n=5	n=6	n=7
42	42	-0.16950861	-0.01739497	-1.87040418	90.324594	4478.5	1406.1	380.9	704.1	551.5	452.5	383.5	322.0
44	44	-0.16950861	-0.01739497	-1.85032850	94.882879	5026.9	1730.9	1045.4	748.9	581.4	477.6	404.6	330.0
46	46	-0.16950861	-0.01739497	-1.83032850	98.469110	5575.4	1094.6	680.1	1273.3	688.9	498.9	422.5	346.4
48	48	-0.03021090	-0.01921130	-1.86564173	82.4654742	3431.9	1862.1	1382.3	815.5	528.5	429.8	380.8	300.5
50	50	-0.02981090	-0.01921130	-1.854671508	75.191364	3495.4	1965.0	1187.3	850.7	642.7	542.8	459.7	398.6
52	52	-0.02941090	-0.01921130	-1.843671508	78.777209	3546.4	2056.4	1326.0	880.0	690.7	585.3	478.7	415.0
54	54	-0.02901090	-0.01921130	-1.832671508	82.363209	3597.4	2106.9	1515.7	915.2	684.1	574.7	467.0	397.7
56	56	-0.02861090	-0.01921130	-1.821671508	75.159364	3685.0	2136.0	1506.9	940.9	755.1	651.3	541.3	441.6
58	58	-0.02821090	-0.01921130	-1.810671508	70.485348	3801.5	2081.5	1502.5	947.8	744.9	633.6	521.6	435.6
60	60	-0.028834346	-0.00533473	-1.10445744	180.48515	5179.8	2081.5	1502.5	947.8	744.9	633.6	521.6	435.6
62	62	-0.028434346	-0.00533473	-1.10445744	180.48515	5179.8	2081.5	1502.5	947.8	744.9	633.6	521.6	435.6
64	64	-0.028034346	-0.00533473	-1.10445744	180.48515	5179.8	2081.5	1502.5	947.8	744.9	633.6	521.6	435.6
66	66	-0.027634346	-0.00533473	-1.10445744	180.48515	5179.8	2081.5	1502.5	947.8	744.9	633.6	521.6	435.6
68	68	-0.027234346	-0.00533473	-1.10445744	180.48515	5179.8	2081.5	1502.5	947.8	744.9	633.6	521.6	435.6
70	70	-0.026834346	-0.00533473	-1.10445744	180.48515	5179.8	2081.5	1502.5	947.8	744.9	633.6	521.6	435.6
72	72	-0.026434346	-0.00533473	-1.10445744	180.48515	5179.8	2081.5	1502.5	947.8	744.9	633.6	521.6	435.6
74	74	-0.026034346	-0.00533473	-1.10445744	180.48515	5179.8	2081.5	1502.5	947.8	744.9	633.6	521.6	435.6
76	76	-0.025634346	-0.00533473	-1.10445744	180.48515	5179.8	2081.5	1502.5	947.8	744.9	633.6	521.6	435.6
78	78	-0.025234346	-0.00533473	-1.10445744	180.48515	5179.8	2081.5	1502.5	947.8	744.9	633.6	521.6	435.6
80	80	-0.024834346	-0.00533473	-1.10445744	180.48515	5179.8	2081.5	1502.5	947.8	744.9	633.6	521.6	435.6
82	82	-0.024434346	-0.00533473	-1.10445744	180.48515	5179.8	2081.5	1502.5	947.8	744.9	633.6	521.6	435.6
84	84	-0.024034346	-0.00533473	-1.10445744	180.48515	5179.8	2081.5	1502.5	947.8	744.9	633.6	521.6	435.6
86	86	-0.023634346	-0.00533473	-1.10445744	180.48515	5179.8	2081.5	1502.5	947.8	744.9	633.6	521.6	435.6
88	88	-0.023234346	-0.00533473	-1.10445744	180.48515	5179.8	2081.5	1502.5	947.8	744.9	633.6	521.6	435.6
90	90	-0.022834346	-0.00533473	-1.10445744	180.48515	5179.8	2081.5	1502.5	947.8	744.9	633.6	521.6	435.6
92	92	-0.022434346	-0.00533473	-1.10445744	180.48515	5179.8	2081.5	1502.5	947.8	744.9	633.6	521.6	435.6
94	94	-0.022034346	-0.00533473	-1.10445744	180.48515	5179.8	2081.5	1502.5	947.8	744.9	633.6	521.6	435.6
96	96	-0.021634346	-0.00533473	-1.10445744	180.48515	5179.8	2081.5	1502.5	947.8	744.9	633.6	521.6	435.6
98	98	-0.021234346	-0.00533473	-1.10445744	180.48515	5179.8	2081.5	1502.5	947.8	744.9	633.6	521.6	435.6
100	100	-0.020834346	-0.00533473	-1.10445744	180.48515	5179.8	2081.5	1502.5	947.8	744.9	633.6	521.6	435.6
102	102	-0.020434346	-0.00533473	-1.10445744	180.48515	5179.8	2081.5	1502.5	947.8	744.9	633.6	521.6	435.6
104	104	-0.020034346	-0.00533473	-1.10445744	180.48515	5179.8	2081.5	1502.5	947.8	744.9	633.6	521.6	435.6
106	106	-0.019634346	-0.00533473	-1.10445744	180.48515	5179.8	2081.5	1502.5	947.8	744.9	633.6	521.6	435.6
108	108	-0.019234346	-0.00533473	-1.10445744	180.48515	5179.8	2081.5	1502.5	947.8	744.9	633.6	521.6	435.6
110	110	-0.018834346	-0.00533473	-1.10445744	180.48515	5179.8	2081.5	1502.5	947.8	744.9	633.6	521.6	435.6
112	112	-0.018434346	-0.00533473	-1.10445744	180.48515	5179.8	2081.5	1502.5	947.8	744.9	633.6	521.6	435.6
114	114	-0.018034346	-0.00533473	-1.10445744	180.48515	5179.8	2081.5	1502.5	947.8	744.9	633.6	521.6	435.6
116	116	-0.017634346	-0.00533473	-1.10445744	180.48515	5179.8	2081.5	1502.5	947.8	744.9	633.6	521.6	435.6
118	118	-0.017234346	-0.00533473	-1.10445744	180.48515	5179.8	2081.5	1502.5	947.8	744.9	633.6	521.6	435.6
120	120	-0.004801175	-0.00040555	-1.655261404	3470.957630	13465.2	4715.5	2049.4	2041.5	1990.5	1302.7	1103.1	956.6

Spirales - 210

r	φ	Arc/s	Act/s	ACT	vθ	n=0	n=1	n=2	n=3	n=4	n=5	n=6	n=7
42	42	-0.16950861	-0.01739497	-2.755210221	47.120999	4510.4	1616.7	364.9	708.1	532.8	453.3	384.2	333.6
44	44	-0.16950861	-0.01739497	-1.669511239	43.792193	4509.6	1716.8	1040.3	748.5	581.8	478.7	403.0	350.0
46	46	-0.16950861	-0.01739497	-1.556712337	40.452544	4508.8	1816.2	1242.4	731.1	573.0	479.7	410.8	361.0
48	48	-0.16950861	-0.01739497	-1.54564173	37.855460	4508.6	1880.6	1137.7	615.3	635.6	507.7	460.9	382.6
50	50	-0.16950861	-0.01739497	-1.540927437	34.201544	3779.5	1974.9	1190.0	652.5	663.9	460.0	479.0	399.0
52	52	-0.16950861	-0.01739497	-1.536712337	31.800454	3769.5	2034.1	1242.5	687.5	650.5	454.2	458.2	411.1
54	54	-0.16950861	-0.01739497	-1.532505264	30.540874	3768.0	1954.1	2096.8	627.5	713.0	563.4	495.1	429.5
56	56	-0.16950861	-0.01739497	-1.528295264	29.280874	3766.0	2007.0	1273.5	614.2	713.0	563.4	467.0	446.6
58	58	-0.16950861	-0.008703271	-1.524919524	34.709421	6024.3	2157.0	1313.7	944.8	744.6	620.1	524.3	457.1
60	60	-0.16950861	-0.008703271	-1.521695518	72.936864	5888.4	2159.1	1312.4	963.5	754.6	630.1	521.6	435.6
62	62	-0.16950861	-0.008703271	-1.518471518	77.777209	5887.5	2072.5	1307.1	963.5	754.6	630.1	521.6	435.6
64	64	-0.16950861	-0.008703271	-1.515247518	84.48546187	1466.200177	4972.8	1330.7	997.7	795.5	542.3	567.6	376.4
66	66	-0.16950861	-0.008703271	-1.512024518	90.121782	4292.9	2146.4	1068.1	1069.5	824.5	691.4	597.7	316.1
68	68	-0.16950861	-0.008703271	-1.508801509	91.020000	4254.4	1712.4	1021.5	1077.9	864.5	744.6	715.8	328.6
70	70	-0.16950861	-0.008703271	-1.505578509	72.123999	4880.6	2247.5	1346.3	1087.9	846.4	744.6	715.8	328.6
72	72	-0.16950861	-0.008703271	-1.502355509	73.022209	4941.5	2208.4	1314.7	1087.9	846.4	744.6	715.8	328.6
74	74	-0.16950861	-0.008703271	-1.501232509	112.270000	7425.1	2252.7	1313.7	1087.9	846.4	744.6	715.8	328.6
76	76	-0.16950861	-0.008703271	-1.497009504	30.800449	3537.7	2264.6	1318.4	1193.4	947.8	744.6	715.8	328.6
78	78	-0.16950861	-0.008703271	-1.492786504	167.889211	2493.1	2215.6	1307.4	1193.4	947.8	744.6	715.8	328.6
80	80	-0.16950861	-0.008703271	-1.488563504	27.22546870	4919.0	2036.8	1205.1	1193.4	947.8	744.6	715.8	328.6
82	82	-0.16950861	-0.008703271	-1.484340504	27.22546870	4919.0	2036.8	1205.1	1193.4	947.8	744.6	715.8	328.6
84	84	-0.16950861	-0.008703271	-1.480117504	27.22546870	4919.0	2036.8	1205.1	1193.4	947.8	744.6	715.8	328.6
86	86	-0.16950861	-0.008703271	-1.475894504	27.22546870	4919.0	2036.8	1205.1	1193.4	947.8	744.6	715.8	328.

## XII

$\epsilon_{\text{min}} = 270$													
$t$	$\nu$	Aor/s	Alt/s	AOT	vs	w=0	w=1	w=2	w=3	w=4	w=5	w=6	w=7
42													
44													
46													
48													
50													
52													
54													
56													
58													
60													
62	62	-0.00193361	-0.012237550	3.0766164305	2100.238045	3780.3	1879.4	1248.6	934.8	747.1	622.1	333.0	466.2
64	64	-0.001605877	-0.01164042	2.996714520	1037.054368	4022.9	1964.7	1299.7	971.0	775.0	644.6	352.7	482.7
66	66	-0.001605874	-0.011640420	2.996610963	516.237613	4297.1	2060.9	1355.5	1009.8	804.6	668.0	572.1	499.9
68	70	-0.001936099	-0.016357809	3.0199336028	850.679310	3730.0	2141.7	1410.4	1060.3	846.6	704.6	460.7	512.9
70	72	-0.000485321	-0.017918251	3.114294718	3406.557845	4357.9	2169.2	1444.2	1082.4	865.5	721.0	617.9	540.6
72	74	-0.000485321	-0.017918251	3.114294718	3406.557845	4357.9	2169.2	1444.2	1082.4	865.5	721.0	617.9	540.6
74	76	-0.005653019	-0.024898919	3.004676091	467.765544	4767.5	2332.7	1542.4	1114.3	950.0	761.5	635.7	556.1
76	78	-0.005653019	-0.024898919	3.004676091	467.765544	4767.5	2332.7	1542.4	1114.3	950.0	761.5	635.7	556.1
80													
82													
84													
86		-0.003757679	-0.016184055	2.913450973	643.536470	5564.1	2577.2	1767.7	1113.9	1047.2	870.5	744.9	650.9
88		-0.005530768	-0.015295585	2.832760570	3.371226	6300.4	2878.2	1860.4	1375.9	1092.4	808.2	673.6	573.6
90		-0.014187917	-0.007780410	2.072391725	117.470852	8106.0	3255.7	2030.3	1475.3	1158.9	954.1	810.9	759.0
92		-0.00629945	-0.006793345	1.979895975	130.379899	8111.4	5347.4	2118.3	1530.0	1198.5	984.7	835.6	725.0
94		-0.013620893	-0.005516363	2.723045772	129.050373	10281.2	3430.4	1978.7	1429.5	1188.8	1053.1	891.1	741.2
96		-0.010210463	-0.005417616	165.231249	5476.0	2160.8	1257.6	1277.2	1098.4	865.1	721.8	639.4	540.6
98		-0.0015798018	-0.000615229	1.562413115	1056.178957	11823.1	3927.0	2354.5	1681.3	1307.4	1069.3	905.0	784.3
100		-0.000757919	-0.000757919	1.495469605	1495.06021	11682.5	3961.1	2367.0	1707.7	1359.3	1088.2	921.2	798.6
102	104	-0.000432490	-0.000432490	2.2646144936	159.8559864	8653.5	3425.6	2293.2	1616.7	1321.7	1090.7	928.4	808.2
104	106	-0.000432490	-0.000432490	2.2646144936	159.8559864	8653.5	3425.6	2293.2	1616.7	1321.7	1090.7	928.4	808.2
106	108	-0.000625745	-0.001071815	1.526474740	2643.497161	8654.7	3427.0	2320.6	1700.0	1341.1	1107.0	943.4	821.6
108	110	-0.00028864	-0.000873921	2.227350575	8243.195951	9120.6	6154.6	3168.6	2168.2	1620.7	1501.2	1086.9	933.2
110	112	-0.00028864	-0.000873921	2.227350575	8243.195951	9120.6	6154.6	3168.6	2168.2	1620.7	1501.2	1086.9	933.2
112	114	-0.000482150	-0.000482150	2.348257153	309.675206	1656.10	1086.2	702.5	584.1	370.5	305.7	259.3	217.5
114	116	-0.000482150	-0.000482150	2.348257153	309.675206	1656.10	1086.2	702.5	584.1	370.5	305.7	259.3	217.5
116	118	-0.000749776	-0.000897349	2.009944319	3.37275096	2224.368115	30809.3	5477.4	3126.6	2157.5	1447.0	1511.0	985.2
118	120	-0.001376048	-0.005765000	1.172948665	1210.494197	1928.9	5242.6	3035.7	2194.4	1644.5	1339.9	1129.7	976.5

$\epsilon_{\text{min}} = 300$													
$t$	$\nu$	Aor/s	Alt/s	AOT	vs	w=0	w=1	w=2	w=3	w=4	w=5	w=6	w=7
42													
44													
46													
48													
50													
52													
54													
56													
58													
60													
62	62	-0.00311165	-0.019146059	3.014083177	720.329538	3074.8	1897.9	1256.7	939.4	750.0	628.2	534.5	487.3
64	64	-0.00311165	-0.019146059	3.013212355	824.425274	3079.8	1954.3	1295.7	986.3	771.3	641.8	551.3	482.1
66	66	-0.004009492	-0.007642465	2.948633455	416.4240842	4217.4	2042.3	1347.4	1005.3	801.8	664.8	570.7	490.6
68	70	-0.002474754	-0.002036120	3.019683260	673.172519	2080.7	1426.1	1020.8	822.4	681.5	561.1	512.5	481.1
70	72	-0.002281936	-0.002557177	3.019699124	573.172519	1988.1	1419.6	1047.5	846.1	705.4	605.3	537.5	495.3
72	74	-0.00051177	-0.00051177	3.019699124	566.178957	1988.1	1419.6	1047.5	846.1	705.4	605.3	537.5	495.3
74	76	-0.000617766	-0.000617766	1.561730216	166.998330	11105.1	9844.3	2324.3	1255.9	1298.1	1081.4	900.5	780.9
76	78	-0.0005051529	-0.0005051529	1.708987526	275.412462	11093.6	9886.1	2358.5	1653.0	1520.4	1082.3	916.9	795.3
78	80	-0.000499979	-0.000499979	2.068215821	269.609813	10311.6	9881.3	2358.5	1653.0	1520.4	1082.3	916.9	795.3
80	82	-0.000499979	-0.000499979	1.901109521	2.644.46931	10311.6	9881.3	2358.5	1653.0	1520.4	1082.3	916.9	795.3
82	84	-0.000499979	-0.000499979	1.901109521	2.644.46931	10311.6	9881.3	2358.5	1653.0	1520.4	1082.3	916.9	795.3
84	86	-0.007698415	-0.015739168	2.687124191	216.776355	6032.7	2781.2	1807.1	1338.4	1062.7	881.2	752.7	656.9
86	88	-0.014789285	-0.021315362	2.273619448	112.340367	701.319214	732.0	1608.2	1972.7	1449.8	1139.3	941.4	875.3
88	90	-0.005864454	-0.005958644	1.767585436	81.107548	10242.4	6069.3	2200.9	1500.2	1236.1	1019.9	851.4	745.8
90	92	-0.000519087	-0.000519087	1.767585436	81.107548	10242.4	6069.3	2200.9	1500.2	1236.1	1019.9	851.4	745.8
92	94	-0.000519087	-0.000519087	1.839165275	70.741593	1031.453017	954.8	1746.5	1471.8	1074.6	882.0	792.4	741.4
94	96	-0.000519087	-0.000519087	1.839165275	70.741593	1031.453017	954.8	1746.5	1471.8	1074.6	882.0	792.4	741.4
96	98	-0.000519087	-0.000519087	1.839165275	70.741593	1031.453017	954.8	1746.5	1471.8	1074.6	882.0	792.4	741.4
98	100	-0.000519087	-0.000519087	1.839165275	70.741593	1031.453017	954.8	1746.5	1471.8	1074.6	882.0	792.4	741.4
100	102	-0.002617410	-0.000521745	1.371629426	636.761707	14013.6	6299.7	2511.6	1780.8	1377.4	1125.7	950.0	822.9
102	104	-0.002617410	-0.000521745	1.371629426	636.761707	14013.6	6299.7	2511.6	1780.8	1377.4	1125.7	950.0	822.9
104	106	-0.002712490	-0.000693325	1.567211093	614.441626	12749.1	4245.2	2545.2	1817.7	1415.7	1104.1	935.9	813.9
106	108	-0.002712490	-0.000693325	1.567211093	614.441626	12749.1	4245.2	2545.2	1817.7	1415.7	1104.1	935.9	813.9
108	110	-0.002712490	-0.000693325	1.499280916	1693.405170	4072.4	5267.5	2076.0	1729.7	1492.6	1217.3	1027.9	889.4
110	112	-0.002712490	-0.000693325	1.499280916	1693.405170	4072.4	5267.5	2076.0	1729.7	1492.6	1217.3	1027.9	889.4
112	114	-0.000696001	-0.01646077	2.732934642	2361.630610	7709.7	3590.3	2340.1	1735.7	1379.4			

Principalele clesențe și pot influența oporțisii vibrațiilor și măsurii card pot conduce la săbunătirea corporală de vibratii.

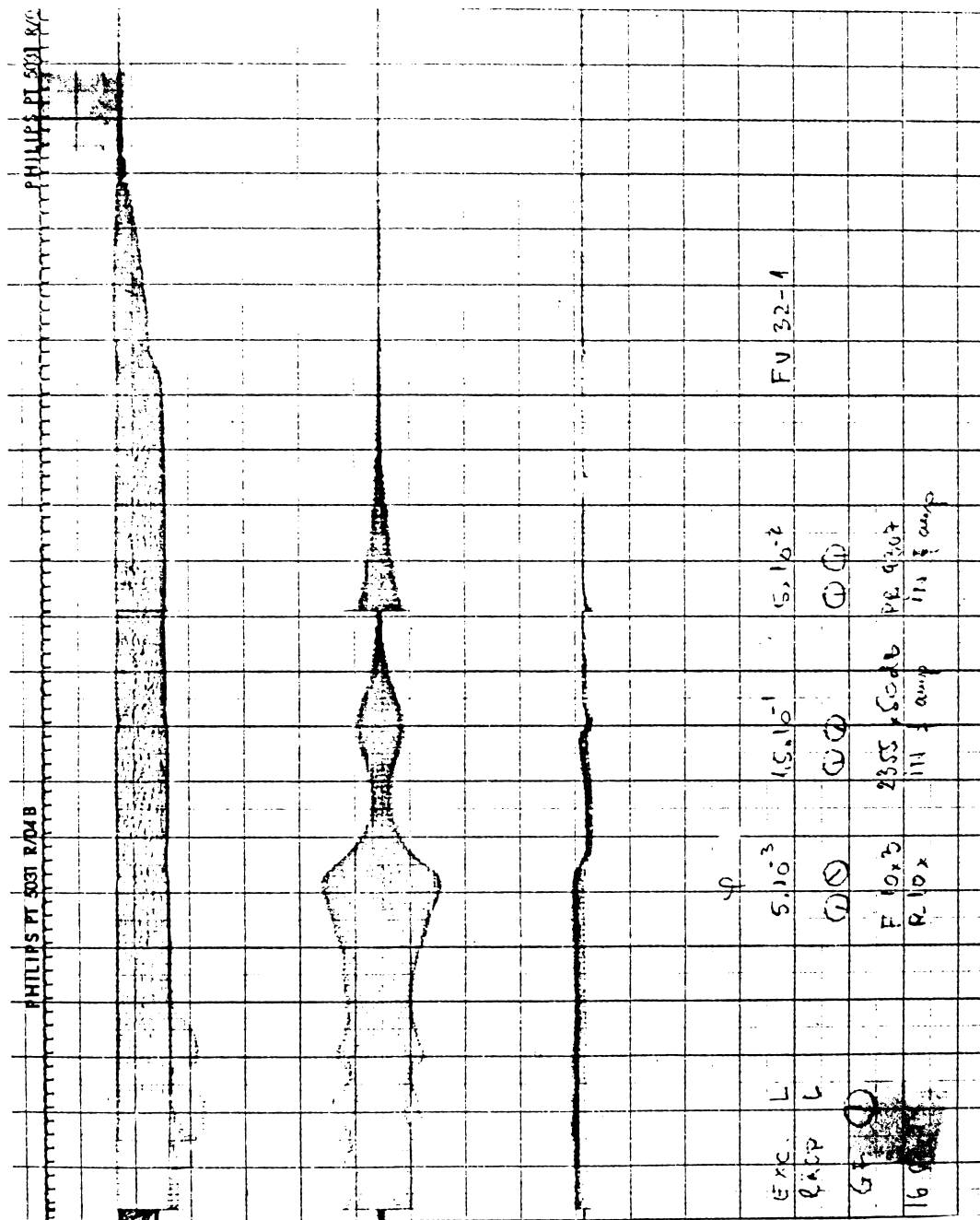
C u a u z e	C u a u z e	Măsuri de săbunătire
1.1 Cedarea mecanică	1. Măsuri de săbunătire	
1.2 Fundație	1. Magina	
1.3 Poziția ansamblelor MU / manii, mese, suporti, pinhole, montanii, etc./	1. Mărirea rigidității statice Mărirea amortizării sistemului prin: - Absorbție pasivă - Absorbție activă - Lagăre amortizoare	
1.4 Turatia arborilor	Fixarea rigidă a MU față de o fundație rigidă sau Așezarea MU pe suporti elastici	
1.5 Jepărâtarea sânilor și a aceelor	Alegera poziției optime a ansamblelor MU. Utilizarea turatilor ridicata	
1.6 Jocuri, ajustajaje ugoare, influențe de nelinieritate	Utilizarea coincidenței direcției avanșului cu scara a rezultantei forțelor de aghiere	
1.7 Temperatura de regim	Utilizarea rulamentelor sau pretenzionate rulamentelor sau slabirea blocajelor ghidajelor	
-8 Fixarea S și P	Să se lucreze la temperatură de regim, inclusiv reglarea jocurilor în legătură cu ghidajele	
.2 Prezența proprietății	Fixarea rigidă a S și a P	
	Schimbarea turatiei arborelui principal / la efect regenerativ / Modificarea frecvenței proprii pe una din direcții / la cuplare de poziție /.	

Cauze

Măsuri de imbusnătire

C a u z e	C a u z e	Măsuri de imbusnătire
2.1 Materialul piesei	2. Pieza	Alegera materialelor cu valoare mica a lui $k_c$ .
2.2 Cedarea piesei		Sprinjirea pieselor avortează. Alegera unghi de atac favorabil.
2.3 Masa piesei		Masa piesei sa fie proporțională cu masa ansamblului purtător.
2.4 Dimensiunea piesei		Să nu influențeze defavorabil 1.5
	3. Orientarea direcțională	Orientarea direcțională
		Optimizare pt. evitarea direcției cedării maxime
3.1 Unghiul de atac		Forța de aghiere sau normală pe suprafața aghistă să fie perpendiculară pe direcția principială de cedare a MU
3.2 Poziția și față de P		
	4. PA și S	Prin senină are efect de răzidizare
4.1 PA		Mărirea seninului
4.2 Aveneu		Diminuarea unghiului de agravare
4.3 Geometria sculei		Mărirea unghiului de degajare
4.4 Starea de uzură a S		Folosirea sculelor rotative
4.5 Viteza de aghiere		Reprisea multuior taiigului
		Evitarea zonei stabilității minime cu viteza de aghiere mică sau
		Viteza de aghiere mare și f. mari
4.6 Senile cu taiiguri multiple Pas neuniform între taiiguri		
4.7 Lichid de racire și ungurie diminuiază posibilitatea formării edausului pe taiig		

### XIII



Probă de înregistrare pe oscilograf, înaintea unei înregistrări propriu zise. Aici viteza benzii este de numai 2 mm/sec. / de-multiplicare 1:100 /. Amplitudinea de răspuns înregistrată pe canalul al doilea, redată cu fidelitate alura CR  $x/P_x$  din fig. 5.18 / pag. 95 /.